



T.C.



EGE ÜNİVERSİTESİ

Sağlık Bilimleri Enstitüsü

**VALSARTANIN ORAL YOLLA KULLANIMI İÇİN
KENDİLİĞİNDEN EMÜLSİFİYE OLABİLEN
SİSTEMLERİNİN HAZIRLANMASI VE İN VİVO-İN
VİTRO DEĞERLENDİRİLMESİ ÜZERİNE
ÇALIŞMALAR**

Doktora Tezi

Ecz. Eda GÜLMEZOĞLU

Farmasötik Teknoloji Anabilim Dalı

İzmir

2019

T.C.

EGE ÜNİVERSİTESİ

Sağlık Bilimleri Enstitüsü

**VALSARTANIN ORAL YOLLA KULLANIMI İÇİN
KENDİLİĞİNDEN EMÜLSİFİYE OLABİLEN
SİSTEMLERİNİN HAZIRLANMASI VE İN VİVO-İN
VİTRO DEĞERLENDİRİLMESİ ÜZERİNE
ÇALIŞMALAR**

Ecz. Eda GÜLMEZOĞLU

Danışman

Prof. Dr. H. Yeşim KARASULU

Farmasötik Teknoloji Anabilim Dalı
Farmasötik Teknoloji Doktora Programı

İzmir

2019

Tez Değerlendirme Kurulu Üyeleri

Tez Değerlendirme Kurulu Üyeleri

Başkan : Prof. Dr. H. Yeşim KARASULU

(Danışman)

Üye : Prof. Dr. Özgen ÖZER

Üye : Prof. Dr. Esra BALOĞLU

Üye : Prof. Dr. Selma ŞAHİN

Üye : Doç.Dr. Zeynep Şafak TEKSİN

Üye : Doç.Dr. Sinem Yaprak KARAVANA

Doktora Tezinin kabul edildiği tarih:

Doktora Tezinin kabul edildiği tarih: 09.12.2019

Önsöz

Bu çalışmada, Biyofarmasötik Sınıflandırma Sistemine (BCS) göre düşük çözünürlük, yüksek permeabilite (sınıf II) ya da düşük permeabilite, yüksek çözünürlük (sınıf III) gösteren bir etkin maddeyi model etkin madde olarak seçip, lipid bazlı ilaç taşıyıcı sistemlerini hazırlamak ve seçilen etkin maddenin biyoyararlanımını artırmak hedeflenmiştir. Bu amaçla yapılan literatür araştırmaları sonucunda hipertansiyon tedavisinde kullanılan Valsartan etkin maddesinin kullanılmasına karar verilmiştir. Çünkü Valsartan pH'ya bağlı çözünürlük gösteren ve oral biyoyararlanımı yaklaşık %25 olan bir ilaçtır. Bu tez çalışması formülasyon geliştirme, karakterizasyon *ve in vitro-in vivo* çalışmaları kapsamaktadır. Tez konusunun belirlenmesinden tez çalışmasının son aşamasına kadar yardımcılarını esirgemeyen, yoğun temposunda bana her an ışık tutan değerli hocam Prof. Dr. Yeşim KARASULU'ya sonsuz teşekkür ederim.

İzmir, 8.01.2020

Ecz. Eda GÜLMEZOĞLU

Özet

Valsartanın Oral Yolla Kullanımı İçin Kendiliğinden Emülsifiye Olabilen Sistemlerinin Hazırlanması ve *In Vivo-In Vitro* Değerlendirilmesi Üzerine Çalışmalar

Birçok kardiyovasküler hastalık yüksek kan basıncına bağlı gelişmektedir. Yüksek kan basıncı sakatlık ve erken ölüm için, özellikle endüstrileşmiş ülkelerde en büyük risk faktörlerinden biridir. Dolayısıyla antihipertansif tedavi, hipertansiyonla yüksek ölüm oranına sahip hastalarda kardiyovasküler komplikasyon riskini azaltır. Valsartan, yüksek seçiciliğe sahip ve oral yoldan aktif anjiyotensin II tip I reseptör antagonist grubuna dahil antihipertansif bir ilaçtır. Valsartanın anjiyotensin II tip I reseptörüne afinitesi, anjiyotensin II tip II reseptörüne olan afinitesinden yaklaşık 20000 kat fazladır. Bu sayede kan damarlarında gevşemeye ve kan basıncında düşmeye sebep olur. Valsartan oral alımdan sonra hızla absorbe olur fakat yetersiz ve dengesiz biyoyararlanıma sahip olmasından dolayı oral biyoyararlanımı yaklaşık %25'tir. Gastrointestinal kanalın üst kısmından absorbe olur ve buranın asidik ortamı nedeniyle de bu bölgede az çözünür. Ayrıca karaciğerde ilk geçiş etkisine uğrar ve yemek etkisiyle de biyoyararlanımı azalan ilaçlar arasında yer alır. Valsartanın düşük çözünürlük ve biyoyararlanım sorununun üstesinden gelebilmek için literatür de birçok çalışma yapılmıştır. Bunlar arasında katı dispersyonlar, siklodekstrin kompleksleri, mikrokapsül formülasyonları, kendiliğinden emülsifiye olabilen sistemler yer almaktadır. Tez çalışmamda, farklı olarak, valsartanın değişik lipid bazlı ilaç taşıyıcı sistemleri geliştirilerek, bu formülasyonlar birbiri içinde kıyaslanmıştır. Sonuç olarak, düşük çözünürlük ve biyoyararlanının gösteren valsartan için ideal bir ilaç taşıyıcı sistem önerilmiştir. Bilindiği gibi, hipertansiyon tedavisinde valsartan tek başına artan dozlarda kullanıldığı gibi, tedavinin yetersiz olduğu durumlarda kombinasyon tedavileri de kullanılmaktadır. Ancak günümüzde uygulanan sağlık tedbirleri gereği, antihipertansif kombinasyonlar son çare olarak reçetelenmektedir. Bu nedenle de yüksek seçiciliğe sahip ve pazar payı yüksek olan valsartanın, biyoyararlanım problemini aşacak şekilde yenilikçi bir formülasyon ile yeniden formüle edilmesi oldukça önemlidir. Böylelikle önerilen bu yeni formülasyon ile hastaların hem tedaviye uygun artacak hem de valsartan içeren kombinasyonlara gereksinimi azalarak ilaç sarfıyatı düşecek ve sağlık harcamalarına da olumlu bir katkı sağlama söz konusu olacaktır.

Anahtar Kelimeler; Antihipertansif; valsartan; lipid bazlı ilaç taşıyıcı sistem; miseller çözelti; kendiliğinden emülsifiye olan ilaç taşıyıcı sistem (SEDDS); Katı kendiliğinden emülsifiye olabilen ilaç taşıyıcı sistem (S-SEDDS).



Abstract

Development Of Oral Self-Emulsifying Drug Delivery Systems Valsartan And *In Vitro-In Vivo Evaluation*

Many cardiovascular diseases have been resulted from high blood pressure. Especially in endurized countries for disability and early death high blood pressure is one of the biggest risk factor. Therefore, antihypertensive treatment reduce the risk of cardiovascular complications in patients with high mortality with hypertension. Valsartan is an orally active antihypertensive drug with high mortality with high selectivity and included in angiotensin II type I receptor antagonist group. The affinity of Valsartan for angiotensin II tip I receptor is about 20000 fold greater than its affinity for angiotensin II tip II receptor. This loosed the blood vessels and decreases blood pressure. Valsartan rapidly absorbed after oral administration but oral bioavailability is 25% because of its inadequate and unbalanced bioavailability. It is absorbed from the upper part of the gastrointestinal tract and it is less soluble in this region because of its acidic environment. Also Valsartan exposed to first pass metabolism in liver and its bioavailability decreases with food. Many studies have been made in the literature in order to achieve the low solubility and bioavailability problem of Valsartan. These include solid dispersions, cyclodextrin complexes, microcapsule formulations, self emulsifying systems. In this project, different lipid-based drug delivery systems of valsartan will be developed and these formulations compared within each other. As a result, an ideal drug delivery system for valsartan with low solubility and bioavailability will be recommended. As is known, valsartan is used in increasing doses in treatment of hypertension alone, and it is used in combination products when treatment is insufficient. However, according to today's health precautions, antihypertensive combination forms are prescribed as a last solution. For this reason, it is very important that valsartan, which has high selectivity and high drug market share, is reformulated with an innovative formulation to overcome the problem of bioavailability. Thus, with this new formulation, it will be possible for patients to increase their treatment tolerance and reduce the requirement of combined formulations containing valsartan, thereby reducing drug consumption and contributing positively to the health expenses.

Keywords; Antihypertensive; valsartan; lipid-based drug delivery system; micellar solution; self-emulsifying drug delivery system (SEDDS); solid self-emulsifying drug delivery system (S-SEDDS).



İçindekiler

Tez Değerlendirme Kurulu Üyeleri	I
Önsöz	II
Özet	III
Abstract	V
İçindekiler	VII
Tablolar Dizini	XVI
Şekiller Dizini	XXI
Kısaltma Listesi.....	XXIV
Giriş.....	1
1.1. Araştırmamanın Problemi.....	1
1.2. Araştırmamanın Sorusu	1
1.3. Araştırmamanın Hipotezleri.....	1
1.4. Araştırmamanın Varsayımları.....	2
1.5. Araştırmamanın Sınırlılıkları	2
1.6. Araştırmamanın Amacı	2
Genel Bilgiler.....	3
2.1. Hipertansiyon	3
2.1.1. Primer Hipertansiyon	5
2.1.2. Sekonder Hipertansiyon	6
2.2. Hipertansiyon Tedavisi	7
2.2.1. İlaç Dışı Tedavi	7
2.2.2. Farmakolojik Tedavi	8
2.2.2.1. Hipertansiyon Tedavisinde Kullanılan İlaçlar	8
2.2.2.1.1. Diüretikler	9
2.2.2.1.2. Anjiotensin Dönüştürücü Enzim İnhibitörleri (ACEi).....	10
2.2.2.1.3. Kalsiyum Kanal Blokerleri	12
2.2.2.1.4. Beta Blokerler	13
2.2.2.1.5. Alfa-1 Blokerler	14
2.2.2.1.6. Vasodilatörler.....	15
2.2.2.1.7. Santral Alfa-2 Agonistleri ve diğer Santral etkili ilaçlar	16

2.2.2.1.8. Renin-Anjiotensin-Aldosteron İnhibitorleri.....	16
2.2.2.1.9. Anjiotensin Rezeptör Blokerleri.....	17
2.2.2.1.9.1. Valsartan	22
2.3. Lipid Bazlı İlaç Taşıyıcı Sistemler.....	27
2.3.1. Lipit Bazlı İlaç Taşıyıcı Sistemlerde Kullanılan Maddeler.....	29
2.3.1.1.Lipitler.....	29
2.3.1.1.1. Lipitlerin Sınıflandırılması.....	29
2.3.1.2. Yardımcı Yüzey Etkin Maddeler (Ko-Surfaktanlar).....	29
2.3.1.3. Suda Çözünmeyen Yüzey Etkin Maddeler (Lipofilik Surfaktanlar).....	30
2.3.1.4. Suda Çözünen Yüzey Etkin Maddeler (Hidrofilik Surfaktanlar).....	30
2.3.1.5. Additifler.....	31
2.3.2. Lipid Bazlı İlaç Taşıyıcı Sistemlerin Sınıflandırılması.....	31
2.3.2.1. Tip I Sistemler.....	31
2.3.2.2. Tip II Sistemler	32
2.3.2.3. Tip III Sistemler	33
2.3.2.3.1. Tip IIIa Sistemler	34
2.3.2.3.2. Tip IIIb Sistemler	34
2.3.2.4. Tip IV Sistemler.....	34
2.3.3. Lipit Bazlı İlaç Taşıyıcı Sistemlerin Avantajları ve Dezavantajları	35
2.3.3.1. Lipit Bazlı İlaç Taşıyıcı Sistemlerin Avantajları	36
2.3.3.2. Lipit Bazlı İlaç Taşıyıcı Sistemlerin Dezavantajları	36
2.3.4. Lipid Bazlı İlaç Taşıyıcı Sistemlerde Lenfatik Sistem Etkisi	36
2.3.5. Lipid Bazlı Sistemlerin Karakterizasyonu	37
Gereç ve Yöntem.....	39
3.1. Kullanılan Kimyasal Madde, Araç ve Gereçler	39
3.1.1. Kullanılan Kimyasal Maddeler	39
3.1.2. Kullanılan Araç ve Gereçler.....	41
3.2. Yöntem.....	42
3.2.1. Valsartanın Fizikokimyasal Özelliklerinin Belirlenmesi	42
3.2.1.1. Valsartanın Lipid Su Partisyon Katsayısının Saptanması.....	42

3.2.1.2. Valsartanın FT-IR Spektrumu.....	42
3.2.1.3. Valsartanın Erime Derecesi Belirlenmesi	43
3.2.2. Valsartan Miktar Tayin Yöntemi Geliştirilmesi	43
3.2.2.1. Valsartanın Miktar Tayini İçin Kalibrasyon Eğrisinin Çizimi.....	43
3.2.2.1.1. Valsartanın pH 1.2 Ortamında Kalibrasyon Eğrisi Çizimi	43
3.2.2.1.2. Valsartanın pH 4.6 Ortamında Kalibrasyon Eğrisinin Çizimi	43
3.2.2.1.3. Valsartanın pH 6.8 Ortamında Kalibrasyon Eğrisinin Çizimi	43
3.2.2.1.4. Valsartanın HBSS Ortamında Kalibrasyon Eğrisinin Çizimi	44
3.2.2.1.5. Açlık Tokluk Ortamlarında Kalibrasyon Eğrisi Çizimi	44
3.2.3. Analitik Yöntem Validasyonu.....	44
3.2.3.1. Doğrusallık.....	44
3.2.3.2. Seçicilik.....	44
3.2.3.3. Çalışma Aralığı	44
3.2.3.4. Doğruluk ve Geri Elde Edilebilirlik.....	44
3.2.3.5. Kesinlik	45
3.2.3.6. Çözelti Stabilitesi	45
3.2.3.7. Duyarlılık ve Sapma Sınırı.....	45
3.2.3.8. FaSSIF/FeSSIF/FaSSGF Validasyonu.....	45
3.2.4. Formülasyon Çalışmaları	46
3.2.4.1. Formülasyonunda Yer Alabilecek Bileşenlerin Fizikokimyasal Özelliklerinin İncelenmesi	46
3.2.4.2. Valsartanın Geliştirilecek Olan Lipid Bazlı Formülasyon Terkibinde Yer Alacak Bileşenlerinde Çözünürlüğünün Saptanması.....	47
3.2.4.3. Lipid Bazlı Formülasyonların Üçgen Faz Diyagramlarının Çizilmesi	47
3.2.4.4. Lipid Bazlı Formülasyonların Hazırlanması.....	47
3.2.4.4.1. SEDD Sistemlerin Hazırlanması.....	47
3.2.4.4.2. S-SEDD Sistemlerin Hazırlanması	48
3.2.4.4.3. Miseller Sistemlerin Hazırlanması.....	48

3.2.5. Lipid Bazlı Formülasyonların Karakterizasyon Çalışmaları.....	48
3.2.5.1. SEDDS Formülasyonlarının Karakterizasyon Çalışmaları.....	48
3.2.5.1.1. Formülasyonun Fiziksel Görünüşü	48
3.2.5.1.2. Formülasyonun pH Ölçümü	48
3.2.5.1.3. Formülasyonun Elektrik İletkenliği	48
3.2.5.1.4. Formülasyonun Refraktif İndis Ölçümü	49
3.2.5.1.5. Formülasyonun Viskozitesinin Ölçümü.....	49
3.2.5.1.6. Dansitesinin Ölçülmesi	49
3.2.5.1.7. Formülasyonun Damlacık Boyutunun Saptanması.....	49
3.2.5.1.8. Formülasyonun Zeta Potansiyel Değerleri.....	49
3.2.5.1.9. Formülasyonun Dağılım Dayanıklılığının Saptanması.....	50
3.2.5.1.10. Formülasyonun Emülsifikasyon Zamanı	50
3.2.5.1.11. Formülasyonun Santrifüj Çalışmaları	50
3.2.5.1.12. Formülasyonun Isıtma-Soğutma Çalışmaları.....	50
3.2.5.1.13. Formülasyonun Dondurma-Cözme Çalışmaları	50
3.2.5.1.14. Valsartan Miktar Tayini	50
3.2.5.2. S-SEDDS Formülasyonlarının Karakterizasyon Çalışmaları	51
3.2.5.2.1. Fiziksel Görünüş	51
3.2.5.2.2. Küme ve Sıkıştırılmış Dansite Ölçümleri	51
3.2.5.2.3. Titreşimli Elek ile Boyut Analizi	51
3.2.5.2.4. Emülsifikasyon Zamanı Analizi.....	52
3.2.5.2.5. Damlacık Boyutu Analizi.....	52
3.2.5.2.6. İçerik Miktar Tayini	52
3.2.5.3. Miseller Sistemlerin Karakterizasyon Çalışmaları.....	52
3.2.5.3.1. Fiziksel Görünüş	52
3.2.5.3.2. Formülasyonun pH Ölçümü	52
3.2.5.3.3. Formülasyonun Refraktif İndis Ölçümü	52

3.2.5.3.4. Formülasyonun Damlacık Boyutunun Saptanması.....	52
3.2.5.3.5. Formülasyonun Santrifüj Çalışmaları	52
3.2.5.3.6. Formülasyonun Isıtma-Soğutma Çalışmaları.....	53
3.2.5.3.7. Formülasyonun Kritik Misel Konsantrasyonu	53
3.2.5.3.8. İçerik Miktar Tayini	53
3.2.6. Stabilite Çalışmaları.....	53
3.2.6.1. SEDD Sistemlerinin Stabilite Çalışmaları	53
3.2.6.2. S-SEDD Sistemlerinin Stabilite Çalışmaları.....	54
3.2.7. <i>In Vitro</i> Salım Çalışmaları	54
3.2.7.1. <i>In Vitro</i> Salım Çalışmalarının Kinetik Değerlendirilmesi	54
3.2.8. Açlık Tokluk Ortamlarında <i>In Vitro</i> Salım Çalışmaları.....	54
3.2.9. <i>In vitro</i> Lipoliz Deneyi.....	55
3.2.10. <i>In Vitro</i> Permeabilite Çalışmaları	55
3.2.10.1. Caco-2 Hücrelerinin Pasajlanması	56
3.2.10.2. Caco-2 Hücrelerinin Polikarbonat Filtre Üzerine Ekimi	56
3.2.10.3. Valsartanın Caco–2 Hücrelerinden Permeabilite Çalışmaları.....	57
3.2.10.4. Transepitelial Elektrik Rezistans (TEER) Değerinin Ölçülmesi.....	58
3.2.10.5. Hücre Canlılığı ve Sitotoksite Testi	59
3.2.11. <i>In Vivo</i> Çalışmalar.....	59
3.2.11.1. Farmakokinetik ve Farmakodinamik Çalışmalar	59
3.2.11.1.1. Farmakokinetik Çalışmalar	60
3.2.11.1.2. Farmakodinamik Çalışmalar	61
3.2.11.2. İstatistiksel Değerlendirme	61
Bulgular.....	63
4.1. Valsartanın Fizikokimyasal Özelliklerinin Belirlenmesi	63
4.1.1. Valsartanın Lipid Su Partisyon Katsayısının Saptanması.....	63
4.1.2. Valsartanın FT-IR Spektrumu.....	63
4.1.3. Valsartanın Erime Derecesi Tayini	64
4.2. Valsartan Miktar Tayin Yöntemi Geliştirilmesi	64
4.2.1. Valsartanın Miktar Tayini İçin Kalibrasyon Eğrisinin Çizimi.....	65

4.2.1.1.Valsartanın pH 1.2 Ortamında Kalibrasyon Eğrisi Çizimi	65
4.2.1.2.Valsartanın pH 4.6 Ortamında Kalibrasyon Eğrisinin Çizimi	66
4.2.1.3.Valsartanın pH 6.8 Ortamında Kalibrasyon Eğrisinin Çizimi	67
4.2.1.4.Valsartanın HBSS Ortamında Kalibrasyon Eğrisinin Çizimi	67
4.2.1.5.Açlık Tokluk Ortamlarında Kalibrasyon Eğrisi Çizimi.....	68
4.3. Analitik Yöntem Validasyonu.....	70
4.3.1.Doğrusallık	70
4.3.2.Seçicilik.....	70
4.3.3.Çalışma Aralığı	72
4.3.4.Doğruluk ve Geri Elde Edilebilirlik	74
4.3.5.Kesinlik	78
4.3.6.Çözelti Stabilitesi	80
4.3.7.Duyarlılık ve Sapma Sınırı.....	84
4.4. Formülasyon Çalışmaları	85
4.4.1.Formülasyonunda Yer Alabilecek Bileşenlerin Fizikokimyasal Özelliklerinin İncelenmesi	85
4.4.2.Valsartanın Geliştirilecek Olan Lipid Bazlı Formülasyon Terkibinde Yer Alacak Bileşenlerinde Çözünürlüğünün Saptanması	85
4.4.3.Lipid Bazlı Formülasyonların Üçgen Faz Diyagramları.....	87
4.4.4. Lipid Bazlı Formülasyonların Hazırlanması.....	101
4.4.4.1. SEDD Sistemlerin Hazırlanması.....	101
4.4.4.2. S-SEDD Sistemlerin Hazırlanması	103
4.4.4.3. Miseller Sistemlerin Hazırlanması	103
4.5. Lipid Bazlı Formülasyonların Karakterizasyon Çalışmaları.....	104
4.5.1. SEDDS Formülasyonlarının Karakterizasyon Çalışmaları.....	104
4.5.1.1. Formülasyonun Fiziksel Görünüşü	104
4.5.1.2. Formülasyonun pH Ölçümü.....	104
4.5.1.3. Formülasyonun Elektrik İletkenliği	104

4.5.1.4. Formülasyonun Refraktif İndis Ölçümü	104
4.5.1.5. Formülasyonun Viskozitesinin Ölçümü.....	104
4.5.1.6. Dansitesinin Ölçülmesi	105
4.5.1.7. Formülasyonun Partikül Büyüklüğünün Saptanması.....	105
4.5.1.8. Formülasyonun Zeta Potansiyel Değerleri.....	105
4.5.1.9. Formülasyonun Dağılım Dayanıklılığının Saptanması.....	107
4.5.1.10. Formülasyonun Emülsifikasyon Zamanı	109
4.5.1.11. Formülasyonun Santrifüj Çalışmaları	110
4.5.1.12. Formülasyonun Isıtma-Soğutma Çalışmaları.....	110
4.5.1.13. Formülasyonun Dondurma-Çözme Çalışmaları	111
4.5.1.14. Valsartan Miktar Tayini	111
4.5.2 S-SEDDS Formülasyonlarının Karakterizasyon Çalışmaları	111
4.5.2.1. Fiziksel Görünüş	111
4.5.2.2. Küme ve Sıkıştırılmış Dansite Ölçümleri	111
4.5.2.3.Titreşimli Elek ile Boyut Analizi	112
4.5.2.4. Emülsifikasyon Zamanı Analizi.....	114
4.5.2.5. Damlacık Boyutu Analizi.....	114
4.5.2.6. İçerik Miktar Tayini	114
4.5.3. Miseller Sistemlerin Karakterizasyon Çalışmaları.....	115
4.5.3.1. Fiziksel Görünüş	115
4.5.3.2. Formülasyonun pH Ölçümü.....	115
4.5.3.3. Formülasyonun Refraktif İndis Ölçümü	115
4.5.3.4. Formülasyonun Damlacık Boyutunun Saptanması.....	116
4.5.3.5. Formülasyonun Santrifüj Çalışmaları	116
4.5.3.6. Formülasyonun Isıtma-Soğutma Çalışmaları.....	117
4.5.3.7. Formülasyonun Kritik Misel Konsantrasyonu.....	117
4.5.3.8. İçerik Miktar Tayini	117

4.6. Stabilite Çalışmaları	118
4.6.1. SEDD Sistemlerinin Stabilite Çalışmaları	118
4.6.2. S-SEDD Sistemlerinin Stabilite Çalışmaları.....	122
4.7. <i>In Vitro</i> Salım Çalışmaları	130
4.7.1. <i>In Vitro</i> Salım Çalışmalarının Kinetik Değerlendirilmesi	142
4.8.Açlık Tokluk Ortamlarında <i>In Vitro</i> Salım Çalışmaları.....	148
4.9. <i>In vitro</i> Lipoliz Deneyi.....	152
4.10.In vitro Permeabilite Çalışmaları.....	155
4.10.1. Caco-2 Hücrelerinin Pasajlanması	155
4.10.2. Caco-2 Hücrelerinin Polikarbonat Filtre Üzerine Ekimi	155
4.10.3. Valsartanın Caco–2 Hücrelerinden Permeabilite Çalışmaları.....	156
4.10.4. Transepitelial Elektrik Rezistans (TEER) Değerinin Ölçülmesi.....	160
4.10.5. Hücre Canlılığı ve Sitotoksisite Testi	166
4.11. <i>In Vivo</i> Çalışmalar.....	166
4.11.1. Farmakokinetik ve Farmakodinamik Çalışmalar	166
4.11.1.1. Farmakokinetik Çalışmalar	166
4.11.1.1.1. Farmakokinetik Çalışmalar için Yöntem Validasyonu	166
4.11.1.1.1.1. Gün İçi ve Günler Arası Doğruluk, Kesinlik ve Geri Kazanım	168
4.11.1.1.1.2. Stok Çözelti Kararlılığı	170
4.11.1.1.1.3. Donma Erime Kararlılığı	172
4.11.1.1.1.4. Kısa Süreli Oda Sıcaklığı Kararlılığı	174
4.11.1.1.1.5. Dilüsyon Doğruluğu.....	175
4.11.1.1.1.6. Matriks Etkisi	175
4.11.1.1.1.7. LLOQ Düşük Saptama (Tayin) Alt Sınırı.....	176
4.11.1.1.2. Farmakokinetik Bulgular	177
4.11.1.2. Farmakodinamik Çalışmalar	180
Tartışma.....	183
5.1. Genel Değerlendirme	183
5.2. Valsartanın Fizikokimyasal Özelliklerinin Değerlendirilmesi.....	184

5.3. Valsartanın HPLC Metodu ve Validasyon Çalışmalarının Değerlendirilmesi .	184
5.4. Valsartanın Çözünürlük Çalışmalarının Değerlendirilmesi	185
5.5. Formülasyon Geliştirme Çalışmalarının Değerlendirilmesi	186
5.6. Karakterizasyon ve Stabilite Çalışmalarının Değerlendirilmesi	188
5.7. <i>In Vitro</i> Salım Çalışmalarının Değerlendirilmesi	192
5.8. Açlık Tokluk Ortamlarında <i>In Vitro</i> Salım Çalışmalarının Değerlendirilmesi.	193
5.9. <i>In vitro</i> Lipoliz Çalışmasının Değerlendirilmesi	194
5.10. <i>In vitro</i> Permeabilite Çalışmasının Değerlendirilmesi.....	194
5.11. Farmakokinetik ve Farmakodinamik Çalışmaların Değerlendirilmesi	195
Sonuç ve Öneriler.....	197
Kaynaklar	198
Ekler	209
Teşekkür.....	210
Tezden Yapılan Yayın ve Bildiriler	211
Özgeçmiş.....	212

Tablolar Dizini

Tablo 1: Kullanılması planlanan yağ/yüzey etkin madde/ yardımcı yüzey etkin maddeler.....	46
Tablo 2 : pH 1.2' de çalışma aralığı sonuçları	73
Tablo 3 : pH 4.6'da çalışma aralığı sonuçları	73
Tablo 4 : pH 6.8'de çalışma aralığı sonuçları	74
Tablo 5 : HBSS'de çalışma aralığı sonuçları	74
Tablo 6 : pH 1.2'de 3 farklı konsantrasyonda absorbans değerleri ve yüzde geri kazanım değerleri	75
Tablo 7 : pH 4.6'da 3 farklı konsantrasyonda absorbans değerleri ve yüzde geri kazanım değerleri	76
Tablo 8 : pH 6.8'de 2 farklı konsantrasyonda absorbans değerleri ve yüzde geri kazanım değerleri	77
Tablo 9 : HBSS'de 2 farklı konsantrasyonda absorbans değerleri ve yüzde geri kazanım değerleri	78
Tablo 10 : pH 1.2'de valsartanın 40 µg/mL'lik (%100) derişimdeki kesinlik bulguları.	79
Tablo 11 : pH 4.6'da valsartanın 40 µg/mL'lik (%100) derişimdeki kesinlik bulguları.	79
Tablo 12 : pH 6.8'de valsartanın 40 µg/mL'lik (%100) derişimdeki kesinlik bulguları.	79
Tablo 13 : HBSS'de valsartanın 40 µg/mL'lik (%100) derişimdeki kesinlik bulguları.	80
Tablo 14 : pH 1.2'de 4 µg/mL derişimde çözelti stabilité bulguları.....	80
Tablo 15 : pH 1.2'de 40 µg/mL derişimde çözelti stabilité bulguları.....	81
Tablo 16 : pH 4.6'da 4 µg/mL derişimde çözelti stabilité bulguları.....	81
Tablo 17 : pH 4.6'da 40 µg/mL derişimde çözelti stabilité bulguları.....	82
Tablo 18 : pH 6.8'de 4 µg/mL derişimde çözelti stabilité bulguları	82
Tablo 19 : pH 6.8'de 40 µg/mL derişimde çözelti stabilité bulguları	83
Tablo 20 : HBSS'de 4 µg/mL derişimde çözelti stabilité bulguları	83
Tablo 21 : HBSS'de 40 µg/mL derişimde çözelti stabilité bulguları	84
Tablo 22 : pH 1.2, pH 4.6, pH 6.8 ve HBSS ortamları için LOD ve LOQ değerleri.	84
Tablo 23 : Kullanılması planlanan bileşenlerin incelenen özellikleri	85

Tablo 24 : Valsartanın farklı bileşenlerdeki çözünürlük miktarları.....	86
Tablo 25 : Yapılan çözünürlük çalışmasına göre seçilen yardımcı maddeler ile formülasyon çalışmaları.....	87
Tablo 26 : Yapılan çözünürlük çalışmasına göre seçilen yardımcı maddeler ile formülasyon çalışmaları.....	88
Tablo 27 : Yapılan çözünürlük çalışmasına göre seçilen yardımcı maddeler ile formülasyon çalışmaları.....	89
Tablo 28 : Yapılan çözünürlük çalışmasına göre seçilen yardımcı maddeler ile formülasyon çalışmaları.....	90
Tablo 29 : Yapılan çözünürlük çalışmasına göre seçilen yardımcı maddeler ile formülasyon çalışmaları.....	91
Tablo 30 : Yapılan çözünürlük çalışmasına göre seçilen yardımcı maddeler ile formülasyon çalışmaları.....	92
Tablo 31 : Yapılan çözünürlük çalışmasına göre seçilen yardımcı maddeler ile formülasyon çalışmaları.....	92
Tablo 32 : Yapılan çözünürlük çalışmasına göre seçilen yardımcı maddeler ile formülasyon çalışmaları.....	93
Tablo 33 : Yapılan çözünürlük çalışmasına göre seçilen yardımcı maddeler ile formülasyon çalışmaları.....	94
Tablo 34 : Yapılan çözünürlük çalışmasına göre seçilen yardımcı maddeler ile formülasyon çalışmaları.....	95
Tablo 35 : Seçilen formülasyonların terkipleri	102
Tablo 36 : Optimum formülasyonların partikül boyutu, zeta potansiyel, refraktif indeks ve polidispersite indeksi sonuçları	102
Tablo 37 : Katı taşıyıcılara emdirilebilen formülasyon miktarları.....	103
Tablo 38 : F8B plasebo, F9A plasebo, F8B, F9A ’nın partikül boyutu ölçümleri ...	105
Tablo 39 : F8B, F9A ’nın zeta potansiyel ölçümleri.....	106
Tablo 40 : F8B formülasyonunun zeta average (dnm) değerleri	107
Tablo 41 : F8B formülasyonunun polidispersite indeksi	108
Tablo 42 : F9A formülasyonunun zeta average(dnm) değerleri	108
Tablo 43 : F9A formülasyonunun polidispersite indeksi	109
Tablo 44 : Formülasyonların miktar tayini sonuçları.....	111
Tablo 45 : Formülasyonlara ait Küme dansite, Sıkıştırılmış dansite, Hausner oranı, Carr indeksi değerleri	112

Tablo 46 : F9A HPMC formülasyonunun boyut dağılımı	112
Tablo 47 : F8B HPMC formülasyonunun boyut dağılımı	113
Tablo 48 : F8B Avicel formülasyonunun boyut dağılımı	113
Tablo 49 : F9A Avicel formülasyonunun boyut dağılımı	113
Tablo 50 : S-SEDD formülasyonların partikül boyutu ölçümleri.....	114
Tablo 51 : Formülasyonların miktar tayini sonuçları.....	115
Tablo 52 : Misel Formülasyonların Refraktif İndis değerleri.	116
Tablo 53 : Geliştirilen formülasyonların damlacık boyutu ölçümleri.....	116
Tablo 54 : Geliştirilen formülasyonların miktar tayini sonuçları.....	118
Tablo 55: F8B formülasyonunun 0-3. Ay stabilité bulguları.....	119
Tablo 56 : F8B formülasyonunun 6-12. Ay stabilité bulguları.....	120
Tablo 57 : F9A formülasyonunu 0-3. Ay stabilité sonuçları.	121
Tablo 58 : F9A formülasyonunu 6-12. Ay stabilité sonuçları.	122
Tablo 59 : F8B Avicel formülasyonunun 0-6. ay stabilité bulguları	123
Tablo 60 : F8B Avicel formülasyonunun 6-12. ay stabilité bulguları	124
Tablo 61 : F8B HPMC formülasyonunun 0-6. ay stabilité bulguları.....	125
Tablo 62 : F8B HPMC formülasyonunun 6-12. ay stabilité bulguları.....	126
Tablo 63 : F9A Avicel formülasyonunun 0-6. Ay stabilité bulguları	127
Tablo 64 : F9A Avicel formülasyonunun 6-12. Ay stabilité bulguları.....	128
Tablo 65 : F9A HPMC formülasyonunun 0-6. Ay stabilité bulguları.	129
Tablo 66 : F9A HPMC formülasyonunun 6-12. Ay stabilité bulguları.	130
Tablo 67 : Ticari formülasyon, Valsartan, F8B, F8B Avicel, F8B HPMC, F8B Aerosil formülasyonlarının pH 1.2'deki dissolüsyon sonuçları (%) (ortalama±SS).	131
Tablo 68 : Ticari formülasyon , Valsartan, F8B, F8B Avicel, F8B HPMC, F8B Aerosil formülasyonlarının pH 4.6'daki dissolüsyon sonuçları (%) (ortalama±SS).	133
Tablo 69 : Ticari formülasyon, Valsartan, F8B, F8B Avicel, F8B HPMC, F8B Aerosil formülasyonlarının pH 6.8'deki dissolüsyon sonuçları (%) (ortalama±SS).	135
Tablo 70 : Ticari formülasyon, Valsartan, F9A, F9A HPMC, F9A Aerosil, F9A Avicel formülasyonlarının pH 1.2'deki dissolüsyon sonuçları (%) (ortalama±SS).	137
Tablo 71 : Ticari formülasyon, Valsartan, F9A, F9A HPMC, F9A Aerosil, F9A Avicel formülasyonlarının pH 4.6'daki dissolüsyon sonuçları (%) (ortalama±SS).	139
Tablo 72 : Ticari formülasyon, Valsartan, F9A, F9A HPMC, F9A Aerosil, F9A Avicel formülasyonlarının pH 6.8'deki dissolüsyon sonuçları (%) (ortalama±SS).	141

Tablo 73 : Ticari formülasyon, Valsartan, F8B, F8B Avicel, F8B HPMC ve F8B Aerosil formülasyonlarının pH 1.2'de salım kinetiği değerlendirme bulguları.....	143
Tablo 74 : Ticari formülasyon, Valsartan, F8B, F8B Avicel, F8B HPMC ve F8B Aerosil formülasyonlarının pH 4.6'da salım kinetiği değerlendirme bulguları.....	144
Tablo 75 : Ticari formülasyon, Valsartan, F8B, F8B Avicel, F8B HPMC ve F8B Aerosil formülasyonlarının pH 6.8'de salım kinetiği değerlendirme bulguları.....	145
Tablo 76 : Ticari formülasyon, Valsartan, F9A, F9A Avicel, F9A HPMC ve F9A Aerosil formülasyonlarının pH 1.2'de salım kinetiği değerlendirme bulguları.....	146
Tablo 77 : Ticari formülasyon, Valsartan, F9A, F9A Avicel, F9A HPMC ve F9A Aerosil formülasyonlarının pH 4.6'da salım kinetiği değerlendirme bulguları.....	147
Tablo 78 : Ticari formülasyon, Valsartan, F9A, F9A Avicel, F9A HPMC ve F9A Aerosil formülasyonlarının pH 6.8'de salım kinetiği değerlendirme bulguları.....	148
Tablo 79 : Ticari formülasyon, Valsartan, F8B, F8B Avicel formülasyonlarının FaSSGF ortamındaki dissolüsyon sonuçları (%) (ortalama±SS).	149
Tablo 80 : Ticari formülasyon, Valsartan, F8B, F8B Avicel formülasyonlarının FaSSIF ortamındaki dissolüsyon sonuçları (%) (ortalama±SS).....	150
Tablo 81: Ticari formülasyon, Valsartan, F8B, F8B Avicel formülasyonlarının FeSSIF ortamındaki dissolüsyon sonuçları (%) (ortalama±SS).	151
Tablo 82 : Zamana göre F8B ve IPM/Valsartanın zamana göre lipoliz olma yüzdeleri (ortalama±SS).	153
Tablo 83 : Zamana göre F8B Avicel ve IPM/Valsartanın zamana göre lipoliz olma yüzdeleri (ortalama±SS).....	154
Tablo 84 : Lipoliz deneyinin HPLC miktar tayini sonuçları (ortalama±SS).	155
Tablo 85 : Formülasyonlara ait permeabilite değerleri sonuçları (±SS)	159
Tablo 86 : Effluks değerlerine ait veriler (±SS)	159
Tablo 87 : Apikal kısımdan bazolateral kısma doğru yapılan geçiş çalışmalarına ait veriler (±SS)	160
Tablo 88 : Bazolateral kısımdan apikal kısma doğru yapılan geçiş çalışmalarına ait veriler (±SS)	160
Tablo 89 : Apikal yönden bazolateral yöne doğru yapılan geçiş çalışmaları boyunca hücre membranlarının TEER değerlerindeki yüzde değişim.	161
Tablo 90 : Bazolateral yönden apikal yöne doğru yapılan geçiş çalışmaları boyunca hücre membranlarının TEER değerlerindeki yüzde değişim.	161
Tablo 91 : Miktar Tayini Yönteminde Kullanılan Gradient Programı.	167

Tablo 92 : Gün İçi Doğruluk ve Kesinlik Sonuçları (Anl.Std.: Valsartan).....	168
Tablo 93 : Günler Arası Doğruluk ve Kesinlik Sonuçları.....	169
Tablo 94 : Günler Arası Doğruluk ve Kesinlik Toplu Sonuçları (Anl. Std.: Valsartan)	170
Tablo 95 : Düşük Derişimde Stok çözelti kararlılığı 1(Anl. Std.: Valsartan)	171
Tablo 96 : Yüksek Derişimde Stok çözelti kararlılığı 1(Anl. Std.: Valsartan)	171
Tablo 97 : Düşük Derişimde Stok çözelti kararlılığı 2(Anl. Std.: Valsartan)	172
Tablo 98 : Yüksek Derişimde Stok çözelti kararlılığı 2(Anl. Std.: Valsartan)	172
Tablo 99 : Düşük Derişimde Donma Erime Kararlılığı Sonuçları (Anl.Std.: Valsartan).	173
Tablo 100 : Yüksek Derişimde Donma Erime Kararlılığı Sonuçları (Anl.Std.: Valsartan).	173
Tablo 101 : Düşük Derişimde Kısa Süreli Oda Sıcaklığı Kararlılığı.....	174
Tablo 102 : Yüksek Derişimde Kısa Süreli Oda Sıcaklığı Kararlılığı.....	174
Tablo 103 : Kısa Süreli Oda Sıcaklığı Kararlılığı (Anl.Std.: Valsartan, Gerçek Değer: 100 ng/mL Anl. Std.)	175
Tablo 104 : Matriks Etkisi Sonuçları (Anl.Std.: Valsartan, İç Std.: Olmesartan, MF: Matriks Faktör)	176
Tablo 105 : LLOQ Sonuçları (Anl.Std.: Valsartan, İç.Std.: Olmesartan).....	177
Tablo 106: Yapılan uygulamalardan sonra elde edilen farmakokinetik parametreler.	179
Tablo 107 : Hayvanlarda tansiyon ölçüm değerleri.	181
Tablo 108 : İlaç uygulanan ve uygulanmayan hayvanlardaki biyokimyasal parametrelere ait bulgular.	182

Şekiller Dizini

Şekil 1: Valsartanın kimyasal yapısı.....	22
Şekil 2: Valsartanın FT-IR spektrumu	63
Şekil 3 : Valsartanın DSC Termogramı	64
Şekil 4 : pH 6.8 ortamında Valsartanın HPLC pik görüntüsü.	65
Şekil 5 : pH 1.2 Ortamında Kalibrasyon Eğrisi Çizimi	66
Şekil 6 : pH 4.6 Ortamında Kalibrasyon Eğrisi Çizimi.	66
Şekil 7 : pH 6.8 Ortamında Kalibrasyon Eğrisi Çizimi.	67
Şekil 8 : HBSS Ortamında Kalibrasyon Eğrisi Çizimi.	68
Şekil 9 : FaSSIF Ortamında Kalibrasyon Eğrisi Çizimi.	68
Şekil 10 : FeSSIF Ortamında Kalibrasyon Eğrisi Çizimi.	69
Şekil 11 : FaSSGF Ortamında Kalibrasyon Eğrisi Çizimi.....	69
Şekil 12: Valsartanın pH 6.8'de HPLC kramotogramı.	71
Şekil 13: Valsartanın pH 4.6'da HPLC kramotogramı.	71
Şekil 14: Valsartanın pH 1.2'de HPLC kramotogramı.	72
Şekil 15: Valsartanın HBSS'de HPLC kramotogramı.....	72
Şekil 16 : Lipid Bazlı formülasyonların üçgen faz diyagramlarından elde edilen alanlar	100
Şekil 17 : Lipid bazlı formülasyonların üçgen faz diyagramında oluşturdukları alan değerleri.....	101
Şekil 18 : F9A'nın zeta potansiyel grafiği	106
Şekil 19 : F8B'nın zeta potansiyel grafiği	106
Şekil 20: Emülsifiye olmuş formülasyon.....	110
Şekil 21 : Ticari formülasyon, Valsartan, F8B, F8B Avicel, F8B HPMC, F8B Aerosil formülasyonlarının pH 1.2'deki dissolüsyon grafiği.	132
Şekil 22 : Ticari formülasyon, Valsartan, F8B, F8B Avicel, F8B HPMC, F8B Aerosil formülasyonlarının pH 4.6'daki dissolüsyon grafiği.	134
Şekil 23 : Ticari formülasyon, Valsartan, F8B, F8B Avicel, F8B HPMC, F8B Aerosil formülasyonlarının pH 6.8'deki dissolüsyon grafiği.	136
Şekil 24 : Ticari formülasyon, Valsartan, F9A, F9A HPMC, F9A Aerosil, F9A Avicel formülasyonlarının pH 1.2'deki dissolüsyon grafiği.	138
Şekil 25 : Ticari formülasyon, Valsartan, F9A, F9A HPMC, F9A Aerosil, F9A Avicel formülasyonlarının pH 4.6'daki dissolüsyon grafiği.	140

Şekil 26 : Ticari formülasyon, Valsartan, F9A, F9A HPMC, F9A Aerosil, F9A Avicel formülasyonlarının pH 6.8'deki dissolüsyon grafiği.	142
Şekil 27 : Ticari formülasyon, Valsartan, F8B, F8B Avicel formülasyonlarının FaSSGF ortamındaki dissolüsyon grafiği	150
Şekil 28 : Ticari formülasyon, Valsartan, F8B, F8B Avicel formülasyonlarının FaSSIF ortamındaki dissolüsyon grafiği.....	151
Şekil 29 : Ticari formülasyon, Valsartan, F8B, F8B Avicel formülasyonlarının FeSSIF ortamındaki dissolüsyon grafiği.....	152
Şekil 30: F8B ve IPM/Valsartanın zamana göre lipoliz profil grafiği.....	153
Şekil 31 : F8B Avicel ve IPM/Valsartanın zamana göre lipoliz profil grafiği.	154
Şekil 32: 21 gün boyunca filtre üzerinde tutunan hücreler.	156
Şekil 33: Valsartanın ticari formülasyondan apikal kısımdan bazolateral kısma ve bazolateral kısımdan apikal kısma doğru yapılan geçiş çalışmalarına ait grafik (\pm SS) (0. dakikada miktar $6\mu\text{g}/\text{mL}$).	157
Şekil 34: Toz valsartanın apikal kısımdan bazolateral kısma ve bazolateral kısımdan apikal kısma doğru yapılan geçiş çalışmalarına ait grafik (\pm SS) (0. akikada miktar $6\mu\text{g}/\text{mL}$).	158
Şekil 35: Valsartanın F8B formülasyonundan apikal kısımdan bazolateral kısma ve bazolateral kısımdan apikal kısma doğru yapılan geçiş çalışmalarına ait grafik (\pm SS) (0. dakikada miktar $6\mu\text{g}/\text{mL}$).	158
Şekil 36: Valsartanın F8B Avicel formülasyonundan apikal kısımdan bazolateral kısma doğru yapılan geçiş çalışmalarına ait grafik (\pm SS) (0. dakikada miktar $6\mu\text{g}/\text{mL}$)	159
Şekil 37: Toz valsartanın apikal kısımdan bazolateral kısma yapılan geçiş çalışmalarında deneyden önce ve deneyden sonra ölçülen TEER değerlerinin grafiği (\pm SS).	162
Şekil 38: Toz valsartanın bazolateral kısımdan apikal kısma yapılan geçiş çalışmalarında deneyden önce ve deneyden sonra ölçülen TEER değerlerinin grafiği (\pm SS).	162
Şekil 39: Ticari formülasyonun apikal kısımdan bazolateral kısma yapılan geçiş çalışmalarında deneyden önce ve deneyden sonra ölçülen TEER değerlerinin grafiği (\pm SS).	163

Şekil 40: Ticari formülasyonun bazolateral kısımdan apikal kısma yapılan geçiş çalışmalarında deneyden önce ve deneyden sonra ölçülen TEER değerlerinin grafiği (\pm SS).....	163
Şekil 41: F8B'nin apikal kısımdan bazolateral kısma yapılan geçiş çalışmalarında deneyden önce ve deneyden sonra ölçülen TEER değerlerinin grafiği (\pm SS).....	164
Şekil 42 : F8B'nin bazolateral kısımdan apikal kısma yapılan geçiş çalışmalarında deneyden önce ve deneyden sonra ölçülen TEER değerlerinin grafiği (\pm SS).....	164
Şekil 43: F8B Avicel'in apikal kısımdan bazolateral kısma yapılan geçiş çalışmalarında deneyden önce ve deneyden sonra ölçülen TEER değerlerinin grafiği (\pm SS).....	165
Şekil 44: F8B Avicel'in bazolateral kısımdan apikal kısma yapılan geçiş çalışmalarında deneyden önce ve deneyden sonra ölçülen TEER değerlerinin grafiği (\pm SS).....	165
Şekil 45: Kalibrasyon eğrisi ve denklem bilgileri.....	167
Şekil 46 : Orogastrik sonda yardımıyla sıçanlara ilaç uygulaması.....	177
Şekil 47 : Uygulamada sıçan görüntüsü.....	178
Şekil 48 : Zamana göre Ticari formülasyon ve F8B'nin plazma konsantrasyon grafiği (R: Ticari formülasyon, T: F8B).....	179
Şekil 49: Sıçanlarda tansiyon ölçümü.....	180

Kısaltma Listesi

ACE	: Anjiotensin Dönüştürücü Enzim
ACEi	: Anjiotensin Dönüştürücü Enzim İnhibitörleri
ARB	: Anjiotensin Rezeptör Blokörü
ALT	: Alanin Aminotransferaz
AST	: Aspartat Aminotransferaz
ATPIII	: The Adult Treatment Panel Guidelines (Yetişkin Tedavi Paneli Prensipleri)
ATCC	: Amerikan Tip Kültür Kolleksiyonu
AT1	: Anjiotensin II Tip 1 rezeptörü
AT2	: Anjiotensin II Tip 2 rezeptörü
AV	: Atrioventriküler
BCS	: Biopharmaceutical Classification System) Biyofarmasötik İlaç Sınıflandırma Sistemi
BHA	: Butilenmiş Hidroksi Anisol
BHT	: Butilenmiş Hidroksi Toluен
CaCl ₂	: Kalsiyum Klorür
Cmaks	: Pik Plazma Konsantrasyonu
DSC	: Diferansiyel Taramalı Kalorimetre
DMEM	: Dulbecco's Modified Eagle's Medium
DMSO	: Dimetil Sülfoksit
EAA(AUC)	: Eğri Altı Alan (Area Under the Curve)

EDTA	: Etilendiamin Tetraasetik Asit
EMA	: European Medicines Agency (Avrupa İlaç Ajansı)
ESH/ESC	: European Society of Hypertension(Avrupa Hipertansiyon Topluluğu) / European Society of Cardiology (Avrupa kardiyoloji Topluluğu)
FaSSGF	: Fasted State Simulated Gastric Fluid (Açlık Yapay Mide Sıvısı)
FaSSIF	: Fasted State Simulated Intestinal Fluid (Açlık Yapay Bağırsak Sıvısı)
FDA	: Amerika Gıda ve İlaç İdaresi
FeSSIF	: Fed State Simulated Intestinal Fluid (Tokluk Yapay Bağırsak Sıvısı)
FFA	: Serbest Yağ Asidi
FTIR	: Fourier-transform Infrared Spectroscopy (Fourier Dönüşümlü Kızılötesi Spektroskopisi)
GI	: Gastrointestinal
HBSS	: Hank's Balanced Salt Solution (Hank'ın Dengeli Tuz Solüsyonu)
HLB	: Hidrofilik Lipofilik Balans
HPLC	: Yüksek Basınçlı Sıvı Kromatografisi
HPMC	: HidroksiPropil Metil Selüloz
HT	: Hipertansiyon
IDF	: International Diabetes Federation(Uluslararası Diyabet Federasyonu)

IPM	: İzopropil Miristat
LBDDS	: Lipid Based Drug Delivery Systems (Lipid Bazlı İlaç Taşıyıcı Sistemler)
LCT	: Uzun Zincirli Yağ Asidi
LFCS	: Lipid Formülasyon Sınıflandırma Sistemi
LLOQ	: Lower Limit of Quantification (En Düşük Konsantrasyon Tayin Limiti)
LOQ	: Konsantrasyon Tayin Limiti
LOD	: Konsentrasyon Tespit Limiti
LVH	: Sol ventrikül hipertrofisi
MAC	: Maksimum Alveolar Konsantrasyon
MCT	: Orta Zincirli Yağ Asidi
NaCl	: Sodyum Klorür
NaOH	: Sodyum Hidroksit
PBS	: Fosfat Tamponu Çözeltisi
PEG 600	: Polietilen Glikol 600
pKa	: İyonlaşma Katsayısı
PDI	: Polidispersite İndeksi
RAAS	: Renin Anjiotensin Aldosteron Sistemi
RSD	: Relatif Standart Sapma

SEDDS	: Self Emulsifying Drug Delivery System (Kendiliğinden Emulsifiye olabilen İlaç Taşıyıcı Sistem)
SMEDDS	: Self Micro Emulsifying Drug Delivery Systems (Kendiliğinden mikro emulsifiye Olabilen İlaç Taşıyıcı Sistemler)
S-SEDDS	: Solid Self Emulsifying Drug Delivery System (Katı Kendiliğinden Emulsifiye olabilen İlaç Taşıyıcı Sistem)
TEER	: Transepitelial Elektriksel Direnci
TEKHARF	: Türk Erişkinlerde Kalp Hastalıkları ve Risk Faktörleri
USP	: Amerikan Farmakopesi
UV	: Ultraviyole
VSMC	: Vasküler Düz Kas Hücreleri
YEM	: Yüzey Etkin Madde
YYEM	: Yardımcı Yüzey Etkin Madde

Giriş

1.1. Araştırmmanın Problemi

Hipertansiyon, gelişmekte olan ve gelişmiş ülkelerin en başta gelen sağlık sorunlarından birisidir. Dünya Sağlık Örgütü, prevalansı yüksek olan hipertansiyonun dünyada önlenebilir ölüm nedenleri içinde birinci sırada yer aldığı belirtmektedir. Bizim çalışmamızın konusu olan valsartan ise bu gruba mensup potent, yüksek secciliğe sahip ve oral yoldan aktif antihipertansif bir ilaçtır. Valsartan etkisini anjiyotensin II tip I reseptörüne bağlanarak gösterir. Böylece kan basıncında düşüş sağlanır. Ancak valsartanın biyoyararlanımının %25 civarında olduğunu gösteren çalışmalar bulunmaktadır (Saydam & Takka, 2007; Siddiqui et al., 2011). Bu nedenle her ne kadar valsartan özellikle diyabetli hastalarda önerilse de valsartanın oral biyoyararlanımı istenilen düzeyde değildir. Valsartanla ile ilgili çalışmaların birçoğunda tablet formu incelenmiştir. Bu anlamda, projemizde valsartan içeren kendiliğinden emülsifiye olabilen ilaç taşıyıcı sistemleri, katı kendiliğinden emülsifiye olabilen ilaç taşıyıcı sistemleri ve miseller çözeltisi geliştirilmiş ve ticari formülasyon ve toz valsartan ile karşılaşılmalı *in vitro* çalışmalar yürütülmüştür. Ayrıca yapılan farmakokinetik ve farmakodinamik etkinlik çalışmaları ile valsartanın antihipertansif etkinliği yenilikçi lipid bazlı ilaç taşıyıcı sistemleri içerisinde değerlendirilmiştir.

1.2. Araştırmmanın Sorusu

Tezimizde geliştirilen SEDDS, S-SEDDS ve miseller çözeltinin, ilacın oral biyoyararlanım ve etkinliğinin arttırılması, antihipertansif tedavi için daha az doza ihtiyaç duyulan ve böylelikle hasta uyuncunun iyileştirildiği bir ilaç şekli olması amacıyla, ticari oral formülasyonlarına (tablet) kıyasla daha iyi bir alternatif olup olmadığı sorusuna cevap aranacaktır.

1.3. Araştırmının Hipotezleri

Lipid bazlı formülasyonlarının amacı, gastrointestinal (GI) yol boyunca minimum çökmeye çözünmüş ilacın transferini sağlayarak suda az çözünen ilaçların biyoyararlanım ve absorpsyonlarını artırmaktır. Son yıllarda yapılan çalışmalarda, lipid bazlı ilaç taşıyıcı sistemlerin özellikle lenfatik taşınma ile hepatik metabolizmayı atlayıp, kan konsantrasyonunun artması yolu ile büyük ölçüde karaciğerde metabolize olan ilaçların terapötik etkinliğini artırdığı görülmüştür. Bu nedenle de tezimizde suda

düşük çözünürlük gösteren, karaciğer ilk geçiş etkisine sahip ve düşük biyoyararlanım gösteren valsartanın miseller çözeltisi, SEDDS, S-SEDDS gibi lipid bazlı ilaç taşıyıcı sistemleri geliştirilmiş ve bu sistemler birbirleriyle kıyaslanarak antihipertansif tedavi için ideal bir lipid bazlı sistem (F8B) önerilmiştir.

Geliştirilen lipid bazlı formülasyonların karakterizasyon, stabilité ve *in vitro* salım çalışmaları tamamlandıktan sonra, Caco-2 hücre hatlarından geçiş çalışmaları yapılmış, seçilen lipid sistem (F8B) ile *in vivo* çalışmalar yürütülmüştür. *In vivo* çalışmalarda, geliştirilen lipid formülasyon içindeki etkin maddenin farmakokinetik profili, kan basıncı üzerine olan etkisi ve biyokimyasal parametreleri, ticari farmasötik şekil ile karşılaştırmalı olarak sığanlarda incelenmiştir. Geliştirdiğimiz formülasyonun biyoyararlanımının *in vitro* ve *in vivo* olarak daha üstün olduğu görüşmüştür.

1.4. Araştırmamanın Varsayımları

Tezimizde karakterizasyon ve stabilitede kullanılan parametreler istatistiksel olarak anlamlı sayıda olacak şekilde belirlenmiştir. Farmakokinetik ve farmakodinamik çalışmalarındaki örneklem büyüklüğü etik kurulun izin verdiği ölçüdedir.

1.5. Araştırmamanın Sınırlılıkları

Tez çalışmamızdaki en büyük sınırlılık maddi olanaklar olmuştur. Bu güçlükleri büyük ölçüde aşmamıza yardımcı olan TUBİTAK (117S821) ve Ege Üniversitesi BAP birimine (17-İLAM-004 ve 17-ECZ-014) teşekkür ederiz.

1.6. Araştırmamanın Amacı

Bu tezin amacı, hipertansiyon tedavisinde kullanılan bir anjiyotensin II tip I reseptör antagonisti olan valsartanın lipid bazlı ilaç taşıyıcı sistemlerini (miseller çözelti, SEDDS, S-SEDDS) geliştirmek ve geliştirilen bu formülasyonları birbiri içinde kıyaslayarak etkinliğini *in vivo* olarak araştırmaktır. Bu tezde hedeflenen ölçütlerle ulaşıldığında, geliştirilen lipid bazlı ilaç taşıyıcı sistem ile mevcut antihipertansiflerin hipertansiyon tedavisinde daha etkin ve güvenilir bir şekilde kullanılmasının sağlanması, antihipertansif kombinasyonlarının tercih sıklığının azaltılması, maliyet ve etkinliği daha avantajlı ticari bir takdim şeklinin yaratılması olasıdır.

Genel Bilgiler

2.1. Hipertansiyon

Hipertansiyon genel popülasyonda yüksek prevalansa sahip, birinci basamakta 8 kişiden 1'inde görülen ve kardiyovasküler ve böbrek hastalığı için ana risk faktörü olan bir hastalıktır. Uygun ilaçların varlığına rağmen, tansiyon hastalarının sadece %25'inin kan basıncı kontrol altındadır. Bu bireylerin %50'si tedavi edilmemektedir ve maalesef, kan basıncının tedavi edilmesi tavsiye edilen hipertansif hastaların sadece %50'sinde kılavuza dayalı hedeflere ulaşılmaktadır. Bu gidişle, dünya çapındaki yetişkinlerin üçte birinin 2025 yılına kadar hipertansiyon hastası olacağı öngörülmektedir (Bhagani, Kapil, & Lobo, 2018).

Hipertansiyon, kan basıncının 140/90 mmHg'nın üzerinde olması olarak tanımlanır. Genel popülasyonda sıklığı yüksek olan kardiyovasküler hastalıklar için tedavi edilebilir önemli bir risk faktördür. En sık görülen esansiyel hipertansiyondur ve yaygın bir hastalıktır. Ancak sekonder hipertansiyon da araştırılmakta ve teşhis altındadır. Toplumda, hipertansiyon "sessiz katil" olarak adlandırılır ve genelde açık bir belirti göstermez. Global olarak ölüm ve sakatlık için onde gelen bir risk faktördür; 25 yaş üstü kişilerin %40'ı hipertansiyonludur (O'Shea, Griffin, & Fitzgibbon, 2017). Hipertansiyonlu (HT) yetişkinlerin sayısı 1975'te 594 milyon iken 2015'te 1.13 milyara yükselmiştir (Zhou et al., 2017).

Kan basıncının regülasyonu kardiyovasküler sistem, renal sistem, sinir sistemi ile endokrin sistem arasındaki etkileşimle sağlanmaktadır. Kan basıncının uzun süre yüksek seyretmesi zaman içinde organ hasarına sebep olur ve kardiyovasküler sisteme, böbreklere ve gözlere zarar verebilmektedir. Ancak uzun süren bu sürecin erken evrelerinde yüksek kan basıncı, kardiyovasküler fonksiyon bozulmasına neden olmayabilir. Zaman içinde görülen bu fonksiyonel bozulmanın çoğu, yüksek kan basıncının neden olduğu kompansatuar mekanizmaların (vasküler-ventriküler hipertrofi) sonucunda veya vasküler sisteme olan değişiklikler (endotel fonksiyon değişikliği-ateroskleroz vb.) sonucunda olmaktadır (Aydın & Öztürk, 2014).

Hipertansiyon sıklığı ırk ve coğrafyaya göre değişim göstermektedir. Amerika Birleşik Devletleri ve pek çok Avrupa ülkesinde erişkin nüfusun yaklaşık %25-30'unda hipertansiyon bulunmaktadır. Türkiye'de yapılan değişik çalışmalarda erişkin yaş grubunda hipertansiyon prevalansı %33 (Türk Kardiyoloji Derneği), %35.9 (Türkiye

Endokrinoloji ve Metabolizma Derneği) ve %30.3 (Türk Hipertansiyon ve Böbrek Hastalıkları Derneği) arasında değişmektedir. Ülkemizde hipertansiyon görülme sıklığı ile ilgili ilk geniş kapsamlı çalışma “Türk Erişkinlerinde Kalp Hastalıkları ve Risk Faktörleri (TEKHARF)” çalışmasıdır. Bu çalışmada, hipertansiyon prevalansının %33.7 olduğu, yaş ilerledikce bu sayının arttığı saptanmıştır. Daha yakın zamanda tamamlanmış olan Türk Hipertansiyon Prevalans Çalışması (Prevalence, awareness and treatment of hypertension in Turkey, PatenT), ülkemizde hipertansiyonun sıklığı, dağılımı, farkındalığı, tedavi ve kontrol oranları konusunda en güncel ve kapsamlı bilgilere erişmek amacıyla gerçekleştirılmıştır. Çalışmada erişkin yaş grubunda hipertansiyon görülme sıklığını %31.8 olarak bulunmuştur. Bu oran kadınlarda %36.1 iken, erkeklerde %27.7 olarak rapor edilmiştir. Ayrıca, hipertansiyonlu hastaların sadece %40.7'sinin hastalıklarının farkında olduğu tespit edilmiş, %31.1'inin antihipertansif tedavi aldığı ve tedavi alanların sadece %20.7'sinin kan basıncının kontrol altında olduğu saptanmıştır. Diyabet ve prediyabet prevalans ve risk faktörlerinin değerlendirildiği TURDEP-2 çalışmasında hipertansiyon prevalansı %31.4 olarak rapor edilmiştir. Hipertansiyon sıklığının yıllar içinde azaldığı görülmüştür. Ülkemizde erişkilerde yapılan metabolik sendrom prevalansının ATPIII (The Adult Treatment Panel Guidelines) ve IDF (International Diabetes Federation) kriterlerine göre değerlendirildiği bir diğer çalışmada ise hipertansiyon her iki grupta da en sık rastlanan metabolik sendrom komponenti olarak belirlenmiştir. Yaşa hipertansiyon sıklığının belirgin arttığı gösterilmiştir (Türkiye Endokrinoloji ve Metabolizma Derneği, 2018).

Kan basıncı yaşı arttıkça artar ve bu artış çevre ve yaşam tarzı faktörlerinin yanı sıra başlıca elastik arteriyel damarlılıkta, özellikle aortta arteriyel sertliğin neden olduğu hemodinamikteki değişikliklerin neden olduğu düşünülmektedir. Artan arter sertliği sistolik kan basıncının artmasına ve diastolik kan basıncının azalmasına neden olur. Bu nedenle yaşlı bireylerde izole sistolik hipertansiyonun prevalansının artmasından sorumludur. Ayrıca, hipertansiyon, İngiltere ve ABD gibi Batı ülkelerinde kadınlarda ve etnik azınlıklarda daha yüksek bir prevalansa sahiptir (Bhagani et al., 2018).

2013 ESH / ESC kurallarına göre hipertansiyon tanımları aşağıda verilmiştir;

- İşte (At work) Kan Basıncı: Sistolik \geq 140mmHg, Diastolik \geq 90mmHg.
- Ambulant Kan basıncı: Gündüz (uyanık) Sistolik \geq 135mmHg, Diastolik \geq 85mmHg.

Gece (uykuda) Sistolik \geq 120mmHg, Diastolik \geq 70mmHg.

24 saat boyunca Sistolik \geq 130mmHg, Diastolik \geq 80mmHg.

-Evde Kan Basıncı: Sistolik \geq 135 mmHg, Diastolik \geq 85mmHg.

Hipertansiyon tanısı için sistolik kan basıncı, diyastolik kan basıncı veya her ikisi de yukarıda belirtilen değerleri aşmalıdır (Oparil et al., 2018).

Yine 2007 ve 2013 ESH/ESC kurallarına göre hipertansiyonun sınıflandırılması aşağıda belirtildiği şekilde yapılmaktadır;

Optimal: Sistolik <120mmHg ve Diastolik <80mmHg

Normal: Sistolik 120-129mmHg ve/veya Diastolik 80-84mmHg

Yüksek normal: Sistolik 130-139mmHg ve/veya Diastolik 85-89mmHg

Evre 1 hipertansiyon: Sistolik 140-159mmHg ve/veya Diastolik 90-99mmHg

Evre 2 hipertansiyon: Sistolik 160-179mmhg ve/veya 100-109mmHg

Evre 3 hipertansiyon: Sistolik \geq 180 ve/veya Diastolik \geq 110mmHg

İzole sistolik hipertansiyon : Sistolik \geq 140mmHg ve Diastolik <90mmHg'dır (Aydın & Öztürk, 2014).

Hipertansiyon etiyolojik olarak primer ve sekonder olarak iki bölümde değerlendirilir.

2.1.1. Primer Hipertansiyon

Hipertansiyonlu hastaların birçoğunda, net bir neden tanımlanmamıştır. Buna esansiyel, primer veya idiyopatik hipertansiyon denir. Esansiyel hipertansiyon bir dışlama teşhisidir ve tüm hipertansiyon vakalarının ~%90-95'ini oluşturur. Genetik yatkınlık ve çevresel faktörler arasındaki karmaşık bir etkileşimden kaynaklandığı düşünülmektedir. Esansiyel hipertansiyona yatkınlık, poligeniktir ve sadece çevresel faktörlerle birleşince anlamlı bulunur. Esansiyel hipertansiyon heterojen bir hastalıktır, farklı hastalarda yüksek kan basıncı ile sonuçlanan farklı rastgele faktörlere sahiptir. Obezite, yüksek alkol ve/veya tuz alımı, insülin direnci, düşük potasyum ve/veya düşük kalsiyum alımı, yaşılanma, hareketsiz yaşam tarzı ve stres, hipertansiyon gelişimine katkıda bulunur (O'Shea et al., 2017).

Ayrıca hipertansiyon, hem etiyolojisinde duygusal nedenlerin rol oynaması hem de seyri sırasında psikiyatrik belirtilerin ve bozuklukların ortaya çıkabilmesi nedeni ile psikiyatrik olarak da yillardır araştırılmaktadır. Yapılan çalışmalarda; aşırı kontrollü ve uyumlu olma, işte sürekli çaba gösterme, agresif dürtüleri bastırma gibi özelliklerin hipertansiyona yatkınlığa neden olduğu gösterilmiştir. Hipertansiyonun baskılanmış duygulara karşı bir tepki, bir uyum ve savunma mekanizması olduğu kabul edilmektedir. Hipertansiyona yatkın kişilerde, duygusal streslere cevap olarak sempatik sinir sisteminin etkilendiği, vasküler vazokonstriksiyon ve diğer otonomik cevapların sonucu olarak hipertansiyon ortaya çıkmaktadır. Strese vazokonstriktör cevabının hipertansif olanlarda, tansiyonu normal olanlara göre çok daha uzun olduğu da gösterilmiştir. Hipertansiyona yatkın olan kişilerde, strese karşı otonomik yanıt özelliği kan basıncının yükselmesi şeklindedir. Esansiyel hipertansiyonda sempatik uyarı artışının kilit bir etmen olabileceği, baroreseptörlerin yapısal ve işlevsel değişiklikler göstererek yeniden düzenlendiği günümüzde en geçerli olan varsayımdır (Çelik & Özdemir, 2010).

2.1.2. Sekonder Hipertansiyon

Sekonder hipertansiyon, tanımlanabilen bir sebebe bağlı olan arteriyel hipertansiyon anlamına gelir ve genel hipertansif popülasyonun yaklaşık %5-10'unu etkiler. Belirlenebilir nedenler arasında obstrüktif uykı apnesi, renovasküler hastalık, renal parenkimal hastalık, primer aldosteronizm, Cushing sendromu, hipertiroidi, hipotiroidi, hiperparatiroidi, feokromositoma veya paraganglioma, gebelik, akromegali ve aort koarktasyonu sayılabilir. Sekonder hipertansiyonun sıklığı, yaşa ve taranan popülasyonun klinik özelliklerine oldukça bağlıdır (O'Shea et al., 2017).

Tüm hipertansiyon hastalarını sekonder hipertansiyon açısından değerlendirmek hem zaman hem de maliyet açısından uygun olmayacağından, klinik ipuçlarıyla kimlerin araştırılacağına karar verilebilir. Aşağıda belirtilen hasta gruplarında sekonder hipertansiyon araştırılması gereklidir:

- 1- Farklı sınıf üç adet yeterli dozda antihipertansif (biri diüretik olmak üzere) kullanımına rağmen kan basıncı ayarlanamayan hastalar,
- 2- Tedaviyle normal seyreden kan basıncında ani yükselmeleri olan hastalar,

3- Ailede hipertansiyon, kardiyovasküler hastalık gibi risk faktörleri ve obezitesi olmayıp 30 yaşından önce hipertansiyon hastası olanlar,

4- Puberteden önce hipertansiyon gelişen hastalar,

5- Malign veya ciddi hipertansiyona eşlik eden retinal hemoraji, papilödem, kalp yetmezliği, nörolojik bozukluklar, akut böbrek yetmezliği gibi son organ hasarının olduğu hastalar,

6- Anjiotensin dönüştürücü enzim (ACE) inhibitörü veya anjiotensin reseptör blokörü (ARB) kullanımı sonrası kreatinin değerlerinde ciddi yükselme olan hastalar (Türkiye Endokrinoloji ve Metabolizma Derneği, 2018).

2.2. Hipertansiyon Tedavisi

2.2.1. İlaç Dışı Tedavi

İlaç dışı tedavi yöntemleri yaşam tarzı değişikliklerini kapsamaktadır. Bunlar;

- Fiziksel aktivitenin artırılması,
- Vücut kitle endeksinin azaltılması (özellikle vücut kitle endeksi 20'nin üzerindeyse),
- Tuz kısıtlaması,
- Meyve ve sebzeye zengin bir diyet uygulanması,
- Sigara ve alkol kullanımının mümkün olduğunda azaltılması veya bırakılması,
- Stresi azaltılmış bir hayatı yönelme veya stresle başa çıkabilme,

gibi kişinin kolayca yapabileceği değişikliklerdir (Üstü & Uğurlu, 2018).

Bu yaşam tarzı değişiklikleri tüm hipertansif hastalara ve yüksek normal kan basıncılı kişilere önerilir. İlaç tedavisi, evre 3 hipertansiyona sahip hastaların yanı sıra evre 1 ve 2 hipertansiyonu olan yüksek veya çok yüksek toplam kardiyovasküler risk (yaş, sigara, dislipidemi, açlık plazma glikozu yüksekliği, anomal glikoz tolerans testi, abdominal obezite, ailede erken yaşta kardiyovasküler hastalık öyküsü, organ hasarları, diabetes mellitus, serebrovasküler hastalık, kalp hastalığı, böbrek hastalığı, ilerlemiş retinopati gibi risk faktörleri) altındaki hastalarda derhal başlanmalıdır (Kılıç & Üstü, 2012).

Evre 1 ve 2'de yüksek kardiyovasküler risk yoksa ve kan basıncı ölçümlerinde ortalama 180/110 mmHg ise, yaşam tarzı değişikliklerine ek olarak ilaç başlanmalıdır.

Aradaki değerlerde ise, yaşam tarzı değişiklikleri önerileri ile ilaç eklenmesi 1 ila 8 haftaya kadar ertelenebilir (Ritchie Mackenzie, Campbell, & Murchie, 2011).

2.2.2. Farmakolojik Tedavi

Araştırmalar, tüm ilaç gruplarının benzer etkinlikte olduğunu göstermiştir. Tedavinin yararı kan basıncı düşüşü ile ilgilidir, yani ilaçların çeşitliliğinden bağımsızdır. Bu nedenle ilaç seçiminde, ek hastalıklar göz önüne alınarak dual etkili ilaçlara öncelik verilmeli, yan etki profili dikkate alınmalı ve maliyet-etkin olanlar tercih edilmelidir (Üstü & Uğurlu, 2018). Dolayısıyla tekli veya kombinasyon tedavisi olarak diüretikler (tiyazid grubu, klortalidon ve indapamid), beta-blokerler, kalsiyum kanal blokerleri, anjiyotensin dönüştürücü enzim (ACE) inhibitörleri ve anjiotensin reseptör blokerlerin hepsi antihipertansif tedavinin başlatılması ve sürdürülmesi için uygundur. Kılavuza (ESC/ESH/2013) göre bu beş grup ilaç da ilk tedavi olarak kullanıldıklarında kan basıncında yeterli düşüş sağlamaktadır. Antihipertansif ilaçlar kendilerine özgün avantajları ve kısıtlılıkları ile hastaların özellikleri dikkate alınarak ve zorlayıcı endikasyonlar göz önünde bulundurularak kullanılmalıdır. ESC/ESH/2013 kılavuzunda da bu konuya aynı şekilde vurgu yapılmıştır. Yani hipertansiyon tedavisi hastaya özgü olmalı, hipertansiyona eşlik eden klinik durumlar, risk faktörleri, hastanın yaşı, cinsiyeti ilaç seçimi öncesinde dikkate alınmalıdır (Kabakçı, 2013).

2.2.2.1. Hipertansiyon Tedavisinde Kullanılan İlaçlar

Hipertansiyon tedavisinde kullanılan ilaç grupları aşağıda verilmiştir,

- Diüretikler
- Anjiotensin Dönüşürücü Enzim İnhibitorleri (ACEi)
- Kalsiyum Kanal Blokerleri
- Beta Blokerler
- Alfa-1 Blokerler
- Vasodilatörler
- Santral Alfa-2 Agonistleri ve diğer Santral etkili ilaçlar
- Renin-Anjiotensin-Aldosteron İnhibitorleri
- Anjiotensin Reseptör Blokerleri (ARB)

2.2.2.1.1. Diüretikler

Diüretikler hipertansiyonda her zaman ilk sıra ilaç olmuşlardır. Fakat son zamanlarda yeni başlangıçlı diabetes mellitus insidansının artması ve daha düşük yan etki profiline sahip ilaçlar sebebiyle kullanımı azalmaktadır.

Hipertansiyon tedavisinde kullanılan diüretikler aşağıdaki gibi sınıflandırılır:

- Tiazid diüretikleri
- Tiazid benzeri diüretikler
- Aldosteron inhibitörleri
- Kıvrım diüretikleri
- Diğer potasyum tutucu diüretikler.

Tiazidler, sodyum ve klorürün yeniden emilmesini önlemek için nefronun distal kısmını üzerinde etki ederler. Hipertansiyonda, renin-anjiyotensin aldosteron sistemi (RAAS) uyarıldığında, daha fazla sodyum distal tübule ulaşır. Tiazid diüretikler başlangıçta yüksek dozlarda kullanılırdı. Daha sonra, düşük doz tiazid diüretiklerinin daha iyi fayda zarar profiline sahip olduğu anlaşılmıştır (Unni, 2016).

Hipertansiyonda kullanılan ilaçların sınıflandırılmasında tiyazid grubu diüretikler (hidroklorotiyazid) ve tiyazid benzeri diüretikler (klortalidon, indapamid) yıllarca ilk tercih olarak önerilmiş ve aynı başlık altında değerlendirilmiştir (Asil & Atalar, 2017). Tiazid diüretiklerinin yan etkileri doza bağımlıdır ve bunlara hiponatremi, hipokalemi, metabolik alkaloz, hipovolemi, hipotansiyon ve daha az olarak hiperürisemi, hipomagnezemi, hiperglisemi, hiperlipidemi ve impotens dahildir. Kıvrım ve tiazid grubu diüretiklerin farkı, kıvrım diüretikleri sonrası hipokalsemi oluşur fakat tiyazid diüretiklerinden sonra hiperkalsemi oluşur (Laurent, 2017).

Aldosteron inhibitörlerinin en bilinen üyesi spironolaktondur. Spironolakton, geliştirilen ilk mineralokortikoid antagonistidir. Kalp yetmezliği, sekonder aldosteronizm ve diğer patolojiler ile ilişkili hipertansiyon, primer hiperaldosteronizm ve periferik ödem tedavisinde kullanılır (Hargovan & Ferro, 2014).

Kıvrım diüretikleri Henle kıvrımının kalın yükselen kolunda sodyum-potasyum-klorür taşıyıcıyısını inhibe eder, bu da sodyum, klorür ve suyun yeniden emiliminin

azalmasına neden olur. Furosemidin diğer kıvrım diüretiklerinden daha üstün olduğunu gösteren hiçbir veri bulunmamasına rağmen, ABD'de en sık kullanılan 200 reçeteli ilaçta bulunan tek kıvrım diüretik olduğu için sınıf arasında ilk tercih olduğu açıkça görülmektedir. Diğer kıvrım diüretikleri bumedanid, tosemid, etakrinik asittir. Kıvrım diüretikleri sınıfı içindeki tüm ilaçlar başlangıç konsentrasyonu, maksimum konsantrasyon ve etki süresi benzer olmakla birlikte, metabolizma, yarı ömrü biyoyararlanım ve atılmaları yönünden farklılıklar bulunmaktadır (Wargo & Banta, 2009). Kıvrım diüretikleri, hücre dışı sıvı hacminde bir azalma ile kan basıncını düşürür. Sodyum atılımının artmasına karşılık gelen plazma hacmindeki azalma, venöz dönüşü azaltır ve kardiyak debiyi azaltır. Plazma hacmindeki bu değişiklikler, sempatik sinir sistemini ve renin anjiyotensin aldosteron sistemini uyarabilir. Furosemid ile diürez başlangıcı, 1 saat içinde hızlı bir şekilde başlar, 3-6 saatte pik yapar, 12 saat sonra azalır. Kıvrım diüretiklerinin yan etkileri doza bağımlıdır ve hiponatremi (Na^+ tükenmesi ve seyreltme), hipokalemi, metabolik alkaloz, hipovolemi, hipotansiyon ve daha az olarak hiperürisemi, hipokalsemi, hipertansemi, hiperglisemi, hiperlipidemi, üriner dolgunluk ve impotens yapabilir. Kıvrım diüretikler gut hastalarında kontrendikedir (Laurent, 2017).

Epitelyal sodyum kanal blokerleri, zayıf diüretik özellikleri olan potasyum tutucu bileşiklerdir. Hem amilorid hem triamteren, Liddle sendromunda tercih edilen tedavi yöntemidir, ancak monoterapi olarak kullanıldığından esansiyel hipertansiyonda nispeten etkisizdir (Catena, Colussi, & Sechi, 2012). Hiperkalemi, özellikle kronik böbrek hastalığı, kalp yetmezliği veya diyabeti olan potasyum tutucu diüretik veya potasyum takviyesi alan hastalarda yaygın bir yan etkidir. Hiperkalemi, metabolik asidoz ile ilişkilidir. İktidarsızlık, azalmış libido, bilateral jinekomasti ve mastodini, potasyum tutucu diüretik tedavisinin sık görülen komplikasyonlarıdır. Potasyum tutucu diüretikler böbrek yetmezliği olan hastalarda kontrendikedir (Laurent, 2017).

2.2.2.1.2. Anjiyotensin Dönüştürücü Enzim İnhibitörleri (ACEi)

Anjiyotensin dönüştürücü enzim inhibitörleri (ACEi), anjiyotensin dönüsürücü enzim (ACE) olarak adlandırılan anjiyotensin I'in anjiyotensin II'ye dönüşümünü katalize eden apluripotent çinko metaloproteinaz'ı hedefler. ACE endotel hücrelerinde büyük ve küçük damarlarda, kılcal damarlarda ve venüllerde ve pulmoner endotelial hücrelerde bulunur. Önemli olarak, ACE, sistemik arter sirkülasyonuna giren

anjiyotensin II miktarını, akciğerler içindeki stratejik pozisyon ve genel dolaşımındaki akciğerlerin stratejik pozisyonu nedeniyle modüle edebilir (Laurent, 2017).

İlk anjiyotensin dönüştürücü enzim (ACE) inhibitörü olan kaptoprilin 1981'de kullanıma girmesinden itibaren, bu ilaç sınıfı çeşitli kardiyovasküler hastalıkların tedavisinde yaygın olarak kullanılmaktadır. Diğer anjiotensin dönüştürücü enzim inhibitörleri benazepril, enarapril, fosinopril, lisinopril, perindopril, ramipril, trandoprildir. ACE inhibitörleri, anjiyotensin II oluşumunu inhibe eder ve sonuç olarak anjiyotensin II tip 1 (AT1) reseptörü (vazokonstriksiyon, hücre büyümesi, sodyum ve su tutma, sempatik aktivasyon) ve anjiyotensin II tip 2 (AT2) reseptörünü etkiler. ACE inhibitörlerinin bir dezavantajı, ACE bulunmayan yollarda ACE'nin inhibisyonuna rağmen düşük seviyelerde anjiyotensin II üretime yol açmalarıdır. Bununla birlikte, anjiyotensin reseptörlerinin seçici olmayan inhibisyonunun faydalı olduğu gösterilmiştir çünkü anjiyotensin II'nin AT2 reseptörü yoluyla etkisi, artan vazodilatasyon ve antiproliferatif aktivite ile sonuçlanabilir (Messerli, Bangalore, Bavishi, & Rimoldi, 2018).

Anjiotensin dönüştürücü enzim inhibitörlerinin kan basıncını düşürücü etkisi aylar ve yıllar boyunca devam ettiğinden, kininaz II'nin (ACE'ye benzer) inhibisyonuna cevap olarak, bradikinin (vazodilatuvar bir peptid) konsantrasyonlarında, artış gibi başka mekanizmalar önerilmiştir. ACEi, hipertansif hastalarda hedef organları koruyabilmektedir. Nitekim, ACEi'lerin uzun süreli uygulanması sol ventrikül hipertrofisinin (LVH) azaltılması, endotel fonksiyonunun iyileştirilmesi, büyük arterlerin sertleşmesinin önlenmesi ve büyük ve küçük arterlerin yeniden yapılandırılması ile ilişkilidir. Büyük arterlerin gevşetilmesi daha az basınç dalgası yansmasına ve aort boyunca basınç dalgalarının daha yavaş yayılmasına neden olur, bu nedenle merkezi sistolik ve nabız basınçlarındaki düşüşle ilişkilendirilir (Laurent, 2017).

ACEi'ler genellikle iyi tolere edilen ilaçlardır. Bununla birlikte, bu ilaçların en sık görülen yan etkileri öksürük ve anjiyoödemdir. ACEi gebelikte, önceki anjiyo nevrotik ödem veya hiperkalemili hastalarda ve bilateral renal arter darlığı olan hastalarda kontrendikedir (Laurent, 2017).

2.2.2.1.3. Kalsiyum Kanal Blokerleri

Kalsiyum kanal blokerleri, farklı kimyasal yapıları ve farmakolojik etkileri olan heterojen bir gruptur. Üç farklı kalsiyum kanal blokeri alt sınıfı vardır: fenilakilamin (örneğin, verapamil), benzotiyazepinler (örneğin, diltiazem) ve dihidropiridinler (örneğin, nifedipin, amlodipin, izradipin). Tüm kalsiyum kanal blokerleri vazodilatördür ve kan basincını azaltma kapasiteleri vardır. Kalsiyum kanal blokerlerinin vazodilatör gücü, alt sinifa göre değişir; dihidropiridin tipi bileşikler, fenilakilamin ve benzotiyazepin gruplarına göre nispeten daha güçlündür. Dihidropiridin kalsiyum kanal blokerlerinin kalp atış hızı üzerinde değişken etkileri vardır. Akut olarak, bu ilaçlar bir refleks taşikardisini indükleme eğilimindedir. Bu ilaçların daha yüksek dozları genellikle kalp hızındaki artışla ilişkilidir. Dihidropiridin kalsiyum kanal blokerlerin, kardiyak debiyi azaltması dihidropiridin olmayan kalsiyum kanal blokerlerinden daha olasıdır. Dihidropiridin olmayan kalsiyum kanal blokerleri nabızı % 10 kadar azaltabilir ve negatif inotropik etkiye sahiptir (Sica, 2006).

Kalsiyum kanal blokerleri küçük dirençli arterlerin vazodilatörleridir. Akut uygulanırsa, toplam periferik direnci ve ortalama kan basincını düşürürler ve kalp çıkışını arttırlar. Kronik uygulamadan sonra, kalp debisi ön tedavi seviyelerine döner ve ortalama arter basıncı ve sistemik vasküler direnç düşer. Bu değişiklikler büyük arterlerin gevşemesiyle, dolayısıyla daha az arteriyel sertlik ve dalga yansımısıyla ilişkilendirilerek merkezi sistolik ve nabız basınçlarında düşüşe neden olur (Laurent, 2017).

Verapamil ve diltiazem, kalp nodal dokusu üzerindeki doğrudan inhibitör etkileri ve vasküler selektivite eksikliği nedeniyle bradikardik ajanlardır. Sinüs düğümü üzerindeki inhibitör etkilerine paralel olarak, kalsiyum kanal blokerleri atrioventriküler (AV) düğümde iletimi yavaşlatır. Verapamil ve diltiazem negatif inotropik ajanlardır. Sonuç olarak, dihidropiridinler daha güçlü vazodilatörlerdir ve genellikle diltiazem ve verapamil gibi diğer kalsiyum kanalı antagonistleri sınıflarının temsilcilerinden daha az kardiyak depresan aktiviteye sahiptir. Kalsiyum kanal blokerlerinin venöz sistem üzerinde doğrudan etkisi yoktur ve ön yükü değiştirmez (Laurent, 2017).

Kalsiyum kanal blokerleri genellikle iyi tolere edilen ilaçlardır. Yüksek dozlarda dihidropiridinler ayak bileği ödemii, baş ağrısı, kızarma ve taşikardiye yol açabilir.

Yüksek dozda verapamil kabızlığı neden olabilir. Tüm kalsiyum kanal blokerlerinden sonra dişeti hipertrofisi görülebilir. Dihidropiridin olmayanlar, kasılmaının azalması ve ciddi bradikardiye neden olabilir. Bu nedenle, kalsiyum kanal blokerleri özellikle kardiyak selektif, dihidropiridin olmayanlar önceden var olan bradikardi, atrioventriküler iletim defekti veya sistolik kalp yetmezliği olan hastalara verilmemelidir. Benzer şekilde, dihidropiridin olmayanlar, bir beta-blokerle tedavi edilen hastalara uygulanmamalıdır, çünkü verapamil ve diltiazem beta-blokarın kardiyak elektrik ve mekanik aktivite üzerindeki etkilerini hızlandırır. Verapamil ve diltiazem, diğerleri arasında, digoksin, siklosporin, dabigatran, atorvastatin ve simvastatin ile önemli ilaç etkileşimlerine sahiptir. Verapamil ve diltiazem, atrioventriküler blok, ağır sol ventrikül disfonksiyonu ve kalp yetmezliği olan hastalarda kontrendikedir (Laurent, 2017).

2.2.2.1.4. Beta Blokerler

Beta-blokerlerin hipertansiyon tedavisine girmeleri, ilk beta-bloker olan ve anjina tedavisi için geliştirilen pronetalolun kan basıncını düşürdüğünün fark edilmesi ile başlamıştır. Beta-blokerler hipertansiyon tedavisinde, uzun süre diüretikler ile birlikte en sık kullanılan ilaçlar olmuş ve uzun yıllar çeşitli hipertansiyon kılavuzlar tarafından birinci basamak tedavi olarak önerilmiştir. Beta-blokerlerin, iskemik ve iskemik olmayan kalp yetersizliğinde de morbidite ve mortaliteyi azalttığı açık bir şekilde ortaya konmuştur (Abacı, 2005).

Beta-blokerlerin antihipertansif etkisini açıklamak için çeşitli etki mekanizmaları önerilmiştir: Bradikardiye cevap olarak kardiyak verimdeki azalma, ortalama kan basıncını düşürmek için en önemli faktörlerden biridir. Herhangi bir kan basıncını düşürücü ilaç, baroreflex sistemini aktive ettiğinden, toplam periferik dirence bağlı artış şaşırtıcı olmamaktadır. Ancak bu artış baroreseptörlerin sıfırlanması sonucu bastırılmaktadır. Beta blokerlerin etkileri sonucu merkezi kaynaklı sempatik aktivitedeki bir azalma da muhtemeldir. Beta blokerler vazomotor tonunda bir azalmaya yol açar ve renin salgılanmasındaki azalma ile ilişkili olabilir. Ayrıca prekfonksiyonel beta reseptörleri üzerinde norepinefrin salınımında azalmaya yol açan etkileri olduğu da düşünülmektedir (Laurent, 2017).

Beta blokerler etki mekanizmalarına göre 3 gruba ayrılır. Birinci kuşak beta-blokerler (örneğin: propranolol) hem β_1 hem de β_2 reseptörlerine etki eder, başka bir etkisi yoktur.

İkinci kuşak β -blokerler (örneğin: metoprolol ve bisoprolol) seçici bir şekilde β_1 reseptörlere etki eder, başka bir etkisi yoktur. Metoprololün β_1 reseptörler üzerine etkisi β_2 reseptörlerden 75 kat fazladır, bisoprololun etkisi ise 120 kat fazladır. Üçüncü kuşak beta-blokerler (örneğin: karvedilol) β_1 ve β_2 reseptörler için seçici olabilir veya olmayabilir, önemli ek özellikleri vardır. Karvedilol düşük dozlarda β_1 reseptörlere biraz daha fazla etkilidir (7 kat), ancak yüksek dozlarda β_1 ve β_2 reseptörlere eşit etkilidir. Karvedilol aynı zamanda güçlü bir α_1 -blokerdir, periferik damarlarda genişlemeye yol açar (Eroğlu, 2004).

Tedavide kullanılan beta blokerler, asebutalol, atenolol, betaksolol, bisoprolol, karteolol, karvedilol, labelatol, metoprolol, nadolol, nebivolol, oksprenolol, penbutolol, propanolol, pindolol, sotalol, timololdur (Laurent, 2017).

2.2.2.1.5. Alfa-1 Blokerler

Alfa-1 reseptörlerin seçimi olarak bloke edilmesi katekolaminlerin periferik adrenerjik reseptörlerdeki etkisi olan vasokonstrüksiyonu engelleyerek kan basincını düşürür. Fentolamin, hipertansif krizlerin tedavisinde kullanılan (örneğin feokromositoma veya kokain zehirlenmesinden kaynaklanan hipertansiyon) kompetitif seçici olmayan, kısa etkili bir alfa blokerdir. 1 ila 5 mg'lık bir intravenöz doz, 5-20 dakika boyunca kan basıncında hızlı bir azalmaya neden olur. Fenoksibenzamin, preoperatif feokromositoma tedavisinde esas olarak kullanılan uzun etkili, seçici olmayan bir alfa blokerdir. Prazosin ve doksazosin, vazodilatasyona neden olan seçici alfa-1 blokerleridir. Ayrıca, iyi huylu prostat hiperplazisi (idrar yolu düz kasının gevşemesi), konjestif kalp yetmezliği ve Raynaud hastalığı için de kullanılırlar. İlk doz hipotansiyonu ciddi olabileceğiinden, tüm alfa blokerleri dikkatli bir şekilde titre edilmelidir. Lipid ve glikoz metabolizması üzerinde ek olumlu metabolik etkileri vardır (Charlton & Thompson, 2018).

Alfa-1 reseptör blokerlerinin kullanımındaki en büyük sınırlama, genellikle ilk dozu takiben 90 dakika boyunca veya dozun hızlı bir şekilde artması sırasında ortaya çıkan ani ciddi semptomatik ortostatik hipotansiyonu tarif eden ilk doz fenomenidir. İlacın yatmadan önce alınması veya gastrointestinal terapötik sistem kullanılması, senkop insidansını azaltmıştır (Laurent, 2017).

2.2.2.1.6. Vasodilatörler

Vasodilatörler; nitrik oksit donörleri, potasyum kanal aktivatörleri ve kalsiyum kanal blokerleri olmak üzere 3 gruptur (Kalsiyum kanal blokerleri yukarıda ayrı bir grup olarak incelenmiştir) (Charlton & Thompson, 2018).

Nitrik oksit donörleri, gliserin trinitrat ve sodyum nitroprussiddir. Gliserin trinitrat, hipertansiyon (venodilasyon) ve anjina tedavisinde kullanılır (miyokard oksijen ihtiyacını azaltır). Transdermal veya intravenöz (10-200 mg/dk), oral olarak modifiye edilmiş salım tablet salımlı dilaltı olarak uygulanabilir. Yan etkileri taşikardi, tolerans (48 saat içinde), postural hipotansiyon, trombosit fonksiyon bozukluğu ve baş ağrısıdır. Sodyum nitroprussid, arterlerin ve damarların genişlemesine neden olur. Hipertansif bir krizde ve kasılı hipotansif anestezi için kullanılabilir. Hızlı başlangıçlıdır ve dengeli zamanları vardır, ancak ışığa duyarlıdır, bu nedenle infüzyon çözeltisi ışıktan korunmalıdır. Yan etkiler gliserin trinitrata benzer, ancak ek olarak siyanür zehirlenmesi riski olan miyokard iskemisi ve ribaunt hipertansiyon vardır. Taşifilaksi oluşturabilir (Charlton & Thompson, 2018).

Potasyum kanal aktivatörleri, minoksidil ve hidralazindir. Minoksidil'in aktif metaboliti olan Minoksidil sülfat, vasküler düz kas hücreleri üzerinde sarkolemnal adenozin trifosfata bağlı potasyum kanallarını açar ve arteriyel gevşemeye yol açar. Hem büyük hem de küçük arterleri gevşetir. Minoksidil, ağırlıklı olarak, kan damarlarının arter bölgesinde venodilasyon olmadan etki eder. Düzenleyici ve nörohumoral değişiklikler, kan basıncını düşürmü etkiyi azaltan sıvı tutulmasına yol açan sempatik sinir sistemi ve renin anjiotensin aldosteron sisteminin aktivasyonunu içerir. Yan etkilerinden biri olan hipertrikozun kapsamı minoksidil kesilmesini gerektirebilir, ancak genellikle birkaç hafta içinde kaybolur. Yan etkilerin ciddiyeti nedeniyle, bazı durumlarda, diğer tedavilere cevap vermeyen hastalar için, özellikle kronik böbrek yetmezliği olan hastalar için bir diüretikten sonra üçüncü basamak ajan olarak şiddetli hipertansiyon dışında, herhangi bir kardiyovasküler patolojide endike değildir. Hidralazin, dirençli arteriollerin doğrudan bir vazodilatördür. Venöz sisteme etkisi olmadan toplam periferik direnci azaltır. Minoksidilde olduğu gibi, kan basıncını düşürmeye cevap olarak düzenleyici ve nörohumoral değişiklikler meydana gelir. Yan etkiler, esas olarak doza bağımlı olan ve kan basıncını düşürme etkinliğini sınırlayabilen sıvı tutma ve taşikardidir. Hemolitik anemi, vaskülit, glomerülonefrit ve lupus benzeri sendrom da yan etki olarak bildirilmiştir. Hidralazin, uzun süreli

hipertansiyon tedavisi için endike değildir. Bununla birlikte, hamilelikteki gestasyonel ya da kronik hipertansiyon ve hamilelikteki ciddi hipertansiyonun acil kontrolü için bir beta-bloker ile birlikte endikedir (Laurent, 2017).

2.2.2.1.7. Santral Alfa-2 Agonistleri ve diğer Santral etkili ilaçlar

En sık kullanılan santral etkili antihipertansif ilaçlar, klonidin, rilmenidin ve metildopadır (Laurent, 2017).

Klonidin, sempatik tonunu azaltan ve zaman zaman hipertansiyon tedavisinde kullanılan merkezi bir alfa-2 agonistidir. Premedikasyon perioperatif sempatik tepkileri hafifletir. Klonidin, anestetik ajanların maksimum alveoler konsantrasyonunu (MAC) azaltır ve epidural olarak uygulandığında, opioidlerle sinerjistik olan analjezik etkilere sahiptir. Yan etkiler arasında akut tedavinin geri çekilmesinden sonra sedasyon, bradikardi ve ribaud hipertansiyonu bulunur (Charlton & Thompson, 2018).

Metildopa, etkili bir merkezi alfa-2 agonisti olarak görev yapan, metilnorepinefrine metabolize olan bir DOPA analogudur. Metildopa, çoğunlukla gebelikle ilişkili hipertansiyon tedavisinde kullanılır. Olumsuz etkiler arasında ödem, hepatotoksisite, pozitif direkt Coombs testi (% 10-20) ve kemik iliği baskılanması bulunur (Charlton & Thompson, 2018).

Rilmenidin, klasik alfa-2 adrenoseptörlerine nazaran imidazoline daha fazla afiniteye sahip olan hipotansif bir ilaçtır. Rilmenidin, klonidin ile karşılaştırıldığında, adrenerjik olmayan imidazolin reseptörleri için iki ila üç kat daha fazla seçiciliğe sahiptir. Rilmendin doza bağlı olarak kan basıncını düşürür. Adrenerjik sinir sisteminin inhibisyonu yoluyla damar direncini azaltır. Ayakta durma ve egzersiz nedeniyle kan basıncı değişse bile vazodilatör görevi görür. Santral yan etkiler klonidin veya metildopa ile karşılaştırıldığında daha az sıklıkta görülür. Klonidinin aksine, rilmenidin ile yapılan kronik tedavi sırasında sodyum tutulumu veya ağırlık artışı gözlenmemektedir (Laurent, 2017).

2.2.2.1.8. Renin-Anjiyotensin-Aldosteron İnhibitorları

Renin anjiyotensin sistemi (RAS) kardiyovasküler ve sıvı homeostazında rol oynar. Hipotansiyona neden olmak için çeşitli noktalarda manipüle edilebilir:

1. Renin salınınımının inhibisyonu (β -blokerler veya santral alfa agonistler).

2. Reninin doğrudan inhibisyonu (örneğin, aliskiren).
3. Güçlü vazokonstriktör anjiyotensin II'nin üretilmesini önlemek için anjiyotensin dönüştürücü enzimin (ACE) (örneğin enalapril, lisinopril) inhibisyonu.
4. Anjiyotensin II reseptörlerinin doğrudan blokajı (örneğin, losartan, kandesartan).
5. Aldosteronun (örneğin, spironolakton) kompetitif inhibisyonu (Charlton & Thompson, 2018).

Aliskiren, insan renininin oldukça güçlü ve seçici bir inhibitördür. Aliskiren uygulamasından sonra gözlenen plazma renin konsantrasyonundaki artış, anjiotensin dönüştürücü enzim inhibitörleri ve anjiotensin reseptör blokerlerine göre daha yüksektir. Bununla birlikte, plazma renin konsantrasyonundaki artış, kan basıncında paradoksal bir yükselişe dönüşmez çünkü plazma renin konsantrasyonundaki reaktif artış, renin inhibisyonunun %95'ini aşmak için gereken 20-100 kat artıştan çok daha küçüktür. Renin inhibitörleri hamilelikte, önceki anjiyonörotik ödem olgularında, hiperkalemide ve iki taraflı renal arter darlığı olan hastalarda kontrendikedir (Laurent, 2017)

2.2.2.1.9. Anjiotensin Reseptör Blokerleri

Anjiyotensin reseptör blokerleri (ARB) günlük kardiyoloji pratiğinde sıkılıkla kullanılan ilaçlardır. Güçlü antihipertansif etkileri ve düşük yan etki profilleri ile iyi tolere edilen bu ilaçlar kardiyovasküler alanda birçok endikasyonla kullanılmaktadır. Başlıca kullanıldıkları endikasyon hipertansiyon olmakla beraber diğer kullanıldıkları hastalıklar, sol ventrikül hipertrofisi, santral aortik basınç ve arteriyel sertlik, inme, diyabetik nefropati, proteinüri-mikroalbuminüri, atriyal fibrilasyon önleme, metabolik sendrom, konjestif kalp yetersizliği, koroner arter hastalığı ve anjiotensin dönüştürücü enzim inhibitörlerine bağlı öksürütür. İngiltere Hipertansiyon Derneği 2011 yılında yayınladığı yeni kılavuzda belirtilen bu endikasyonların yanısıra anjiotensin reseptör blokerlerin komplikasyonsuz hipertansiyon tedavisinde ilk tercih olarak kullanılabileceğini belirtmiştir (Dursun & Kozan, 2013; Kabakçı, 2013).

Losartan (kaptoril gibi), renin-anjiyotensin sistemini hedef alan bir ilaçtır. Klinik olarak onaylanmış ilk anjiyotensin II reseptörü antagonistidir, yani anjiyotensin II'nin

doğal reseptörüne bağlanması bloke eder, böylece renin-anjiyotensin mekanizmasını ACE inhibitörlerinden bir adım sonra keser. 1980'lerin başından itibaren, başarılı olan bir araştırma grubu (Pieter Timmermans ve Ruth Wexler önderliğinde) tarafından yürütülen geliştirme programı böyle bir farmakolojik profile sahip bir maddeye yönlendirildi. O zamanlar, anjiyotensin II reseptör antagonistlerinin etkili antihipertansif ajanlar olacağının öngörümekteydi. Bu açıklama kısmen anjiyotensin II'ye giden böbrek yolunu bloke etmenin terapötik değerini ortaya çıkaran kaptoprilin gelişmesine bağlıydı. Anjiyotensin II seviyesinin düşürülmesi yararlı ise, bunun bir reseptör antagonisti ile etkisini bloke etmek de aynı şekilde yararlı olacaktı. Ek olarak, 1970'lerde ACE inhibitörlerinin ortaya çıkmasıyla birlikte, anjiyotensin II reseptörü antagonistlerine de büyük ilgi vardı. Bu çalışmalar, peptid anjiyotensin II'nin (peptit reseptör antagonisti) saralasinin modifikasyonu ile elde edildiğini göstermiştir. Saralasin, oral olarak biyoyararlanımı olmadığından, kısa etki süresine sahip olduğundan ve kısmi agonist aktivite gösterdiginden ilaç olarak uygun değildi. Yine de saralasin ile yapılan çalışmalar anjiyotensin II'nin hipertansif rolünü kesin olarak göstermiştir (Adam, 2005).

Saralasin dezavantajları sonrası non peptid yapılı losartan geliştirilmiştir. Losartan ilk prototiptir. Günlük kardiyoloji pratiğinde yaygın bir biçimde kullanılan ARB'lerin diğer üyeleri ise valsartan, kandesartan, irbesartan, telmisartan, olmesartan, eprosartan ve azilsartandır (Azilsartan, 2011 yılında ABD'de kullanımına girmiş yeni bir anjiyotensin reseptör blokeridir. Henüz ülkemizde kullanımı için onay almamıştır) (Dursun & Kozan, 2013).

Anjiotensin reseptör blokerleri, iyi tolere edilen ve yan etkileri az olan ilaçlardır. Etkilerini yukarıda belirtildiği gibi anjiotensin reseptörlerini bloke ederek gösterirler. Anjiotensin reseptör blokerlerin klinik kullanımı sonucunda gösterdikleri başlıca etkileri; düz kas gevşemesi, natriüretik ve diüretik etki, plazma hacminde azalma, ventrikül hipertrofisinde azalma, diyastolik disfonksiyonda iyileşme, ventrikül aritmilerinde azalma, mikroalbuminüride azalma ve böbrek fonksiyonlarında iyileşme olarak özetlenebilir (Kabakçı, 2013).

Anjotensin reseptör blokerleri (ARB), anjiyotensin II'nin etkilerini, anjiyotensin II tip 1 alt tip reseptör (AT1) seviyesinde antagonize eder. Tüm ARB'ler, çeşitli dokularda, özellikle düz kas hücrelerinde, kalp, böbrek, aortta yüksek konsantrasyonda bulunan

AT1 reseptörüne karşı yüksek afiniteye sahiptir. Klinik pratikte kullanılan ARB'ler AT1 reseptörüne kompetitif bir şekilde bağlanır ve yavaş disosiyeye olur. Kan basıncını düşürücü etkisinin farmakokinetik parametreler tarafından tahmin edilenden daha uzun sürmesi bu yavaş disosiasiyeona bağlıdır. ARB'ler “sartanlar” olarak da adlandırılır. Anjiyotensin II AT1 reseptörü aktivasyonu, hücre büyümesinden, çoğalmasından ve kontraksiyonundan (ARB'lerin ana etkileri) sorumludur. Bu olay sadece küçük arterlerin sadece vasküler düz kas hücrelerinde (VSMC) değil büyük arterlerin, kardiyak miyositlerin ve fibroblastların da VSMC'lerinde görülür (Laurent, 2017) .

Anjiotensin dönüştürücü enzin inhibitörlerinin etki mekanizmasındaki bazı boşlukları doldurmak için ARB'ler geliştirilmiştir. Gerçekten, yukarıda görüldüğü gibi, Anjiotensin dönüştürücü enzim inhibitörleri, uzun vadede yükselen ve kan basıncı düşürücü etkilerini azaltabilen, kimaz ve doku bazlı proteaz gibi alternatif enzimatik yollar ile anjiyotensin II üretimini baskılamakta başarısız olmaktadır. Ek olarak, Anjiotensin dönüştürücü enzim inhibitörleri, anjiyoödem riskini artırır ve yüksek bradikinin plazma konsantrasyonlarıyla ilişkilidir. Bu nedenle, anjiyotensin II üretimi yerine anjiyotensin II reseptörlerinin blokajını hedeflemek, antihipertansif etkinliği ve hedef organ korumasını geliştirmek için etkili bir strateji olarak ortaya çıkmıştır (Laurent, 2017).

ARB'lerin hemodinamik etkileri, anjiotensin dönüştürücü enzim inhibitörlerinkine benzerdir. Anjiyotensin II, etkili bir vazokonstriktör peptidi olduğundan, eyleminin blokajı AT1 alıcılarını yer. Bu da küçük dirençli arterlerin vazodilatasyonuna, toplam periferik dirence azalmaya ve kan basıncının düşürmesine yol açar. Kardiyak çıkış değişmeden kalır. Kan basıncı düşmesine rağmen, kalp atım hızı değişmeden kalır ve ARB'ler baroreseptör işlevini sıfırladığı için postural hipotansiyon oluşmaz (Laurent, 2017).

Hedef organ koruması, genellikle kan basıncındaki azalmaya cevap olarak ortaya çıkar, ancak çok sayıda kanıt, ARB'lerin kalp, böbrek ve arter dokularındaki doğrudan etkilerini desteklemektedir. Birçok çalışma ARB'leri, kalsiyum kanal blokerleri, diüretikler ve beta blokerlere kıyasla sol ventriküler hipertrofi, küçük arter yeniden şekillendirmesi ve büyük arter sertliğini azaltmak için en etkili antihipertansif ilaçlar olarak derecelendirmiştir. Uzun süreli kontrollü çalışmalarla olmesartan ve valsartan,

kan basıncını değişiminden bağımsız olarak aort sertliğini tersine çevirme kapasitesine sahip olarak bulunmuştur (Klingbeil, Schneider, Martus, Messerli, & Schmieder, 2003; Laurent, 2017; Laurent & Boutouyrie, 2014; Nakamura, Fujii, Hoshino, & Saito, 2005). Kullanıldıkları ilk dozdan itibaren genellikle 2 saat içinde kan basıncında düşme gözlenir ve maksimum etki moleküle göre farklı olarak 1-6 haftada ortaya çıkar. Bu ilaçların etkisi genellikle 24 saat devam eder, bu nedenle günde tek doz alınır. ARB kullanımının aniden bırakılması rebound hipertansiyona yol açmaz ve uzun süreli kullanımda taşiflaksi ve tolerans görülmez (Kabakçı, 2013).

ARB'ler genellikle iyi tolere edilen ilaçlardır. Anjiotensin dönüştürücü enzim inhibitörlerinin aksine, öksürük ve anjiyoödem, ARB'lerde çok daha az görülür, çünkü bunların kininaz II veya P maddesi metabolizmasında rol oynayan diğer enzimler veya peptidler üzerinde hiçbir etkisi yoktur. ARB'ler gebeliğin ikinci ve üçüncü trimesterde kontrendikedir. Hiperkalemi, kronik böbrek hastalığı ve kalp yetmezliği veya diyabetli hastalar dışında, potasyum tutucu diüretikler veya potasyum takviyeleri alan hastalar dışında nadirdir. ARB'ler, önceki hiperkalemili hastalarda ve bilateral renal arter darlığı olan hastalarda kontrendikedir (Laurent, 2017).

Losartan, piyasaya sürülen ilk oral olarak aktif AT1 reseptör antagonistidir ve en yüksek klinik deneyimin biriği antagonistdir. Yüksek derecede seçici bir AT1 reseptör antagonisinin prototipini temsil eder ve zayıf anjiyotensin II antagonistleri olarak bilinen Takeda serisi 1-benzilimidazol-5-asetik asit türevlerinden türetilmiştir. *In vitro* olarak, losartan anjiyotensin II'nin AT1'e bağlanması ile rekabet eder. Losartanın başlıca aktif metaboliti EXP 3174'dür. İntravenöz olarak verilen EXP3174, losartandan 10 ila 20 kat daha etkilidir ve losartandan daha uzun bir etki süresine sahiptir. Bununla birlikte, EXP3174'ün oral biyoyararlanımı çok düşüktür. Bu nedenle, piyasadaki ilaç losartandır, ancak losartanın etkisinin çoğu EXP 3174'ten kaynaklanmaktadır. Losartan ve metaboliti böbrek tarafından ve safra atılır (Burnier, 2001).

Irbesartan, losartan ve valsartandan daha uzun etkili bir AT1 reseptör antagonistidir. Ayrıca AT1 reseptörü için yüksek bir afiniteye sahiptir ve AT2 reseptörleri için bir afinitesi yoktur. Yapısal olarak, bir karbonil grubunun, Losartandaki C5 hidroksimetil grubu yerine bir hidrojen bağ alıcısı olarak işlev gördüğü bir imidazolinon halkası içerir. Losartanın aksine, irbesartanın aktif metaboliti yoktur. Ağırlıklı olarak safra

(%80) ve kısmen böbrek (%20) ile temizlenir. Irbesartan büyük bir dağılım hacmine sahiptir. Klinik olarak, irbesartan 900 mg / gün dozlarına kadar kullanılabilmektedir. Irbesartan, 300 mg'da bir plato ile doza bağlı bir kan basıncı tepkisine neden olur (Burnier, 2001).

Kandesartan da uzun etkili bir anjiyotensin II reseptörü antagonistidir. Zayıf bir oral emilimin üstesinden gelmek için, bir dizi ester ön ilaç sentezlenmiştir ve oral uygulamadan sonra en iyi anjiyotensin II antagonistik aktivite profilini sağlayan bileşik olarak kandesartan sileksetil bulunmuştur. Kandesartan sileksetil, gastrointestinal emilim sırasında hızla ve tamamen aktif bileşik olan kandesartana dönüştürülen bir ön ilaçtır. Tavşan aortunda kandesartanın AT1'e bağlanma afinitesi, losartanının 80 katı ve losartanın aktif metaboliti olan EXP3174'ün 10 katıdır. İn vivo olarak, kandesartan nispeten uzun bir yarı ömre (9 saat) sahiptir, bu süre yaşlılarda (9 ila 12 saat) biraz daha uzundur. Kandesartan, esasen böbrekler (%60) ve daha az safra (%40) yoluyla elimine edilir. Hafif böbrek yetmezliği olan hastalarda anlamlı bir ilaç birikimi yoktur (Burnier, 2001).

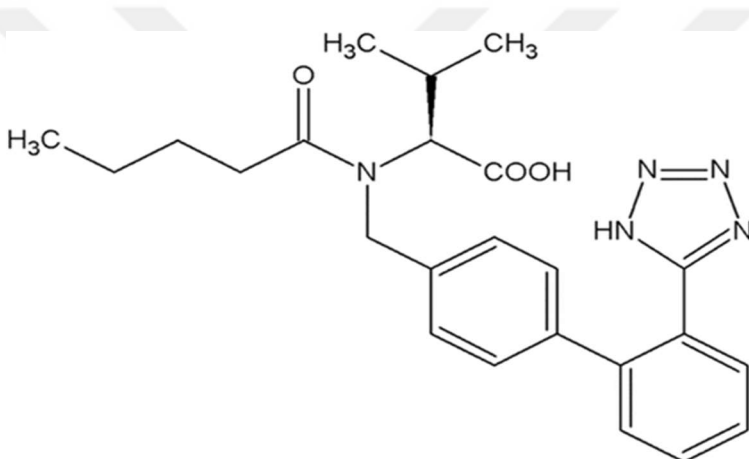
Telmisartan, en uzun etkili anjiyotensin II AT1 reseptör antagonistidir. Ortalama yarı ömrü, 4 hafta boyunca 20 ila 160 mg / gün telmisartan alan hafif ila orta şiddette hipertansiyonlu hastalarda 24 saattir. Telmisartan doğrudan aktiftir; minimal dönüşüm geçirir ve neredeyse tamamen dışkı ile atılır (%98) (Burnier, 2001).

Eprosartan, en kısa yarı ömre sahiptir ve ilk klinik çalışmaların çoğu, günde iki kez 400 mg'a kadar olan dozlarda uygulanmıştır. İn vivo olarak, hem biliyer (%90) hem de renal (%10) atılım yolakları, eprosartanın ortadan kaldırılmasına katkıda bulunur. Formülasyona bağlı olarak, eprosartanın emilimi %25 oranında azalabilir ve gıda ile birlikte alındığında 1.5 saat gecikebilir. Eprosartanın küçük bir kısmı böbrek tarafından temizlenir, kronik böbrek yetmezliği olan hastalarda doz ayarlaması gerekli değildir (Burnier, 2001).

Anjiyotensin II reseptör blokerlerinin diğer türevlerine benzer şekilde (valsartan hariç) olmesartan bir imidazol türevidir. Aktif bileşik olan olmesartan (RNH-6270)'ın oral biyoyararlanımı çok düşüktür (%4.5). Bu bileşiğe medoksomil dalı bağlanarak biyoyararlanımı artırılmıştır (%28.6). Oral alımı takiben olmesartan medoksomil asıl metabolite olan olmesartana dönüştürülmektedir. Olmesartan plazmada albumine bağlı olarak dolaşır (> %99). İlacın yarı ömrü 11.8-14.7 saattir. Olmesartana bağlı

azalan anjiyotensin II aktivitesi vasküler yataktaki direnci düşürmektedir. Yapılan çalışmalarında, olmesartanın AT1 reseptörlerine yüksek düzeyde spesifik olduğu AT II reseptörleri üzerinde etkisinin olmadığı görülmüştür. Olmesartanın losartana göre etkisinin daha geç başladığı ve daha uzun etkinliğinin olduğu bildirilmektedir. Oral yoldan tek doz 10 mg ve üzerindeki dozlarda (10-40 mg) verilen olmesartan medoksomilin %75'in üzerinde hastada etkin olarak kan basıncını düşürdüğü tespit edilmiştir (Yılmaz & Erdem, 2006).

2.2.2.1.9.1. Valsartan



Şekil 1: Valsartanın kimyasal yapısı

Valsartan[(S)-2-(N-((20-(1H-tetrazol-5-il)bifenil-4-il)metil)-pentanamido)-3-metilbutanoik asit], ikinci potent, oral olarak aktif ve Avrupa'da ve ABD'de hipertansiyon tedavisinde rutin olarak kullanılan, anjiyotensin II reseptörünün en spesifik antagonistidir (Wu et al., 2012). Ayrıca önceki yıllara ait bir çalışmada valsartanın Alzheimer hastalığının tedavisi ve önlenmesinde bazı etkileri bulunmuştur (Wang et al., 2007).

Valsartan (Şekil 1) ilk olarak Novartis tarafından geliştirilmiştir ve geniş bir pazara sahiptir. Ayrıca diğer antihipertansif ilaçlarla kombinasyon halde ticari formülasyonları mevcuttur. ABD'de valsartan, Aralık 2008'de 6 yaş ve üstü çocuklarda ve ergenlerde

hipertansiyon tedavisinde kullanılmak üzere Amerikan Gıda ve İlaç İdaresi (FDA) tarafından onaylanmıştır. Valsartan lipofilik bir ilaçtır. Nötr pH aralığında çözünür. Biyofarmasötik sınıflandırma sistemine (BCS) göre etkin maddeler 4 sınıfaya ayrılır;

Sınıf 1 (Class 1): Yüksek çözünürlük-yüksek permeabilite

Sınıf 2 (Class 2): Düşük çözünürlük- yüksek permeabilite

Sınıf 3 (Class 3): Yüksek çözünürlük-düşük permeabilite

Sınıf 4 (Class 4): Düşük çözünürlük-düşük permeabilite

Valsartan, bazı kaynaklarda düşük permeabilite ve yüksek çözünürlüklü ilaç olarak sınıflandırılan BCS sınıf III iken ise bazı kaynaklarda yüksek permeabilite ve düşük çözünürlük gösteren BCS sınıf II olarak belirtilmiştir. Çünkü pH'bağılı çözünürlük gösterir. Valsartan, asetonitril ve metanolde çözünür. İlaç hızlı bir şekilde oral yolla emilir ve sınırlı bir dağılım hacmine sahiptir ve geniş ölçüde plazma proteinlerine bağlanır. Valsartan yoğun şekilde metabolize edilmez ve çoğunlukla renal olmayan yollarla atılır. Valsartan pediatrik, ergen ve hafif-orta şiddette hipertansiyonu olan yaşlı hastaların tedavisinde oldukça etkilidir (Siddiqui et al., 2011).

Valsartanın anjiyotensin II tip 1 reseptörüne afinitesi anjiyotensin II tip 2 reseptörüne olan afinitesinden yaklaşık 20000 kat daha fazladır. Bu sayede kan damarlarında gevşemeye ve kan basıncında düşmeye yol açmaktadır. Oral yoldan almından sonra hızla absorbe olur. Maksimum kan konsantrasyonuna 2-4 saat sonra ulaşılır ve bu konsantrasyon çeşitli çalışmalarda kaydedilen 6-9 saat aralığında bir terminal yarı ömürle düşer. Valsartan, 400 mg a kadar günde tek dozda ve günde 200 mg ile birden çok dozlama sonrasında iyi tolere edilir (Saydam & Takka, 2007).

Valsartanın molekül ağırlığı 435.5 g/mol'dür. Valsartan 10 adımda sentezlenmiştir ve 1990 yılında patentlenmiştir. Valsartan, beyaz, mikrokristalin bir tozdur ve 105- 110°C arasında erir. Metanolde $[\alpha]D/20$ spesifik rotasyonu 68°dir ($c = 1$). Bileşik S enantiomerdir. Partisyon katsayısı (P) 0.033'tür ($\log P = 1.499$). Bu, bileşliğin fizyolojik pH'ta oldukça hidrofilik bir karaktere sahip olduğunu gösterir. İnce partikül boyutu nedeniyle valsartan, ortamdan geri dönüşümlü olarak su emer. Valsartan, kuru koşullar altında depolandığında kararlıdır. Kararlı çözeltiler ayrıca nötr pH'daki sulu tamponlarda da hazırlanabilir. İyonize edilebilir moleküller için, pH çok önemli bir rol oynar. Bir molekülün belirli bir pH'da taşışığı yük durumu, molekülün iyonlaşma

katsayısı (pKa) ile karakterize edilir. Tamponlar, karıştırılmamış su katmanlarındaki pH'ı etkiler, bu da iyonize edilebilir moleküllerin hem geçirgenliğini hem de disolüsyonunu önemli ölçüde etkileyebilir. Zayıf bazik ilaçlar ve zayıf asidik ilaçlar veya bunların tuzları, pH'a bağlı çözünürlük gösterir. Zayıf asitler için, pH değeri arttıkça, iyonlaştırılmış formun katkısı nedeniyle asidin çözünürlüğü artar. Valsartan, pKa değerleri 3.9 ve 4.7 olan iki zayıf asidik fonksiyon ve bir asimetrik merkez içerir ve disosiyeye olmamış asit, mono-anyon ve di-anyon olarak fizyolojik pH değerlerinde çözelti içinde bulunur. pH 4'ten pH 6'ya yükselme, valsartanın çözünürlüğünü yaklaşık 1000'lik bir faktörle arttırır, ancak anyonik formu destekler ve lipofilikliği azaltır. *In vitro* çözümme, pH 5.0 ve daha yukarıda hızlı ve eksiksizdir ve pH 3.0 ve altında çözünürlük açısından sınırlıdır. Valsartanın çözünürlüğü pH 4-8 aralığında arttığından ve lipofilisite aynı aralıkta azaldığından, valsartanın absorpsiyon oranı, gastrointestinal (GI) kanal boyunca barsak pH'ından etkilenebilir. Bu, *in vitro* bir intestinal absorpsiyon modeli (Caco-2 hücreleri) kullanılarak gösterilmiştir; burada, pH 6-7.5 aralığında arttıkça absorpsiyon oranının azlığı gözlenmiştir. Bu nedenle, valsartan, ilaçları biyofarmasötik ve absorpsiyon özelliklerine göre kategorize eden önerilen bir genel sınıflandırma sisteminde (BCS) özel bir durumdadır (pH'a bağlı çözünürlük). Valsartan, 25°C'de suda 0.18g/L'ye kadar çözünür. Tamponlu bir çözeltide, dianyon tuzu olduğu için çözünürlük artar. Fosfat tamponunda (pH 8.0), valsartan, 25°C'de 16.8g/L'ye kadar çözünür (Saydam & Takka, 2007).

Valsartan, vasküler düz kas ve adrenal bez gibi birçok dokuda anjiyotensin II'nin AT1 reseptörüne bağlanması seçici olarak bloke ederek, anjiyotensin II'nin vazokonstriktör ve aldosteron salgılayan etkilerini bloke eder. Bu nedenle etkisi anjiyotensin II sentez yollarından bağımsızdır. AT2 reseptörünün işlevsel blokajının, insanlarda tedaviden 2 ila 24 saat sonra (6.66-6.68) 80 mg tek valsartan dozundan sonra gerçekleştiği gösterilmiştir. 1mg, 3mg veya 10 mg / kg'lık tek oral valsartan dozları doza bağlı bir şekilde sistolik kan basıncını düşürmüştür. Eşik dozu 1mg/kg'dır. 30 mmHg düşüş üreten dozun 1.4 mg/kg olduğu hesaplanmıştır. Maksimum kan basıncı azalması 4 saat sonra gözlenmiştir ve refleks taşikardisi yanıtı olmadan 24 saatte fazla sürmüştür (Saydam & Takka, 2007).

Anjiyotensin II reseptör inhibitörleri karşılaştırıldığında, kandesartan ve irbesartan reseptörü nonkompetitif antagonizmle bloke ederken, losartan, valsartan ve eprosartan kompetitif antagonistlerdir. Eliminasyonun yarıömürleri temelinde, losartan, valsartan

ve eprosartan daha kısa etkili, kandesartan sileksetil ve irbesartan daha uzun etkili olarak sınıflandırılabilir (Oparil, 2000). Bir çalışmada 160 mg/gün valsartan ve 80 mg/gün telmisartanın etkileri karşılaştırılmış ve valsartanın arteriyel nabız basıncını düşürmede daha etkili olduğu tespit edilmiştir (Calvo, Hermida, Ayala, & Ruilope, 2004).

Valsartan oral uygulamadan sonra hızla emilir. Ölçülebilir konsantrasyonlar, yani miktar tayininin (Limit of Quantification-LOQ) üstünde, dozlamadan 15 dakika veya 30 dakika sonra gözlenmiştir. Plazma seviyeleri oral uygulamadan sonra 2-4 saatte zirve yapar ve sonra 6-9 saat arasında çeşitli çalışmalarında bildirilen bir terminal yarı ömrü ile düşer. Sağlıklı gönüllülere 80 mg'lık oral valsartan dozu uygulamasından sonra 1.64 mg/L'lik bir pik plazma konsantrasyonu (Cmaks) elde edilmiştir. Daha yüksek bir doz (200 mg) sonrası benzer bir zamanda orantılı olarak daha yüksek bir Cmaks (3.46 mg/L) elde edilmiştir. Doz orantısı, dozun iki katına çıkışının konsantrasyon-zaman eğrisi altındaki alanı (EAA) ve Cmaks'ı 1.8 kat arttığını gösterdi. Valsartan plazma konsantrasyonları, değişkenlik yüksek olmasına rağmen, 40 mg, 80 mg ve 160 mg dozlarında üst üste binen değerlerle, dozla neredeyse orantılı bir şekilde artmıştır. Oral uygulamadan sonra emilen ve sistemik olarak temin edilebilen doz fraksiyonu, EAA'ye dayanarak kapsül için 0.23 ve çözelti için 0.39'dur. Mutlak biyoyararlanım literatürde %25 (aralık: %10-35) olarak verilmektedir. Gıda, valsartan (EAA ile ölçüldüğü gibi) maruziyetini yaklaşık %40 ve pik plazma konsantrasyonunu (Cmaks) yaklaşık %50 azaltır. Bu nedenle hastalara öğünlerden 1-2 saat önce valsartan almaları önerilmelidir. Valsartanın farmakokinetik özellikleri, hipertansiyonu olan hastalarda günlük 200 mg doza kadar tekrarlanan uygulama tutarlı bulunmuştur (Saydam & Takka, 2007).

Valsartanın dağılım hacmi ve plazma klerensi sırasıyla 17 L ve 2.2 L/saat olarak belirlenmiştir; ilaç, %85-99 oranında plazma proteinlerine bağlanır. Renal klerensi 0.62 L/s'dir ve toplam klerensin yaklaşık % 30'udur (Saydam & Takka, 2007).

Valsartan aktif olmak için vücutta herhangi bir metabolizma gerektirmez. 80 mg 14C radyo işaretlenmiş valsartan oral uygulamasından sonra, plazmada yaklaşık %11 kadar sadece bir farmakolojik açıdan inaktif metaboliti bulunmuştur. Birincil metabolit valeril 4-hidroksi Valsartan (M1) olarak tanımlanmıştır ve dozun yaklaşık %9'unu oluşturur. Hipertansiyonda inaktiftir. M1, AT1 reseptörü için valsartandan yaklaşık

200 kat daha düşük afiniteye sahiptir. Valsartan esas olarak dışkılarda biliyer atılım yoluyla atılır ve bu nedenle hepatik disfonksiyonu ve biliyer sirozu olan hastalar için önerilmez (Siddiqui et al., 2011).

Antihipertansiflerin güvenliği, çoğu hastada uzun süre kullanılması muhtemel olması nedeniyle özel bir öneme sahiptir. Valsartan, geniş doz aralığında tutarlı olan ve plaseboden neredeyse ayırt edilemeyen bir yan etki profilli, iyi tolere edilebilirliğe sahiptir ve diğer ARB'lerinden daha üstündür. Valsartan, anjiotensin dönüştürücü enzim inhibitörleriyle ilişkili öksürük ve anjiyonörotik ödeme neden olmaz, bunun nedeni bölge spesifitesi ve ilaçın seçiciliğidir. 2511 hasta üzerinde yapılan Val-HeFT (Valsartan Kalp Yetersizliği Çalışması-The VALsartan Heart Failure Trial) çalışmasında, advers ilaç reaksiyonları valsartan alan hastaların % 9.9'u, plasebo alan hastaların % 7.2'sinde ortaya çıkmıştır (Siddiqui et al., 2011).

Valsartan şiddetli karaciğer yetmezliği, karaciğer sirozu ve biliyer tikanıklığı olan hastalarda kontrendikedir. Yapılan bir çalışmada karaciğer fonksiyon testlerinde hastalarda valsartan uygulamasından sonra bilirubin düzeylerinin yükseldiği görülmüştür. Valsartan hamilelik ve emzirme döneminde kontrendikedir; çünkü ilaç doğrudan renin-anjiyotensin sistemine etki eder, bu nedenle gelişmekte olan fetusta bazı zararlara hatta ölüme neden olabilir. Valsartanın fetus üzerindeki etkileri konusunda kontrollü bir çalışma yapılmamıştır. Gebeliğin tespitinden sonra, tedavinin mümkün olan en kısa sürede kesilmesi gerekmektedir. Valsartan, böbrek yetmezliği ve hiperkalemi riskinin artmasına neden olduğu için nonsteroidal antienflamatuarlar ve siklosporin ile kontrendikedir. Genel anesteziklerle, klozapin, dopamin agonistleri ve diğer hipertansiflerle valsartan, hipotansiyon riskinin artmasına neden olur. Potasyum tutucu diüretikler, potasyum takviyeleri, ACE inhibitörleri ve heparin ile valsartan tedavisi sırasında hiperkalemi ortaya çıkabilir (Siddiqui et al., 2011).

Valsartsanın diğer antihipertansiflerle karşılaştırılmalı yapılan çalışmaları da mevcuttur. VALUE (Valsartan Antihypertensive Long Term Use Evaluation) adlı çalışmada amlodipin ve valsartan 50 yaş ve üstü hipertansiyon hastalarında ölümçül ya da ölümçül olmayan kalp krizi açısından karşılaştırılmıştır. Amlodipinle valsartanın neredeyse aynı sonucu verdiği gösterilmiştir. Bir başka klinik çalışma olan VALIANT (Valsartan In Acute Myocardial Infarction) çalışmasında beta blokör ile ACE inhibitörü ya da valsartan kombinasyonları 10000 hastanın tedavisinde denenmiştir.

Sonuçlar çok bariz bir farkın olmadığını göstermiştir. PREVAIL isimli çalışmada Lisinopril ile Valsartan 1200 hastada karşılaştırılmıştır. Bu hastalardan Valsartan alanlar %82.7 lisinopril alanlar ise %81.6 kan basıncında kontrol göstermişlerdir. Yan etkiler valsartan alanlarda %5.1 hastada, lisinopril alanlarda ise %10.7 hastada gözlemlenmiştir (Siddiqui et al., 2011).

2.3. Lipid Bazlı İlaç Taşıyıcı Sistemler

İlacın veya kanın ekstravazasyonu, kateter enfeksiyonları ve tromboz gibi intravenöz uygulamanın sakıncalarını, ilaç oral yoldan verilerek önlenebilir. Bu nedenle oral yol en yaygın uygulama yollarından biridir. Bununla birlikte oral uygulama, ilaçın fizikokimyasal özellikleriyle ilişkili olan zayıf çözünürlük, düşük geçirgenlik, hızlı metabolizma, stabilité problemleri gibi oral biyoyararlanımı azaltan problemlerle sınırlıdır (Kalepu, Manthina, & Padavala, 2013).

İlaç tasarımının ortaya çıkmasıyla, terapötik etki potansiyeli olan çeşitli moleküller keşfedilmiştir. Ancak yeni keşfedilen kimyasal ajanların çoğu, yüksek moleküller ağırlıktadır ve zayıf suda çözünürlük ve yüksek membran permeabilitesine sahip olan BCS sınıf II veya yüksek suda çözürlük ve düşük membran permeabilitesine sahip BCS sınıf III'e aittir. Dolayısıyla, bu iki özellik oral yoldan verilen ilaçların biyoyararlanımını sınırlar. Bu ilaçlar düşük çözünürlüğe sahip olduklarından in vivo ortamda düşük çözünmeye neden olurlar ve emilimleri sınırlıdır. Bu zayıf çözünürlük sadece düşük oral biyoyararlanıma sebep olmakla kalmaz, aynı zamanda yüksek oranda birey içi ve bireyler arasında değişkenlik ve doz orantısının sağlanamamasına yol açar. Ayrıca, bu ilaçların bazıları gıdalarla birlikte verildiğinde biyoyararlanımları arttırmıştır. Bu tür ilaçların güvenli ve etkili bir biçimde formüle edilmesi için, biyoyararlanım, toksisite ve vücutta kalma arasında bir denge sağlanmalıdır. Mikronizasyon, siklodekstrinlerle kompleksleştirme, katı dispersyonlar, permeabilite artırmaları ve sürfaktanlar gibi çeşitli tekniklerin bazı çözünürlük ve permeabilite sorunlarının üstesinden geldiği bildirilmiştir (Kalepu et al., 2013).

İlaç salım sistemlerinde lipid bazlı formülasyonların;

- lipid çözeltileri,
- lipid süspansiyonları,
- çoklu ve kuru emülsiyonları,

• kendiliğinden emülsifiye olabilen lipid bazlı formülasyonları

en önemli formülasyon çeşitlerini oluşturmaktadır.

Lipid bazlı sistemler dissolusyon sürecini hızlandıracak, partikül boyutunu moleküller düzeylere indirmeyle, çözünmüş fazın oluşumunu kolaylaştırarak, taşıyıcı ile katı hal solusyonu sağlayarak, ilaç alımını değiştirerek, enterosit bazlı transportu değiştirerek, intestinal lenfatik sistem aracılığıyla ilacın sistemik dolaşma transportunu arttıracak gastrointestinal kanaldan ilaç吸收yonunu arttırırlar (Kalepu et al., 2013).

Lipid bazlı sistem formülasyonlarının hazırlanması, tablet ve kapsül gibi katı dozaj şekillerinin hazırlanmasından daha basit bir süreç sahiptir. Lipid bazlı formülasyonların terkibinde kullanılan yardımcı maddeler; lipidler/yağlar (doğal veya sentetik kaynaklı), yüzey etkin maddeler (hidrofilik veya hidrofobik), hidrofilik çözeltiler veya yardımcı yüzey etkin maddeler şeklindedir. Hazırlanmalarından sonra uygun meyve özlü veya diyet sıvılar içeren çözeltilerde dağıtılarak ya da yumuşak jelatin kapsül, sert jelatin kapsüllerde de kullanıma sunulabilirler. Ayrıca inert bir yardımcı toz maddeye (Avisel, Aerosil, vb) likit kendiliğinden emülsifiye sistemin emdirilmesi ile katı farmasötik dozaj şekilleri hazırlanabilir (Cerpnjak, Znovar, Gasperlin, & Vreker, 2013; N. Gursoy & Çevik, 2011; Jannin, Musakhanian, & Marchaud, 2008; Pouton & Porter, 2008).

Son on yılda lipitler, suda çözünürlüğü düşük olan ilaçların uygulanmasında sağladığı avantajlar nedeni ile büyük ilgi kazanmıştır. Yeni lipit yardımcı maddelerin kabul edilebilir güvenlik profillerine sahip olmaları, oral biyoyararlanımı artırma yetenekleriyle birleştiğinde ilaç taşıma aracı olarak lipit bazlı formülasyonların geliştirilmesine yardımcı olmuştur. Lipid bazlı ilaç taşıyıcı sistemler (LBDDS-Lipid Based Drug Delivery Systems), suda çözünürlüğü zayıf olan ilaçların çözünürlüğünü ve biyoyararlanımını iyileştirme yeteneklerinden dolayı son yıllarda önemi giderek artmıştır. İlacın lipit bazlı formülasyonlardan emilimi; partikül büyülüklüğü, emülsifikasyon derecesi, dispersiyon hızı ve ilacın çökmemesi gibi sayısız faktöre bağlıdır (Kalepu et al., 2013).

2.3.1. Lipit Bazlı İlaç Taşıyıcı Sistemlerde Kullanılan Maddeler

2.3.1.1. Lipitler

Lipitler, yağ asitleri ve bunların türevleridir ve bu bileşiklerle biyosentetik veya fonksiyonel olarak ilişkili maddelerdir. İkili moleküller yapıları nedeniyle, yani yağ asitlerinden oluşan lipofilik kısım ve yağ asitlerinin esterleştirildiği hidrofilik kısım nedeniyle amfifiliklerdir. Lipitler genellikle suda çözünmezler ve genellikle yağ asidi bileşimleri, erime noktaları, hidrofilik-lipofilik balans (HLB) ve polar olmayan organik çözücülerde çözünürlükleri ile tanımlanırlar (Shaji & Bhatia, 2012).

2.3.1.1.1. Lipitlerin Sınıflandırılması

Kimyasal yapılarına göre lipitler aşağıdaki gibi sınıflandırılır;

-Trigliseritler: Karbon zincirinin uzunluğuna bağlı olarak, uzun zincirli ve orta zincirli trigliseritler olarak sınıflandırılırlar. Uzun zincirli trigliseritlere örnek olarak mısır yağı, soya yağı, aspir yağı, zeytinyağını verebiliriz. Orta zincirli trigliseritlere örnek olarak gliseril trikaprilat, Captex®300, Miglyol®810, Miglyol®812, Neobee®M-5'i verebiliriz.

-Mono/Di gliseritler: Bu kategoriye giren yaygın olarak bilinen yardımcı maddeler; gliseril monokaprilokaprat (Capmul® MCM), gliseril monostearat (Geleol™, Imwitor® 191, Cutina™ GMS veya Tegin™), gliseril distearat (Precirol™ ATO5), gliseril monooleat (Peceol™), gliseril monolinoleat (Maisine™ 35-1), gliseril dibehenattır (Compritol® 888 ATO).

-Propilen glikol esterleri: Örnek olarak Propilen glikol monokaprilat (Capmul®PG-8), Propilen glikol monoloratı (Capmul® PG-12, Lauroglycol®) verebiliriz.

-Yağ asitleri: Örnek olarak oleik asit, palmitik asit, stearik asit, linoleik asiti verebiliriz.

-Fosfolipitler: Örnek olarak fosfatidilkolin, fosfatidilgliserolü verebiliriz (Shaji & Bhatia, 2012).

2.3.1.2. Yardımcı Yüzey Etkin Maddeler (Ko-Surfaktanlar)

Çözünme sürecini artırmak için pazardaki ilaç ürünlerinin çoğu yardımcı yüzey etkin maddeler (Y-YEM) kullanmaktadır. Kullanılan popüler ortak Y-YEM'ler arasında etanol, gliserol, propilen glikol ve polietilenglikoller (PEG400) bulunur. Kullanımlarının sebebi, ilaçlar için formülasyonun çözücü kapasitesinde bir artışa ve

yüksek oranda suda çözünür yüzey aktif cisimleri içeren sistemlerin dağılımına yardımcı olmakla ilişkilendirilebilir. Bununla birlikte, dilüsyondan sonra solvent kapasitesinin kaybından dolayı çözünmüştür ilacın çökmesi, bazı çözücülerin yağlarla karışmaması ve düşük molekül ağırlıklı çözücülerin kapsül kabukları ile uyumsuzluğu gibi Y-YEM'lerle ilgili birkaç pratik sınır vardır (Kalepu et al., 2013).

2.3.1.3. Suda Çözünmeyen Yüzey Etkin Maddeler (Lipofilik Surfaktanlar)

Yağ-su arayüzeyinde adsorbe olan, 8 ila 12 arası HLB'ye sahip lipidik yardımcı maddelerdir. Etoksilasyon derecesine bağlı olarak, bunlar suda sınırlı çözünürlüğe sahiptir. Suda "dağılabilir" olarak adlandırılırlar. Bu maddeler misel oluşturabilir ancak yetersiz hidrofilik yapıları nedeniyle kendiliğinden emülsiyon oluşturmezler. Polioksietilen, sorbitantrioate (Tween-85) ve polioksietilengiseriniltrioate (Tagot-TO) gibi oleat esterleri, HLB değerleri 11 ila 11.5 arasında olan suda çözünmeyen yüzey aktif maddelerin tipik örnekleridir. Bununla birlikte, ortalama HLB değeri 11 olan bir Tween-80 ve Span-80 karışımı, Tween-85 işlevine benzer bir etki göstermez. Tween 80 ve Span 80 karışımı, hem suda çözünür hem de suda çözünmeyen moleküllerden oluşur, ancak Tween 85 ağırlıklı olarak suda çözünmeyen moleküllerden oluşur (Kalepu et al., 2013).

2.3.1.4. Suda Çözünen Yüzey Etkin Maddeler (Hidrofilik Surfaktanlar)

Suda çözünen yüzey etkin maddeler, kendiliğinden emülsiyon oluşturan ilaç uygulama sistemlerinin formülasyonu için en yaygın kullanılan yüzey etkin maddeleridir. HLB değerleri 12 veya daha büyük olan maddeler, saf suda kritik misel konsantrasyonlarının üzerinde çözünerek düşük konsantrasyonlarda misel çözeltileri oluşturabilir. Bu maddeler polietilenglikollerin (PEG) hidrolize edilmiş bitkisel yağlarla karıştırılmasıyla sentezlenebilir. Alternatif olarak, yaygın olarak kullanılan bir yüzey aktif madde olan alkileteretoksilat (örneğin, setostearilalkoletoksilat ('setomakrogol') etileneoksit ile alkoller reaksiyona sokulabilir. Sorbitan esterleri ile etilen oksitin reaksiyonundan polisorbatlar (çoğunlukla eteroksilatlar) elde edilir (Kalepu et al., 2013).

Cremophor RH40 ve RH60 (etoksile hidrojene hint yağı), bitkisel yağlardan türetilen malzemelerin hidrojenlenmesinden elde edilen maddelerin örnekleridir. Hidrojene edilmemiş Cremophor EL de (etoksile hint yağı) yaygın olarak kullanılır. Cremophor mekanizması tam olarak bilinmemekle beraber, effluks pompalarını inhibe ederek

absorpsiyonu artırdığı bilinmektedir. Bu, yüzey etkin moleküllerinin zara nüfuz etmesi, effluks pompalarının yüzeyine adsorpsiyonu veya moleküllerin effluks pompasının hücre içi alanları ile etkileşmesi nedeniyle spesifik olmayan bir konformasyonel değişime bağlanabilir (Kalepu et al., 2013).

2.3.1.5. Additifler

Formülasyonu oksidasyondan korumak için, α -tokoferol, β -karoten, propil gallat, butillenmiş hidroksiltolüen (BHT) veya butillenmiş hidroksianisol (BHA) gibi çeşitli lipitte çözünür antioksidanlar kullanılabilir.

2.3.2. Lipid Bazlı İlaç Taşıyıcı Sistemlerin Sınıflandırılması

Bir lipid bazlı ilaç taşıyıcı sistem tipik olarak lipitler ve yüzey aktif maddelerden oluşur ve ayrıca bir hidrofilik yardımcı çözücü içerebilir. Pouton tarafından sunulan lipit formülasyon sınıflandırma sistemine (LFCS) göre (Pouton, 2006), bu sistemler, kompozisyonlarına, seyrelme ve sindirimin ilacı çöktürmesini engelleme üzerindeki olası etkilerine bağlı olarak dört gruba (I-IV) ayrılmıştır (Cerpnjak et al., 2013).

2.3.2.1. Tip I Sistemler

Tip I sistemler, sadece mono, di ve/veya trigliseritleri içeren, yüzey etkin madde içermeyen basit yağ çözeltileridir (Pouton & Porter, 2008). Bu formülasyonların avatajları genellikle güvenli kabul edilen eksipiyanlarla hazırlanmasıdır. Kapsül formülasyonlarıyla geçimlidir. Dezavantajları ise, orta log P değerleri olan ilaç için zayıf solvent kapasitesi, sadece lipofilik ilaçlar için uygunluk, sınırlı disperse olma ya da hiç disperse olmama ve sindirime gereksinim duymalarıdır (Cerpnjak et al., 2013).

Tip I sistemler, suda çözünürlüğü çok az olan veya hiç olmayan lipofilik maddelerin karışımıdır. Tipik olarak, oral alınımı güvenli olan, hızlı sindirilen ve tamamen bağırsaktan emilen bitkisel yağlardan türetilmiş gıda gliseritlerinin karışımıdır. Tip I sistemler yüzey aktif madde içерmediklerinden, suda kendiliğinden dağılma yetenekleri çok sınırlıdır. Bunlar, karışık misellerde sindirim ürünlerinin çözündürülmesi yoluyla kolloidal dispersiyonu oluşturmak için sindirime ihtiyaç duyar. Hem uzun zincirli trigliseritler hem de orta zincirli trigliseritler, pankreas enzimleriyle sindirilir, ancak *in vitro* lipoliz deneyleri, sindirim ürünlerinin işlenmesinde, barsak lümeninde ilaçların kaderi üzerinde etkisi olması muhtemel temel farklılıklar olduğunu ortaya koymaktadır. Orta zincirli yağ asitlerinin sindirimi

icin safra gerekli degildir. Bunun aksine, uzun zincirli yaÅŸ asitlerinin sindirimini, yalnızca yaÅŸ asitlerini (Pouton & Porter, 2008) ve 2-monoglisiteritleri çözündürerek, onları kısmen parçalanmış yaÅŸ damlacıklarının yüzeyinden sıyrılarak safra varlığında devam edecektir. Uzun zincirli sindirim ürünlerini, karışık safra tuzu-lesitin miselleri içinde emilinceye kadar geniş ölçüde çözünmeye devam eder. Uzun zincirli triglisiteritlerin sindirim ürünlerinin oluşturduğu karışık miseller, birçok ilaç için iyi çözümme sistemleridir. Orta zincirli triglisiteritlerin sindirilmesinden kaynaklanan çözümümüş fazlar, uzun zincirli triglisiteritlerin sindirilmesinden kaynaklananlardan farklı olacaktır ve bu fazların ilaçları çözündürme kapasitelerinde farklılıklar gösterme olasılıkları yüksektir. Lipofilik ilaçların *in vitro* sindirimden sonra çözümnesinin özellikle yaÅŸ asidi zincir uzunluğuna duyarlı olduğunu ve sonuçta ortaya çıkan morfolojik farklılıkların, halofantrinin MCT (orta zincirli yaÅŸ asitleri) ve LCT (uzun zincirli yaÅŸ asitleri) çözeltilerinden biyoyararlanımındaki gösterilebilir farklılıklarını açıkladığı düşünülmektedir (Porter et al., 2004).

Mono / diglisiter karışımı (Imwitor 988, Capmul MCM) gibi karma gliseritler Tip I formülasyonlarında sıkılıkla kullanılır. Bu maddeler ayrıca degredasyona maruz kalır ve doğal sindirim prosesi 2-monoglisiteritler üretse de kısmen sindirilmiş materyaller olarak kabul edilebilir çünkü triglisiteritlerin kimyasal hidrolizi 1-monoglisiteritlerle sonuçlanır. Uzun ve orta zincirli kısmi gliseritlerin sindirilmesinden kaynaklanan faz davranışlarındaki farklılıkların, henüz daha detaylı çalışmamış olmasına rağmen, triglisiteritlerle gözlenenlere benzer olması beklenir. Sorbitan esterleri veya yaÅŸ asitleri ve yaÅŸ alkoller esterleri gibi diğer polar yağlar da Tip I formülasyonlarına dahil edilebilir, ancak sindirimleri veya bu yardımcı maddelerin ilaç yolakları üzerindeki etkisi hakkında çok az şey bilinmektedir. Çökme bazen bir sorun olsa da, eğer ilaç karışık gliserit yaÅ¤larda yeterince çözünebiliyorsa Tip I formülasyonları mükemmel bir seçenekdir. Biyoyararlanım, Tip I formülasyonlarda Tip II ve Tip III formülasyonlar kadar iyi olabilir ve Tip I formülasyonlarının güvenlik ve ilaç stabilitesi gibi avantajları vardır (Pouton & Porter, 2008).

2.3.2.2. Tip II Sistemler

Tip II sistemler, beraber verildiği ilaçlar için çözümme kapasitesini arttırmak ve seyreltme üzerine oluşturulan emülsiyonun stabilitesini arttırmak amacıyla yaÅŸ fazına ek olarak lipofilik YEM'leri içerir. Bu lipid bazlı ilaç taşıyıcı sistemler, kendiliğinden

emülsifiye olan ilaç taşıyıcı sistemler (SEDDS- Self Emulsifying Drug Delivery Systems) olarak bilinir (Pouton & Porter, 2008).

Bu sistemler %40-80 oranında gliseritler (mono, di, trigliseritler), %20-60 oranında lipofilik surfaktanlar ($HLB <12$) içerirler. Avantajları, dispersiyonlarında çözücü kapasitesini kaybetme olasılıkları düşüktür. Dezavatajları ise damlacık boyutu $0.25\text{-}2\mu\text{m}$ olan kaba emülsyon oluşturmalarıdır (Cerpnjak et al., 2013).

Tip II sistemler yağlar, polar yağlar ve suda çözünmeyen yüzey aktif maddeler ile formüle edilir. Tipik formülasyonlar, orta zincirli trigliseritler ve polisorbat 85 karışımı veya orta zincirli trigliseritler ve Tagat-TO karışımıdır. Kendiliğinden emülsifiye sistemleri, yüzey aktif madde konsantrasyonu, ağırlıkça %25'i aşlığında oluşturulur; optimum konsantrasyon aralığı %30-40 yüzey aktif maddedir. %50'nin üzerinde yüzey aktif madde içerirlerse, yağ-su arayüzünde viskoz sıvı kristal fazlarının oluşumu nedeniyle yavaşça emülsyonlaşırlar. Erken faz çalışmaları, bu formülasyonların kendiliğinden emülsifiye olabilen ilaç taşıyıcı sistemler olarak performansının, düşük su içeriğinde (%5-10) disperse lamel sıvı kristal fazın oluşumuna dayandığını ve bunun, ara yüzey bozulmasına neden olan suyun daha fazla nüfuz etmesine yardımcı olduğunu göstermiştir (Pouton & Porter, 2008).

Optimize edilmiş sistem (üçgen faz diyagramlarına göre alabileceği su miktarları belirlenmiş sistem) düşük yüzey aktif madde konsantrasyonlarında kendi kendine emülsyonlaşır ve tüm konsantrasyonlarda daha ince parçacıklar üretir. Tip II ve Tip III SEDDS / SMEDDS formülasyonlarının sindiriminden sonra oluşan fazları araştıran kapsamlı bir yayınlanmış çalışma yoktur (Pouton & Porter, 2008).

2.3.2.3. Tip III Sistemler

Tip II sistemlere ek olarak hidrofilik bileşenlerin (YEM ve/veya Y-YEM) yağ fazına eklenmesi, tip III sistemlerine ait kendiliğinden mikroemülsifiye olan ilaç taşıyıcı sistemleri (SMEDDS-Self Microemulsifying Drug Delivery Systems) oluşturur (Pouton & Porter, 2008).

Sandimmune® Neoral formülasyonuyla, siklosporin A'nın önceki formülasyonuna kıyasla elde edilen biyoyararlanımdaki gelişme, suda az çözünen ilaçların formülasyonuna ilişkin düşünceleri değiştirmiştir ve iyi formüle edilmiş lipit bazlı sistemlerin yolunu açmıştır (R. Gursoy & Benita, 2004; D. J. Hauss, 2007; Mercke,

Kaufmann, Kroon, & Höglund, 2003). Sandimmun® Neoral, Tip IIIA formülasyonunun prototipidir, suda çözünür yüzey aktif madde ve önemli miktarda lipit bileşen içeren bir SEDDS / SMEDDS formülasyonudur. Bu tür formülasyonlar, genellikle şeffaf dispersiyonlar oluşturmak için yeterince ince olan mikron altı dispersiyonlar oluşturmak için hızlı bir şekilde dağılma potansiyeline sahiptir (Pouton & Porter, 2008).

Tip III sistemlerinin faz çalışmaları, şeffaf dağılımın neden sıkılıkla üretildiğini ve SMEDDS formülasyonlarını optimize etmek için kullanılabileceğini göstermektedir. Her ne kadar bu sistemler ayrıntılı bir şekilde anlaşılması da neden şeffaf dispersiyonlara neden olduklarını ve susuz formülasyonların neden sıkılıkla kendiliğinden mikroemülsifiye olabilen olarak adlandırıldığını anlamak kolaydır. Bu sistemler suyla kolayca karışır ve o kadar fazla su alırlar ki, formülasyona suyun nüfuz etmesi ve daha sonra dağılması hızla ilerler. Tip III sistemlerini formüle etmek için birkaç suda çözünür yüzey aktif madde kullanılabilir (Pouton & Porter, 2008).

2.3.2.3.1. Tip IIIa Sistemler

Bu sistemler %40-80 oranında gliseritler (mono, di, trigliseritler), %20-40 oranında lipofilik YEM'ler ($HLB<12$), %0-40 oranında Y-YEM içerirler. Kendiliğinden emülsifiye olma yetenekleri vardır. Bu sistemlerin avantajları berrak çözeltiler oluşturmaları ve absorbsiyon için sindirim gereklilikleridir. Damlalık boyutları <250 nm'dir. Dezavantajları, dispersiyonlarında çözücü kapasitesini kaybetme olasılıkları yüksektir ve kolay sindirilmezler (Cerpnjak et al., 2013).

2.3.2.3.2. Tip IIIb Sistemler

Bu sistemler %20'den az oranda gliseritler (mono, di, trigliseritler), %20-50 oranında hidrofilik YEM'ler ($HLB>12$), %20-50 oranında Y-YEM'ler içerirler. Kendiliğinden mikroemülsifiye olma kapasiteleri vardır. Avantajları, transparan dispersiyonlar oluşturmaları ve absorbsiyon için sindirim gereksinim duyulmalarıdır. Dezavantajları kısmi ilaç çökmesine neden olabilmeleri ve kolay sindirilmemeleridir (Cerpnjak et al., 2013).

2.3.2.4. Tip IV Sistemler

Tip IV sistemler, en hidrofilik grubun temsilcileridir. Bu tip sistemler yalnızca hidrofilik yüzey aktif maddeler ve sulu ortam ile seyreltme üzerine kolloidal bir misel

dispersiyonu oluşturan hidrofilik Y-YEM'den oluşan sistemlerdir (Pouton & Porter, 2008).

Bu sistemler %0-20 oranında lipofilik YEM'ler ($HLB < 12$), %20-80 oranında hidrofilik YEM'ler ($HLB > 12$) ve %20-80 Y-YEM içerir. Kendiliğinden miseller çözeltiler meydana getirirler. Avantajları birçok ilaç için yüksek çözücü kapasitesine sahip olmalarıdır. Dezavantajları ise diperse olduğunda ilacın çökebilme ihtimalidir. Bu sistemler sindirilebilir olmayıabilir (Cerpnjak et al., 2013).

Tip IV sistemler esas olarak saf yüzey etkin maddeler veya yüzey etkin madde ve yardımcı yüzey etkin maddelerin karışımıdır. Saf yardımcı yüzey aktif madde içinde suda az çözünen ilaçların formülasyonunun, ilacın çökelmesine neden olması muhtemeldir. Kazanılabilecek tek avantaj, ilacın çok iyi ince kristal veya amorf parçacıkların süspansiyonu olarak sunulabilmesidir. Güvenilirlik bu stratejide problemlı olabilir. Saf yüzey etkin maddelerin kullanımında iki sorun vardır. Birincisi, YEM'lerin, YEM-su arayüzünde viskoz sıvı kristalin (veya jel kristalin) fazlarının oluşumu nedeniyle çözülmesi için oldukça zaman harcamasıdır. İkincisi, saf yüzey etkin maddelerin, sindirim sisteminde tahriş edici olması ve kötü tolere edilebileceği endişesidir. Mide veya barsak duvarına YEM bakımından zengin, kısmen çözünmüş viskoz bir kütlenin yapışması, lokal olarak ciddi hasarlar verebilir. Suda çözünür yüzey etkin maddelerle birlikte yardımcı yüzey etkin maddelerin harmanlanması, yüzey etkin maddenin dağılımını kolaylaştırır ve çözücü kapasitesi kaybını azaltır (Pouton & Porter, 2008).

İlaç endüstrisinin, kapsül ürünlerinde yüzey etkin maddelerin kullanımına karşı tutumu son yıllarda değişmiştir. Birkac HIV proteaz inhibitörü, genellikle günlük çok sayıda alınacak yüksek konsantrasyonlarda yüzey etkin maddelere sahip kapsüllerde pazarlanmaktadır. Deneyimler, bu dozajların göreceli olarak iyi tolere edildiğini, ancak potansiyel uzun vadeli etkilerin yine de dikkatlice düşünülmesinin gerekli olduğunu göstermektedir (Pouton & Porter, 2008).

2.3.3. Lipit Bazlı İlaç Taşıyıcı Sistemlerin Avantajları ve Dezavantajları

Lipid bazlı sistemler hazırlanış, in vitro karakterizasyon, in vivo davranış ve üretim yönleri açısından değerlendirildiğinde birçok avantaj ve dezavantaja sahiptir.

2.3.3.1. Lipit Bazlı İlaç Taşıyıcı Sistemlerin Avantajları

Lipid bazlı ilaç taşıyıcı sistemlerin avantajları,

1. Kontrollü ve hedeflendirilmiş ilaç salınımı,
2. Farmasötik stabilité,
3. Yüksek ve artmış ilaç içeriği (diğer taşıyıcılara göre),
4. Hem lipofilik hem de hidrofilik ilaç taşıma yetenekleri,
5. Biyolojik olarak parçalanabilir ve biyolojik olarak uyumlulukları,
6. Geniş eksipiyan çeşidi,
7. Geniş formülasyon çeşidi,
8. Düşük risk profili,
9. Çabuk ticarileşme için invazif olmayan veziküler bir sistem oluşudur (Shrestha, Bala, & Arora, 2014).

2.3.3.2. Lipit Bazlı İlaç Taşıyıcı Sistemlerin Dezavantajları

1. *In vitro* modeller formülasyonun değerlendirilmesi için yeterli değildir.
2. Yüksek konsantrasyonda YEM (yaklaşık %30-60) içeren formülasyonlar mide- bağırsak sisteminde irritasyona sebep olabilirler.
3. Kullanılan YYEM yumuşak veya sert jelatin kapsülden sızabilir. Bu durum lipofilik özelliğe sahip etkin maddenin formülasyonunda çökelmeye sebep olabilir (Jannin et al., 2008; Pouton & Porter, 2008).

2.3.4. Lipid Bazlı İlaç Taşıyıcı Sistemlerde Lenfatik Sistem Etkisi

Lipid bazlı ilaç taşıyıcı sistemlerin primer mekanizması, gastrointestinal kanaldan emilimi çözünürlük artışıyla artırmalarıdır. Diğer mekanizmalar ilacın gastrointestinal kanalın sulu ortamında kimyasal ve enzimatik degradasyondan koruma ve karaciğer ilk geçiş etkisini önleyen lenfatik ilaç transportunu desteklemesidir. İlacın fizikokimyasal özellikleri, lipit eksipiyanlar ve formülasyonun *in vivo* olarak dağılabilirliği, hem gastrointestinal kanalda ilacın alımını, hem de portal venlerde ve mezenterik lenfatik yolklarda tüm ilaç absopsyonunun katılım derecesini belirler (Gupta, Kesarla, & Omri, 2013).

Lenfatik sistem, tüm vücuttaki geniş drenaj ağına bağlı olarak, ilaçların sistemik dolaşımı sırasında önemli bir rol oynar. İlacın lenfatik taşınmasının avantajlarından bazıları, ilk geçiş metabolizmasından kaçınmak ve lenfomalar ve HIV

gibi lenfler yoluyla yayıldığı bilinen spesifik hastalıkların hedeflenmesidir. Lipitlerin ilaç emilimini, biyoyararlanımı ve oral uygulamadan sonra yer değiştirmesini etkiledikleri muhtemel mekanizmalar; sıkı bağlantıları açarak paraselüler taşınmaya izin vermeleri, P-gp ve/veya CYP450'nin inhibisyonu nedeniyle yüzey etkin maddeler tarafından hücre içi konsantrasyonunda ve kalma süresinde artış, lipoprotein/şilomikron üretiminin lipidler tarafından uyarılmıştır (Kalepu et al., 2013).

Özellikle, yiyeceğin lipid bileşeni, lipofilik ilaçların emiliminde artan biyoyararlanıma yol açan hayatı bir rol oynar. Bu durum yüksek yağ içeren gıdaların, biliyer ve pankreatik salgıları stimüle etmesi, metabolizma ve effluks aktivitesini azaltması, barsak duvarı geçirgenliğini artırması, gastrointestinal kanalda kalma süresini uzatması ve lenfatik sistem yoluyla transport ile açıklanır. Trigliseritler ve uzun zincirli yağ asitleri, gastrointestinal kanalda kalma süresinin uzatılmasında önemli bir rol oynar. Aynı zamanda, yüksek yağlı bir yemek, ilaç molekülleriyle reaksiyona giren trigliserit bakımından zengin lipoproteinleri yükseltir. Lipoproteinlerin ilaç molekülleri ile birleşmesi, barsak lenfatik transportunu arttırmak, ilaç dağıtımında değişikliklere yol açar ve nihayetinde az çözünen ilaçların farmakolojik etkilerinin kinetiğini değiştirir (Kalepu et al., 2013; Trevaskis, Charman, & Porter, 2008).

Lenfatik absorpsiyon yolu, trigliseritlerde ($C_s > 50 \text{ mg / mL}$) yüksek çözünürlüğe sahip yüksek lipofilik ilaçların ($\text{Log } P > 5$) biyoyararlanımını artırmak için iyi bir firsattır. Doymamış uzun zincirli yağ asitlerinin alkol esterlerinden oluşan lipit sistemlerinin, lenfatik alım yolunu kolaylaştmak suretiyle birçok ilacın biyoyararlanımını artırdığı gösterilmiştir. Örnek olarak, saquinavir ile poligliseril oleat (Plurol[®] Oleique CC497) veya etoksile edilmiş hint yağı (Cremophor[®] EL) (Griffin & Driscoll, 2006), ontazolast ile gliseril monooleat (PeceolTM) (D. Hauss et al., 1998) ve halofantrin ile çeşitli trigliseritler ve türevleri (Charmann & Stella, 1991; Driscoll, 2002) verilebilir (Jannin et al., 2008).

2.3.5. Lipid Bazlı Sistemlerin Karakterizasyonu

Başarılı bir lipid bazlı ilaç taşıyıcı sistem formülasyonu için bütünsel bir yaklaşım gereklidir. Bu gerekçenin sistematik açıklaması;

- (1) Yağ asidi yapılarının uygunluğu için yardımcı maddelerin ön seçimi, erime özellikleri, HLB veya emülsifikasiyon özellikleri, enterosit bazlı ilaç taşıma, dispozisyon ve genel sindirilebilirlik üzerindeki potansiyel etkileri,

- (2) İleride yapılacak çalışmalar için bir veya daha fazla uygun sistemi tanımlamak üzere, ilaç çözünürlüğü, uyumluluk, stabilité ve çözünme / dağılma özellikleri (önceden belirlenmiş ortamlarda) için önceden seçilmiş yardımcı maddeler ile ikili tarama yapılması,
- (3) Amaçlanan dozaj formu için uygun formülasyon tekniğini / tekniklerini belirlemek,
- (4) Seçilen formülasyon sistemlerinin *in vivo* performansının uygun hayvan modellerinde onaylanması,
- (5) Formülasyonu ilaç yükleme veya çözünme profili için optimize etmek ve gerekirse oksidatif ve polimorfik değişikliklerin kontrolünü kazanmaktır (Mahapatra, Pn, Sciences, & Swain, 2014).

Lipid bazlı sistemlerin değerlendirilmesinde ilk karakterizasyon parametresi görünüştür. Kendiliğinden emülsifikasyonun etkinliği, emülsifikasyon oranı ve damlacık büyülüğü dağılımının belirlenmesiyle tahmin edilebilir. Dağılımin ulaştığı hızlı dengeyi ve bu işlemin tekrarlanabilirliğini belirlemek için bulanıklık ölçümleri yapılabilir (R. Gursoy & Benita, 2004). Formülasyonun pH'sı, viskozitesi, özgül ağırlığı veya dansitesi temel ölçülmesi gereken parametreleridir. Bakılması gereken bir diğer parametre zeta potansiyeldir. Zeta potansiyel, partiküllerin yüzey yükünü karakterize eder ve böylece partiküller ve damlacıklar arasındaki itici kuvvetler hakkında bilgi verir (Shrestha et al., 2014). Formülasyonların hem karakterizasyonlarında bir diğer önemli basamak termodinamik stabilitedir. Santrifüj, ısıtma- soğutma döngüsü ve dondurma çözme döngüsü olarak 3 farklı testten oluşur (Selvam, Kulkarni, & Dixit, 2015; Shukla & Patel, 2010). S-SEDD'lerde bunlara ek olarak toz akış özelliklerine ve disperse olabilme özelliklerine bakılabilir (Gumaste, Freire, & Serajuddin, 2017).

Gereç ve Yöntem

3.1. Kullanılan Kimyasal Madde, Araç ve Gereçler

3.1.1. Kullanılan Kimyasal Maddeler

Valsartan (Seri No: VLS/1612219, 01.02.2017) ..Jubilant Generics Limited, Hindistan

Metanol.....Merck, Almanya

Asetonitril.....Sigma Aldrich, Almanya

Potasum dihidrojen fosfat.....Merck, Almanya

Trifloroasetik asit.....Merck, Almanya

Olek Asit.....Sigma Aldrich, Almanya

Hint yağı.....Sigma Aldrich, Almanya

İzopropil Miristat.....Sigma Aldrich, Almanya

Soya Yağı.....Sigma Aldrich, Almanya

Capyrol 90.....Gattefosse, Fransa

Labrafil M 1944 CSGattefosse, Fransa

Span 80.....Sigma Aldrich, Almanya

Labrafil M 2125 CS.....Gattefosse, Fransa

Plurol Oleique CC497.....Gattefosse, Fransa

Tween 20.....Sigma Aldrich, Almanya

Tween 80.....Merck, Almanya

Cremophor EL.....Sigma Aldrich, Almanya

PEG 600.....Sigma Aldrich, Almanya

Etanol.....Merck, Almanya

Transcutol HP.....Gattefosse, Fransa

İzopropil Alkol.....Merck, Almanya

Lutrol F127.....	BASF, Almanya
Sodyum Hidroksit.....	Merck, Almanya
1-Metil N-Prolidon.....	Merck, Almanya
Hidroksipropil Metil Selüloz.....	Sigma Aldrich, Almanya
Avicel pH101.....	Sigma Aldrich, Almanya
Aerosil.....	Flumed silika
Sodyum Dihidrojen Fosfat.....	Merck, Almanya
Hidroklorik asit.....	Merck, Almanya
Sodyum Asetat trihidrat.....	Merck, Almanya
Glasiyel Asetik Asit.....	Merck, Almanya
Soluplus®.....	BASF, Almanya
Solutol HS15.....	BASF, Almanya
FaSSIF/FeSSIF/FaSSGF.....	Biorelevant, İngiltere
HBSS (Hank's Balanced Salt Solution)	Gibco, İngiltere
DMEM (Dulbecco's Modified Eagle's Medium) .	Gibco,İngiltere
Streptomisin.....	Sigma Aldrich, Almanya
L-Glutamin.....	Sigma Aldrich, Almanya
L-Alanin.....	Gibco, İngiltere
Tripsin-EDTA.....	Gibco, İngiltere
Fetal Sığır Serumu.....	Gibco, İngiltere
Caco-2.....	American Type Culture Collection
Trizma Maleat.....	Sigma Aldrich, Almanya
Sodyum klorür.....	Merck, Almanya
Kalsiyum Klorür Dihirat.....	Merck, Almanya

Olmesartan Asit (İç standart)Sigma Aldrich, Almanya

3.1.2. Kullanılan Araç ve Gereçler

HPLC.....HP Agilent 1100 Series, Almanya

Çalkalayıcı.....CAT S20, Almanya

Santrifüj Cihazı.....Nüve 800R, Türkiye

HPLC kolonu.....Zorbax SB C18, Amerika

Damlacık Boyutu Ölçüm Cihazı.....Malvern Zeta Sizer Nano ZS, İngiltere

Dissolüsyon Cihazı.....Sotax, İsviçre

Viskozimetre.....Brookfield, Amerika

Refraktometre.....Krüss DR301-95, Almanya

FTIR spektometre.....Schmadzu IR Tracer 100, Japonya

Titreşimli elek.....Retsch, Almanya

Sıkıştırılmış Dansite Cihazı.....Logan Tap 2S, Amerika

Buzdolabı.....Beko, Türkiye

Derin Dondurucu.....Uğur, Türkiye

Mikroskop.....Leica DM750, Almanya

Santrifüj Cihazı (Hücre Kültürü)Sigma 2-16KL, Almanya

İnkübatör.....ESCO Cell Culture, Singapur

Laminar Hava Akımlı Kabin.....ESCO Class II BSC, Singapur

Vortex karıştırıcı.....Stuart Vortex Mixer SA8, İngiltere

TEER Ölçüm Cihazı.....Milicell ERS-2 Ephitelial Ohmmeter, Almanya

İnkubatör Çalkalayıcı.....Zhiceng ZWY-240, Çin

Tartı.....Mettler Toledo ME204, Amerika

Otomatik Pipet.....Motopet, Amerika

Ultrasonik Banyo.....Alex Machine, Türkiye
Otomatik Titrasyon Cihazı.....Titroline, Amerika
Kuyruktan Tansiyon Ölçüm Cihazı.....Hatteras SC-1000 Instruments, Amerika
Kan Analiz Cihazı.....VetScan VS2 Abaxis, Amerika
Su Banyosu.....Buchi 461, Türkiye
pHmetre.....Mettler Toledo, Amerika
Etüv.....Nüve EN 500, Türkiye
Karıştırıcı.....Yellow Line, Almanya
UV Spektometre.....Schmadzu UV 1208, Japonya
Elektrik İletkenliği Ölçüm Cihazı.....Jenwey 4071, İngiltere
Stabilite Kabini.....Nüve İD501, Türkiye
Elisa Reader.....Polarstar Omega BMG Glabtech, Almanya

3.2. Yöntem

3.2.1. Valsartanın Fizikokimyasal Özelliklerinin Belirlenmesi

3.2.1.1. Valsartanın Lipid Su Partisyon Katsayısının Saptanması

Partisyon katsayısı bir maddenin, bir ortam ya da fazdaki çözünürlüğünün bir diğer ortam ya da fazdaki çözünürlüğüne (iki konsantrasyon dengede iken) oranıdır. Valsartanın partisyon katsayısını hesaplarken çalkalama metodu kullanıldı. Valsartanın fazları eşit miktarda n-oktanol ve su içeren kaba konularak çalkalamak suretiyle çözündürüldü. Her iki fazdan miktar tayini yapılarak lipid-su partisyon katsayısı belirlendi.

3.2.1.2. Valsartanın FT-IR Spektrumu

100 mg Valsartan katı halde FT-IR spektrofotometrede 750-4000 cm⁻¹ arasında taranıp pik verdiği dalga boyları belirlendi.

3.2.1.3. Valsartanın Erime Derecesi Belirlenmesi

Erime derecesi DSC'de (Diferansiyal Taramalı Kalorimetre) ölçüldü. 100 mg Valsartan toz halde alüminyum tepside farklı oranlarda 140°C'ye kadar ısıtıldı. Daha sonra numune hızla soğutuldu ve verdiği pik belirlendi.

3.2.2. Valsartan Miktar Tayin Yöntemi Geliştirilmesi

Valsartan miktar tayini yöntemi geliştirilmesi için HPLC cihazında, UV dedektörde, 247, 250, 265 nm dalga boylarında çalışıldı. Metot geliştirme çalışmalarında, Zorbax® XDB C18 (150mm×4.6mm, 5 μ m) ve Zorbax® SB C18 (150mm×4,6mm, 3,5 μ m) kolonlarında denemelerde bulunuldu. Mobil faz olarak asetonitril: fosfat tamponu (55:45) pH 2.7 (Trifluoro asetik asit ile) ve akış hızı 1 mL/dakika olarak çalışıldı. Metot geliştirme tamamlandığında doğrusallık, seçicilik, çalışma aralığı, doğruluk ve geri elde edilebilirlik, kesinlik, çözelti stabilitesi, duyarlılık ve sapma sınırı parametrelerinde validasyon tamamlandı.

3.2.2.1. Valsartanın Miktar Tayini İçin Kalibrasyon Eğrisinin Çizimi

3.2.2.1.1. Valsartanın pH 1.2 Ortamında Kalibrasyon Eğrisi Çizimi

Valsartan pH 1.2 ortamında çözünmediği için önce 1 mL metanolde çözündürülüp 10 mL'ye pH 1.2 ortamıyla tamamlandı. Mobil faz ile seyreltilerek 0.5, 1, 5, 10, 20, 40, 50 μ g/mL derişimlerinde 7 seri çözelti hazırlanarak HPLC'de analiz edildi.

3.2.2.1.2. Valsartanın pH 4.6 Ortamında Kalibrasyon Eğrisinin Çizimi

Valsartanın pH 4.6 ortamı ile 100 μ g/mL derişiminde stok çözeltisi hazırlandı. Mobil faz ile seyreltilerek 0.1, 0.5, 1, 5, 10, 20, 40, 50 μ g/mL derişimlerinde 8 seri çözelti hazırlanarak HPLC'de analiz edildi.

3.2.2.1.3. Valsartanın pH 6.8 Ortamında Kalibrasyon Eğrisinin Çizimi

Valsartanın pH 6.8 ortamı ile 100 μ g/mL derişiminde stok çözeltisi hazırlandı. Mobil faz ile seyreltilerek 0.1, 0.5, 1, 5, 10, 20, 40, 50 μ g/mL derişimlerinde 8 seri çözelti hazırlanarak HPLC'de analiz edildi.

3.2.2.1.4. Valsartanın HBSS Ortamında Kalibrasyon Eğrisinin Çizimi

Valsartanın HBSS ile 100 µg/mL derişiminde stok çözeltisi hazırlandı. Mobil faz ile seyreltilerek 0.1, 0.5, 1, 5, 10, 20, 40, 50 µg/mL konsantrasyonlarında 8 seri çözelti hazırlanarak HPLC’de analiz edildi.

3.2.2.1.5. Açılk Tokluk Ortamlarında Kalibrasyon Eğrisi Çizimi

Valsartanın FaSSIF, FeSSIF, FaSSGF ortamları ile 100 µg/mL derişiminde stok çözelti hazırlandı. Mobil faz ile seyreltilerek 0.1, 0.5, 1, 5, 10, 20, 40, 50 µg/mL derişimlerinde 8 seri çözelti hazırlanarak HPLC’de analiz edildi.

3.2.3. Analitik Yöntem Validasyonu

3.2.3.1. Doğrusallık

Kulllanılan analitik yöntemin doğrusallığını göstermek amacıyla pH 1.2, pH 4.6 pH 6.8 ve HBSS ortamlarında bilinen konsantrasyonlarda Valsartan miktarlarından hareketle (pH 1.2’de 0.5, 1, 5, 10, 20, 40, 50 µg/mL ve pH 4.6, pH 6.8 ve HBSS’de 0.1, 0.5, 1, 5, 10, 20, 40, 50 µg/mL), HPLC tayini sonuçlarına göre doğrusal sonuçların alınıp alınmadığını kanıtlamak için r^2 değerleri belirlendi (EMA, 2006).

3.2.3.2. Seçicilik

Seçicilik, yöntemin sadece analiz edilmek istenen maddeye özgün olması ya da numune içerisinde safsızlıklar, yardımcı maddeler ya da bozunma ürünleri varlığında analiz edilmek istenen maddenin doğru bir şekilde saptanmasıdır. Bu amaçla Valsartan içeren numune ve içermeyen numune enjeksiyonu yapıldı. pH 1.2, pH 4.6, pH 6.8 ve HBSS ortamlarında çözücüde, etkin madde pikinin altında herhangi bir pik olup olmadığı belirlendi.

3.2.3.3. Çalışma Aralığı

Çalışma aralığı için, 40 µg/mL %100 derişim olarak belirlenmiştir. pH 1.2, pH 4.6, pH 6.8, HBSS ortamlarında 4 µg/mL (%100) ve 50 µg/mL (%125) derişimlerde 6 enjeksiyon verilerek etkin madde pik alanları arasındaki RSD belirlendi.

3.2.3.4. Doğruluk ve Geri Elde Edilebilirlik

Elde edilen deneysel değerin gerçek değere ne kadar yakın olduğunu tespit etmek amacıyla yapılır. pH 1.2, pH 4.6, pH 6.8 ve HBSS ortamlarında 0.5 µg/mL (%1.25),

$4\mu\text{g/mL}$ (%10), $40\mu\text{g/mL}$ (%100) konsantrasyonlarında hazırlanıp 6 örnek enjeksiyon verilerek alan değerleri ölçüldü. Bu alan değerlerine karşılık gelen konsantrasyon miktarları bulundu ve yüzde geri kazanım hesaplandı. Yöntemin doğruluğu geri alma yüzdesine bağlıdır.

3.2.3.5. Kesinlik

Kesinlik, aynı şartlarda ve aynı yöntemle elde edilen sonuçların birbirini takip eden ölçümleri arasındaki yakınlığın derecesini göstermek için kullanılır. pH 1.2, pH 4.6, pH 6.8 ve HBSS ortamlarında Valsartanın $40\mu\text{g/mL}$ 'lik (%100) derişimdeki çözeltisinden 6 defa ardarda enjeksiyonlar yapılp, elde edilen alan değerlerine karşılık gelen derişimlerin ortalaması, standart sapma ve relativ standart sapması hesaplandı.

3.2.3.6. Çözelti Stabilitesi

pH 1.2, pH 4.6, pH 6.8 ve HBSS ortamlarında $4\mu\text{g/mL}$, $40\mu\text{g/mL}$ ile standart örnekler hazırlandı ve oda sıcaklığında cihaza enjekte edilip 90 dakika, 10 saat, 14 saat, 18 saatte enjeksiyonlar tekrarlandı. Bulunan konsantrasyonlar ile çözeltinin ne kadar stabil olduğu ortalama, standart sapma ve relativ standart sapma değerleriyle değerlendirildi.

3.2.3.7. Duyarlılık ve Sapma Sınırı

Yöntemin saptayabildiği en küçük derişime sapma derisi (Limit of Detection, LOD) denir (Denklem 1). Bu derişim gürültü içerebildiğinden çok güvenli olmayabilir. Bu nedenle daha güvenilir olan derişime duyarlılık veya analiz sınırı (Limit of Quantification, LOQ) denir (Denklem 2).

$$\frac{3 * \text{Gürültü}}{\text{Sinyal}} = LOD \text{ (Denklem 1)}$$

$$\frac{10 * \text{Gürültü}}{\text{Sinyal}} = LOQ \text{ (Denklem 2)}$$

3.2.3.8. FaSSIF/FeSSIF/FaSSGF Validasyonu

Açlık-tokluk ortamlarında kısa bir validasyon yapılmıştır. Doğrusallık, seçicilik, çalışma aralığı, doğruluk ve geri elde edilebilirlik ve kesinlik parametreleri incelenmiştir. Çözelti stabilitesine enzim içerdiklerinden dolayı bakılmamıştır.

3.2.4. Formülasyon Çalışmaları

3.2.4.1. Formülasyonunda Yer Alabilecek Bileşenlerin Fizikokimyasal Özelliklerinin İncelenmesi

Lipid bazlı sistemlerin (SEDDS, miseller çözeltiler, S-SEDDS) geliştirilmesinde kullanılması planlanan bileşenlerin fizikokimyasal özelliklerinden bazıları incelenerek analiz sertifikalarına uygunluğu karşılaştırıldı. Bu amaçla refraktif indeksi tayini, dansitesinin tayini, viskozitesinin tayini ve pH'sının tayini yapıldı. YEM ve Y-YEM'lerin viskozite tayini, refraktif indeks tayini ve dansite tayini yapıldı. Lipid bazlı sistemlerin geliştirilmesinde kullanılması planlanan bileşenler Tablo 1'de verilmiştir.

Tablo 1: Kullanılması planlanan yağ/yüzey etkin madde/ yardımcı yüzey etkin maddeler

Yağlar	Yüzey Etkin Maddeler	Yardımcı Yüzey Etkin Maddeler	Katılıştırma Ajanları
Oleik Asit	Capyrol 90	PEG 600	Avicel pH101
Hint Yağı	Labrafil M 1944 CS	Etanol	Aerosil
İsopropil Miristat	Span 80	Transcutol HP	HPMC
Soya Yağı	Labrafil M 2125 CS Plurol Oleik CC497	İsopropil Alkol	
	Tween 20		
	Tween 80		
	Cremophor EL		
	Solutol HS 15		
	Lutrol F127		
	Soluplus		

3.2.4.2. Valsartanın Geliştirilecek Olan Lipid Bazlı Formülasyon Terkibinde

Yer Alacak Bileşenlerinde Çözünürlüğünün Saptanması

Bu aşamada, valsartanın çözünürlüğü geliştirilecek olan SEDD, S-SEDD ve miseller sistemlerinin terkibinde yer alacak bileşenlerde HPLC ile miktar tayini yapılarak tespit edilmiştir ve en çok çözündüğü yağ tipleri, YEM ve YYEM'ler belirlenmiştir. Bu amaçla Tablo 1'de incelenen YEM, YYEM ve yağlar kullanıldı. Bu çalışmada 2 mL YEM, yağ ve YYEM içerisinde aşırı doymuş dozda Valsartan ilave edildi. 200rpm'de oda koşullarında 72 saat boyunca (çözünmesi devam edenler için 120 saat) karanlık ortamda çalkalayıcıda karıştırıldı. 24., 48. ve 72. saat sonunda (çözünmesi devam edenler için 96. ve 120. saatlerde) karışım 25°C'de 3000 rpm'de 15 dk santrifüj edildi. Üstte kalan berrak çözeltiler alındı ve gerekli seyreltmeler yapılarak HPLC cihazında miktar tayinleri gerçekleştirildi (n=3). Bu çalışma sonucunda Valsartanı en çok çözen yağ, YEM, YYEM'lere karar verildi.

3.2.4.3. Lipid Bazlı Formülasyonların Üçgen Faz Diyagramlarının Çizilmesi

SEDD sistemlerin terkibinde yer alacak en çok Valsartanı çözen bileşenler çözünürlük çalışması sonucu belirlenmişti. Bu bileşenler ile formülasyon denemeleri yapılarak üçgen faz diyagramları çizildi (Ege, Karasulu, & Güneri, 2004). Bu diyagramların çizilmesinde titrasyon yöntemi kullanıldı. Formülasyon geliştirme çalışmaları sırasında YEM'ler ile YYEM'ler farklı kombinasyonlarda ve oranlarda karıştırıldı. 30 farklı formülasyon geliştirildi. Yağ, YEM ve YYEM bir beher içerisinde manyetik karıştırıcıda 25°C'de 50 devir/dk dönme hızıyla karıştırılırken su ile titrasyon yapılarak bulanma noktaları tespit edildi. Elde edilen veriler kullanılarak bilgisayar programı yardımıyla üçgen faz diyagramları çizildi ve en yüksek su alan ve mikroemülsiyon alanını veren YEM/YYEM oranları ideal kabul edildi. Burada elde edilen alanların ağırlık merkezleri kullanılarak optimum mikroemülsiyon formülasyonları hesaplandı.

3.2.4.4. Lipid Bazlı Formülasyonların Hazırlanması

3.2.4.4.1. SEDD Sistemlerin Hazırlanması

Bilgisayar programında en büyük alanı veren ve ağırlık merkezinden hesaplanan optimum formülasyonlar su fazı içermeden tüm bileşenler (yağ/YEM/YYEM) karıştırılarak formülasyon hazırlandı. 0.5 mL'sinde 80 mg olacak şekilde Valsartan

eklendi. Valsartanın formülsyonda çözünmesini sağlamak amacıyla manyetik karıştırıcıda 50 rpm devirde karıştırılarak ve 37°C'ye kadar ısıtılarak berrak bir çözelti elde edilerek formülasyonlar hazırlandı.

3.2.4.4.2. S-SEDD Sistemlerin Hazırlanması

Yöntem 3.2.4.4.1'de anlatıldığı gibi hazırlanan Valsartan içeren SEDD formülasyonlar inert taşıyıcılara emdirildi ve yaş granülasyon tekniği ile granüle haline getirildi. Etüvde 45°C'de yaklaşık 1 saat kurutularak kuru karışım elde edildi.

3.2.4.4.3. Miseller Sistemlerin Hazırlanması

Miseller sistemlerin hazırlanması için seçilen yüzey etkin maddeler (Soluplus, Lutrol F127, Solutol HS 15) çeşitli oranlarda bir beherde karıştırılarak etanolde çözüldü. Etanolün uçmasını sağlamak için bir gece çeker ocakta bırakıldı. Daha sonra 10 mL su ile hidrate edilerek miseller formülasyonlarının oluşması sağlandı.

3.2.5. Lipid Bazlı Formülasyonların Karakterizasyon Çalışmaları

Karakterizasyon çalışmaları, üçgen faz diyagramlarında belirlenen orandaki su ile seyreltilerek yapılmıştır.

3.2.5.1. SEDDS Formülasyonlarının Karakterizasyon Çalışmaları

3.2.5.1.1. Formülasyonun Fiziksel Görünüşü

Geliştirilen formülasyonların oda sıcaklığında ($25\pm2^{\circ}\text{C}$) fiziksel görünüşleri incelenerek değerlendirildi.

3.2.5.1.2. Formülasyonun pH Ölçümü

Geliştirilen formülasyonların pH'sı oda sıcaklığında ($25\pm2^{\circ}\text{C}$) Mettler Toledo marka pHmetre ile ölçüldü ($n=3$).

3.2.5.1.3. Formülasyonun Elektrik İletkenliği

Geliştirilen formülasyonların elektrik iletkenliği, oda sıcaklığında ($25\pm2^{\circ}\text{C}$) Jenway 4071 model konduktivitemetre aleti ile belirlendi ($n=3$).

3.2.5.1.4. Formülasyonun Refraktif İndis Ölçümü

Geliştirilen formülasyonların refraktif indis oda sıcaklığında ($25\pm2^{\circ}\text{C}$) Atago refraktometer RX-7000 CX marka refraktometre ile ölçüldü ($n=3$).

3.2.5.1.5. Formülasyonun Viskozitesinin Ölçümü

Geliştirilen formülasyonların viskozitesi oda sıcaklığında ($25\pm2^{\circ}\text{C}$) Brookfield DVII+ Pro cihazında ULA Spindle kullanılarak ölçüldü ($n=3$).

3.2.5.1.6. Dansitesinin Ölçülmesi

Geliştirilen formülasyonların dansitesi piknometre yardımıyla ölçüldü. Başlangıçta boş piknometrenin darası alındı. Daha sonra piknometre distile su ile doldurulup tipası kapatılıp tartıldı. İçinde su kalmaması için etanolle çalkalanıp etüvde kurumaya bırakıldı. Tartıldı ve bulunan kütleden boş piknometre kütlesi çıkarılarak sıvı kütlesi bulundu(m_1). Daha sonra SEDD formülasyonu piknometreye konuldu ve tipası kapatıldı. Tartılıp kaydedildi. Bu kütleden boş piknometrenin kütlesi çıkarılarak SEDD formülasyonu içeren sıvı kütlesi bulundu (m_2). Dansitenin hesaplanması Denklem 3'te verilmiştir.

$$\frac{d_{\text{sıvı}} * m}{m + (m_1 - m_2)} = \text{Dansite}(\text{Denklem3})$$

d_{sıvı}: suyun dansitesi, **m:** SEDD formülasyonunun kütlesi, **m₁:** suyun kütlesi, **m₂:** SEDD formülasyonunu içeren sıvı kütlenin ağırlığı

3.2.5.1.7. Formülasyonun Damlacık Boyutunun Saptanması

Geliştirilen formülasyonların damlacık büyülüklüğü Malvern zetasizer cihazı kullanılarak ölçüldü. Formülasyonun etkin madde içeren ve içermeyen hallerinin damlacık büyülüklüğü, polidispersite indeksi oda sıcaklığında ($25\pm2^{\circ}\text{C}$) ölçüldü ($n=6$).

3.2.5.1.8. Formülasyonun Zeta Potansiyel Değerleri

Kendiliğinden emülsifiye olabilen sistemlerde stabilité yüzey yükü ile ilişkilidir. Zeta potansiyel ölçümü Malvern zetasizer cihazı ile oda sıcaklığında ($25\pm2^{\circ}\text{C}$) yapılmıştır ($n=3$).

3.2.5.1.9. Formülasyonun Dağılım Dayanıklılığının Saptanması

Formülasyonlar pH 1.2, distile su, pH 6.8 ortamlarında 1:10, 1:100, 1:500 ve 1:1000 oranlarında seyreltilerek 0., 2. ve 24. saatlerde Malvern zetasizer cihazında partikül büyüklükleri ölçüldü. Partikül büyüklüklerinde zamana bağlı değişim olup olmadığı araştırıldı.

3.2.5.1.10. Formülasyonun Emülsifikasyon Zamanı

Geliştirilen formülasyonların 100 rpm'de USP XXII dissolüsyon aparatı kullanılarak karıştırılan $37\pm0.5^{\circ}\text{C}$ 'lik 1000 mL'lik distile suya damla damla eklenerek, formülasyon gözlenmeye kadar geçen süre hesaplandı.

3.2.5.1.11. Formülasyonun Santrifüj Çalışmaları

Geliştirilen formülasyonların 5000 rpm hızında, $25\pm2^{\circ}\text{C}$ sıcaklıkta ve 30 dakika süre ile santrifüj cihazı (Sigma 2-16KL) ile santrifüj edilerek formülasyonlarda faz ayrışımı olup olmadığı kontrol edildi.

3.2.5.1.12. Formülasyonun Isıtma-Soğutma Çalışmaları

Geliştirilen formülasyonların soğutma $4\pm2^{\circ}\text{C}$ 'de 24 saat bekletilme ve ısıtma ise $45\pm2^{\circ}\text{C}$ 'de 24 saat boyunca bekletilmesi ile gerçekleştirildi. Bu amaçla hazırlanan formülasyonlar 3 kez soğutma (4°C , 24 saat) ve ısıtma (45°C , 24 saat) döngüsüne tabi tutulduktan sonra 5 dakika 3000 devir/dakika santifürürlenip formülasyonlarda faz ayrışması ve bulanıklık olup olmadığı incelendi. Her bir sıcaklık muamelesi sonrasında faz ayrışması, çökelme gibi stabilizasyon problemlerinin oluşup olmadığı araştırıldı.

3.2.5.1.13. Formülasyonun Dondurma-Çözme Çalışmaları

Geliştirilen formülasyonlar $-4\pm2^{\circ}\text{C}$ 'de 24 saat donmaya bırakıldıktan sonra $40\pm2^{\circ}\text{C}$ 'de 24 saat bekletildi. 3000 devir/dakika santrifüjlendikten sonra faz ayrışması olup olmadığı gözlemlendi.

3.2.5.1.14. Valsartan Miktar Tayini

Geliştirilen Valsartan içeren SEDD sistemler mobil fazda çözündürülümsü ve açığa çıkan Valsartan miktarı HPLC ile değerlendirilmiştir (Denklem 4).

$$\% \text{Miktar} = (M \text{ valsartan} / M \text{ madde}) \times 100 \text{ (Denklem 4)}$$

M valsartan: Deneyel olarak elde edilen valsartan miktarı

M madde: Formülaysyondaki teorik madde miktarı

3.2.5.2. S-SEDDS Formülaysyonlarının Karakterizasyon Çalışmaları

3.2.5.2.1. Fiziksel Görünüş

Geliştirilen formülaysyonların oda sıcaklığında ($25\pm2^{\circ}\text{C}$) fiziksel görünüşleri incelenerek değerlendirildi.

3.2.5.2.2. Küme ve Sıkıştırılmış Dansite Ölçümleri

S-SEDDS sıkıştırılmış dansitelerinin ölçülmesinde Tap-2S Tap Density Tester cihazı kullanıldı. Başlangıçta mezüre 100 mL hacminde konularak başlandı. 0., 10., 500., 1250. vuruşlar sonucu hacimlere bakıldı. Bunun sonucunda küme dansite (Denklem 5), sıkıştırılmış dansite (Denklem 6), Hausner oranları (Denklem 7) ve Carr indeksi (Denklem 8) hesaplandı. Carr indeksi %5-15 arasında ise mükemmel, %12-16 arasında ise iyi, %18-21 arasında orta, %23-35 arasında ise zayıf, %33-38 arasında ise çok zayıf, %40'tan büyükse aşırı zayıf akış olarak değerlendirilir.

$$\frac{\text{Tozun Ağırlığı}(g)}{\text{Başlangıç Hacmi}(mL)} = \text{Küme Dansitesi (Denklem 5)}$$

$$\frac{\text{Tozun Ağırlığı}(g)}{\text{Sıkıştırılmış Hacim}(mL)} = \text{Sıkıştırılmış Dansite (Denklem 6)}$$

$$\frac{\text{Sıkıştırılmış Dansite}}{\text{Küme Dansite}} = \text{Hausner Oranı (Denklem 7)}$$

$$\frac{\text{Sıkıştırılmış Dansite} - \text{Küme Dansite}}{\text{Sıkıştırılmış dansite}} * 100 = \text{Carr İndeksi}(\%)(\text{Denklem 8})$$

3.2.5.2.3. Titreşimli Elek ile Boyut Analizi

S-SEDDS'lerin boyut analizi Retsch marka titreşimli elek ile gerçekleştirildi. Formülaysyonlardan 50 g alınıp elek sistemine konuldu. 10 dk 20 Hz titreşim uygulandı. Kullanılan elek sisteminin boyutları 1.40mm, 1.00mm, 500 μm ve 250 μm 'dir.

3.2.5.2.4. Emülsifikasyon Zamanı Analizi

Geliştirilen formülasyonların 100 rpm'de USP XXII dissolüsyon aparatı kullanılarak karıştırılan $37\pm0.5^{\circ}\text{C}$ 'lik 1000 mL'lik distile suya S-SEDDS eklenerek, formülasyon gözlenmeye kadar geçen süre hesaplandı.

3.2.5.2.5. Damlacık Boyutu Analizi

80 mg Valsartan dozunu 1000 mL pH 1.2, pH 6.8 ve distile suda çözerek damlacık büyülükleri Malvern zetasizer cihazı kullanılarak oda sıcaklığında ($25\pm2^{\circ}\text{C}$) ölçüldü (n=6).

3.2.5.2.6. İçerik Miktar Tayini

Geliştirilen Valsartan içeren S-SEDD sistemler mobil fazda çözündürülmüş ve açığa çıkan Valsartan miktarı HPLC ile değerlendirilmiştir (n=3) (Denklem 4).

3.2.5.3. Miseller Sistemlerin Karakterizasyon Çalışmaları

3.2.5.3.1. Fiziksel Görünüş

Geliştirilen formülasyonların oda sıcaklığında ($25\pm2^{\circ}\text{C}$) fiziksel görünüşleri incelenerek değerlendirildi.

3.2.5.3.2. Formülasyonun pH Ölçümü

Geliştirilen formülasyonların pH'sı oda sıcaklığında ($25\pm2^{\circ}\text{C}$) Mettler Toledo marka pHmetre ile ölçüldü.

3.2.5.3.3. Formülasyonun Refraktif İndis Ölçümü

Geliştirilen formülasyonların refraktif indis oda sıcaklığında ($25\pm2^{\circ}\text{C}$) Atago refraktometer RX-7000 CX marka refraktometre ile ölçüldü.

3.2.5.3.4. Formülasyonun Damlacık Boyutunun Saptanması

Geliştirilen formülasyonların damlacık büyülüklüğü Malvern zetasizer cihazı kullanılarak oda sıcaklığında ($25\pm2^{\circ}\text{C}$) ölçüldü (n=6).

3.2.5.3.5. Formülasyonun Santrifüp Çalışmaları

Geliştirilen formülasyonların 5000 rpm hızında, $25\pm2^{\circ}\text{C}$ sıcaklıkta ve 30 dakika süre ile santrifüp cihazı (Sigma 2-16KL) ile santrifüp edilerek formülasyonlarda faz ayrışımı olup olmadığı kontrol edildi.

3.2.5.3.6. Formülasyonun Isıtma-Soğutma Çalışmaları

Geliştirilen formülasyonların soğutma $4\pm2^{\circ}\text{C}$ 'de 24 saat bekletilme ve ısıtma ise $45\pm2^{\circ}\text{C}$ 'de 24 saat boyunca bekletilmesi ile gerçekleştirildi. Bu amaçla hazırlanan formülasyonlar 3 kez soğutma (4°C , 24 saat) ve ısıtma (45°C , 24 saat) döngüsüne tabi tutulduktan sonra 5 dakika 3000 devir/dakika santifürüljenip formülasyonlarda faz ayrışması ve bulanıklık olup olmadığı incelendi. Her bir sıcaklık muamelesi sonrasında faz ayrışması, çökelme gibi stabilizasyon problemlerinin oluşup oluşmadığı araştırıldı.

3.2.5.3.7. Formülasyonun Kritik Misel Konsantrasyonu

Valsartan içeren miseller çözeltiler belirli oranlarda distile su kritik misel konsantrasyonu belirlendi. Valsartan içeren miseller sistemin farklı derişimlerde hazırlanan çözeltilerinin kritik misel konsantrasyonu yüzey gerilimi tayini yöntemiyle gerçekleştirildi. Yüzey gerilimi damla sayma yöntemi Traube Stalogrammetresi kullanılarak ölçüldü ($n=2$).

3.2.5.3.8. İçerik Miktar Tayini

Geliştirilen Valsartan içeren miseller sistemler mobil fazda çözündürülmüş ve açığa çıkan Valsartan miktarı HPLC ile değerlendirilmiştir (Denklem 4).

3.2.6. Stabilite Çalışmaları

SEDD ve S-SEDD formülasyonlarının stabilitelerinin incelenmesi amacıyla hazırlanan formülasyonlar $25\pm2^{\circ}\text{C}$, $\%60\pm5$ bağıl nemde ve $40\pm2^{\circ}\text{C}$, $\%75\pm5$ bağıl nemde 12 ay boyunca saklandı. Stabilite çalışmasında numuneler 12 ay süreyle $t=0$ yani başlangıç anında ve 1., 3., 6., 9. ve 12. aylar olmak üzere kontrol edildi. Valsartan içeren S-SEDD formülasyonlar sert jelatin kapsüller içinde ayrıca SEDD formülasyonlar renkli cam vialler içerisinde (20 mL) stabilite çalışmasına alınarak bu sıvı sistemlerin stabiliteleri değerlendirildi.

3.2.6.1. SEDD Sistemlerinin Stabilite Çalışmaları

Isıtma-soğutma, santrifüj çalışmaları gibi termodinamik stabilite çalışmaları ve damlacık boyutu, PDI gibi gibi karakterizasyon çalışmaları sonrası seçilen formülasyonların stabilite çalışmalarına başlandı. Valsartan içeren SEDD sistemlerinin stabilitesini incelemek amacıyla, formülasyonların fiziksel görünüşü,

damlacık büyülüklüğü, elektriksel iletkenliği, refraktif indeksi, pH'sı, viskozitesi ve faz ayrışması gibi özellikleri değerlendirildi. Ayrıca etkin maddenin sistem içersindeki kimyasal stabilitesi de araştırıldı.

3.2.6.2. S-SEDD Sistemlerinin Stabilite Çalışmaları

Valsartan içeren S-SEDDS sert jelatin kapsüllerin stabilité testlerinde takip edilecek parametreler, kapsülün dağılma zamanı, kapsülün görünüşü ve etkin madde içeriğidir. Kullanılan kapsül 00'dır. Etkin madde miktar tayini geliştirilecek olan HPLC yöntemi ile analizlendi.

3.2.7. *In Vitro* Salım Çalışmaları

Geliştirilen lipid bazlı formülasyonlarının, ticari formülasyonun ve etkin maddenin *in vitro* salım çalışmaları döner palet yöntemi ile 1000 mL ortamda (pH 1.2, 4.6, 6.8) $37\pm1^{\circ}\text{C}$ 'de 50 rpmde yapılmıştır. Her bir formülasyon için 3 paralel salım çalışması yapıldı. Çalışmalarda formülasyonlar sert jelatin kapsüle (00 numara) 80 mg Valsartan içerecek miktarda konuldu. Çözünme ortamından numuneler belirli zaman aralıklarında (0., 5., 10., 20., 30., 45., 60., 90., 120., 180., 240., 300., 360., 420., 480., 1440.dakikalarda) 0.45 μ por boyutundaki membran filtreden süzülerek alınmıştır. Alınan örneklerin HPLC'de miktar tayini yapılarak sonuçlar daha önce pH 1.2, pH 4.6, pH 6.8 ortamlarında çizilmiş olan kalibrasyon eğrileriyle değerlendirildi.

3.2.7.1. *In Vitro* Salım Çalışmalarının Kinetik Değerlendirilmesi

Valsartan etkin maddesinin ve ticari formülasyonun salım çalışması sonrası hesaplanan % salım değerleri sıfırıncı derece, birinci derece, Higuchi eşitliği, Langenbucher, Hixson–Crowell, RRSBW, M.Langenbucher, Hopfenberg, BTa ve Peppas eşitlikleri kullanılarak bilgisayar ortamında (Ege, Karasulu, Karasulu, & Ertan, 2001) kinetik modelleme yapılmıştır.

3.2.8. Açılk Tokluk Ortamlarında *In Vitro* Salım Çalışmaları

In vitro salım çalışmaları sonucu seçilen SEDD ve S-SEDD ile açlık tokluk ortamlarında 24 saat boyunca döner palet yöntemiyle 1000 mL ortamda $37\pm1^{\circ}\text{C}$ 'de 50 rpm'de *in vitro* salım çalışmaları yapılmıştır. Ortam olarak FaSSIF pH 6.5, FeSSIF pH 5, FaSSGF pH 1.6 ortamları kullanılmıştır. Çalışmalar 3 paralel yapılmıştır. Çözünme ortamından numuneler belirli zaman aralıklarında (0., 5., 10., 20., 30., 45., 60., 90., 120., 180., 240., 300., 360., 420., 480., 1440. dakikalarda) 0.45 μ m por boyutundaki

membran filtreden süzülerek alınmıştır. Alınan örneklerin HPLC'de miktar tayini yapılarak sonuçlar daha önce açlık tokluk ortamlarında çizilmiş olan kalibrasyon eğrileriyle değerlendirildi.

3.2.9. *In vitro* Lipoliz Deneyi

In vitro lipoliz deneyi, pH kontrollü otomatik titratörde yapıldı. SEDD, S-SEDD formülasyonları ve sadece yağ ve etkin madde içeren formların lipolizi ayrı deneylerde belirlendi. Her bir deney için, termostatlı bir reaksiyon kabına 160 mg Valsartan içerecek kadar formülasyon ilave edildi ve 18 mL sindirim tamponu (50 mM Trizma maleat, 150 mM NaCl, 5 mM CaCl₂ · 2H₂O) içinde dağıtıldı. Daha sonra pH, 0.1 M NaOH ile 7.5'e ayarlandı. Lipoliz denemeleri, 1 mL pankreatin özü ilave edilerek başlatıldı ve karışım, sürekli karıştırılarak 37±0.5°C'de tutuldu. Pankreatin özü, 5 mL sindirim tamponuna 1 g pankreatin (pankreatik lipaz ve ko-lipaz içeren) ilave edilerek hazırlandı. Karışım 15 dakika karıştırıldıktan sonra 1600 rpm ve 5±0.1°C'de 15 dakika santrifüp edildi. Elde edilen sıvı toplandı ve buzda saklandı. Pankreatin özleri her deney için taze olarak hazırlandı. pH kontrollü otomatik titratör, pH'yi 0.1 M NaOH ile titre ederek 7.50 ± 0.05'te tutmak için kullanıldı. Titrant hacimleri önceden belirlenmiş zamanlarda (0., 30., 60., 90. ve 120. dakikalarda) kaydedildi. Sindirilen lipit yüzdesi, tüketilen miktara eşit olan serbest yağ asidi (FFA) miktarından hesaplandı (Denklem 9). Bu miktarlar grafiğe geçirildi (Zhang et al., 2014).

$$\frac{C_{NaOH} \times V_{NaOH} \times M_{lipid}}{m_{lipid} \times 2} \times 100 = \% \text{ Sindirilen} \quad (\text{Denklem 9})$$

Her bir zaman noktasında miktar tayini analizi için 1 mL örnek alındı. 15 dakika 25°C'de 5000 rpm'de santrifülendi. Üstte kalan örnek süzülüp gerekli seyreltmeler yapılarak HPLC'de tayin edildi.

3.2.10. *In Vitro* Permeabilite Çalışmaları

In vitro permeabilite çalışmaları için hazırlanan eşit miktarda etkin madde içeren (40 µg/mL) lipid bazlı sistemleri (SEDD ve S-SEDD), valsartan ve ticari dozaj formunun çalışmaları yapılip, permeabilite verileri hesaplanmıştır. Böylece hazırlanan yeni formülasyonların valsartanın permeabilitesi üzerine etkisi ticari formülasyonla karşılaştırılmalı olarak değerlendirilmiştir.

3.2.10.1. Caco-2 Hücrelerinin Pasajlanması

In vitro permeabilite çalışmalarında, -80°C'de 1 mL'lik tüpte dondurularak saklanmış ve Amerikan Tip Kültür Koleksiyonundan (ATCC) gelen Caco-2 (Kolonik Adenokarsinoma Hücreleri) hücre grubu kullanıldı. Caco-2 hücreleri 37±0.5°C'lik su banyosunda çözündürülüp, 1200 rpm'de 5 dakika boyunca santrifüj edildi. Üstte kalan sıvı kısım atıldı. Altta kalan kısım 20 mL'lik besiyeri ortamı ile yıkandı. Bu hücreleri Tripan mavisi ile boyayarak Neubuer lamında mikroskopta hücrelerin canlılık durumuna bakıldı. Tripan mavisi vital bir boyacı olduğundan canlı hücreler parlak, ölüler hücreler ise maviye boyanmış olarak görülmektedir. Hücre canlılığına baktıktan sonra kalan kısım 75 cm²'lik hücre kültür erlenine aktarıldı.

Hücre besiyeri ortamı olarak DMEM içine, %20 Fetal sığır serumu, %1 L-Glutamin, %1 Pen-Streptomisin, %1 esansiyel olmayan aminoasit çözeltisi kullanıldı. Hücre kültür erleni, hücrelerin çoğalması için 37±0.5°C'de %5 CO₂ içeren inkübatorde inkübasyona bırakılıp, 48 saatte bir besiyeri ortamı tek kullanımlık pipetler ile değiştirildi ve hücreler mikroskop altında belirli aralıklarla incelendi.

Caco-2 hücrelerinin polikarbonat membran filtre üzerine ekimi, laminar hava akımlı kabin altında hücre kültür süspansiyonu besiyeri ortamıyla yapıldı. Pasajlama işlemine başlamadan önce laminar hava akımlı kabin hazır duruma getirildi. Kullanılacak tüm malzemeler ve kabin %70 alkoller temizlendi. pH 7.4 fosfat tampon çözeltisi ile hücrelerin bulunduğu tüm kısımları alacak şekilde kültür erleni yıkandı, kapağı kapatıldı. Sonra inkübatorde 10 dakika bekletilip, fosfat tamponu kültür erleninden uzaklaştırılmıştır. Bu kültür erlenine 2.5 mL Tripsin-Etilen Diamin Tetra Asetik asit (Tripsin-EDTA) çözeltisi konup, 10 dakika inkübatorde bekletildi. Yüzeye yapışan hücrelerin yüzeyle bağlantıları kesilip DMEM eklenerek karışım tüpe alınıp santrifüj edildi. Üst kısım atılarak hücrelere 10 mL DMEM ortamı eklendi. DMEM eklenen hücreler hücre kültür erlenine eklenerek pasaj oluşturuldu. 24 saat sonra besiyeri ortamı yukarıdaki işlem sırasına göre değiştirildi. Daha sonra 48 saatte bir besiyeri ortamı yenilendi (Gündoğdu, 2009).

3.2.10.2. Caco-2 Hücrelerinin Polikarbonat Filtre Üzerine Ekimi

+4°C'de saklanan fosfat tampon çözeltisi (PBS), tripsin-EDTA çözeltisi ve hücre kültürü besiyeri 37°C'ye ulaşana kadar su banyosunda bekletildi. Laminar hava akımlı kabin altında açılan erlenden hücre kültürü süspansiyonu erlen tabanına değmeden

dikkatlice tek kullanımlık pipet yardımıyla uzaklaştırıldı. Erlenin içi 2 defa 10 mL PBS ile yıkanıp ve tripsin-EDTA çözeltisi ilave edilip, inkübatörde 10 dakika bekletilerek erlen yüzeyine tutunmuş haldeki hücrelerin erlen tabakasından ayrılması sağlandı. Her hücre kültür erleni için hesaplanan miktarda hücre kültürü besiyeri ilave edilip, bu hücre süspansiyonunun hepsi alınıp santrifüj tüpüne aktarıldı. 1200 rpm'de 5 dakika 25°C'de santrifürlenip, çalışma kabini altında üstteki toplanan sıvı atılıp, 10 mL besiyeri ortamı ile tekrar süspande edildi. Elde edilen hücre süspansiyonundan, küçük cam pipetler ile hücreler alınıp, ışık mikroskopu altında tripan mavisi ile boyanarak hücre sayımı yapıldı. Her bir kültür kabı için 15 mL ortam gereklidir. Bu ortamın mL içinde 25 hücre olmalıdır. Hücre sayısı hesabı yapıldıktan sonra, 2 mL hücre süspansiyonu, hücre kültürü çalışmalarında kullanılmak üzere apikal kısımdaki polikarbonat filtreler üzerine ekildi (6 kuyucuklu plate, her bir kuyucuk 4.67 cm^2). Bazolateral kısma da 2 mL besiyeri ortamı ilave edildi. Ekimden sonra 1. ve 2. günlerde ortam değiştirildi. Daha sonra, en az 21 gün boyunca Caco-2 hücrelerinin polikarbonat membran滤re üzerine tutunması için beklandı. Bu süre boyunca haftada 3 defa apikal ve bazolateral kısımlardaki besiyeri ortamı değiştirildi. Caco-2 hücrelerinin polikarbonat membran滤re üzerine tutunup tutunmadığı, permeabilite deneylerine başlamadan önce kültür kaplarındaki her bir kuyucuk içindeki TEER değerlerinin ölçülmesiyle belirlendi (Gündoğdu, 2009).

3.2.10.3. Valsartanın Caco-2 Hücrelerinden Permeabilite Çalışmaları

Caco-2 hücrelerinin ekili, polikarbonat membran滤re üzerine tutunması sağlandıktan sonra permeabilite çalışmalarına başlandı. Caco-2 hücrelerinden geçiş çalışmaları; hazırlanan SEDD, S-SEDD, valsartan ve ticari preparat ile yapıldı. Önce apikal ve bazolateral kısımdaki besiyeri ortamları boşaltılıp, yeni besiyeri ortamı ile değiştirildi ve $37\pm0.5^\circ\text{C}$ 50 rpm'deki inkübatörlü yatay çalkalayıcıya kültür kapları konuldu. 1 saat kadar sistemin dengeye gelmesi beklandı ve bu süre sonunda deney başlatıldı. Geçiş çalışmaları apikal yönden bazolateral yön ve bazolateral yönden apikal yön doğru yapıldı. Apikal yönden bazolateral yön doğru yapılan geçiş çalışmaları için valsartan içeren 1.5 mL formülasyonun HBSS içindeki çözeltisi apikal kısma konuldu. Bazolateral kısma 2.6 mL HBSS ilave edildi. Bazolateral yönden apikal yön doğru olan çalışmalar için valsartan içeren 2.6 mL formülasyonun HBSS içindeki çözeltisi bazolateral kısma; 1.5 mL HBSS çözeltisi apikal kısma ilave edildi. Tüm deneyler boyunca 0, 30, 60, 90 ve 120. dakika zamanlarında 200 μL örnek alındı.

HPLC'de analiz edilinceye kadar -20°C'de saklandı. Alınan örneklerden sonra ortamın hacmini sabit tutmak için 200 µL HBSS ilave edildi.

120. dakikada alınan final örneğinden sonra membranlar pens yardımıyla çıkartılıp, serum fizyolojik ile 3 defa yıkandı ve ependorfa koyuldu. Üzerine 200 µL fosfat tampon çözeltisi koyulup 1500 rpm de 10 dakika santrifüjlendi. Üstte kalan sıvı alındı (A_m). Daha sonra ependorfta kalan membran üzerine 200 µL metanol koyuldu (A_{OH}). Alınan bu örnekler HPLC'de analiz edilinceye kadar -20°C'de saklandı. Deneylerin sonunda zamana karşı kümülatif valsartan miktarları grafiğe geçirilip etkili permeabilite değeri Denklem 9 ile hesaplandı. Geçiş çalışmaları 3 paralel yapıldı. Etkili permeabilite apikal ve bazolateral kısımlar için hesaplandı (González-Alvarez et al., 2005; Gundogdu & Karasulu, 2012; Komin & Toral, 2009).

$$\frac{dQ/dt}{CoxAxt} = Papp \text{ (Denklem 10)}$$

Papp= Permeabilite (geçiş) Katsayısı

dQ/dt= İlacın Permeabilite (geçiş) Hızı

Co= İlacın Başlangıç Konsantrasyonu

A= Yüzey Alanı (4.67 cm²)

t= Zaman

3.2.10.4. Transepitelial Elektrik Rezistans (TEER) Değerinin Ölçülmesi

Caco-2 hücrelerinin bütünlüğünün tespitinde kullanılan yöntemlerden biri de elektriksel direncin ölçülmesidir. Bu amaçla, çalışmada voltametre denilen alet kullanılmıştır. Deneye başlamadan önce kültür kaplarının içindeki ortam boşaltılıp, içine 2 mL, dışına 3 mL HBSS eklendi. Bu işlem 3 defa yapıldı. Geçiş çalışması için 1mL 1 M HEPES içeren HBSS karışımı kullanıldı (1mL HEPES+99 mL HBSS). Önce TEER değeri boş kuyucuklarda 3 farklı yönde voltmetre ile ölçüldü. Deneyde kullanılacak kültür erlenlerinin TEER değerleri yine bu üç yönde ölçüldü ve en son deney bitiminde TEER değerleri ölçülüp iki ölçüm arasındaki fark değerlendirildi. Böylece hücrelerin bütünlüğü kontrol edildi.

3.2.10.5. Hücre Canlılığı ve Sitotoksisite Testi

Caco-2 hücrelerinin canlılığı üzerine lipid bazlı ilaç taşıyıcı sistemlerin etkisi ve sitotoksisitesini incelemek amacıyla, 1×10^4 hücre/mL konsantrasyondaki Caco-2 hücrelerinden 96 gözlü hücre kültürü kaplarına 100'er μL ekildi. Bu hücreler 24 saat 37°C'de, %5 CO₂'li ve rutubetli ortamda inkübe edildi. 24 saat sonunda 96 gözlü hücre kültürü kaplarındaki ortamlar atılarak sitotoksisite çalışmalarına başlandı. Önce hücreler 100 μL PBS ile yıkandı. Daha sonra farklı konsantrasyonlarda (10-1000 $\mu\text{g}/\text{mL}$) HBSS içinde çözündürülü etkin madde çözeltisi ve yeni hazırlanan lipid bazlı formülasyonlar 24, 48 ve 72 saat bekletildi. Bu süre sonunda hücre kültürü kaplarındaki her bir göze 100 μL MTT (3-(4,5-Dimetiltiyazol-2-il)-2,5-difeniltetrazolyum bromür) (5 mg/mL stok MTT/PBS çözeltisinden alınarak) ilave edilip 4 saat inkübasyona bırakıldı. Sitotoksisite testi yapılan örnekleri (etkin maddenin çözeltileri ve lipid bazlı formülasyonları) içeren ortamlar uzaklaştırılıp 100 μL DMSO, 96 gözlü hücre kültür kaplarının her bir kuyucuğuna eklendi. 96 gözlü hücre kültür kaplarının ilk sırası kontrol grubu olarak kullanılmıştır. Hücre canlılığını test etmek için absorbans değerleri 570 nm'de ELISA mikroplaka okuyuculu UV spektrofotometre (Thermo Vario Scan-FHA multiplate reader) ile okutulup değerlendirilmiştir. Hücre canlılığı Denklem 10 ile hesaplandı.

$$\left(\frac{T}{R}\right) * 100 = \text{Hücre Canlılığı (\%)} \quad (\text{Denklem 11})$$

T: Test edilen örneklerden okunan absorbans değeri

R: Kontrol grubundan okunan absorbans değeri

Hücre canlılığı yüzdesi, %95'in üzerinde çıkarsa; uygulanan örneğin hücreler üzerinde sitotoksik olmadığı ifade edilir.

3.2.11. *In Vivo* Çalışmalar

3.2.11.1. Farmakokinetik ve Farmakodinamik Çalışmalar

Geliştirilecek olan valsartan içeren SEDD, S-SEDD ve miseller sistemlerinde yapılacak olan karakterizasyon, stabilité, *in vitro* salım ve permeabilite çalışmaları sonucu ideal olarak tespit edilen lipid formülasyon olan SEDD ile *in vivo* çalışmalara geçilmiştir. (Bu çalışma için E.Ü. Deney Hayvanları Etik Kuruluna ait 22.02.2017 tarih ve 2017-003 sayılı izin belgesi alınmıştır.)

3.2.11.1.1. Farmakokinetik Çalışmalar

Geliştirilen lipid bazlı SEDD ve ticari formülasyonun farmakokinetik özelliklerinin belirlenmesi amacıyla “Hayvanlarda Farmakokinetik Çalışmaların Yönetimi” başlıklı kılavuz takip edilmiştir (EMA, Hayvanlarda Farmakokinetik Çalışmaların Uygulanması Yönetimi Kılavuzu, 1992).

Her iki cinsten olacak şekilde sağlıklı Wistar albino sıçanlarda (250-300 gram) çalışıldı. Çalışmadan bir gece önce hayvanlar aç bırakılıp sadece su takviyesi yapıldı. Çalışma sırasında sıçanlara anestezi uygulanmadı.

Formülasyonun farmakokinetik parametreleri, tek doz olacak şekilde per oral (64 mg/kg) (Yan et al., 2012) uygulamalarını takiben, 2 grup olarak incelenmiştir.

1. Grup: Ticari formülasyon (64 mg/kg olacak şekilde serum fizyolojikte süspande edildi.)
2. Grup: Geliştirilen lipid bazlı formülasyon (64 mg/kg olacak şekilde verildi.)

Sıçanlara formülasyon oral olarak gavaj yoluyla orogastrik sonda yardımıyla uygulanmıştır. Üzerine 200 µL su verilmiştir.

Formülasyonun vücuttaki dağılımını belirlemek için (C_{maks} ve T_{maks} öncesi en az 5 noktada ve sonrasında 24. saat kadar 5 noktada olmak üzere) toplamda 10 noktada kan örneklemesi yapılmıştır (0., 0.5., 1., 2., 3., 4., 5., 7., 18. ve 24. saatlerde). Sıçanlardan kalp kanı alınmıştır. Çalışmada her bir zaman noktası için 4 sıçan kullanılmıştır. 2 grup için toplam 80 adet sıçanla çalışılmıştır. Belirlenen zaman aralıklarında kalp kanı örnekleri alınarak farmakokinetik hesaplamalar yapılmıştır (EAAsız, EAAsız, C_{maks} ve T_{maks}). Çalışmada alınan kan örnekleri; 100 µL/mL heparin içeren ependorflara konuldu. Daha sonra bu kan örnekleri 10000 rpm'de 10 dakika boyunca santrifüj edilip plazmaları ayrıldı ve plazma içindeki valsartanın miktarının bulunması için -20°C'de HPLC'de analiz edilene kadar saklandı. Plazmada valsartan tayin yöntemi olarak HPLC-UV cihazında literatürlere göre metod geliştirme ve validasyon çalışmaları yapıldı. Validasyon için gün içi ve günler arası doğruluk, kesinlik ve geri kazanım, stok çözelti kararlılığı, donma erime kararlılığı, dilüsyon doğruluğu, matriks etkisi LLOQ tayini yapılmıştır. İç standart olarak olmesartan kullanılmıştır (Perez, Farm, & Ramírez, 2007; Zarghi & Shafaati, 2008).

Farmakokinetik çalışmalar İlaç Geliştirme ve Farmakokinetik Araştırma-Uygulama Merkezi (ARGEFAR) Faz Öncesi Araştırmalar Birimi deney hayvani laboratuvarında gerçekleştirildi. Etkin madde analizleri HPLC ile, Sağlık Bakanlığı TITCK'dan GCP/GLP onayı bulunan ARGEFAR Biyoanalitik biriminde yapılmıştır. Tüm Farmakokinetik analizlerde FDA onaylı ve Lisanslı SAS 9.2 TS Level 2M3 ve WinNonline 6.4 Connect 1.4 kullanılmıştır.

3.2.11.1.2. Farmakodinamik Çalışmalar

Antihipertansif etkinlik çalışmaları her iki cinsten 18 Wistar albino sincanlarda (250-300 gram) gerçekleştirildi. Sincanlar 3 gruba bölündü ve her grupta 6 sincan olacak şekilde gruplandırıldı (A, B ve C) (n=6). Sincanlar polipropilen kafeslerde, $25\pm2^{\circ}\text{C}$ sıcaklık ve $\%55\pm5$ rölatif neme sahip standart laboratuvar koşullarında tutuldu. Hayvanların standart laboratuvar diyetine ve suya erişimi serbesttir. Çalışmaya başlamadan önce kan basıncındaki doğal sapmaları azaltmak için 30 dakikalık zaman diliminde 3-4 defa tutulacakları kafese konularak kan basıncı ayarlandı. Normal duruma ulaşıldıktan sonra, normal tansiyonlu hayvanların başlangıçtaki sistolik kan basıncı invazif olmayan küçük hayvan kuyruğu kan basıncı sistemi (SC1000 Single Channel System (Hatteras Instruments)) ile kaydedildi. Sincanların başlangıç kan basıncı kaydedildikten sonra 3 grup sincanda hipertansiyon oluşturmak üzere metil prednisolon asetat (20 mg/kg/hafta) iki hafta süreyle subkutanöz enjeksiyonu yapıldı. Hipertansiyon indüklendikten sonra A grubundaki hayvanlara kontrol grubu olarak herhangi bir tedavi uygulanmadı. B ve C grubundaki hayvanlara ticari formülasyon ve geliştirilen lipid bazlı formülasyon peroral olarak 64 mg/kg dozda verildi. Hayvanların ortalama sistolik kan basıncı ilaç uygulama sonrası belirlenen zaman aralıklarında (0-3-4. saatlerde) ölçüldü (Beg, Swain, Singh, Patra, & Rao, 2012).

Hipertansiyonlu sincanlarda biyokimyasal parametreler (kanda glukoz ve serum sodyum ve potasyum düzeyleri, kreatinin, gama glutamil transpeptidaz, kolesterol, trigliserit konsantrasyonları ve ALT/ AST) (O'Shea et al., 2017) ticari farmasötik şekil ile geliştirilen lipid bazlı formülasyonda karşılaştırılmalı olarak VetScan VS2 (Abaxis) cihazında ölçülmesi ile araştırıldı.

3.2.11.2. İstatistiksel Değerlendirme

Farmakokinetik parametreler WinNonlin programı kullanılarak değerlendirilmiştir. Tekrarlı ölçümlerde gruplar arasındaki farklı istatistiksel olarak belirlemede T testi

kullanıldı. *In vitro* salım profilleri değerlendirilmesinde F_2 benzerlik faktörü hesaplanarak karşılaştırma yapıldı.



Bulgular

4.1. Valsartanın Fizikokimyasal Özelliklerinin Belirlenmesi

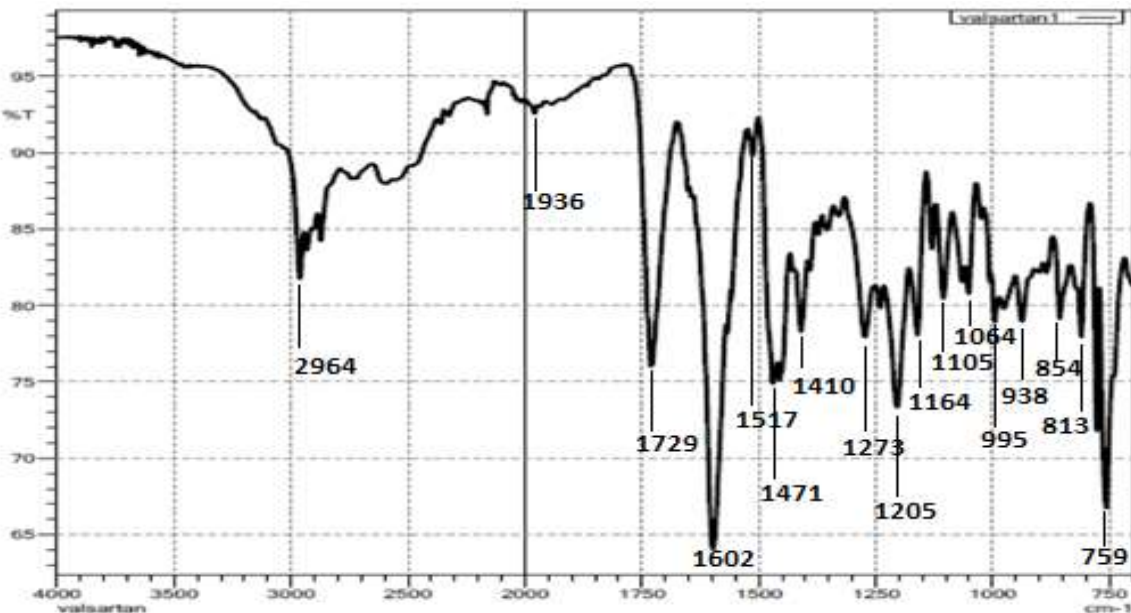
Valsartanın fizikokimyasal özellikleri, analiz sertifikası ile uyumlu bulunmuştur. Valsartan, pratikte suda çözünmeyen, etanol ve metanolde serbestçe çözünebilen, metilen klorürde kısmen çözünen beyaz ve higroskopik bir tozdur.

4.1.1. Valsartanın Lipid Su Partisyon Katsayısının Saptanması

Yöntem 3.2.1.1'de belirtildiği gibi, valsartanın partisyon katsayısını hesaplarken çalkalama metodu kullanıldı. Valsartanın fazları eşit miktarda n-oktanol ve su içeren kaba konularak çalkalanarak çözündürüldü. Her iki fazdan miktar tayini yapılarak oranlandı ve partisyon katsayısı 22.2 olarak belirlendi.

4.1.2. Valsartanın FT-IR Spektrumu

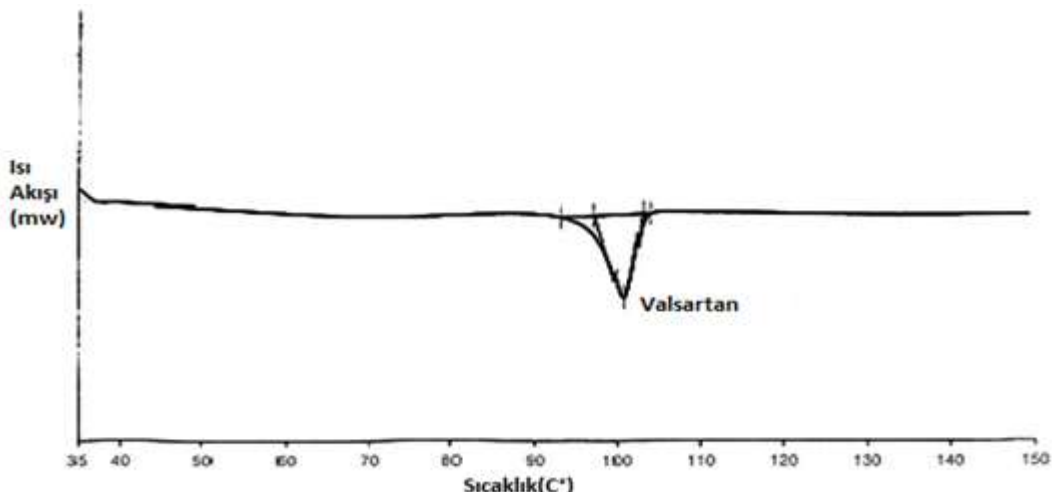
Yöntem 3.2.1.2'de belirtildiği gibi 100 mg Valsartan katı halde FT-IR spektrofotometrede 750-4000 cm⁻¹ arasında taranıp pik verdiği dalga boyları belirlendi (Şekil 2).



Şekil 2: Valsartanın FT-IR spektrumu

4.1.3. Valsartanın Erime Derecesi Tayini

Yöntem 3.2.1.3'te belirtildiği gibi valsartanın erime derecesi analizi yapılmış ve 104°C 'de verdiği keskin karakteristik pik bulunmuştur (Şekil 3).



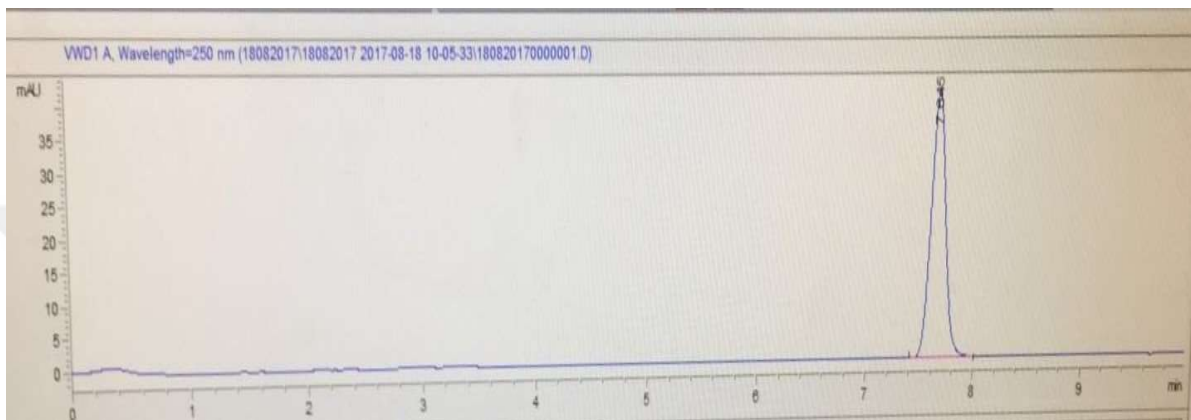
Şekil 3 : Valsartanın DSC Termogramı

4.2. Valsartan Miktar Tayin Yöntemi Geliştirilmesi

Yöntem 3.2.2'de belirtildiği gibi Valsartan miktar tayini yöntemi geliştirilmesi için HPLC cihazında, UV dedektörde, 247, 250, 265 nm dalga boylarında çalışıldı. Metot geliştirme çalışmalarında, Zorbax® XDB C18 (150 mm×4.6 mm, 5 µm) ve Zorbax® SB C18 (150 mm×4.6 mm, 3.5 µm) kolonlarında denemelerde bulunuldu. Mobil faz olarak asetonitril: fosfat tamponu (55:45) pH 2.7 (Trifluoro asetik asit ile) ve akış hızı 1 mL/dakika olarak çalışıldı. Bunların sonucu olarak HPLC miktar tayini yöntemi; Kolon: Zorbax SB C18 SN USEG021354 4.6×150 mm, 3.5 µm, Akış Hızı:1 mL/min, Çözücü: Mobil Faz, Mobil Faz: Fosfat Tamponu (pH: 2.7) / Asetonitril (55:45 v/v), Enjeksiyon Hacmi: 10 µL, Sıcaklık: 25°C, Dalga Boyu: 250 nm olarak belirlendi.

4.2.1. Valsartanın Miktar Tayini İçin Kalibrasyon Eğrisinin Çizimi

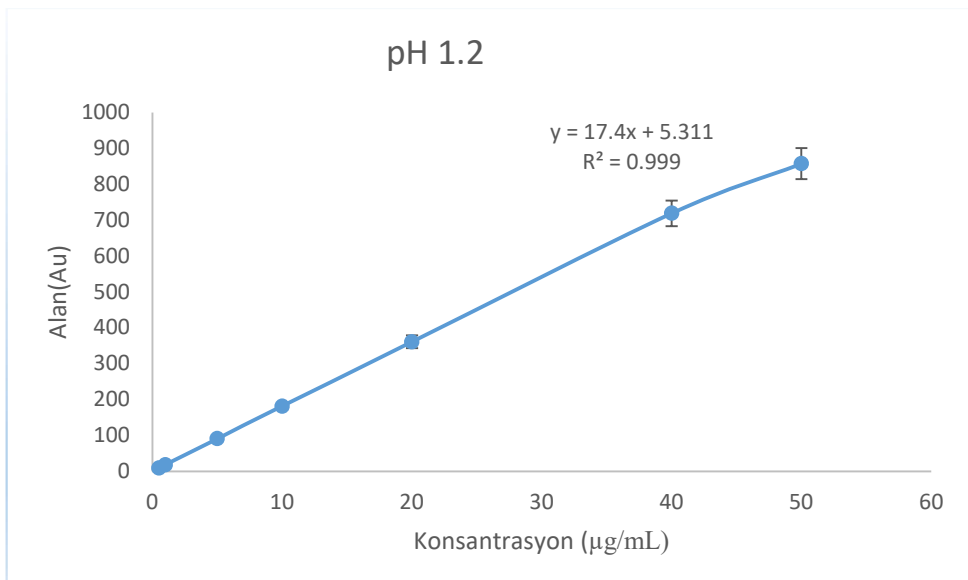
Valsartan alikonma zamanı 7.6 dakika olarak belirlenmiştir. Toplam analiz süresi 10 dakikadır. Boş yapılan mobil faz enjeksiyonunda Valsartanın alikonması gereken sürede herhangi bir pik gözlenmemiştir (Şekil 4).



Şekil 4 : pH 6.8 ortamında Valsartanın HPLC pik görüntüsü.

4.2.1.1. Valsartanın pH 1.2 Ortamında Kalibrasyon Eğrisi Çizimi

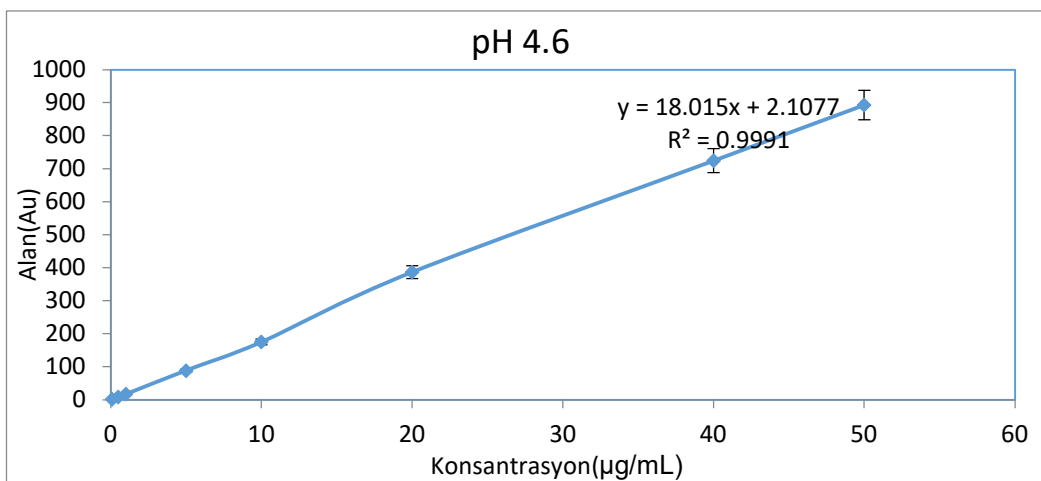
Yöntem 3.2.2.1.1'de belirtildiği gibi valsartan pH 1.2 ortamında çözünmediği için önce 1 mL metanolde çözündürülüp 10 mL'ye pH 1.2 ortamıyla tamamlandı. Mobil faz ile seyreltilerek 0.5, 1, 5, 10, 20, 40, 50 μ g/mL derişimlerinde 7 seri çözelti hazırlanarak HPLC'de analiz edildi (Şekil 5).



Şekil 5 : pH 1.2 Ortamında Kalibrasyon Eğrisi Çizimi

4.2.1.2. Valsartanın pH 4.6 Ortamında Kalibrasyon Eğrisinin Çizimi

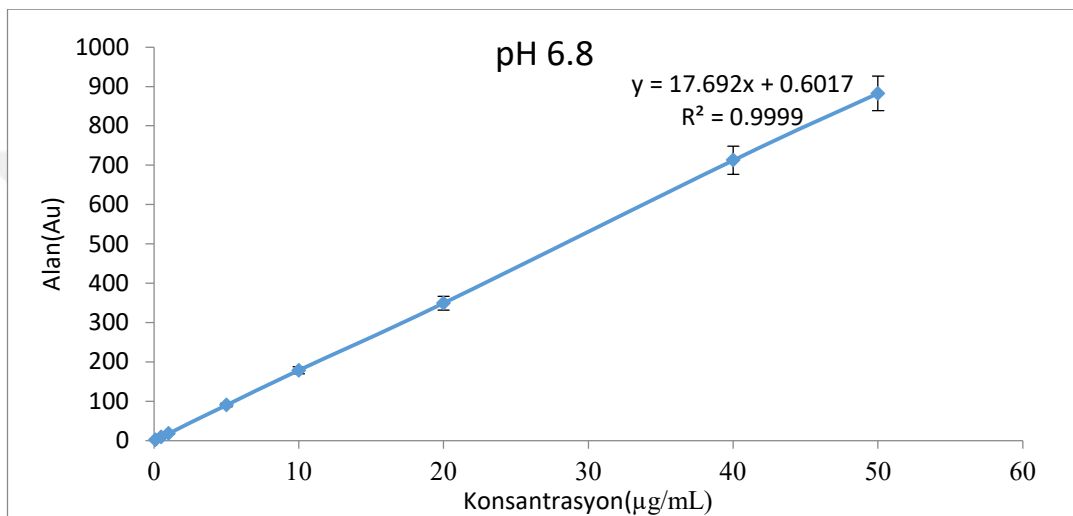
Yöntem 3.2.2.1.2'de belirtildiği gibi valsartanın pH 4.6 ortamı ile 100 µg/mL derişiminde stok çözeltisi hazırlandı. Mobil faz ile seyreltilerek 0.1, 0.5, 1, 5, 10, 20, 40, 50 µg/mL derişimlerinde 8 seri çözelti hazırlanarak HPLC'de analiz edildi (Şekil 6).



Şekil 6 : pH 4.6 Ortamında Kalibrasyon Eğrisi Çizimi.

4.2.1.3.Valsartanın pH 6.8 Ortamında Kalibrasyon Eğrisinin Çizimi

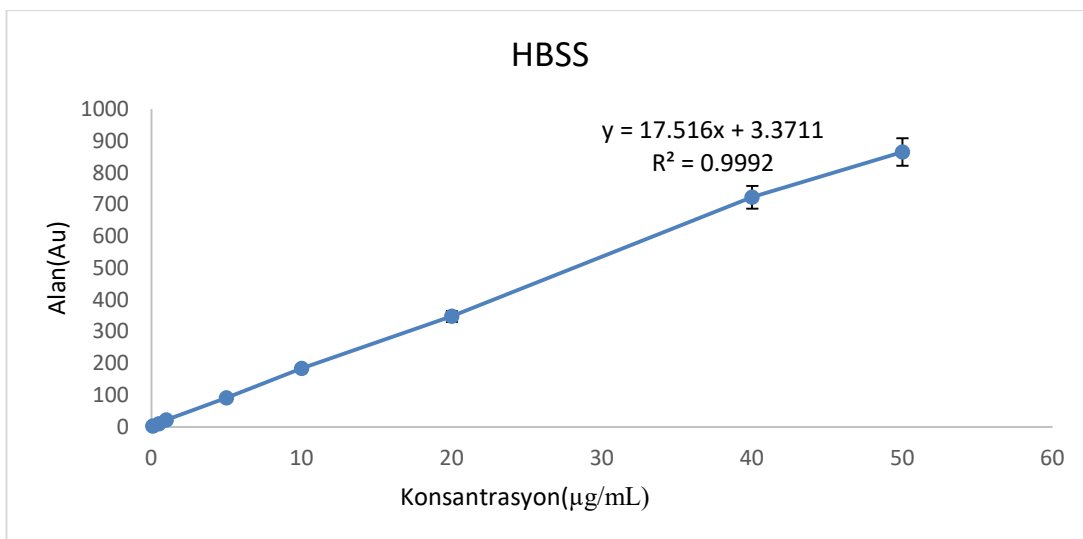
Yöntem 3.2.2.1.3'de belirtildiği gibi valsartanın pH 6.8 ortamı ile 100 µg/mL derişiminde stok çözeltisi hazırlandı. Mobil faz ile seyreltilerek 0.1, 0.5, 1, 5, 10, 20, 40, 50 µg/mL derişimlerinde 8 seri çözelti hazırlanarak HPLC'de analiz edildi (Şekil 7).



Şekil 7 : pH 6.8 Ortamında Kalibrasyon Eğrisi Çizimi.

4.2.1.4.Valsartanın HBSS Ortamında Kalibrasyon Eğrisinin Çizimi

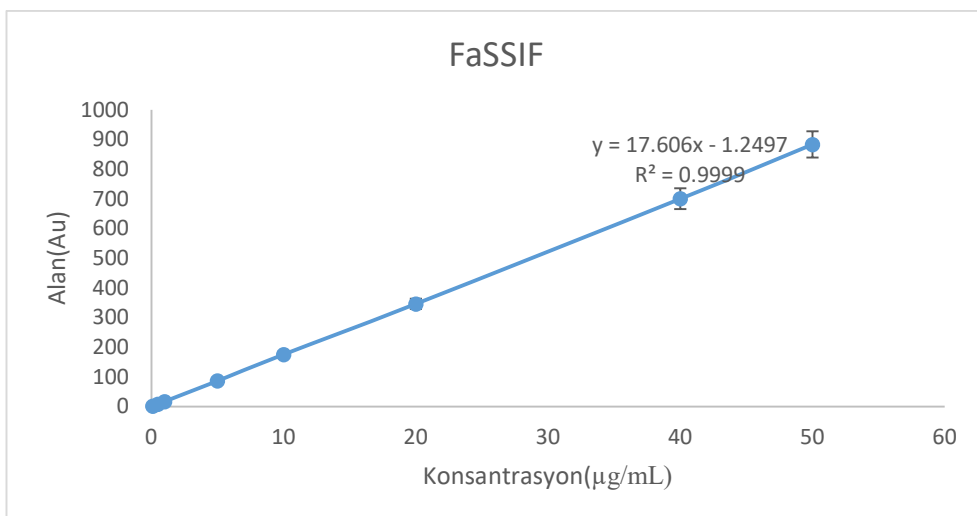
Yöntem 3.2.2.1.4'de belirtildiği gibi valsartanın HBSS ile 100 µg/mL derişiminde stok çözeltisi hazırlandı. Mobil faz ile seyreltilerek 0.1, 0.5, 1, 5, 10, 20, 40, 50 µg/mL derişimlerinde 8 seri çözelti hazırlanarak HPLC'de analiz edildi (Şekil 8).



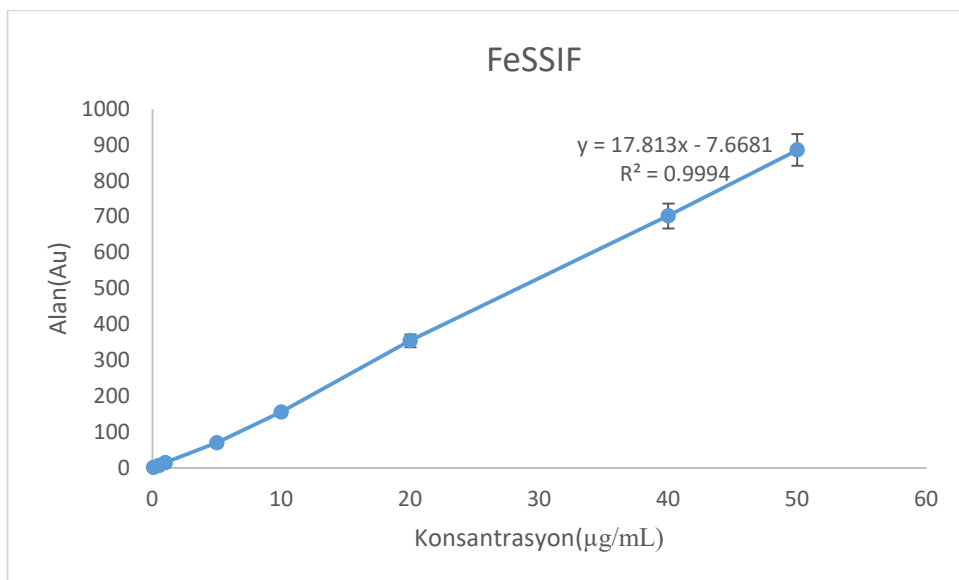
Şekil 8 : HBSS Ortamında Kalibrasyon Eğrisi Çizimi.

4.2.1.5.Açlık Tokluk Ortamlarında Kalibrasyon Eğrisi Çizimi

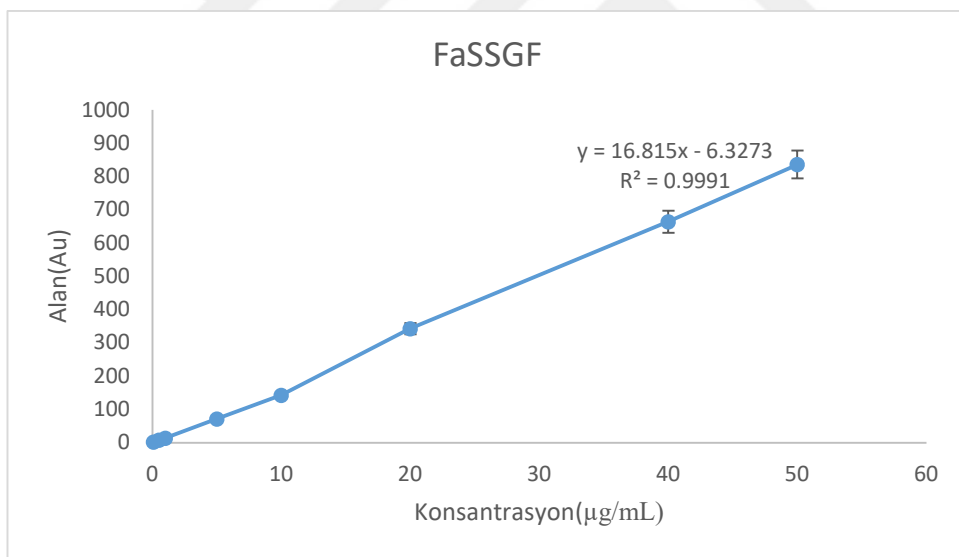
Yöntem 3.2.2.1.5’de belirtildiği gibi valsartanın FaSSIF, FeSSIF, FaSSGF ortamları ile 100 µg/mL derişiminde stok çözelti hazırlandı. Mobil faz ile seyreltilerek 0.1, 0.5, 1, 5, 10, 20, 40, 50 µg/mL derişimlerinde 8 seri çözelti hazırlanarak HPLC’de analiz edildi (Şekil 9, 10, 11).



Şekil 9 : FaSSIF Ortamında Kalibrasyon Eğrisi Çizimi.



Şekil 10 : FeSSIF Ortamında Kalibrasyon Eğrisi Çizimi.



Şekil 11 : FaSSGF Ortamında Kalibrasyon Eğrisi Çizimi.

Bu ortamlarda kısa bir validasyon yapılmıştır. Doğrusallık parametresi için r^2 değerleri FaSSIF, FeSSIF, FaSSGF için sırasıyla 0.9999, 0.9994, 0.9991 olarak bulunmuştur. Seçicilik parametresinde her üç ortam için çözücü pikinin altında herhangi bir pik

gözlemlenmedi. Çalışma aralığı parametresi için her üç ortamda 4 µg/mL (%10) ve 50 µg/mL (%125) derişimlerde 6 enjeksiyon verildiğinde etkin madde pik alanları arasındaki RSD %2'den küçük bulunmuştur. Her üç ortamda yüzde geri kazanımlar hesaplandı ve %98'den büyük bulundu. Kesinlik parametresi için valsartanın 40µg/mL'lik (%100) derişimdeki çözeltisinden 6 defa ard arda enjeksiyonlar yapılp, elde edilen alan değerlerine karşılık rölatif standart sapmaları %2'den küçük bulunmuştur.

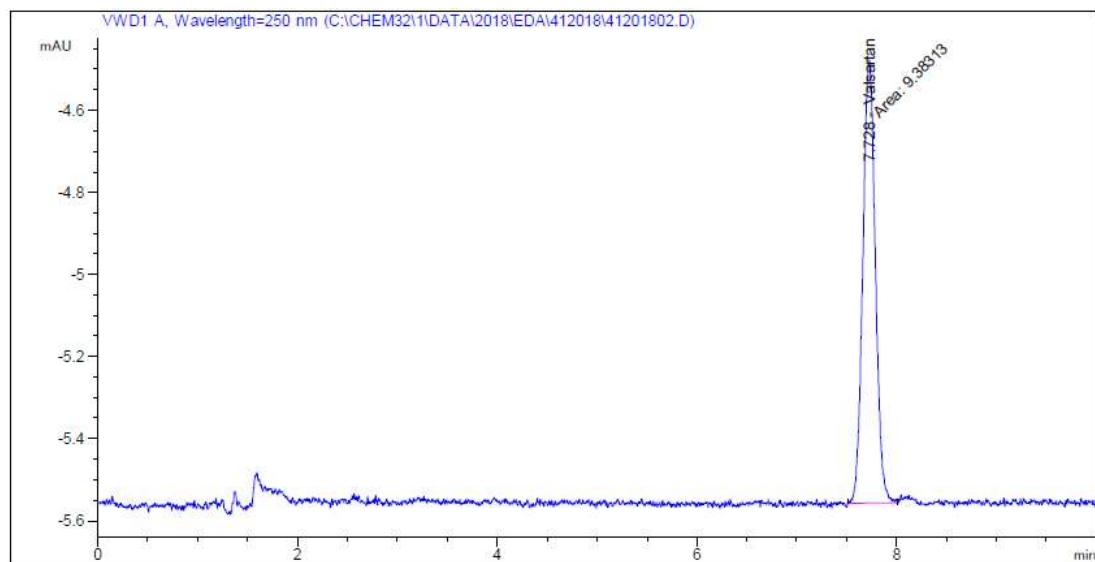
4.3. Analitik Yöntem Validasyonu

4.3.1. Doğrusallık

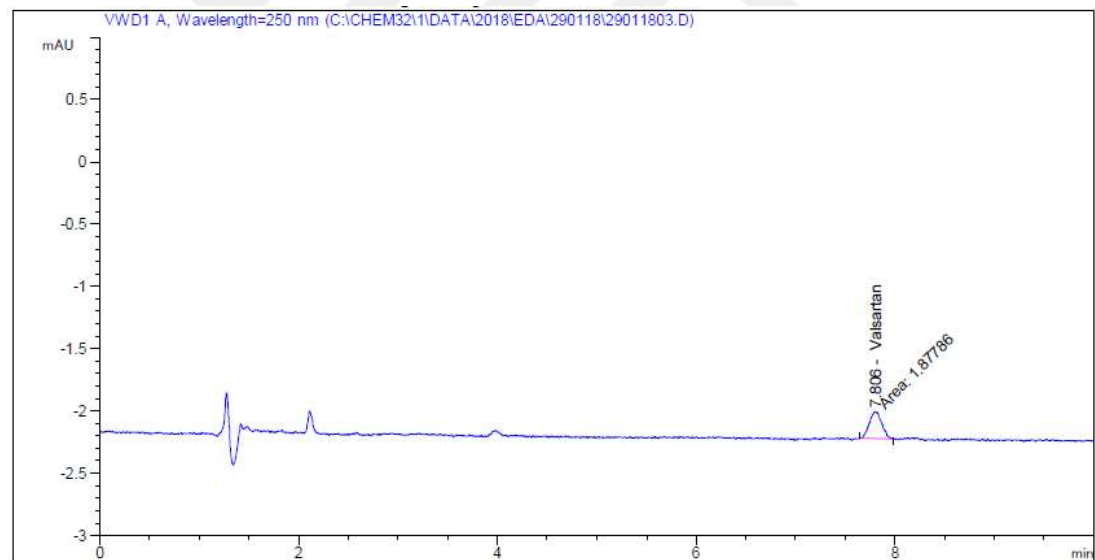
Yöntem 3.2.3.1'de belirtildiği gibi kullanılan analitik yöntemin doğrusallığını göstermek amacıyla pH 1.2, pH 4.6 pH 6.8 ve HBSS ortamlarında valsartanın 200 µg/mL stok çözeltisi hazırlandı. Bu stok çözeltisinden farklı oranlarda seyreltme yapılarak pH 1.2 için 7 farklı (0.5 ,1, 5, 10, 20, 40, 50 µg/mL), diğer ortamlar için 8 farklı konsantrasyonda (0.1, 0.5 ,1, 5, 10, 20, 40, 50 µg/mL) çözeltiler elde edildi. Bu çözeltilerden elde edilen her konsantrasyon ve karşılık gelen alan değerleri yardımcıla standart doğrunun denklemi bulundu r^2 değerleri sırasıyla pH 1.2 için 0.999, pH 4.6 için 0.9991, pH 6.8 için 0.9999 ve HBSS için 0.9992 olarak belirlendi.

4.3.2. Seçicilik

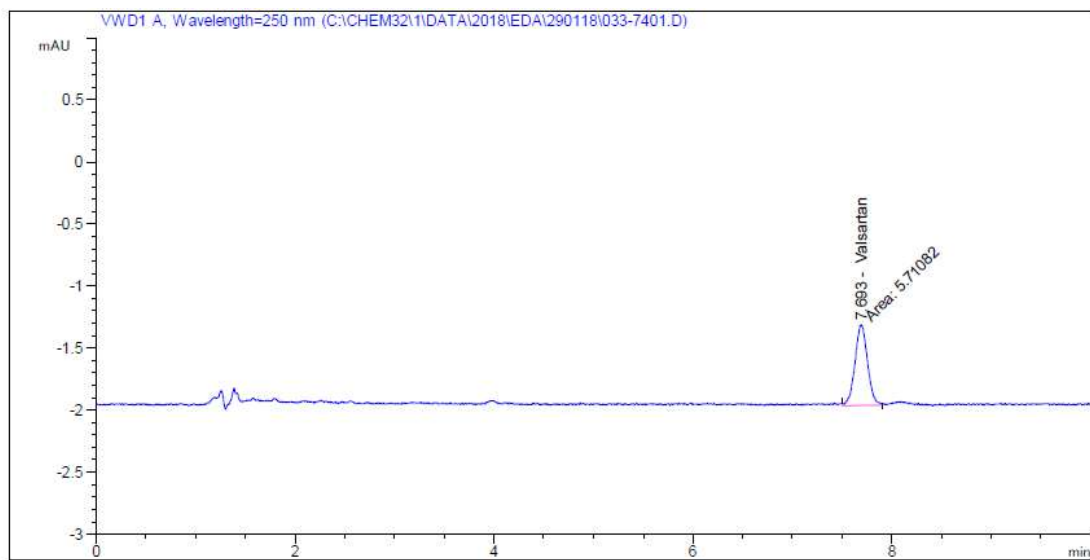
Yöntem 3.2.3.2'de belirtildiği gibi seçicilik, yöntemin sadece analiz edilmek istenen maddeye özgün olması ya da numune içerisinde safsızlıklar, yardımcı maddeler ya da bozunma ürünleri varlığında analiz edilmek istenen maddenin doğru bir şekilde saptanmasıdır. Bu amaçla Valsartan içeren numune ve içermeyen numune enjeksiyonu yapıldı. pH 1.2, pH 4.6, pH 6.8 ve HBSS çözücüde, etkin madde pikinin altında herhangi bir pik yoktur. Etkin madde piki pH 1.2'de 7.7, pH 4.6'da 7.8, pH 6.8'de 7.7 ve HBSS yaklaşık 7.6 dakikada gelmektedir (Şekil 12-15).



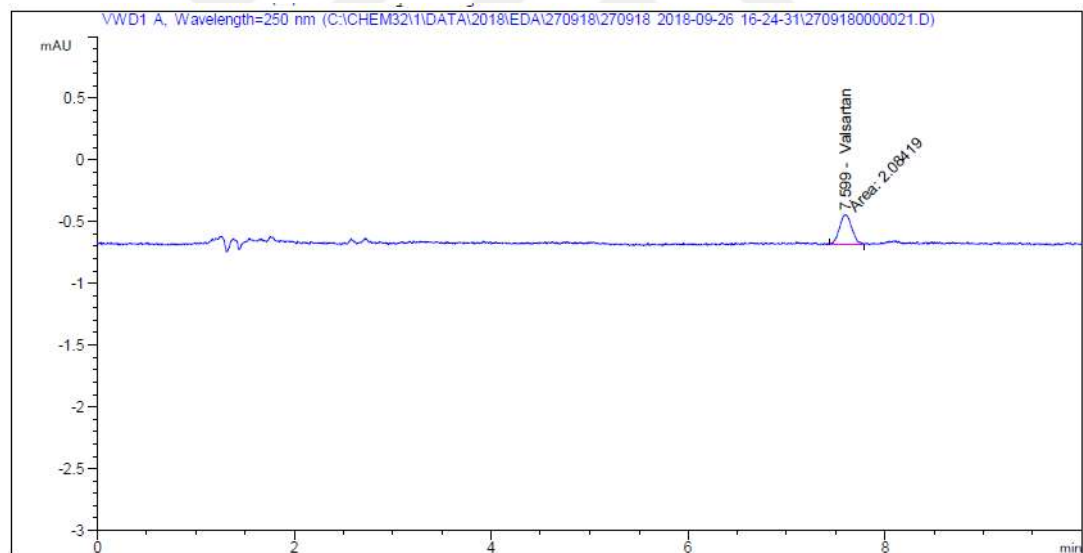
Şekil 12: Valsartanın pH 6.8'de HPLC kramotogramı.



Şekil 13: Valsartanın pH 4.6'da HPLC kramotogramı.



Şekil 14: Valsartanın pH 1.2'de HPLC kramotogramı.



Şekil 15: Valsartanın HBSS'de HPLC kramotogramı.

4.3.3. Çalışma Aralığı

Yöntem 3.2.3.3'de belirtildiği gibi çalışma aralığı için, $40 \mu\text{g/mL}$ derişimi %100 derişim olarak belirlenmiştir. pH 1.2, pH 4.6, pH 6.8, HBSS ortamlarında $4 \mu\text{g/mL}$

(%10) ve 50 µg/mL (%125) derişimlerde 6 enjeksiyon verildiğinde etkin madde pik alanları arasındaki RSD %2'den küçüktür (Tablo 2-5).

Tablo 2 : pH 1.2' de çalışma aralığı sonuçları

	Alan (Au)	Ortalama	Standart sapma	RSD (%)
4 µg/mL	21.8			
	21.8			
	21.8			
	21.7	21.78	0.041	0.654
	21.8			
	21.8			
50 µg/mL	302.6			
	302.4			
	302.4			
	302.6	302.6	0.219	0.143
	302.6			
	303			

Tablo 3 : pH 4.6'da çalışma aralığı sonuçları

	Alan (Au)	Ortalama	Standart Sapma	RSD (%)
4µg/mL	71.4			
	70.9			
	71.9			
	73.1	71.51	0.893	1.249
	70.6			
	71.2			
50µg/mL	893.5			
	893.2			
	893.7			
	894.6	893.88	0.556	0.062
	893.8			
	894.5			

Tablo 4 : pH 6.8'de çalışma aralığı sonuçları

	Alan (Au)	Ortalama	Standart Sapma	RSD (%)
4 µg/mL	118			
	120.6			
	119.4			
	118.2	119.63	13.048	0.654
	120.6			
50µg/mL	121			
	884.2			
	883.2			
	881.1	883.46	12.628	0.143
	884.5			
	883.5			
	884.3			

Tablo 5 : HBSS'de çalışma aralığı sonuçları

	Alan (Au)	Ortalama	Standart Sapma	RSD (%)
4µg/mL	69.8			
	69.8			
	69.7			
	69.6	70.066	0.903	1.288
	69.6			
50µg/mL	71.9			
	866.6			
	866			
	867.8			
	869	867.65	113.446	0.131
	868.1			
	868.4			

4.3.4.Doğruluk ve Geri Elde Edilebilirlik

Yöntem 3.2.3.4'de belirtildiği gibi pH 1.2, pH 4.6, pH 6.8, HBSS ortamlarında 3 farklı konsantrasyonda 0.5µg/mL (%1.25), 4 µg/mL (%10), 40 µg/mL (%100) hazırlanıp 6

enjeksiyon verilerek absorbans değerleri ölçüldü. Bu absorbans değerlerine karşılık gelen konsantrasyon miktarları bulundu ve yüzde geri kazanım hesaplandı (Tablo 6-9).

Tablo 6 : pH 1.2'de 3 farklı konsantrasyonda absorbans değerleri ve yüzde geri kazanım değerleri

	Alan (Au)	Ortalama	Standart Sapma	RSD (%)	Derişim ($\mu\text{g/mL}$)	Yüzde Geri Kazanım (%)
0.5$\mu\text{g/mL}$	2.7					
	2.8					
	2.7	2.733	0.052	1.89	0.492	98.4
	2.7					
	2.7					
	2.8					
4$\mu\text{g/mL}$	21.8					
	21.8					
	21.8	21.783	0.041	0.654	3.922	98.041
	21.7					
	21.8					
	21.8					
40$\mu\text{g/mL}$	238.9					
	241.5					
	238					
	240.8	239.55	2.182	0.911	39.512	98.778
	241.8					
	236.3					

Tablo 7 : pH 4.6'da 3 farklı konsantrasyonda absorbans değerleri ve yüzde geri kazanım değerleri

	Alan (Au)	Ortalama	Standart Sapma	RSD (%)	Derişim ($\mu\text{g/mL}$)	Yüzde Geri Kazanım (%)
	8.9					
	9.1					
0.5$\mu\text{g/mL}$	8.9	9	0.089	0.994	0.497	99.4
	9					
	9.1					
	9					
	71.9					
	72.3					
	72.7					
4 $\mu\text{g/mL}$	72.6	72.383	0.286	0.395	3.901	97.523
	72.3					
	72.5					
	713.8					
	714.8					
	710.3					
40 $\mu\text{g/mL}$	719.4	714.13	3.013	0.422	39.524	98.81
	713.9					
	712.6					

Tablo 8 : pH 6.8'de 2 farklı konsantrasyonda absorbans değerleri ve yüzde geri kazanım değerleri

	Alan (Au)	Ortalama	Standart Sapma	RSD (%)	Derişim ($\mu\text{g/mL}$)	Geri kazanım (%)
0.5$\mu\text{g/mL}$	9.4					
	9.4					
	9.5	9.433	0.052	0.055	0.52	104
	9.5					
	9.4					
4 $\mu\text{g/mL}$	9.4					
	71.2					
	72.8					
	71.5	71.63	0.0643	0.653	4.009	100.23
	71.3					
40 $\mu\text{g/mL}$	71					
	71.4					
	721.7					
	707.9					
	714.2					
40 $\mu\text{g/mL}$	721.5	715	5.731	0.801	40.379	100.949
	709.9					
	714.8					

Tablo 9 : HBSS'de 2 farklı konsantrasyonda absorbans değerleri ve yüzde geri kazanım değerleri

	Alan (Au)	Ortalama	Standart Sapma	RSD (%)	Derişim ($\mu\text{g/mL}$)	Yüzde Geri Kazanım (%)
0.5$\mu\text{g/mL}$	8.7					
	8.7					
	8.6	8.65	0.084	0.97	0.494	98.8
	8.5					
	8.7					
4 $\mu\text{g/mL}$	8.7					
	69.8					
	69.8					
	69.7	70.066	0.902	1.289	3.807	95.192
	69.6					
40 $\mu\text{g/mL}$	69.6					
	71.9					
	690.8					
	686					
	684.6	687.016	2.683	0.391	39.03	97.57
	683.9					
	689.2					
	687.6					

4.3.5.Kesinlik

Yöntem 3.2.3.5'de belirtildiği gibi pH 1.2, pH 4.6, pH 6.8 ve HBSS ortamlarında Valsartanın 40 $\mu\text{g/mL}$ 'lik (%100) derişimdeki çözeltisinden 6 defa ard arda enjeksiyonlar yapılip, elde edilen alan değerlerine karşılık gelen derişimlerin ortalaması, standart sapma ve rölatif standart sapması hesaplandı (Güven aralığı %15 olarak değerlendirildi.) (Tablo 10-13).

Tablo 10 : pH 1.2'de valsartanın 40 µg/mL'lik (%100) derişimdeki kesinlik bulguları.

	Alan (Au)	Ortalama	Standart sapma	RSD (%)	Derişim (µg/mL)
40µg/mL	246.2				
	246.1				
	245.4	245.91	0.278	0.113	40.55
	245.9				
	246				
	245.9				

Tablo 11 : pH 4.6'da valsartanın 40 µg/mL'lik (%100) derişimdeki kesinlik bulguları.

	Alan (Au)	Ortalama	Standart sapma	RSD (%)	Derişim (µg/mL)
40µg/mL	723.6				
	725.4				
	724.1				
	724.4	724.5667	0.665	0.092	40.07
	724.8				
	725.1				

Tablo 12 : pH 6.8'de valsartanın 40 µg/mL'lik (%100) derişimdeki kesinlik bulguları.

	Alan (Au)	Ortalama	Standart sapma	RSD (%)	Derişim (µg/mL)
40µg/mL	713.5				
	713.2				
	712.5				
	713.3	713.15	0.339	0.047	40.27
	713.2				
	713.2				

Tablo 13 : HBSS'de valsartanın 40 µg/mL'lik (%100) derişimdeki kesinlik bulguları.

	Alan (Au)	Ortalama	Standart Sapma	RSD (%)	Derişim (µg/mL)
40µg/mL	685.2				
	686				
	684.3				
	683.4	684.7	0.93	0.14	38.89
	684.1				
	685.2				

4.3.6.Çözelti Stabilitesi

Yöntem 3.2.3.6'de belirtildiği gibi pH 1.2, pH 4.6, pH 6.8 ve HBSS ortamlarında 4µg/mL, 40µg/mL ile standart örnekler hazırlandı ve oda sıcaklığında cihaza enjekte edilip 90 dakika, 10 saat, 14 saat, 18 saatte enjeksiyonlar tekrarlandı. Bulunan konsantrasyonlar ile çözeltinin ne kadar stabil olduğu ortalama, standart sapma ve relativ standart sapma değerleriyle değerlendirildi (Tablo 14-21).

Tablo 14 : pH 1.2'de 4 µg/mL derişimde çözelti stabilité bulguları

4µg/mL	Alan (Au)	Derişim (µg/mL)	Ortalama	Standart Sapma	RSD (%)
90 dakika	21.8	3.924			
	21.9	3.940	3.935	0.009	0.239
	21.9	3.941			
10 saat	22.1	3.973			
	22.1	3.973	3.984	0.019	0.474
	22.3	4.006			
14 saat	22	3.957			
	22.2	3.989	3.989	0.033	0.819
	22.4	4.022			
18 saat	22.1	3.973			
	22.1	3.973	3.984	0.019	0.474
	22.3	4.006			

Tablo 15 : pH 1.2'de 40 µg/mL derişimde çözelti stabilité bulguları

40 µg/mL	Alan (Au)	Derişim (µg/mL)	Ortalama	Standart sapma	RSD (%)
90 dakika	239.2	39.454	39.454	0.033	0.083
	239	39.421			
	239.4	39.487			
10 saat	242	39.911	39.966	0.049	0.125
	242.6	40.01			
	242.4	39.977			
14 saat	242.7	40.026	40.053	0.025	0.062
	243	40.075			
	242.9	40.059			
18 saat	243.5	40.157	40.140	0.016	0.041
	243.3	40.124			
	243.4	40.141			

Tablo 16 : pH 4.6'da 4 µg/mL derişimde çözelti stabilité bulguları

4µg/mL	Alan (Au)	Derişim (µg/mL)	Ortalama	Standart Sapma	RSD (%)
90 dakika	70.9	3.819	3.819	0.005	0.145
	71	3.824			
	70.8	3.813			
10 saat	71.8	3.868	3.872	0.003	0.083
	71.9	3.874			
	71.9	3.874			
14 saat	72	3.879	3.889	0.009	0.218
	72.2	3.891			
	72.3	3.896			
18 saat	72.3	3.896	3.894	0.003	0.083
	72.2	3.891			
	72.3	3.896			

Tablo 17 : pH 4.6'da 40 µg/mL derişimde çözelti stabilité bulguları

40µg/mL	Alan (Au)	Derişim (µg/mL)	Ortalama	Standart Sapma	RSD (%)
90 dakika	710.6	39.328	39.379	0.046	0.117
	712.2	39.418			
	711.8	39.394			
10 saat	720.2	39.861	39.840	0.019	0.049
	719.5	39.822			
	719.8	39.837			
14 saat	722.9	40.011	40.003	0.018	0.045
	722.4	39.983			
	723	40.016			
18 saat	723	40.016	40.014	0.014	0.035
	722.7	39.999			
	723.2	40.027			

Tablo 18 : pH 6.8'de 4 µg/mL derişimde çözelti stabilitesi bulguları

4 µg/mL	Alan (Au)	Derişim (µg/mL)	Ortalama	Standart sapma	RSD (%)
90 dakika	72.7	4.075	4.073	0.003	0.080
	72.7	4.075			
	72.6	4.069			
10 saat	73.8	4.137	4.129	0.006	0.158
	73.6	4.126			
	73.6	4.126			
14 saat	73.8	4.137	4.135	0.003	0.079
	73.7	4.132			
	73.8	4.137			
18 saat	73.8	4.137	4.147	0.009	0.208
	74	4.149			
	74.1	4.154			

Tablo 19 : pH 6.8'de 40 µg/mL derişimde çözelti stabilitesi bulguları

40 µg/mL	Alan (Au)	Derişim (µg/mL)	Ortalama	Standart sapma	RSD (%)
90 dakika	699.4	39.498	39.487	0.011	0.029
	699	39.475			
	699.2	39.487			
10 saat	711.8	40.199	40.176	0.021	0.051
	711.3	40.171			
	711.1	40.159			
14 saat	715.1	40.385	40.370	0.014	0.035
	714.8	40.368			
	714.6	40.357			
18 saat	717.4	40.515	40.500	0.0173	0.043
	716.8	40.481			
	717.2	40.504			

Tablo 20 : HBSS'de 4 µg/mL derişimde çözelti stabilitesi bulguları

4µg/mL	Alan (Au)	Derişim (µg/mL)	Ortalama	Standart Sapma	RSD (%)
90 dakika	70.9	3.855	3.855	0.006	0.148
	71	3.861			
	70.8	3.849			
10 saat	71.8	3.907	3.910	0.003	0.084
	71.9	3.912			
	71.9	3.912			
14 saat	72	3.918	3.927	0.009	0.222
	72.2	3.929			
	72.3	3.935			
18 saat	72.3	3.935	3.933	0.003	0.0838
	72.2	3.929			
	72.3	3.935			

Tablo 21 : HBSS'de 40 µg/mL derişimde çözelti stabilitesi bulguları

40µg/mL	Alan (Au)	Derişim (µg/mL)	Ortalama	Standart sapma	RSD (%)
90 dakika	710.6	40.376	40.429	0.047	0.117
	712.2	40.467			
	711.8	40.445			
10 saat	720.2	40.924	40.903	0.020	0.049
	719.5	40.884			
	719.8	40.901			
14 saat	722.9	41.078	41.071	0.018	0.045
	722.4	41.049			
	723	41.084			
18 saat	723	41.084	41.082	0.014	0.035
	722.7	41.067			
	723.2	41.095			

4.3.7.Duyarlılık ve Sapma Sınırı

Yöntem 3.2.3.7'de belirtildiği gibi, yöntemin saptayabildiği en küçük derişime sapma derişimi (Limit of Detection, LOD) denir. Bu derişim gürültü içerebildiğinden çok güvenli olmayabilir. Bu nedenle daha güvenilir olan derişime duyarlılık veya analiz sınırı (Limit of Quantification, LOQ) denir. Bunlar arasında istenilen doğruluğu sağlayan derişim her dört ortam için (pH 1.2, pH 4.6, pH 6.8 ve HBSS) saptandı ve analitik yöntemin kantitatif tayin sınırı (duyarlılık sınırı) bulundu. Kullanılan yöntemde Valsartanın 0.1 µg/mL derişimine kadar analiz edilmiştir. Dört ortam için bulunan LOD ve LOQ değerleri Tablo 22'de verilmiştir.

Tablo 22 : pH 1.2, pH 4.6, pH 6.8 ve HBSS ortamları için LOD ve LOQ değerleri

	LOD	LOQ
pH 1.2	0.07	0.21
pH 4.6	0.027	0.081
pH 6.8	0.031	0.103
HBSS	0.025	0.074

4.4. Formülasyon Çalışmaları

4.4.1. Formülasyonunda Yer Alabilecek Bileşenlerin Fizikokimyasal Özelliklerinin İncelenmesi

Yöntem 3.2.4.1'de belirtildiği gibi lipid bazlı sistemlerin (SEDDS, miseller çözeltiler, S-SEDDS) geliştirilmesinde kullanılması planlanan bileşenlerin fizikokimyasal özellikleri incelenmiş ve analiz sertifikalarına uygun oldukları tespit edilmiştir (Tablo 23).

Tablo 23 : Kullanılması planlanan bileşenlerin incelenen özellikleri

	Refraktif İndis	Viskozite (mPa.s)	Dansite (g/mL)
Oleik Asit	1.462	4.85	0.86
Hint Yağı	1.472	5.85	0.96
İzopropil Miristat	1.436	4.7	0.83
Soya Yağı	1.475	5.1	0.90
PEG 600	1.468	6.2	1.20
Etanol	1.361	0.99	0.78
Transcutol HP	1.426	3.85	0.99
İzopropil Alkol	1.376	2.86	0.77
Avicel pH 101	1.650	-	0.52
Aerosil	1.458	-	2.1
HPMC	1.511	4.2	1.24
Capyrol 90	1.412	19	0.94
Labrafil M 1944 CS	1.425	74	0.95
Span 80	1.478	1268	0.97
Labrafil M 2125 CS	1.434	75	0.94
Plurol Oleique CC497	1.451	2890	1.1
Tween 20	1.462	3.4	1.1
Tween 80	1.471	420	1.05
Cremophor EL	1.469	-	1.03

4.4.2. Valsartanın Geliştirilecek Olan Lipid Bazlı Formülasyon Terkibinde Yer Alacak Bileşenlerinde Çözünürlüğünün Saptanması

Yöntem 3.2.4.2'de belirtildiği gibi valsartanın çözünürlüğü geliştirilecek olan SEDD, S-SEDD ve miseller sistemlerinin terkibinde yer alacak bileşenlerde HPLC ile miktar

tayini yapılarak tespit edilmiştir ve en çok çözündüğü yağ tipleri, YEM ve Y-YEM'ler belirlenmiştir. Bu çalışmada 2mL YEM, yağ ve YYEM içerisinde aşırı doymuş dozda Valsartan ilave edildi. 200 rpm'de oda koşullarında 72 saat boyunca (çözünmesi devam edenler için 120 saat) karanlık ortamda çalkalayıcıya bırakıldı. 24.,48., 72. saat sonunda (çözünmesi devam edenler için 96. ve 120. saatlerde) karışım 25°C de 3000 rpm de 15 dakika santrifüj edildi. Üstte kalan berrak çözeltiler alındı ve gerekli seyreltmeler yapılarak HPLC cihazında miktar tayinleri gerçekleştirildi (n=3). Elde edilen sonuçlara göre her bir bileşendeki çözünen valsartan miktarı Tablo 24'de verilmiştir.

Tablo 24 : Valsartanın farklı bileşenlerdeki çözünürlük miktarları

Kullanılan Bileşenler	Valsartan
	Miktari(mg/mL)
Oleik Asit	3.2±0.023
Hint Yağı	5.26±0.12
Soya Yağı	2.4±0.01
İzopropil Miristat	3.5±0.57
Capyrol 90	19.79±0.89
Labrafil M 1944 CS	19.7±0.56
Span 80	9.8±1.1
Labrafil M 2125 CS	21.65±1.35
Plurololeique CC497	8.9±0.65
Tween 20	32.45±0.87
Tween 80	24.5±3.4
Cremophor EL	32.34±1.98
PEG 600	93.43±5.2
Etanol	142.2±3.7
Transcutol HP	168.9±6.4
İzopropil alkol	174.7±4.5
Distile su	0.092±0.001
pH 1.2	0.038±0.004
pH 6.8	3.87±0.056

Tablo 24'e göre valsartanın en çok çözündüğü bileşenler seçilerek formülasyon denemelerine başlanmıştır.

4.4.3.Lipid Bazlı Formülasyonların Üçgen Faz Diyagramları

SEDD sistemlerin terkibinde yer alacak ve valsartanı en çok çözen bileşenler çözünürlük çalışması sonucu belirlenmiştir. Yöntem 3.2.4.3'de belirtildiği gibi bu maddelerle formülasyon denemeleri yapılarak Mikroemülsiyon programı ile üçgen faz diyagramları çizildi (Ege et al., 2004). Bu diyagramların çizilmesinde titrasyon yöntemi kullanıldı. Yapılan çözünürlük çalışmasına göre seçilen yağı, YEM ve YYEM ile uygun oranlarda SEDD sistemler hazırlanarak distile su ile titrasyon yapılmıştır. Bu maddeler ve oranlar Tablo 25-34'de belirtilmiştir.

Tablo 25 : Yapılan çözünürlük çalışmasına göre seçilen yardımcı maddeler ile formülasyon çalışmaları

Formül Kodu	YEM/YYEM Oranı	Yağ (IPM)	YEM/YYEM (Capyrol90-Tween20 /PEG 600)	Titrasyonda Harcanan Su miktarı (mL)	Alan
F1A	1:0.5	0.25	9.75	1.28	
		0.5	9.5	1.20	
		1.0	9.0	1.16	54.51
		1.5	8.5	0.67	
		2.0	8.0	0.49	
F1B	1:1	0.25	9.75	1.66	
		0.5	9.5	1.45	
		1.0	9.0	0.73	85.46
		1.5	8.5	0.11	
		2.0	8.0	0.01	
F1C	1:1.5	0.25	9.75	1.76	
		0.5	9.5	0.97	
		1.0	9.0	0.22	52.9
		1.5	8.5	0.01	
		2.0	8.0	0.00	

Tablo 26 : Yapılan çözünürlük çalışmasına göre seçilen yardımcı maddeler ile formülasyon çalışmaları

Formül Kodu	YEM/YYEM Oranı	Yağ (IPM)	YEM/YYEM (Capyrol 90-Tween20/IPA)	Titrasyonda Harcanan Su miktarı (mL)	Alan
F2A	1:1	0.25	9.8	8.58	
		0.50	9.5	7.51	
		1.00	9.0	5.54	154.34
		1.50	8.5	3.90	
		2.00	8.0	2.40	
F2B	1:1.5	0.25	9.75	9.90	
		0.50	9.5	9.34	
		1.00	9.0	6.52	119.14
		1.50	8.5	4.64	
		2.00	8.0	3.53	
F2C	1:2	0.25	9.75	12.54	
		0.50	9.5	10.20	
		1.00	9.0	7.06	128.43
		1.50	8.5	5.10	
		2.00	8.0	3.70	

Tablo 27 : Yapılan çözünürlük çalışmasına göre seçilen yardımcı maddeler ile formülasyon çalışmaları

Formül Kodu	YEM/YYEM Oranı	Yağ (IPM)	YEM/YYEM (Labrafil M 2125-Tween 20/PEG 600)	Titrasyonda Harcanan Su miktarı (mL)	Alan
F3A	1:0.5	0.25	9.75	0.28	
		0.50	9.50	0.26	
		1.00	9.00	0.36	26.03
		1.50	8.50	0.38	
		2.00	8.00	0.12	
F3B	1:1	0.25	9.75	0.53	
		0.50	9.50	0.43	
		1.00	9.00	0.45	33.76
		1.50	8.50	0.62	
		2.00	8.00	0.22	
F3C	1:1.5	0.25	9.75	0.38	
		0.50	9.50	0.38	
		1.00	9.00	0.42	19.12
		1.50	8.50	0.22	
		2.00	8.00	0.18	

Tablo 28 : Yapılan çözünürlük çalışmasına göre seçilen yardımcı maddeler ile formülasyon çalışmaları

Formül Kodu	YEM/YYEM Oranı	Yağ (IPM)	YEM/YYEM (Labrafil M 2125- Tween 20/ IPA)	Titrasyonda Harcanan Su miktari (mL)	Alan
F4A	1:1	0.25	9.75	0.95	
		0.50	9.50	0.87	
		1.00	9.00	0.94	8.43
		1.50	8.50	0.82	
		2.00	8.00	0.80	
F4B	1:1.5	0.25	9.75	1.02	
		0.50	9.50	1.08	
		1.00	9.00	1.22	15.59
		1.50	8.50	1.22	
		2.00	8.00	1.12	
F4C	1:2	0.25	9.75	1.02	
		0.50	9.50	1.11	
		1.00	9.00	1.32	29.44
		1.50	8.50	1.40	
		2.00	8.00	1.43	

Tablo 29 : Yapılan çözünürlük çalışmasına göre seçilen yardımcı maddeler ile formülasyon çalışmaları

Formül Kodu	YEM/YYEM Oranı	Yağ (IPM)	YEM/YYEM (Capyrol 90-Tween20 /NMP)	Titrasyonda Harcanan Su miktarı (mL)	Alan
F5A	1:0.5	0.25	9.75	2.21	
		0.50	9.50	1.80	
		1.00	9.00	1.36	22.82
		1.50	8.50	1.26	
		2.00	8.00	1.24	
		0.25	9.75	4.20	
F5B	1:1	0.50	9.50	3.10	
		1.00	9.00	1.90	127.42
		1.50	8.50	1.18	
		2.00	8.00	0.64	
F5C	1:1.5	0.25	9.75	3.90	
		0.50	9.50	2.79	
		1.00	9.00	1.40	117.09
		1.50	8.50	0.74	
		2.00	8.00	0.43	

Tablo 30 : Yapılan çözünürlük çalışmasına göre seçilen yardımcı maddeler ile formülasyon çalışmaları

Formül Kodu	YEM/YYEM Oranı	Yağ (IPM)	YEM/YYEM (Labrafil M 2125- Tween 20/NMP)	Titrasyonda Harcanan Su miktarı (mL)	Alan
F6A	1:0.5	0.25	9.75	0.13	
		0.50	9.50	0.19	
		1.00	9.00	0.10	10.77
		1.50	8.50	0.04	
		2.00	8.00	0.02	
F6B	1:1	0.25	9.75	0.30	
		0.50	9.50	0.24	
		1.00	9.00	0.18	14.28
		1.50	8.50	0.12	
		2.00	8.00	0.07	
F6C	1:1.5	0.25	9.75	0.44	
		0.50	9.50	0.39	
		1.00	9.00	0.26	22.97
		1.50	8.50	0.14	
		2.00	8.00	0.08	

Tablo 31 : Yapılan çözünürlük çalışmasına göre seçilen yardımcı maddeler ile formülasyon çalışmaları

Formül Kodu	YEM/YYEM Oranı	Yağ (Oleik Asit)	YEM/YYEM (Capyrol 90-Tween20/ NMP)	Titrasyonda Harcanan Su miktarı (mL)	Alan
F7A	1:0.5	0.25	9.75	8.34	
		0.50	9.50	2.22	
		1.00	9.00	1.40	61.67
		1.50	8.50	1.32	
		2.00	8.00	1.20	
F7B	1:1	0.25	9.75	8.51	
		0.50	9.50	5.92	
		1.00	9.00	2.42	126.8
		1.50	8.50	1.71	
		2.00	8.00	1.39	
F7C	1:1.5	0.25	9.75	5.96	
		0.50	9.50	3.92	
		1.00	9.00	2.53	88.18
		1.50	8.50	1.90	
		2.00	8.00	1.60	

Tablo 32 : Yapılan çözünürlük çalışmasına göre seçilen yardımcı maddeler ile formülasyon çalışmaları

Formül Kodu	YEM/ YYEM Oranı	Yağ (IPM)	YEM/YYEM (Capyrol 90-Tween20/ Transcutol HP)	Titrasyonda Harcanan Su miktari (mL)	Alan
F8A	1:0.5	0.25	9.75	50.00	
		0.50	9.50	50.00	
		1.00	9.00	25.00	227.82
		1.25	8.75	11.80	
		1.50	8.50	7.50	
		2.00	8.00	4.30	
		0.25	9.75	50.00	
F8B	1:1	0.50	9.50	50.00	
		0.75	9.25	19.10	
		1.00	9.00	9.40	295.63
		1.50	8.50	2.50	
		2.00	8.00	1.60	
F8C	1:1.5	0.25	9.75	50.00	
		0.50	9.50	50.00	
		0.60	9.40	22.50	
		0.75	9.25	3.60	208.39
		1.00	9.00	2.90	
		1.50	8.50	2.60	
		2.00	8.00	1.50	

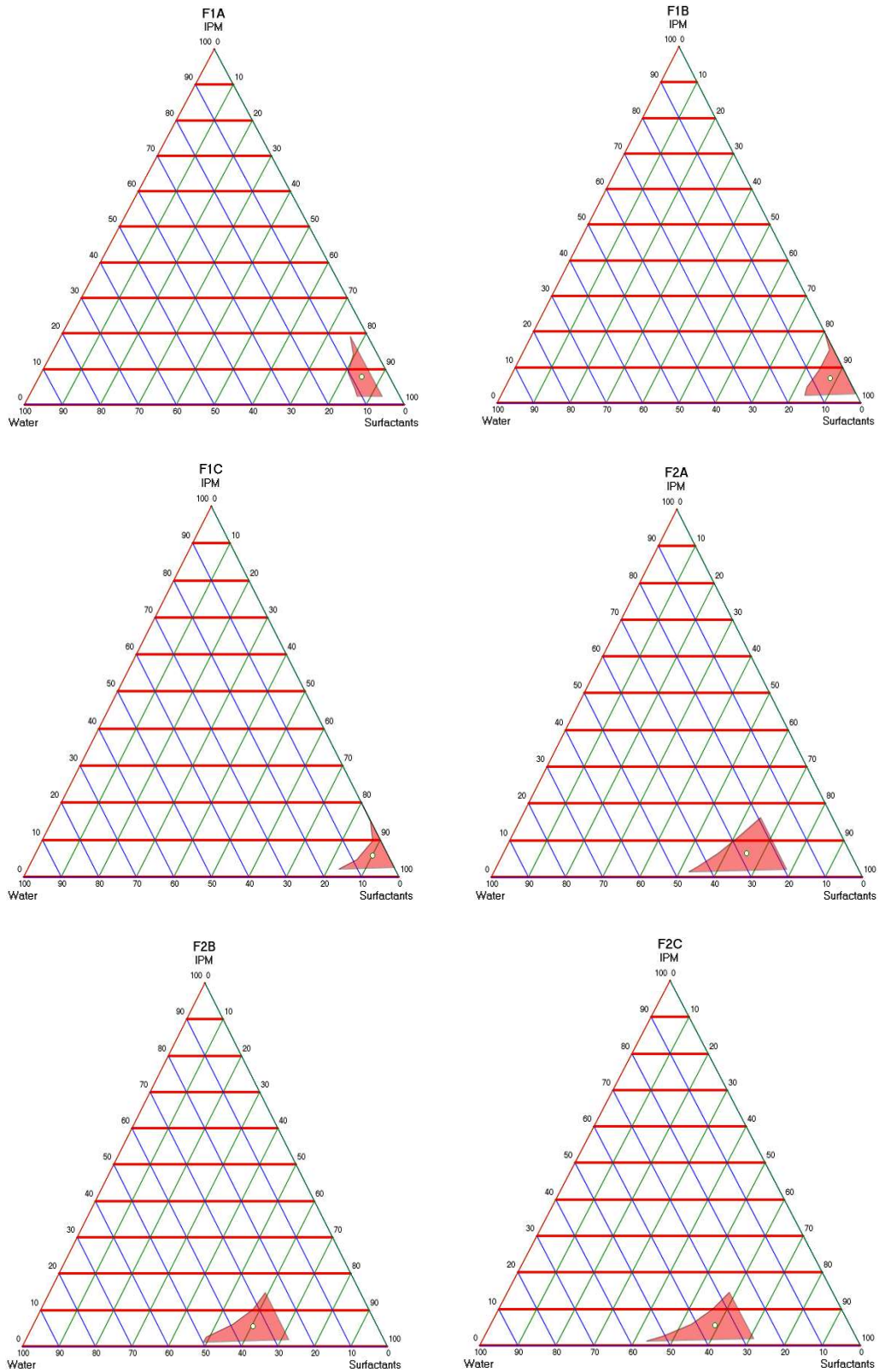
Tablo 33 : Yapılan çözünürlük çalışmasına göre seçilen yardımcı maddeler ile formülasyon çalışmaları

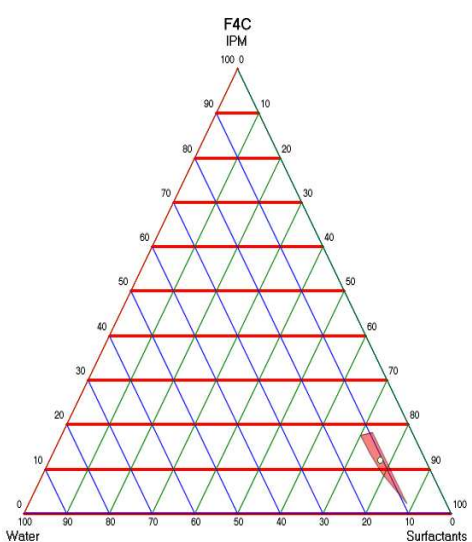
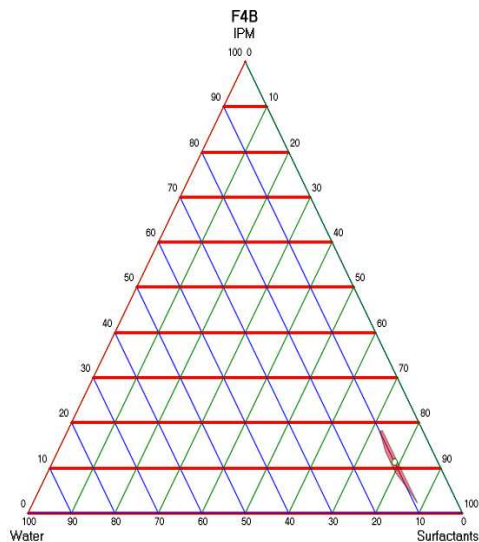
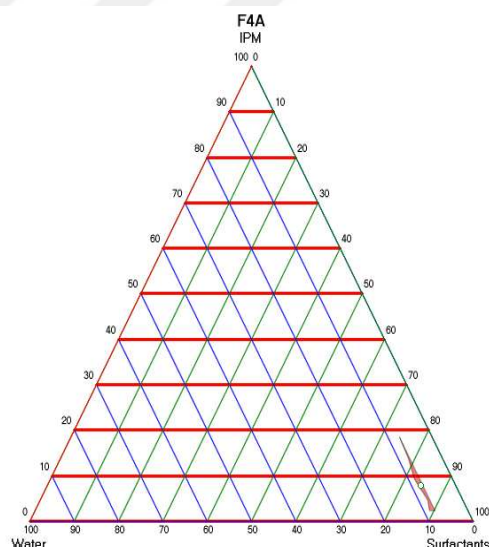
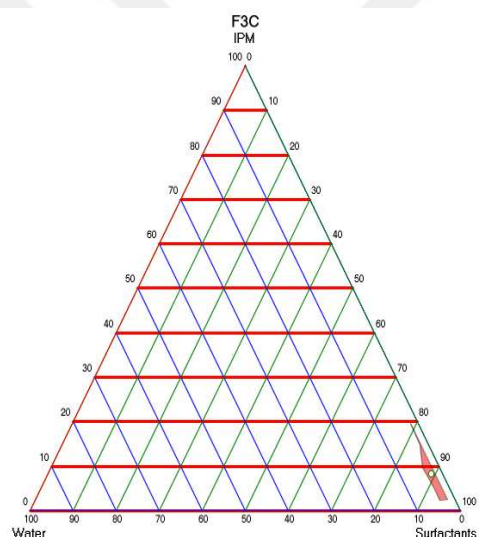
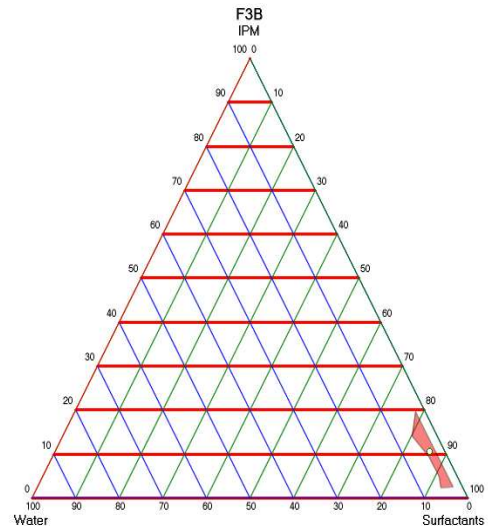
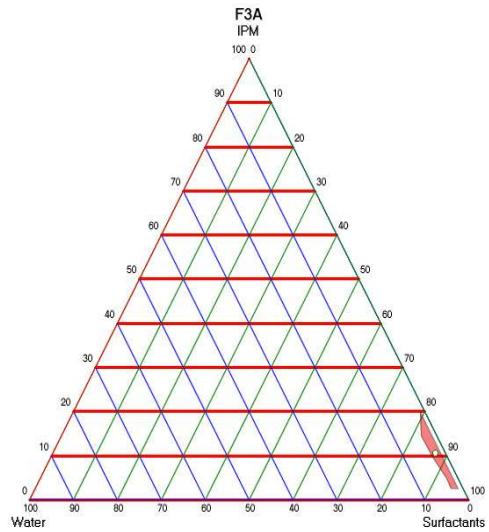
Formül Kodu	YEM/YYEM Oranı	Yağ (Oleik Asit)	YEM/YYEM (Capyrol 90-Tween 20/Transcutol HP)	Titrasyonda Harcanan Su miktarı (mL)	Alan
F9A	1:0.5	0.25	9.75	50.00	
		0.50	9.50	23.30	
		1.00	9.00	9.50	134.28
		1.50	8.50	6.80	
		2.00	8.00	5.30	
F9B	1:1	0.25	9.75	50.00	
		0.50	9.50	22.60	
		1.00	9.00	12.10	76.27
		1.50	8.50	8.20	
		2.00	8.00	8.90	
F9C	1:1.5	0.25	9.75	50.00	
		0.50	9.50	27.50	
		1.00	9.00	11.90	78.55
		1.50	8.50	8.30	
		2.00	8.00	9.00	

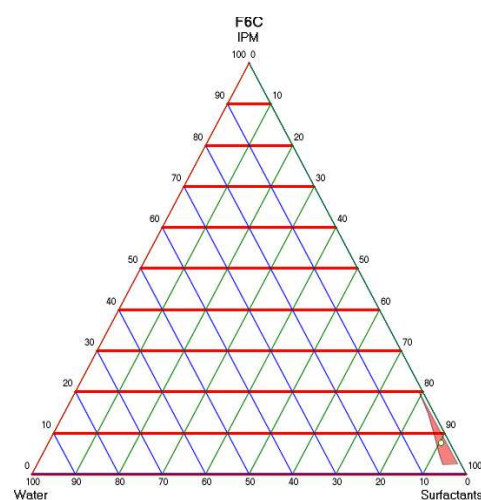
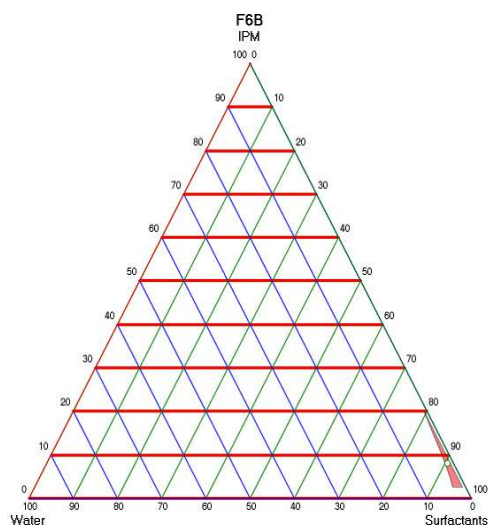
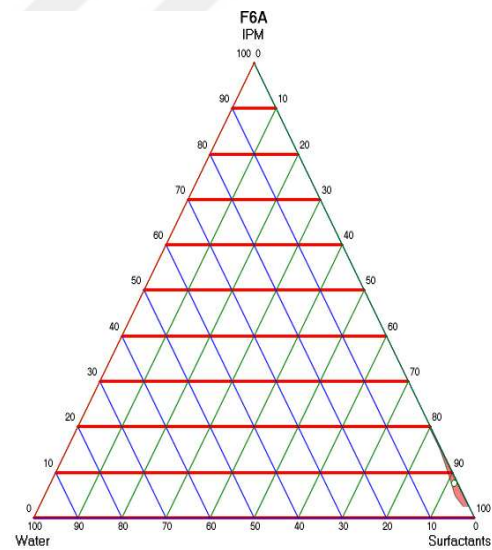
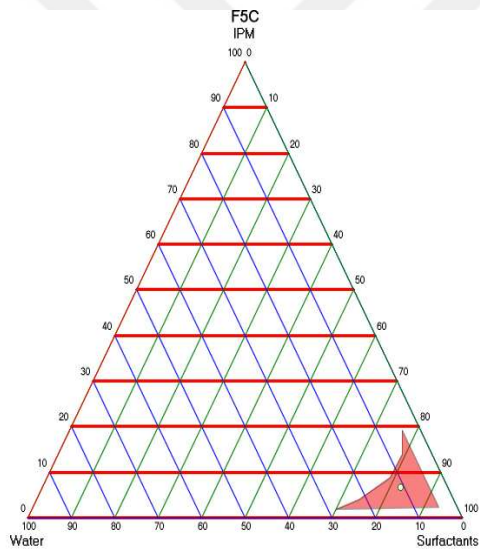
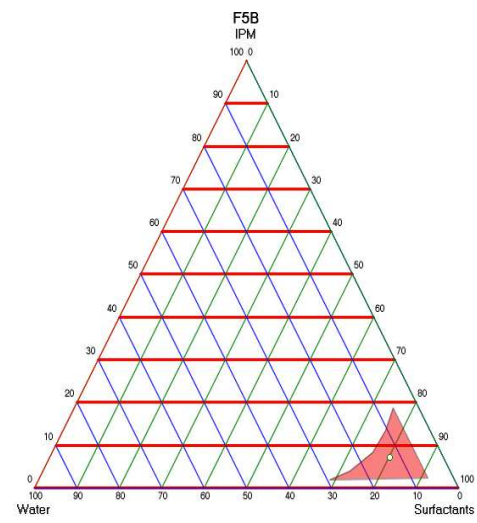
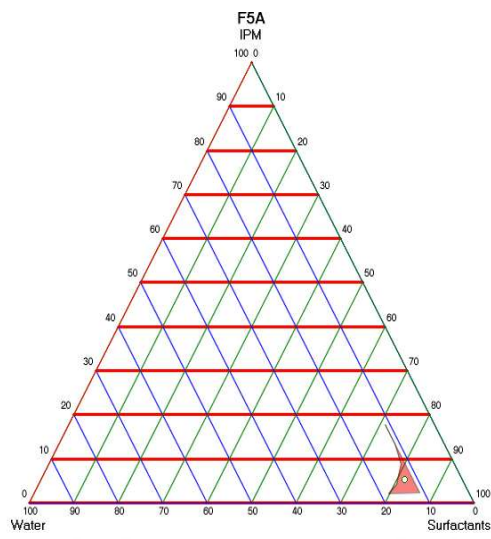
Tablo 34 : Yapılan çözünürlük çalışmasına göre seçilen yardımcı maddeler ile formülasyon çalışmaları

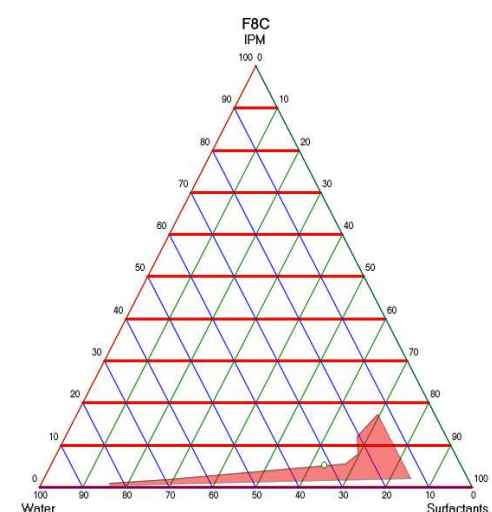
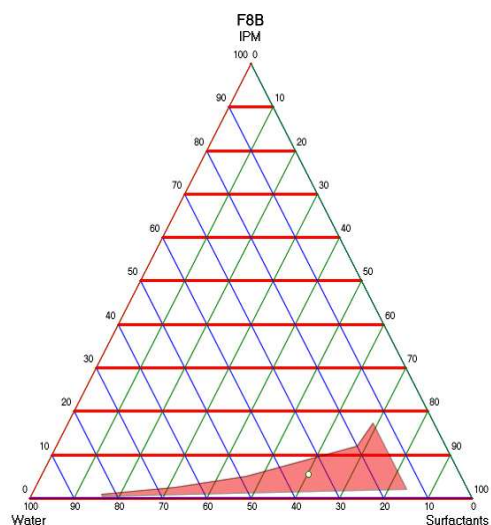
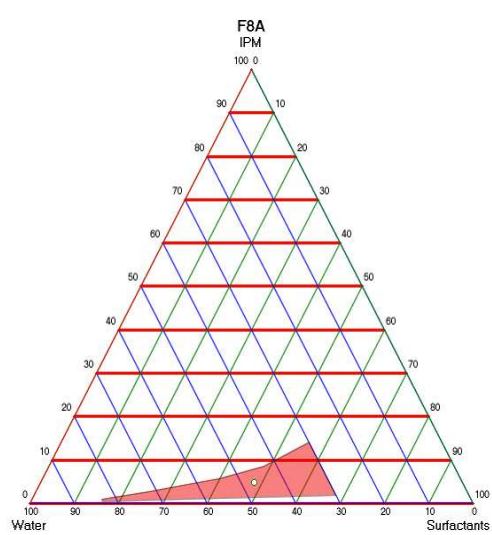
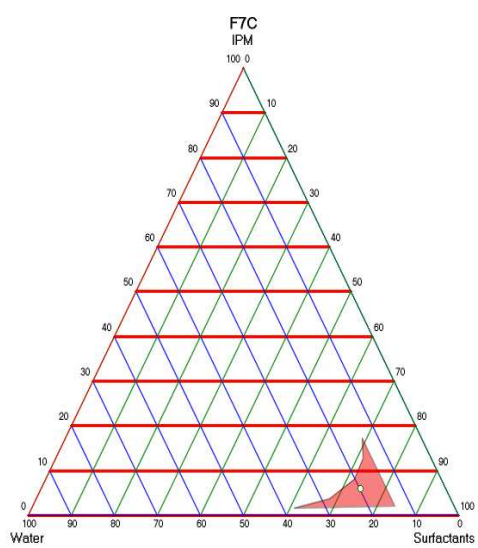
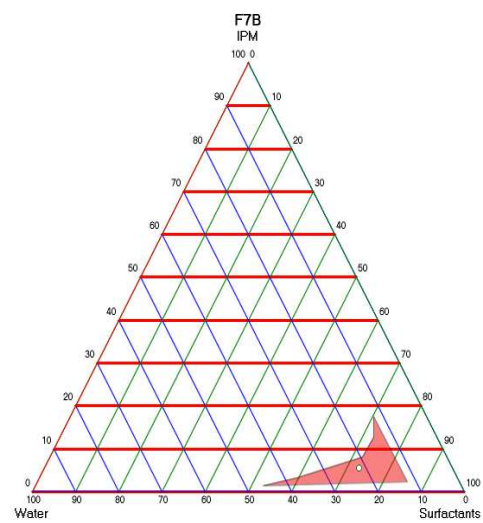
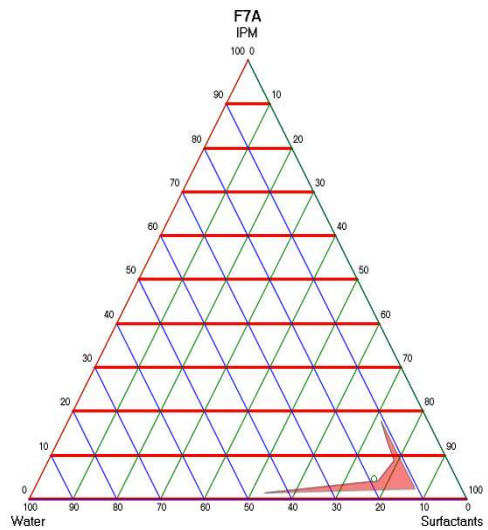
Formül Kodu	YEM/YYEM Oranı	Yağ (Oleik Asit)	YEM/YYEM (Capyrol 90-Tween 20/Transcutol HP)	Titrasyonda Harcanan Su miktarı (mL)	Alan
F10A	1:0.5	0.25	9.75	46.00	
		0.50	9.50	19.40	
		1.00	9.00	7.10	153.92
		1.50	8.50	5.00	
		2.00	8.00	3.90	
F10B	1:1	0.25	9.75	70.00	
		0.40	9.60	21.20	
		0.50	9.50	16.90	157.67
		1.00	9.00	9.50	
		1.50	8.50	6.90	
F10C	1:1.5	2.00	8.00	4.50	
		0.25	9.75	60.00	
		0.50	9.50	17.60	
		1.00	9.00	9.80	71.79
		1.50	8.50	7.90	
		2.00	8.00	7.50	

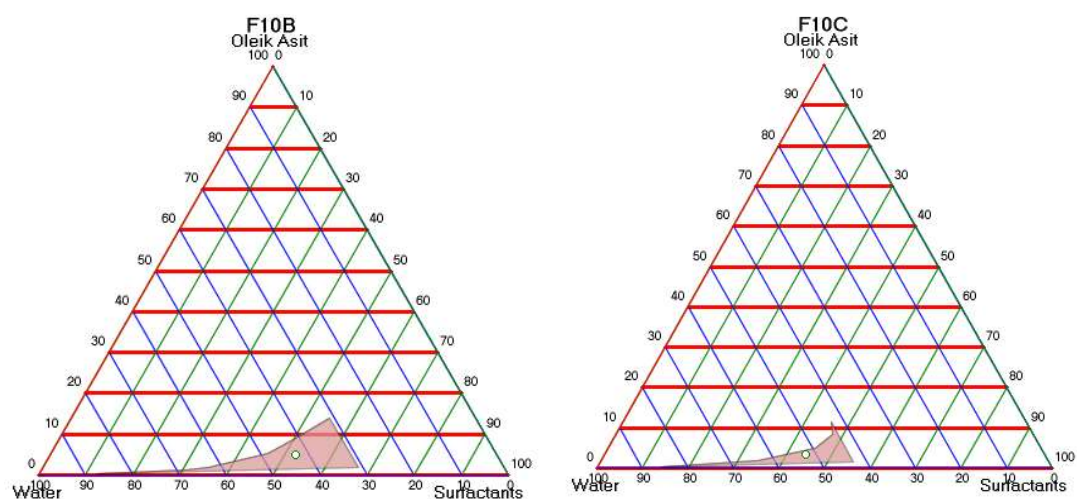
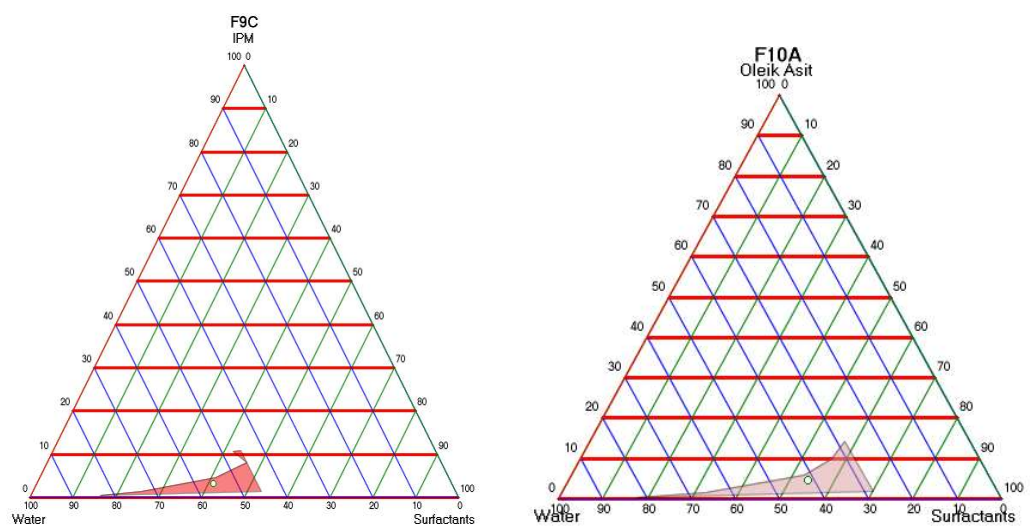
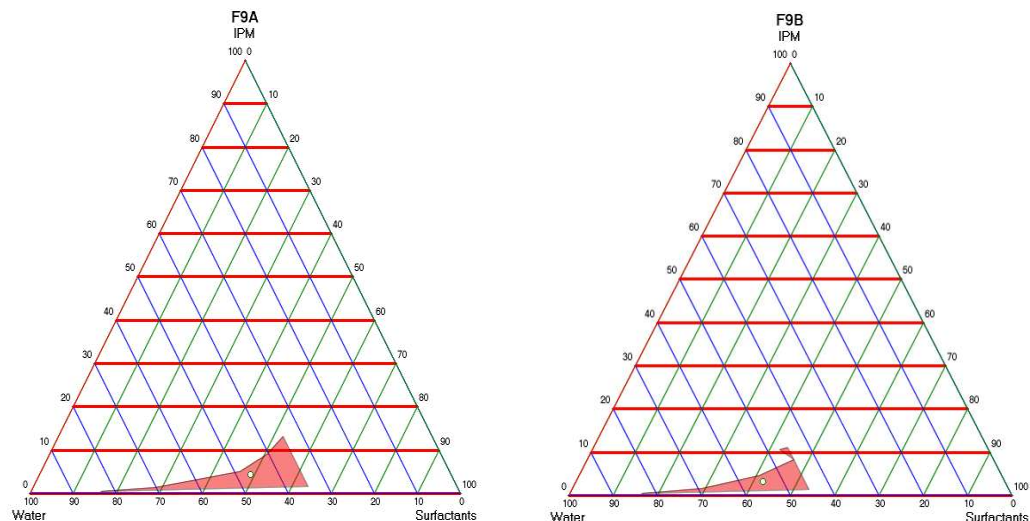
Tablo 25-34'den elde ettiğimiz veriler ile Mikroemülsiyon programı (Ege et al., 2004) yardımıyla her bir YEM/YYEM oranı için en yüksek mikroemülsiyon alanını veren YEM/YYEM oranı ideal olarak kabul edildi. Faz diyagramlarında belirlenen mikroemülsiyon oluşum bölgesinin ağırlık merkezi kullanılarak optimum mikroemülsiyon formülasyonları hesaplanarak geliştirildi. Her bir formülasyon için çizilen üçgen faz diyagramları Şekil 16'te alan değerleri Şekil 17'te verilmiştir.



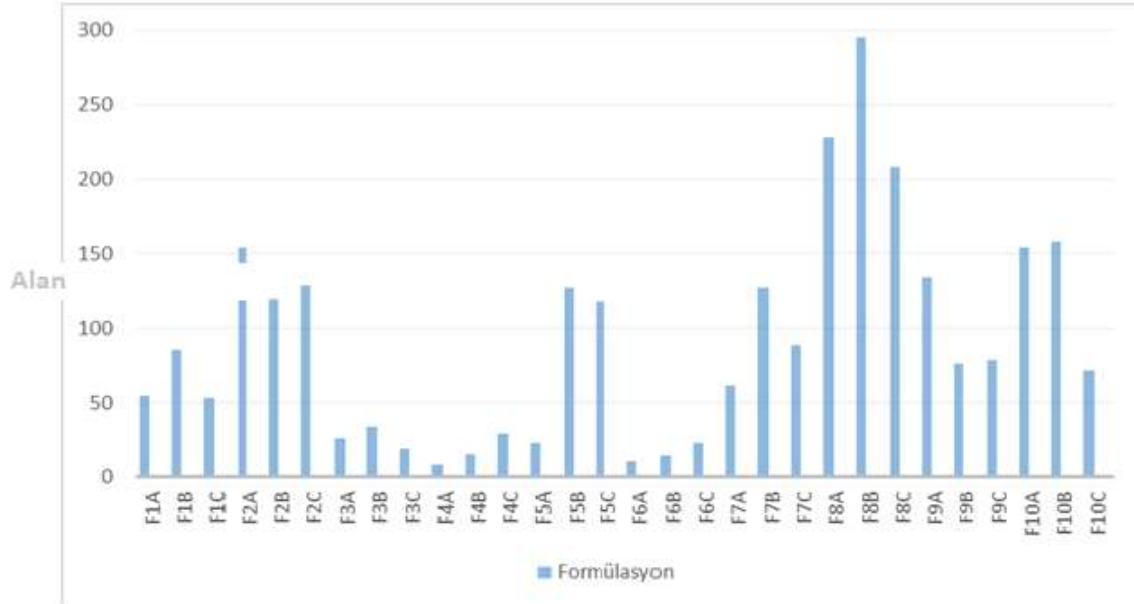








Şekil 16 : Lipid Bazlı formülasyonlarının üçgen faz diyagramlarından elde edilen alanlar



Şekil 17 : Lipid bazlı formülasyonların üçgen faz diyagramında oluşturdukları alan değerleri

Bu verilerden hareketle seçilen ideal en yüksek alanı veren formülasyonlar; F2C F5B, F7B, F8B, F9A ve F10B olarak belirlendi. F2A'nın alanı daha yüksek olmasına rağmen titrasyonda daha çok su aldığı için F2C seçilmesine karar verildi.

4.4.4. Lipid Bazlı Formülasyonların Hazırlanması

4.4.4.1. SEDD Sistemlerin Hazırlanması

Bilgisayar programında en büyük alanı veren ve ağırlık merkezinden hesaplanan alanlara göre seçilen formülasyonların terkipleri, HLB değerleri ve refrakrif indeksleri Tablo 35'de gösterilmiştir.

Tablo 35 : Seçilen formülasyonların terkipleri

Formülasyon	HLB	YEM/YYEM	Yağ	YEM/YYEM	Refraktif
Kodu	Değeri	Oranı	Miktarı	Miktarı (%)	indeksleri
				(%)	
F2C	10.95	1:2	8.56	91.44	1.4024
F5B	10.95	1:1	8.136	91.864	1.4609
F7B	10.01	1:1	7.1	92.9	1.4527
F8B	9.3	1:1	8.31	91.69	1.4266
F9A	10.55	1:0.5	8.128	91.872	1.4048
F10B	8.39	1:1	8.74	91.26	1.4189

Tablo 35'de terkipleri verilen SEDD formülasyonlarda partikül boyutu, refraktif indeks ve polidispersite indeksi ve zeta potansiyeli değerleri belirlendi. Sonuçlar Tablo 36'da verilmiştir.

Tablo 36 : Optimum formülasyonların partikül boyutu, zeta potansiyel, refraktif indeks ve polidispersite indeksi sonuçları

	Partikül Boyutu (nm)	Refraktif İndeks	Polidispersite İndeksi	Zeta potansiyel (mV)
F2C optimum	4964±236	1.4024	0.650	0.715±0.015
F5B optimum	459.6±26	1.4609	1	Ölçülemedi.
F7B optimum	1924±584	1.4527	1	0.0915±0.002
F8B optimum	95.2±15	1.4266	0.232	0.0696±0.001
F9A optimum	135.4±12	1.4048	0.438	0.0440±0.005
F10B optimum	353.7±52	1.4189	0.730	0.0565±0.002

Tablo 36'da verilen partikül boyutu ve polidispersite indeksi değerlerinden hareketle ideal formülasyonlar olarak seçilen F8B ve F9A formülasyonu ile bundan sonraki çalışmalar yürütülmüştür.

Optimum formülasyonlarda belirtilen tüm bileşenler (yağ/YEM/YYEM) manyetik karıştırıcıda karıştırılarak (su fazı eklenmeden) formülasyon hazırlandı. 0.5 mL'sinde 80 mg olacak şekilde Valsartan ilave edildi. Valsartanın formülasyonda çözünmesini sağlamak amacıyla manyetik karıştırıcıda 50 rpm devirde $37\pm0.5^{\circ}\text{C}$ 'ye kadar ısıtılarak berrak bir çözelti elde edilene kadar karıştırılarak formülasyonlar hazırlandı.

4.4.4.2. S-SEDD Sistemlerin Hazırlanması

Partikül boyutu ve polidispersite değerlerine göre seçilen F8B ve F9A formülasyonları çeşitli HPMC, Avicel pH 101, Aerosil gibi katılıştırma ajanlarına yaş granülasyon yöntemiyle emdirilip etübde 45 dakika (45°C) kurumaya bırakıldı. Bu şekilde S-SEDD (solid) formülasyonlar hazırlanmış oldu. Hazırlanan formülasyonların ne kadar F8B ve F9A formülasyonlarından emebildiği Tablo 37'de gösterilmiştir.

Tablo 37 : Katı taşıyıcılara emdirilebilen formülasyon miktarları.

	500 mg HPMC-E5	500 mg Avicel-pH 102	500mg Aerosil-200
F8B	0.35 mL	0.45 mL	1 mL
F9A	0.5 mL	0.6 mL	1 mL

4.4.4.3. Miseller Sistemlerin Hazırlanması

Miseller sistemlerin hazırlanması için seçilen yüzey etkin maddeler (Soluplus, Lutrol F127, Solutol HS 15) aşağıda belirtilen oranlarda bir beherde karıştırılarak etanolde çözüldü. Etanolün uçmasını sağlamak için 24 saat çeker ocakta bırakıldı. Daha sonra 10 mL su ile hidrate edildi ve 24 saat 200 rpm'de manyetik karıştırıcı ile karıştırlı. 14000 rpm'de 10 dakika santrifüjlenerek miseller formülasyonlarının oluşması sağlandı.

Formülasyon A: 200mg Valsartan + 2g Lutrol F127

Formülasyon B: 200mg Valsartan + 2g Soluplus

Formülasyon D: 200 mg Valsartan+ 4g Lutrol F127

Formülasyon E: 200 mg Valsartan+ 4g Soluplus

Formülasyon F: 200 mg Valsartan+ 2g Soluplus + 2g Lutrol F127

4.5. Lipid Bazlı Formülasyonların Karakterizasyon Çalışmaları

4.5.1. SEDDS Formülasyonlarının Karakterizasyon Çalışmaları

4.5.1.1. Formülasyonun Fiziksel Görünüşü

Yöntem 3.2.5.1.1'de anlatıldığı gibi geliştirilen formülasyonların oda sıcaklığında ($25\pm2^{\circ}\text{C}$) F8B ve F9A'nın fiziksel görünüşlerinin berrak ve homojen olduğu gözlemlenmiştir.

4.5.1.2. Formülasyonun pH Ölçümü

Yöntem 3.2.5.1.2'de anlatıldığı gibi geliştirilen formülasyonların pH'sı oda sıcaklığında ($25\pm2^{\circ}\text{C}$) Mettler Toledo marka pHmetre ile ölçüldü. F8B'nin pH'sı 3.741, F9A'nın pH'sı 3.746 olarak ölçülmüştür.

4.5.1.3. Formülasyonun Elektrik İletkenliği

Yöntem 3.2.5.1.3'de anlatıldığı gibi geliştirilen formülasyonların elektrik iletkenliği, oda sıcaklığında ($25\pm2^{\circ}\text{C}$) F8B $86\mu\text{s}/\text{cm}$, F9A ise $73 \mu\text{s}/\text{cm}$ olarak ölçülmüştür ($n=3$).

4.5.1.4. Formülasyonun Refraktif İndis Ölçümü

Yöntem 3.2.5.1.4'de anlatıldığı gibi geliştirilen formülasyonların refraktif indisleri oda sıcaklığında ($25\pm2^{\circ}\text{C}$) F8B için 1.4566 ve F9A için 1.4660 olarak ölçülmüştür ($n=3$).

4.5.1.5. Formülasyonun Viskozitesinin Ölçümü

Yöntem 3.2.5.1.5'de anlatıldığı gibi geliştirilen formülasyonların viskozitesi Brookfield DVII+ Pro cihazında ULA Spindle kullanılarak $25\pm2^{\circ}\text{C}$ 'de ölçüldü. F8B için 47cP (150rpm, %98 torque), F9A için 57.8 cP (100rpm, %90 torque) olarak ölçülmüştür ($n=3$).

4.5.1.6. Dansitesinin Ölçülmesi

Yöntem 3.2.5.1.6'de anlatıldığı gibi geliştirilen formülasyonların dansitesi $25\pm2^{\circ}\text{C}$ 'de piknometre yardımıyla ölçüldü. F9A'nın dansitesi 1.0516, F8B'nin dansitesi ise 1.0148'dir.

4.5.1.7. Formülasyonun Partikül Büyüklüğünün Saptanması

Yöntem 3.2.5.1.7'de anlatıldığı gibi geliştirilen formülasyonların damlacık büyülüklüğü Malvern zetasizer cihazı kullanılarak ölçüldü. Formülasyonun etkin madde içeren ve içermeyen hallerinin damlacık büyülüklüğü, polidispersite indeksi oda sıcaklığında ($25\pm2^{\circ}\text{C}$) ölçüldü (n=6). Sonuçlar Tablo 38'de verilmiştir.

Tablo 38 : F8B plasebo, F9A plasebo, F8B, F9A'nın partikül boyutu ölçümleri

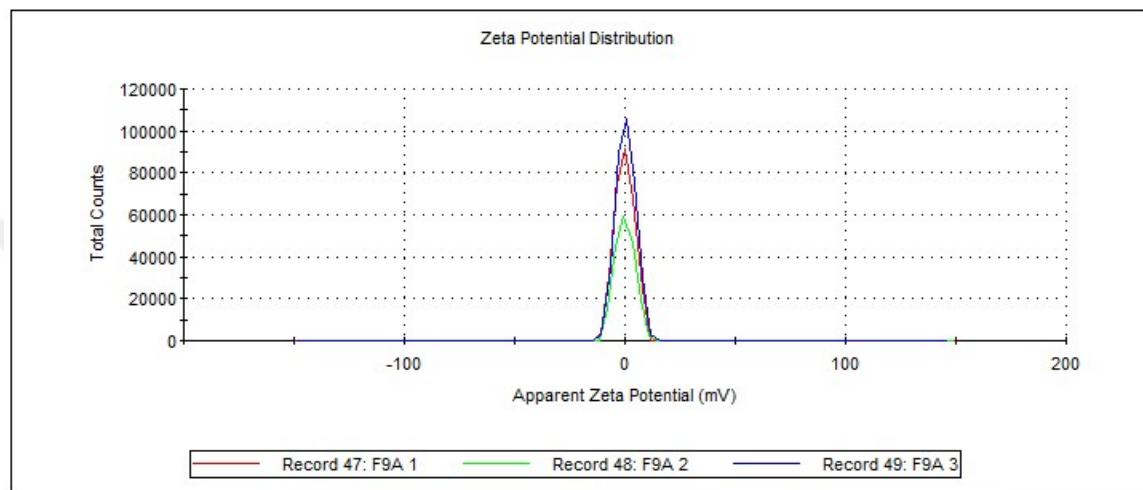
Formülasyon	Partikül Boyutu (nm)	Refraktif İndeks	Polidispersite İndeksi
F8B plasebo	8.78 ± 0.003	1.4561	0.851
F9A plasebo	45.11 ± 0.04	1.4500	0.687
F8B	72.63 ± 0.45	1.3349	0.449
F9A	146.6 ± 0.78	1.3348	0.339

4.5.1.8. Formülasyonun Zeta Potansiyel Değerleri

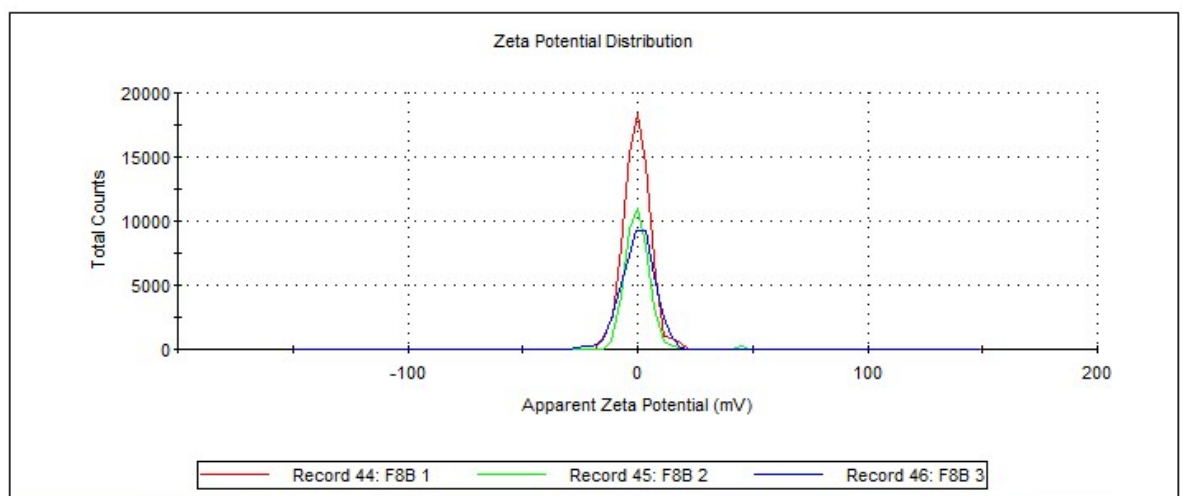
Yöntem 3.2.5.1.8'de anlatıldığı zeta potansiyel ölçümü Malvern Zetasizer cihazı ile oda sıcaklığında ($25\pm2^{\circ}\text{C}$) yapılmıştır. Ölçüm sonuçları Tablo 49'de ve Şekil 18-19'da verilmiştir.

Tablo 39 : F8B, F9A'nın zeta potansiyel ölçümüleri

Formülasyon	Zeta Potansiyel (mV)
F8B	0.0696±0.005
F9A	0.440±0.002



Şekil 18 : F9A'nın zeta potansiyel grafiği



Şekil 19 : F8B'nın zeta potansiyel grafiği

4.5.1.9. Formülasyonun Dağılım Dayanıklılığının Saptanması

Yöntem 3.2.5.1.9'de anlatıldığı gibi formülasyonlar pH 1.2, distile su, pH 6.8 ortamlarında 1:10, 1:100, 1:500 ve 1:1000 oranlarında seyreltilerek 0., 2. ve 24. saatlerde (25 ± 2 °C) Malvern zetasizer cihazında partikül büyüklükleri ölçüldü. Partikül büyüklüklerinde zamana bağlı değişim olup olmadığı araştırıldı. Sonuçlar tablo 40-43'de verilmiştir (n=6).

Tablo 40 : F8B formülasyonunun zeta average (dnm) değerleri

Dilüsyon	Zaman(saat)	Distile su	pH 1.2	pH 6.8
1:10	0	284.3±1.256	377.5±5.48	301.0±5.48
	2	444.0±5.485	454.7±9.37	405.3±9.45
	24	559.8±2.145	587.6±9.58	562.3±6.78
1:100	0	353.1±7.98	322.7±2.64	157.4±0.368
	2	307.3±1.56	328.1±7.31	127.7±1.54
	24	330.6±6.89	433.7±7.21	148.1±1.79
1:500	0	192.8±2.65	378.3±4.93	75.13±0.483
	2	232.5±3.91	471.9±2.97	90.21±1.482
	24	333.1±9.13	443.0±10.56	120.6±6.478
1:1000	0	47.30±0.56	437.9±5.34	77.16±2.826
	2	41.01±1.03	372.0±6.82	90.15±1.02
	24	75.16±2.15	271.0±8.86	121.2±3.80

Tablo 41 : F8B formülasyonunun polidispersite indeksi

Dilüsyon	Zaman(saat)	Distile su	pH 1.2	pH 6.8
1:10	0	0.232	0.441	0.359
	2	0.516	0.439	0.308
	24	0.395	0.173	0.509
1:100	0	0.549	0.655	0.464
	2	0.478	0.558	0.353
	24	0.404	0.655	0.266
1:500	0	0.461	0.725	0.269
	2	0.328	0.688	0.196
	24	0.465	0.714	0.246
1:1000	0	0.312	0.559	0.242
	2	0.247	0.418	0.262
	24	0.347	0.590	0.284

Tablo 42 : F9A formülasyonunun zeta average (dnm) değerleri

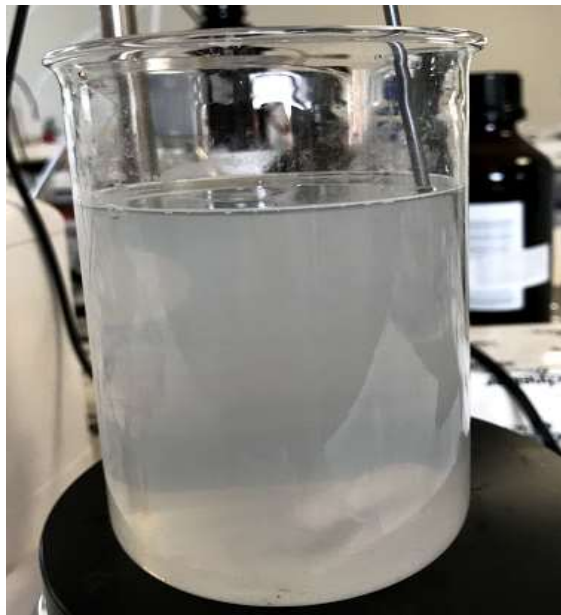
Dilüsyon	Zaman(saat)	Distile su	pH 1.2	pH 6.8
1:10	0	368.6±2.89	452.3±5.41	345.3±4.62
	2	505.6±3.74	929.6±13.59	397.2±2.56
	24	1315±15.4	2386±15.47	427.2±4.75
1:100	0	265.4±1.78	204.0±2.54	133.7±2.6
	2	225.2±2.04	327.4±1.56	115.9±1.61
	24	234.1±6.71	78.7±1.85	133.6±2.21
1:500	0	366±2.72	342±3.46	157.6±2.31
	2	360.6±6.51	568.6±5.74	157.5±2.95
	24	262.3±3.94	913±7.9	155.1±3.46
1:1000	0	97.42±1.03	466.9±1.62	165.5±7.61
	2	141.4±5.74	433.5±6.95	162.5±4.36
	24	156.9±2.5	223.9±3.62	139.2±2.81

Tablo 43 : F9A formülasyonunun polidispersite indeksi

Dilüsyon	Zaman(saat)	Distile su	pH 1.2	pH 6.8
1:10	0	0.333	0.313	0.269
	2	0.319	0.332	0.726
	24	0.367	0.815	0.805
1:100	0	0.436	0.303	0.446
	2	0.351	0.676	0.437
	24	0.330	0.373	0.370
1:500	0	0.386	0.736	0.518
	2	0.798	0.501	0.670
	24	0.402	0.858	0.682
1:1000	0	0.520	0.479	0.508
	2	0.695	0.474	0.830
	24	0.634	0.451	0.579

4.5.1.10. Formülasyonun Emülsifikasyon Zamanı

Yöntem 3.2.5.1.10'de anlatıldığı gibi geliştirilen formülasyonların 100 rpm'de USP XXII dissolüsyon aparatı kullanılarak karıştırılan $37\pm0.5^{\circ}\text{C}$ 'lik 1000 mL'lik distile suya damla damla eklenerek, formülasyon gözlenmeyene kadar geçen süre hesaplandı (Şekil 20). Emülsifikasyon zamanı F9A için 15 sn, F8B için 10 sn olarak belirlenmiştir.



Şekil 20: Emülsifiye olmuş formülasyon.

4.5.1.11. Formülasyonun Santrifüj Çalışmaları

Yöntem 3.2.5.1.11'de anlatıldığı gibi geliştirilen formülasyonların 5000 rpm hızında, $25\pm2^{\circ}\text{C}$ sıcaklıkta ve 30 dakika süre ile santrifüj cihazı (Sigma 2-16KL) ile santrifüj edilerek formülasyonlarda faz ayrışımı olup olmadığı kontrol edildi. Her iki formülasyonda da herhangi bir faz ayrışması, çökme gibi stabilizasyon problemi gözlemlenmemiştir.

4.5.1.12. Formülasyonun Isıtma-Soğutma Çalışmaları

Yöntem 3.2.5.1.12'de anlatıldığı gibi geliştirilen formülasyonların soğutma 4°C 'de 24 saat bekletilme ve ısıtma ise 45°C 'de 24 saat boyunca bekletilmesi ile gerçekleştirildi. Bu amaçla hazırlanan formülasyonlar 3 kez soğutma (4°C , 24 saat) ve ısıtma (45°C , 24 saat) döngüsüne tabi tutulduktan sonra 5 dakika 3000 devir/dakika santrifüjlenip formülasyonlarda faz ayrışması ve bulanıklık olup olmadığı incelendi. Her bir sıcaklık muamelesi sonrasında faz ayrışması, çökme gibi stabilizasyon problemlerinin oluşup oluşmadığı araştırıldı. Her iki formülasyonda da herhangi bir faz ayrışması, çökme gibi stabilizasyon problemi gözlemlenmemiştir.

4.5.1.13. Formülasyonun Dondurma-Çözme Çalışmaları

Yöntem 3.2.5.1.13'de anlatıldığı gibi geliştirilen formülasyonlar -4°C'de 24 saat donmaya bırakıldıktan sonra 40±0.5°C'de 24 saat bekletildi. 3000 devir/dakika santrifüjlendikten sonra faz ayrışması olup olmadığı gözlemlendi. Her iki formülasyonda da herhangi bir faz ayrışması, çökme gibi stabilizasyon problemi gözlemlenmemiştir.

4.5.1.14. Valsartan Miktar Tayini

Yöntem 3.2.5.1.14'de anlatıldığı gibi geliştirilen Valsartan içeren SEDD sistemler mobil fazda çözündürülmüş ve açığa çıkan Valsartan miktarı HPLC ile değerlendirilmiştir (Tablo 44).

Tablo 44 : Formülasyonların miktar tayini sonuçları

Formülasyon	Teorikte olması gereken derişim(µg/mL)	Pratikten elde edilen derişim (µg/mL)	Yüzde (%)
F8B	40±0.5	38.09±0.057	%95.225
F9A	40±0.5	38.423±0.007	%96.057

4.5.2 S-SEDDS Formülasyonlarının Karakterizasyon Çalışmaları

4.5.2.1. Fiziksel Görünüş

Yöntem 3.2.5.2.1'de anlatıldığı gibi geliştirilen formülasyonların oda sıcaklığında (25±2°C) fiziksel görünüşleri incelenerek değerlendirildi. S-SEDD sistemler homojen, beyaz pellet görünümündedir.

4.5.2.2. Küme ve Sıkıştırılmış Dansite Ölçümleri

Yöntem 3.2.5.2.2'de anlatıldığı gibi S-SEDD'lerin sıkıştırılmış dansitelerinin ölçülmesinde Tap-2S Tap Density Tester cihazı kullanıldı. Başlangıçta mezüre 100 mL hacminde konularak başlandı. 0.,10., 500. ve 1250. vuruşlar sonucu hacimlere

bakıldı. Bunun sonucunda küme dansite, sıkıştırılmış dansite, Hausner oranları ve Carr indeksi Tablo 45'de gösterilmiştir.

Tablo 45 : Formülasyonlara ait Küme dansite, Sıkıştırılmış dansite, Hausner oranı, Carr indeksi değerleri

Formülasyon	Küme Dansite (g/mL)	Sıkıştırılmış Dansite (g/mL)	Hausner Oranı	Carr İndeksi (%)
F9A Avicel pH101	0.382	0.538	1.405	28.99
F9A HPMC E5	0.287	0.383	1.333	24.98
F8B Avicel pH101	0.288	0.4301	1.492	32.98
F8B HPMC E5	0.222	0.308	1.389	27.98

4.5.2.3.Titreşimli Elek ile Boyut Analizi

Yöntem 3.2.5.2.3'de belirtildiği gibi S-SEDDS'lerin boyut analizi Retsch marka titreşimli elek ile gerçekleştirildi. Formülasyonlardan 50 g alınıp elek sistemine konuldu. 10 dakika 20 Hz titreşim uygulandı. Kullanılan elek sisteminin boyutları 1.40 mm, 1.00 mm, 500 μm , 250 μm 'dir. Sonuçlar Tablo 46-49'da gösterilmiştir.

Tablo 46 : F9A HPMC formülasyonunun boyut dağılımı

Boyut Dağılımı (μm)	Ağırlık (g)	% Ağırlık	% Toplanan Miktar
>2000	0±0	0	0
2000-1400	48±0.152	96	96
1400-1000	0.42±0.023	0.84	96.84
1000-500	1.348±0.156	2.696	99.536
500-250	0.23±0.085	0.46	99.996

Tablo 47 : F8B HPMC formülasyonunun boyut dağılımı

Boyut Dağılımı (μm)	Ağırlık (g)	% Ağırlık	% Toplanan Miktar
>2000	0±0	0	0
2000-1400	47.416±3.74	94.832	94.832
1400-1000	1.2±0.15	2.4	97.232
1000-500	0.88±0.097	1.76	98.992
500-250	0.5±0.059	1	99.992

Tablo 48 : F8B Avicel formülasyonunun boyut dağılımı

Boyut Dağılımı (μm)	Ağırlık (g)	% Ağırlık	% Toplanan Miktar
>2000	0±0	0	0
2000-1400	49.2±5.85	98.4	98.4
1400-1000	0.03±0.001	0.06	98.46
1000-500	0.63±0.048	1.26	99.72
500-250	0.09±0.003	0.18	99.9

Tablo 49 : F9A Avicel formülasyonunun boyut dağılımı

Boyut Dağılımı (μm)	Ağırlık (g)	% Ağırlık	% Toplanan Miktar
>2000	0±0	0	0
2000-1400	49.1±6.59	98.2	98.2
1400-1000	0.3±0.06	0.6	98.8
1000-500	0.52±0.045	1.04	99.84
500-250	0.04±0.002	0.08	99.92

4.5.2.4. Emülsifikasyon Zamanı Analizi

Yöntem 3.2.5.2.4'de antatıldığı gibi geliştirilen formülasyonların 80 mg valsartan içerecek miktarı bir seferde 37 ± 0.5 °C'lik 1000 mL'lik distile suya ilave edilmiştir. F9A ve F8B nin HPMC içeren formülasyonları önce şişip 5 dk'da emülsifiye olmuşlardır. F8B Aerosil ve Avicel, F9A Aerosil ve Avicel formülasyonlarının emülsifikasyon zamanlarının ise 30 sn'den kısa olduğu gözlemlenmiştir.

4.5.2.5. Damlacık Boyutu Analizi

Yöntem 3.2.5.2.5'de anlatıldığı gibi 80 mg Valsartan dozunu 1000 ml pH 1.2, pH 6.8 ve distile suda çözerek damlacık büyüklükleri Malvern zetasizer cihazı kullanılarak oda sıcaklığında (25 ± 2 °C) ölçüldü (n=6). Sonuçlar Tablo 50'te verilmiştir.

Tablo 50 : S-SEDD formülasyonlarının partikül boyutu ölçümleri.

Formülasyon	Damlacık Boyutu (nm±SS)	Refraktif İndis	Polidispersite İndeksi
F9A Avicel	231.1±2.59	1.3368	0.510
F9A Aerosil	576.7±3.45	1.3342	0.686
F9A HPMC	293.2±3.12	1.3340	0.778
F8B Avicel	186.3±1.362	1.3341	0.565
F8B Aerosil	1183±20.69	1.3341	0.712
F8B HPMC	129.1±5.36	1.3343	0.291

4.5.2.6. İçerik Miktar Tayini

Yöntem 3.2.5.2.6'de belirtildiği gibi geliştirilen Valsartan içeren S-SEDD sistemler mobil fazda çözündürülmüş ve açığa çıkan Valsartan miktarı HPLC ile değerlendirilmiştir. Sonuçlar Tablo 51'te verilmiştir.

Tablo 51 : Formülasyonların miktar tayini sonuçları

Formülasyon	Teorikte olması gereken derişim	Pratikten elde edilen derişim	Yüzde (%)
	($\mu\text{g/mL}$)	($\mu\text{g/mL}$)	
F8B Avicel	28	16.15	%57.68
F8B Aerosil	80	23.12	%28
F8B HPMC	25.6	13.65	%53.32
F9A Avicel	36.5	19.11	%52.35
F9A Aerosil	36	11.05	%30.07
F9A HPMC	32	19.678	%61.49

4.5.3. Miseller Sistemlerin Karakterizasyon Çalışmaları

4.5.3.1. Fiziksel Görünüş

Yöntem 3.2.5.3.1'de anlatıldığı gibi geliştirilen formülasyonların oda sıcaklığında ($25\pm2^\circ\text{C}$) fiziksel görünüşleri incelenerek değerlendirildi. Misel sistemler homojen, yarı saydam, yanar-döner yansımalı şekilde gözlemlenmiştir.

4.5.3.2. Formülasyonun pH Ölçümü

Yöntem 3.2.5.3.2'de anlatıldığı gibi geliştirilen formülasyonların pH'sı oda sıcaklığında ($25\pm2^\circ\text{C}$) Mettler Toledo marka pHmetre ile ölçüldü. Misel formülasyonlarının ortalama pH değeri 3.75 dir.

4.5.3.3. Formülasyonun Refraktif İndis Ölçümü

Yöntem 3.2.5.3.3'de anlatıldığı gibi geliştirilen formülasyonların refraktif indisleri oda sıcaklığında ($25\pm2^\circ\text{C}$) Atago refraktometer RX-7000 CX marka refraktometre ile ölçüldü. Sonuçlar Tablo 52'de verilmiştir.

Tablo 52 : Misel Formülasyonlarının Refraktif İndis değerleri.

Formülasyon	Refraktif İndis
MİSEL A	1.3399
MİSEL B	1.3375
MİSEL C	1.3381
MİSEL D	1.3392
MİSEL E	1.3383
MİSEL F	1.3389

4.5.3.4. Formülasyonun Damlacık Boyutunun Saptanması

Yöntem 3.2.5.3.4'de anlatıldığı gibi geliştirilen formülasyonların damlacık büyüğünü Malvern zetasizer cihazı kullanılarak ölçüldü (n=6). Sonuçlar Tablo 53'de verilmiştir.

Tablo 53 : Geliştirilen formülasyonların damlacık boyutu ölçümleri

	Damlacık Boyutu (dnm)	Polidispersite İndeksi
MİSEL A	543.3±10.54	1
MİSEL B	942.5±6.85	1
MİSEL C	1205±25.69	1
MİSEL D	752±6.041	0.965
MİSEL E	1403±23.69	1
MİSEL F	230.4±3.42	0.985

4.5.3.5. Formülasyonun Santrifüj Çalışmaları

Yöntem 3.2.5.3.5.'de anlatıldığı gibi geliştirilen formülasyonların 5000 rpm hızında, $25\pm2^{\circ}\text{C}$ sıcaklıkta ve 30 dakika süre ile santrifüj cihazı (Sigma 2-16KL) ile santrifüj

edilerek formülasyonlarda faz ayrışımı olup olmadığı kontrol edildi. Misel A, Misel B ve Misel F formülasyonlarında faz ayrışması gözlemlenmemiştir.

4.5.3.6. Formülasyonun Isıtma-Soğutma Çalışmaları

Yöntem 3.2.5.3.6'de anlatıldığı gibi geliştirilen formülasyonların soğutma $4\pm0.5^{\circ}\text{C}$ 'de 24 saat bekletilme ve ısıtma ise $45\pm0.5^{\circ}\text{C}$ 'de 24 saat boyunca bekletilmesi ile gerçekleştirildi. Bu amaçla hazırlanan formülasyonlar 3 kez soğutma (4°C , 24 saat) ve ısıtma (45°C , 24 saat) döngüsüne tabi tutulduktan sonra 5 dakika 3000 devir/dakika santifürüğlenip formülasyonlarda faz ayrışması ve bulanıklık olup olmadığı incelendi. Tüm misel formülasyonlarda faz ayrışması gözlemlendi. Termodinamik olarak stabil olmadıklarına karar verildi.

4.5.3.7. Formülasyonun Kritik Misel Konsantrasyonu

Yöntem 3.2.5.3.7'da anlatıldığı gibi valsartan içeren miseller çözeltiler belirli oranlarda distile su kritik misel konsantrasyonu belirlendi. Valsartan içeren miseller sistemin farklı derişimlerde hazırlanan çözeltilerinin kritik misel konsantrasyonu yüzey gerilimi tayini yöntemiyle gerçekleştirildi. Yüzey gerilimi damla sayma yöntemi Traube Stalognometresi kullanılarak ölçüldü. Misel A formülasyonunun kritik misel konsantrasyonu 0.0202 g/mL olarak, Misel F formülasyonunun kritik misel konsantrasyonu 0.196 g/mL olarak ölçüldü. Diğer formülasyonlarda yüzey gerilimlerinde dramatik bir değişiklik olmamasından ötürü kritik misel konsantrasyonları ölçülemedi.

4.5.3.8. İçerik Miktar Tayini

Yöntem 3.2.5.3.8'de anlatıldığı gibi geliştirilen Valsartan içeren miseller sistemler mobil fazda çözündürülmüş ve açığa çıkan Valsartan miktarı HPLC ile değerlendirilmiştir (Tablo 54).

Tablo 54 : Geliştirilen formülasyonların miktar tayini sonuçları.

Formülasyon	Teorikte olması gereken derişim ($\mu\text{g/mL}$)	Pratikten elde edilen derişim ($\mu\text{g/mL}$)	Yüzde (%)
MİSEL A	20±0.5	18.9±0.62	%94.5
MİSEL B	20±0.5	19.87± 0.74	%99.35
MİSEL C	20±0.5	12.51±0.85	%62.55
MİSEL D	20±0.5	10.7896 0.26	%53.948
MİSEL E	20±0.5	15.9±0.47	%79.5
MİSEL F	20±0.5	17.22± 0.38	%86.1

Miseller sistemlerin karakterizasyon çalışmaları sonucu termodinamik stabilitelerinde problem görülmesinden dolayı bundan sonraki stabilite, salım çalışmaları *ve in vitro* *in vivo* çalışmalara dahil edilmemiştir.

4.6. Stabilite Çalışmaları

Yöntem 3.2.6'da belirtildiği gibi SEDD ve S-SEDD formülasyonlarının stabilitelerinin incelenmesi amacıyla hazırlanan formülasyonlar $25\pm2^\circ\text{C}$, %60±5 bağıl nemde ve $40\pm2^\circ\text{C}$, %75±5 bağıl nemde 12 ay boyunca saklandı. Stabilite çalışmasında numuneler 12 ay süreyle $t=0$ yani başlangıç anında ve 1., 3., 6., 9. ve 12. aylar olmak üzere kontrol edildi.

4.6.1. SEDD Sistemlerinin Stabilite Çalışmaları

Yöntem 3.2.6.1'de belirtildiği gibi karakterizasyon çalışmaları sonrası seçilen formülasyonların stabilite çalışmaları yapıldı. Valsartan içeren SEDD sistemlerinin stabilitesini incelemek amacıyla, formülasyonların fiziksel görünüşü, damlacık büyülüğu, elektriksel iletkenliği, refraktif indeksi, pH'sı, viskozitesi ve faz ayrışması gibi özellikleri değerlendirildi. Ayrıca etkin maddenin sistem içerisindeki kimyasal stabilitesi de araştırıldı. F8B'nin sonuçları Tablo 55 ve 56'da F9A'nın sonuçları ise Tablo 57 ve 58'de gösterilmiştir.

Tablo 55: F8B formülasyonunun 0-3. Ay stabilité bulguları

	0. Ay		1. Ay		3.Ay	
Ölçülen	%25±5C°	%40±5C°	%25±5C°	%40±5C°	%25±5C°	%40±5C°
Parametre	%60±5	%75±5	%60±5	%75±5	%60±5	%75±5
pH*	3.741	3.741	3.752	3.755	3.748	3.752
Refraktif indis*	1.4566	1.4566	1.4567	1.4566	1.4565	1.4566
Elektriksel İletkenlik(μs) *	86	86	86	87	86	87
Dansite (g/mL)	0.7464	0.7464	0.7465	0.7467	0.7466	0.7463
Damlacık	72.63±	72.63±1.56	70.23±0.96	73.73±1.94	73.28±1.56	79.04±2.95
Boyutu(nm)*	1.56					
Polidispersite İndeksi	0.449	0.449	0.726	0.418	0.477	0.673
Viskozite (cP)	47.03	47.03	47.05	47.04	47.05	47.03
Miktar Tayini (μg/mL)**	38.09±0.5	38.09±0.5	38.25±0.6	37.98±0.5	38.15±0.3	38.54±0.6
Fiziksel Görünüş	Homojen Saydam Faz Ayırışması yok	Homojen Saydam Faz Ayırışması yok	Homojen Saydam Faz Ayırışması yok	Homojen Saydam Faz Ayırışması yok	Homojen Saydam Faz Ayırışması yok	Homojen Saydam Faz Ayırışması yok

(*optimum formülasyonu oluşturan su miktarıyla seyreltilmiştir, ** Miktar tayini teorik miktar 40μg/mL'dir. Seyreltme faktörü 2000'dir.)

Tablo 56 : F8B formülasyonunun 6-12. Ay stabilite bulguları

Ölçülen	6. Ay		9. Ay		12.Ay	
Parametre	%25±5C°	%40±5C°	%25±5C°	%40±5C°	%25±5C°	%40±5C°
	%60±5	%75±5	%60±5	%75±5	%60±5	%75±5
pH*	3.756	3.748	3.745	3.752	3.743	3.755
Refraktif indis*	1.4567	1.4566	1.4566	1.4565	1.4566	1.4567
Elektriksel İletkenlik(μs) *	87	87	86	87	86	86
Dansite (g/mL)	0.7466	0.7465	0.7465	0.7464	0.7467	0.7467
Damlacık	62.13±	63.81±0.96	65.55±1.4	67.51±1.76	61.3±1.62	63.92±1.85
Boyutu(nm)*	1.25					
Polidispersite	0.640	0.584	0.498	0.594	0.637	0.562
İndeksi						
Viskozite (cP)	47.03	47.05	47.03	47.03	47.05	47.06
Miktar Tayini (μg/mL)**	38.17±1.9	38.69±0.5	38.21±0.9	38.65±1.0	38.63±1.5	38.92±1.4
Fiziksel Görünüş	Homojen Saydam Faz Ayırışması yok	Homojen Saydam Faz Ayırışması yok	Homojen Saydam Faz Ayırışması yok	Homojen Saydam Faz Ayırışması yok	Homojen Saydam Faz Ayırışması yok	Homojen Saydam Faz Ayırışması yok

(*optimum formülasyonu oluşturan su miktarıyla seyreltilmiştir, ** Miktar tayini teorik miktar 40μg/mL'dir. Seyreltme faktörü 2000'dir.)

Tablo 57 : F9A formülasyonunu 0-3. Ay stabilite sonuçları.

Ölçülen	0.Ay		1.Ay		3.Ay	
Parametre	%25±5C°	%40±5C°	%25±5C°	%40±5C°	%25±5C°	%40±5C°
	%60±5	%75±5	%60±5	%75±5	%60±5	%75±5
pH*	3.746	3.746	3.749	3.751	3.749	3.753
Refraktif indeks*	1.4660	1.4660	1.4661	1.4663	1.4664	1.4661
Elektriksel İletkenlik(μs)*	73	73	74	74	73	74
Dansite(g/mL)	1.05166	1.05166	1.0517	1.05169	1.05168	1.05167
Damlacık Boyutu(nm)*	146.6±5.1	146.6±5.1	121.4±3.52	156.6±4.62	93.44±6.2	174.1±1.6
Polidispersite İndeksi	0.339	0.339	0.551	0.601	0,890	0.913
Viskozite(cP)	58.7	58.7	58.73	58.72	58.76	58.75
Miktar Tayini (μg/mL)**	36.423±0.95	36.423±0.95	36.21±1.56	35.73±1.53	37.2±0.99	36.18±1.04
Fiziksel Görünüş	Homojen Saydam Faz Ayırışması yok	Homojen Saydam Faz Ayırışması yok	Homojen Saydam Faz Ayırışması yok	Homojen Saydam Faz Ayırışması yok	Homojen Saydam Faz Ayırışması yok	Homojen Saydam Faz Ayırışması yok

(*optimum formülasyonu oluşturan su miktarıyla seyreltilmiştir, ** Miktar tayini teorik miktar 40μg/mL'dir. Seyreltme faktörü 2000'dir.)

Tablo 58 : F9A formülasyonunu 6-12. Ay stabilité sonuçları.

Ölçülen	6.Ay		9. Ay		12. Ay	
Parametre	%25±5C ° %60±5	%40±5C° %75±5	%25±5C° %60±5	%40±5C° %75±5	%25±5C° %60±5	%40±5C° %75±5
pH*	3.754	3.747	3.745	3.750	3.743	3.749
Refraktif İndeks*	1.4662	1.4660	1.4662	1.4662	1.4661	1.4662
Elektriksel İletkenlik(μs)*	73	73	73	74	74	73
Dansite(g/mL)	1.05169	1.05165	1.05174	1.05132	1.05165	1.05194
Damlack	158.1±5.	173.9±	165.2±	170.4±	172.6±	175.8±
Boyutu(nm)	21	10.3	6.73	6.95	8.46	2.36
Polidispersite İndeksi	0.604	0.713	0.752	0.635	0.742	0.563
Viskozite(cP)	58.78	58.72	58.73	58.72	58.62	58.68
Miktar Tayini (μg/mL)**	36.41±	38.52±	36.72±	37.26±	36.89±	37.12±
Fiziksel Görünüş	Homojen Saydam Faz Ayırışma sı yok	Homojen Saydam Faz Ayırışması yok	Homojen Saydam Faz Ayırışması yok	Homojen Saydam Faz Ayırışması yok	Homojen Saydam Faz Ayırışması yok	Homojen Saydam Faz Ayırışması yok

(*optimum formülasyonu oluşturan su miktarıyla seyreltilmiştir, ** Miktar tayini için teorik miktar 40μg/mL'dir. Seyreleme faktörü 2000'dir.)

4.6.2. S-SEDD Sistemlerinin Stabilite Çalışmaları

Yöntem 3.2.6.2'de anlatıldığı gibi Valsartan içeren S-SEDDS sert jelatin kapsüllerin stabilite testlerinde kapsülün dağıılma zamanı, kapsülün görünüşü ve etkin madde içeriği takip edilmiştir. Kullanılan kapsül 00'dır. Sonuçlar Tablo 59-66'de verilmiştir.

Tablo 59 : F8B Avicel formülasyonunun 0-6. ay stabilité bulguları

Ölçülen	0. Ay		1.Ay		3.Ay		
	Parametre	%25±5C°	%40±5C°	%25±5C°	%40±5C°	%25±5C°	%40±5C°
		%60±5	%75±5	%60±5	%75±5	%60±5	%75±5
Miktar	16.15±0.51	16.15±0.51	15.48±	16.86±0.96	16.69±	16.90±	
Tayini (μg/mL) *			1.45		1.03	1.53	
Damlacık	186.3±5.23	186.3±5.23	184.2±4.96	179.4±4.78	142.4±3.56	169.4±4.26	
Boyutu(nm)							
Kapsülün	105	105	105	105	105	105	
Dağılma							
Zamanı(sn)							
Kapsülün	Renk ya da şekil değişimi yoktur.	Renk ya da şekil değişimi yoktur.	Renk ya da şekil değişimi yoktur.	Renk ya da şekil değişimi yoktur.	Renk ya da şekil değişimi yoktur.	Renk ya da şekil değişimi yoktur.	
Görünüşü							

(* Teorikte olması gereken 28 μ g/mL'dir. Seyreltme faktörü 2857'dir)

Tablo 60 : F8B Avicel formülasyonunun 6-12. ay stabilité bulguları

Ölçülen	6.Ay		9. Ay		12. Ay	
Parametre	%25±5C°	%40±5C°	%25±5C°	%40±5C°	%25±5C°	%40±5C°
	%60±5	%75±5	%60±5	%75±5	%60±5	%75±5
Miktar Tayini	17.31±	16.95±	17.16±	16.74±	16.85±	16.93±
($\mu\text{g/mL}$) *	1.02	0.95	0.62	1.52	1.32	0.85
Damlacık	181.0±9.47	233.7±6.73	178.5±4.82	195.7±3.42	189.2±8.62	190.7±5.41
Boyutu(nm)						
Kapsülün	105	105	105	105	105	105
Dağılma						
Zamani(sn)						
Kapsülün	Renk ya da şekil değişimi yoktur.	Renk ya da şekil değişimi yoktur.	Renk ya da şekil değişimi yoktur.	Renk ya da şekil değişimi yoktur.	Renk ya da şekil değişimi yoktur.	Renk ya da şekil değişimi yoktur.
Görünüşü						

(* Teorikte olması gereken 28 $\mu\text{g/mL}$ 'dir. Seyreltme faktörü 2857'dir)

Tablo 61 : F8B HPMC formülasyonunun 0-6. ay stabilité bulguları

Ölçülen	0. Ay		1.Ay		3.Ay	
Parametre	%25±5C°	%40±5C°	%25±5C	%40±5C°	%25±5C°	%40±5C°
Miktar Tayini	13.65±0.77	13.65±0.77	13.47± ° %60±5	13.5± 1.07	13.15± 0.74	12.58± 0.93
($\mu\text{g/mL}$) *			0.96			
Damlacık	129.1±4.12	129.1±4.12	113.6±	136.5±12.5	162.6±4.28	167.8±6.92
Boyutu(nm)			9.65			
Kapsülün	180	180	180	180	180	180
Dağılma						
Zamani(sn)						
Kapsülün	Renk ya da şekil değişimi yoktur.	Renk ya da şekil değişimi yoktur.	Renk ya da şekil değişimi yoktur.	Renk ya da şekil değişimi yoktur.	Renk ya da şekil değişimi yoktur.	Renk ya da şekil değişimi yoktur.
Görünüşü						

(*Teorikte olması gereken 25.6 $\mu\text{g/mL}$ 'dir. Seyreltme faktörü 3125'dir)

Tablo 62 : F8B HPMC formülasyonunun 6-12. ay stabilité bulguları

Ölçülen	6.Ay		9. Ay		12. Ay	
	%25±5°C°	%40±5°C°	%25±5°C°	%40±5°C°	%25±5°C°	%40±5°C°
Parametre	%60±5	%75±5	%60±5	%75±5	%60±5	%75±5
Miktar Tayini	13.77± 0.96	13.69± 0.63	13.58± 1.19	13.85± 0.84	13.25± 0.67	13.61± 0.81
(µg/mL)*						
Damlacık	153.7± 15.3	177.5± 9.65	168.7± 12.62	173.2± 7.52	159.4± 8.54	170.3±7.71
Boyutu(nm)						
Kapsülün	180	180	180	180	180	180
Dağılma Zamanı(sn)						
Kapsülün Görünüşü	Renk ya da şekil değişimi yoktur.	Renk ya da şekil değişimi yoktur.	Renk ya da şekil değişimi yoktur.	Renk ya da şekil değişimi yoktur.	Renk ya da şekil değişimi yoktur.	Renk ya da şekil değişimi yoktur.

(*Teorikte olması gereken 25.6 µg/mL'dir. Seyreleme faktörü 3125'dir)

Tablo 63 : F9A Avicel formülasyonunun 0-6. Ay stabilite bulguları

Ölçülen	0. Ay		1.Ay		3.Ay	
Parametre	%25±5C ° %60±5	%40±5C° %75±5	%25±5C° %60±5	%40±5C° %75±5	%25±5C ° %60±5	%40±5C° %75±5
Miktar Tayini	19.11± 1.69	19.11± 1.69	13.27± 0.58	13.07± 0.81	13.85± 1.09	13.92± 1.1
Damlacık	231.1±	231.1±	191.9±	195.2±	190.1 ±	199.1±
Boyutu(nm)	6.52	6.52	9.25	9.87	19.0	10.52
Kapsülün	150	150	150	150	150	150
Dağılma						
Zamani(sn)						
Kapsülün	Renk ya da şekil değişimi yoktur.	Renk ya da şekil değişimi yoktur.	Renk ya da şekil değişimi yoktur.	Renk ya da şekil değişimi yoktur.	Renk ya da şekil değişimi yoktur.	Renk ya da şekil değişimi yoktur.
Görünüşü						

(*Teorikte olması gereken 36.5 µg/mL'dir. Seyreleme faktörü 2174'dür)

Tablo 64 : F9A Avicel formülasyonunun 6-12. Ay stabilite bulguları

Ölçülen	6.Ay		9. Ay		12. Ay	
Parametre	%25±5C°	%40±5C°	%25±5C°	%40±5C°	%25±5C°	%40±5C°
	%60±5	%75±5	%60±5	%75±5	%60±5	%75±5
Miktar Tayini	12.83±	12.96±	12.42± 0.87	12.65±	12.22±	12.03±
($\mu\text{g/mL}$) *	1.62	0.64		0.90	1.85	0.27
Damlacık	218.8±17.8	260.3±	200.4±10.62	215.7±	203.1±	226.8±
Boyutu(nm)		26.4		12.9	16.1	9.26
Kapsülün	150	150	150	150	150	150
Dağılma Zamanı(sn)						
Kapsülün Görünüşü	Renk ya da şekil değişimi yoktur.	Renk ya da değişimi yoktur.	Renk ya da şekil değişimi yoktur.	Renk ya da değişimi yoktur.	Renk ya da değişimi yoktur.	Renk ya da değişimi yoktur.

(*Teorikte olması gereken 36.5 $\mu\text{g/mL}$ 'dir. Seyreltme faktörü 2174'dür)

Tablo 65 : F9A HPMC formülasyonunun 0-6. Ay stabilité bulguları.

Ölçülen	0. Ay		1.Ay		3.Ay	
Parametre	%25±5C°	%40±5C°	%25±5C°	%40±5C°	%25±5C°	%40±5C°
	%60±5	%75±5	%60±5	%75±5	%60±5	%75±5
Miktar Tayini	19.678±	19.678±	14.944±	15.23±	13.14±	12.276±
($\mu\text{g/mL}$) *	2.49	2.49	0.92	0.53	1.68	2.01
Damlacık	293.2±	293.2±	261.9±	262.3±	274.7±	243.0±
Boyutu(nm)	21.56	21.56	15.95	18.25	14.21	23.3
Kapsülün	180	180	180	180	180	180
Dağılma						
Zamani(sn)						
Kapsülün	Renk ya	Renk ya				
Görünüşü	da şekil değişimi yoktur.	da şekil değişimi yoktur.				

(*Teorikte olması gereken 32 $\mu\text{g/mL}$ 'dir. Seyreleme faktörü 2500'dür.)

Tablo 66 : F9A HPMC formülasyonunun 6-12. Ay stabilité bulguları.

Ölçülen	6.Ay		9. Ay		12. Ay	
Parametre	%25±5°C°	%40±5°C°	%25±5°C°	%40±5°C°	%25±5°C°	%40±5°C°
	%60±5	%75±5	%60±5	%75±5	%60±5	%75±5
Miktar Tayini	13.10±	12.19±	13.05±	12.98±	13.16±	12.78±
($\mu\text{g/mL}$) *	1.24	0.92	1.62	0.83	1.21	0.99
Damlacık	231.8±	191.9±	242.8±	203.2±	236.1±	195.9±
Boyutu(nm)	22.6	15.7	12.4	16.4	17.2	18.1
Kapsülün	150	150	150	150	150	150
Dağılma Zamanı (sn)						
Kapsülün Görünüşü	Renk ya da şekil değişimi yoktur.	Renk ya da şekil değişimi yoktur.	Renk ya da değişimi yoktur.	Renk ya da değişimi yoktur.	Renk ya da şekil değişimi yoktur.	Renk ya da şekil değişimi yoktur.

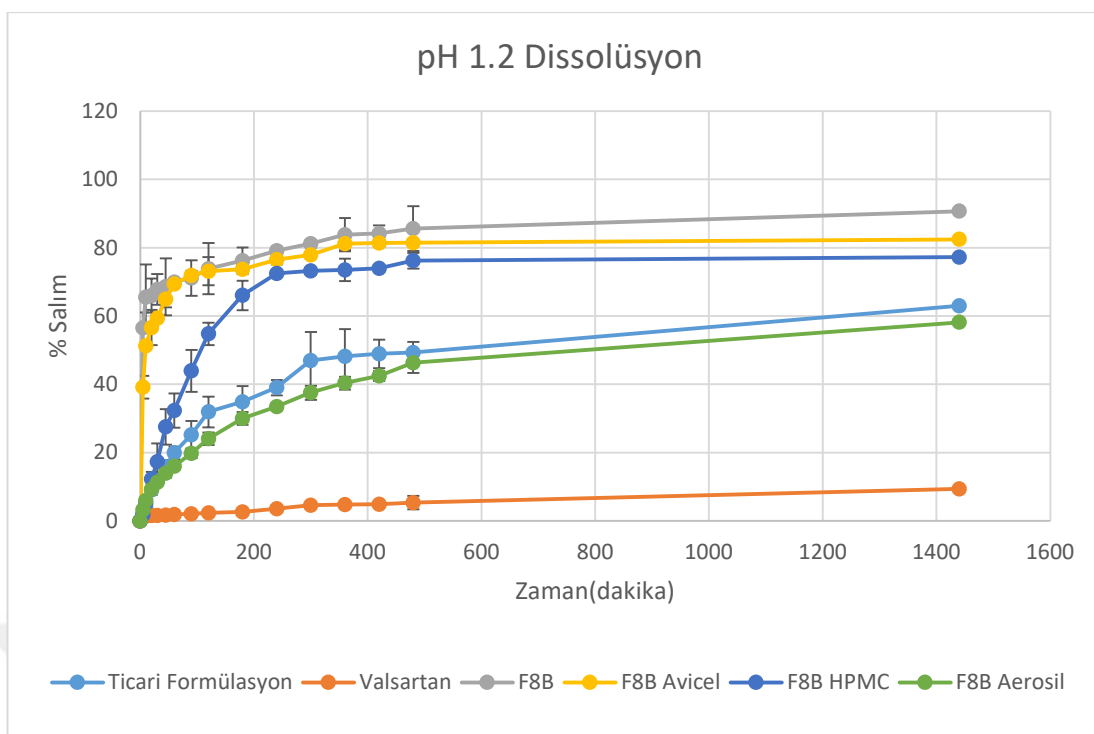
(*Teorikte olması gereken 32 $\mu\text{g/mL}$ 'dir. Seyreleme faktörü 2500'dür.)

4.7. *In Vitro* Salım Çalışmaları

Yöntem 3.2.7'de anlatıldığı gibi geliştirilen lipid bazlı formülasyonlarının, ticari formülasyonun ve etkin maddenin *in vitro* salım çalışmaları döner palet yöntemi ile 1000 mL ortamda (pH 1.2, pH 4.6, pH 6.8) $37\pm1^\circ\text{C}$ 'de 50 rpm'de yapıldı. Her bir formülasyon için 3 paralel salım çalışması yapıldı. Yapılan çalışmaların sonuçları Tablo 67-72'de ve Şekil 21-26'da gösterilmiştir.

Tablo 67 : Ticari formülasyon, Valsartan, F8B, F8B Avicel, F8B HPMC, F8B Aerosil formülasyonlarının pH 1.2'deki dissolüsyon sonuçları (%) (ortalama±SS).

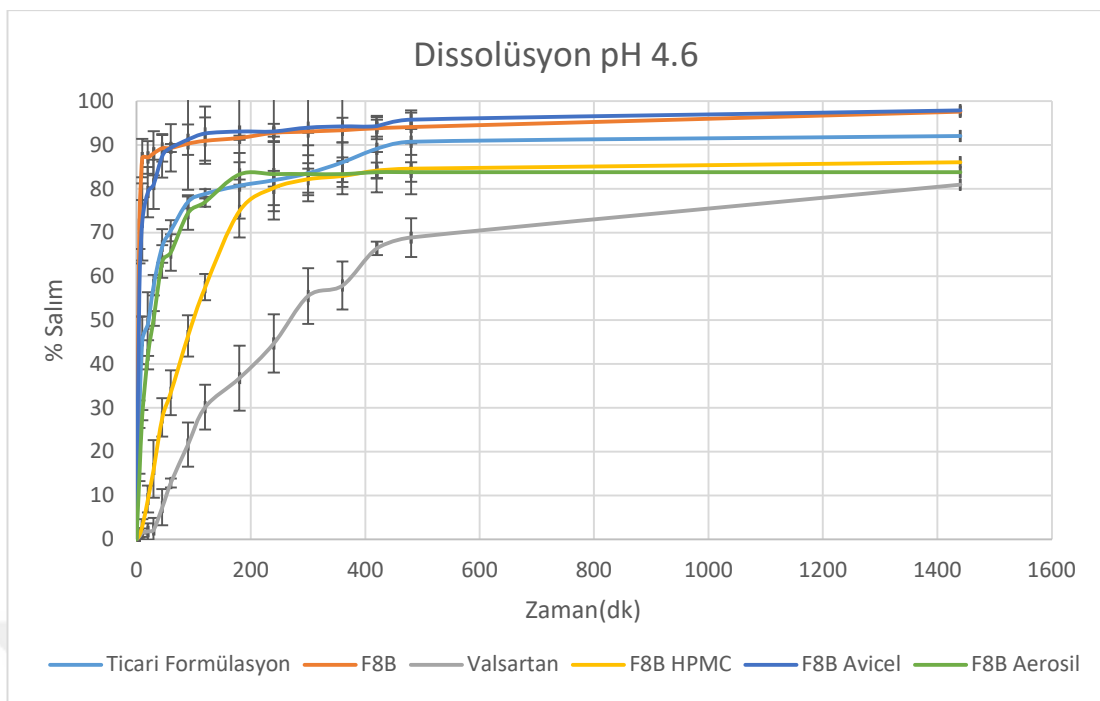
Zaman (dk)	Ticari formülasyon (%)	Valsartan (%)	F8B (%)	F8B Avicel (%)	F8B HPMC (%)	F8B Aerosil (%)
0	0	0	0	0	0	0
5	2.035± 0.345	1.195± 0.61	56.511± 0.325	39.193± 2.209	1.738± 0.499	3.262± 0.376
10	3.646± 0.362	1.411± 0.109	65.549± 4.588	51.230± 3.34	5.150± 0.947	6.042± 0.593
20	9.089± 0.799	1.549± 0.058	66.038± 9.573	56.664± 0.785	12.319± 1.82	9.325± 1.3
30	11.802± 0.57	1.625± 0.059	67.798± 4.954	59.300± 5.166	17.303± 2.094	11.294± 1.647
45	15.837± 1.033	1.702± 0.164	68.585± 4.502	64.926± 0.753	27.539± 5.408	13.958± 0.956
60	19.948± 1.97	1.894± 0.059	69.921± 8.373	69.325± 2.318	32.349± 5.195	16.028± 1.294
90	25.258± 1.888	2.066± 0.18	71.170± 0.22	71.946± 0.659	43.965± 4.988	19.766± 1.071
120	31.918± 4.04	2.296± 0.160	73.887± 5.199	73.154± 1.299	54.795± 6.131	24.050± 1.366
180	34.870± 4.498	2.660± 0.188	76.226± 7.494	73.667± 4.088	66.076± 3.317	30.030± 1.837
240	39.049± 4.595	3.590± 0.208	79.091± 3.877	76.459± 0.967	72.421± 4.317	33.500± 1.90
300	46.994± 2.248	4.606± 0.23	81.199± 1.298	77.898± 1.299	73.23± 0.619	37.564± 1.118
360	48.183± 8.352	4.794± 0.311	83.806± 1.112	81.147± 0.0199	73.513± 0.199	40.381± 2.046
420	48.949± 8.04	4.855± 0.493	84.223± 4.876	81.353± 1.83	73.973± 3.277	42.499± 1.883
480	49.294± 4.18	5.354± 0.342	85.618± 2.358	81.506± 1.039	76.187± 0.47	46.271± 1.458
1440	62.999± 3.158	9.417± 1.976	90.736± 6.595	82.484± 0.599	77.251± 2.278	58.188± 2.938



Şekil 21 : Ticari formülasyon, Valsartan, F8B, F8B Avicel, F8B HPMC, F8B Aerosil formülasyonlarının pH 1.2'deki dissolüsyon grafiği.

Tablo 68 : Ticari formülasyon, Valsartan, F8B, F8B Avicel, F8B HPMC, F8B Aerosil formülasyonlarının pH 4.6'daki dissolüsyon sonuçları (%) (ortalama±SS).

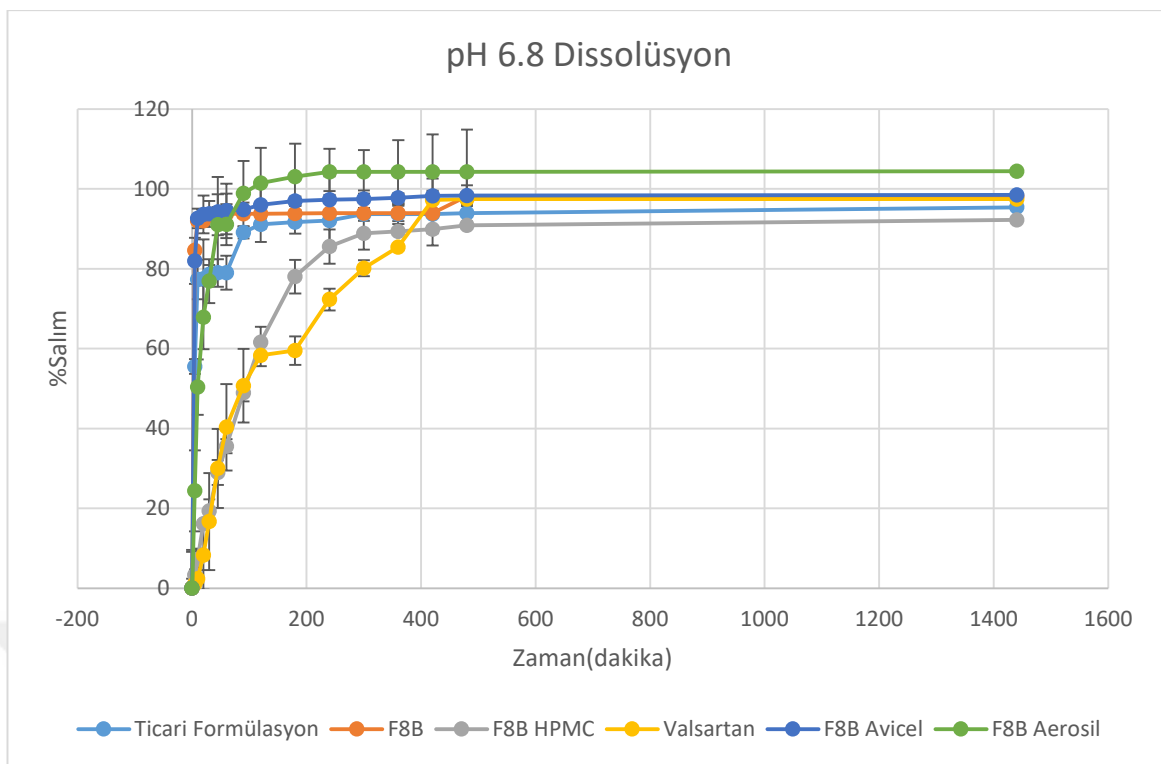
Zaman	Ticari	Valsartan	F8B	F8B Avicel	F8B HPMC	F8B Aerosil
(dk)	formülasyon (%)	(%)	(%)	(%)	(%)	(%)
0	0	0	0	0	0	0
5	28.588± 25.959	0.654± 0.122	71.855± 2.583	56.923± 23.182	1.0155± 0.449	14.180± 1.424
10	45.423± 3.173	1.556± 0.828	87.022± 5.615	72.437± 6.035	2.986± 0.625	28.372± 0.83
20	49.169± 5.467	1.825± 0.948	87.161± 4.376	79.265± 14.788	9.222± 1.65	42.139± 1.142
30	58.033± 7.254	2.255± 1.874	88.132± 3.697	81.055± 5.735	16.114± 3.06	50.401± 3.3305
45	66.951± 2.316	7.389± 2.676	89.260± 5.03	87.554± 11.615	27.854± 6.596	63.426± 1.672
60	70.439± 1.84	12.885± 4.138	89.326± 3.017	89.358± 4.962	33.479± 4.401	65.489± 3.761
90	77.045± 2.433	21.659± 0.989	90.324± 0.939	91.218± 1	46.441± 0.426	74.436± 4.161
120	78.866± 1.515	30.204	90.993± ±5.0268	92.624± 12.53	57.59± 4.70	77.045± 3.795
180	80.713± 1.08	36.809± 5.13	91.625± 5.293	93.101± 6.175	74.954± 3.00	83.297± 1.099
240	81.961± 12.469	44.719± 7.411	92.75± 0.479	93.115± 10.951	80.190± 6.031	83.400± 2.798
300	83.557± 28.944	55.544± 6.654	93.048± 2.098	93.985± 12.569	82.179± 3.899	83.400± 8.483
360	86.074± 6.417	57.949± 6.38	93.394± 0.239	94.245± 9.402	82.956± 3.63	84.400± 4.276
420	89.136± 4.537	66.442± 5.458	93.838± 2.818	94.296± 12.13	84.178± 4.196	83.830± 2.93
480	90.759± 11.670	68.875± 1.533	94.077± 2.532	95.788± 2.394	84.596± 1.838	83.830± 4.596
1440	92.06± 3.028	80.958± 14.39	97.58± 3.305	97.90± 2.109	86.06± 5.81	83.830± 2.24



Şekil 22 : Ticari formülasyon, Valsartan, F8B, F8B Avicel, F8B HPMC, F8B Aerosil formülasyonlarının pH 4.6'daki dissolüsyon grafiği.

Tablo 69 : Ticari formülasyon, Valsartan, F8B, F8B Avicel, F8B HPMC, F8B Aerosil formülasyonlarının pH 6.8'deki dissolüsyon sonuçları (%) (ortalama±SS).

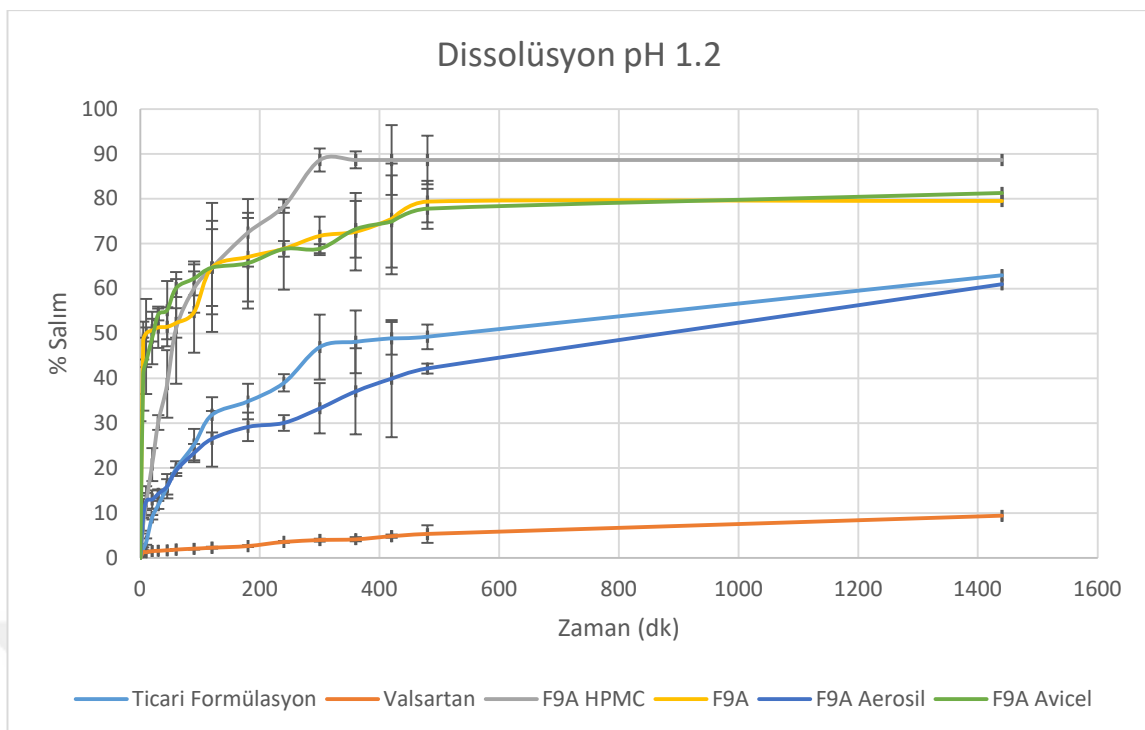
Zaman (dk)	Ticari formülasyon (%)	Valsartan (%)	F8B (%)	F8B Avicel (%)	F8B HPMC (%)	F8B Aerosil (%)
0	0	0	0	0	0	0
5	55.55± 2.387	1.064± 0.543	84.605± 12.646	82.014± 9.109	3.353± 0.882	24.40± 0.979
10	77.304± 1.83	2.383± 1.379	92.033± 0.419	92.640± 5.785	7.272± 1.336	50.361± 10.11
20	77.501± 4.941	8.281± 4.528	92.033± 0.579	93.643± 2.458	16.156± 2.68	67.869± 15.927
30	78.651± 9.871	16.730± 8.599	93.446± 0.419	93.770± 4.756	19.349± 0.604	76.94± 25.959
45	78.979± 2.357	30.004± 12.129	93.542± 1.086	94.273± 3.277	29.005± 2.954	91.055± 32.494
60	79.046± 3.437	40.357± 14.903	93.757± 5.136	94.545± 1.199	35.589± 3.107	91.10± 29.956
90	89.136± 4.211	50.747± 10.826	93.757± 5.096	94.837± 6.814	48.919± 1.789	98.872± 41.146
120	91.151± 1.464	58.321± 9.19	93.756± 0.925	96.046± 1.778	61.599± 2.102	101.48± 44.16
180	91.656± 4.416	59.532± 2.698	93.85± 2.997	96.964± 5.915	78.029± 3.877	103.07± 44.84
240	92.075± 2.794	72.348± 3.537	93.914± 1.958	97.289± 1.139	85.603± 4.197	104.28± 44.3
300	93.658± 7.44	80.177± 2.7178	93.914± 0.479	97.455± 5.872	88.895± 4.296	104.284± 32.773
360	93.659± 1.62	85.439± 1.978	93.914± 0.16	97.752± 2.218	89.334± 4.037	104.284± 32.454
420	93.695± 2.437	97.190± 0.599	93.914± 1.938	98.292± 1.159	89.899± 0.5	104.289± 37.969
480	93.963± 4.776	97.473± 2.358	98.208± 0.0489	98.323± 4.356	90.869± 4.027	104.284± 39.423
1440	95.419± 2.066	97.473± 6.953	98.208± 0.799	98.511± 2.587	92.282± 0.648	104.453± 43.642



Şekil 23 : Ticari formülasyon, Valsartan, F8B, F8B Avicel, F8B HPMC, F8B Aerosil formülasyonlarının pH 6.8'deki dissolüsyon grafiği.

Tablo 70 : Ticari formülasyon, Valsartan, F9A, F9A HPMC, F9A Aerosil, F9A Avicel formülasyonlarının pH 1.2'deki dissolüsyon sonuçları (%) (ortalama±SS).

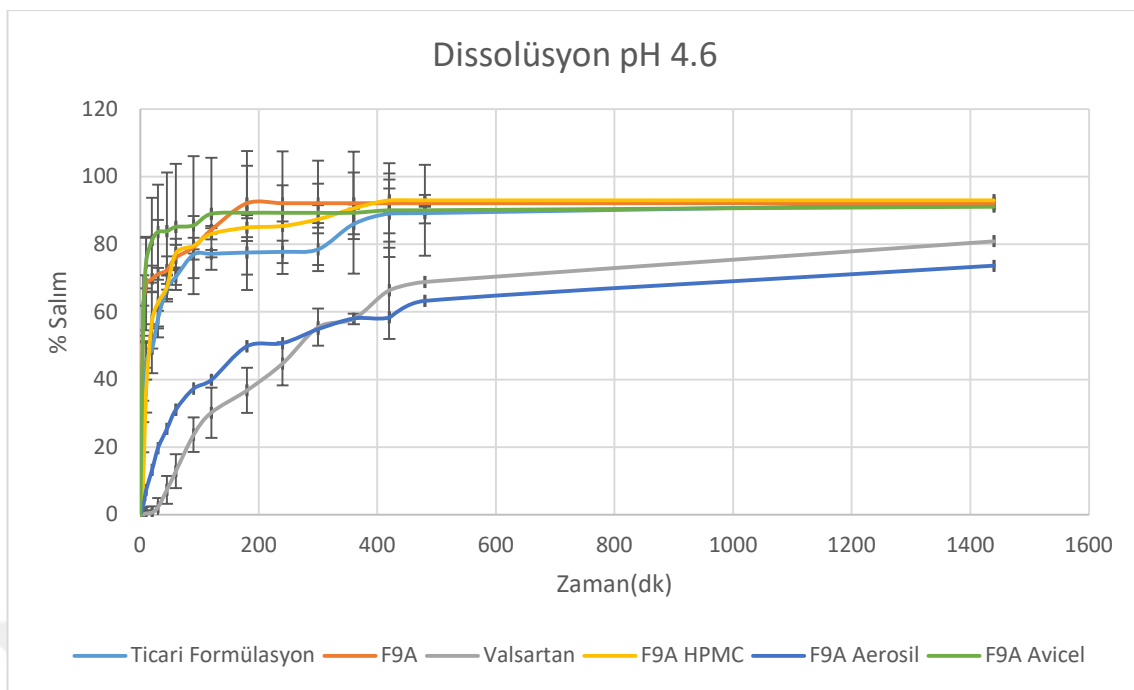
Zaman (dk)	Ticari formülasyon (%)	Valsartan (%)	F9A (%)	F9A Avicel (%)	F9A HPMC (%)	F9A Aerosil (%)
0	0	0	0	0	0	0
5	2.035± 0.345	1.195± 0.61	48.451± 13.927	40.974± 30.447	7.479± 2.236	9.281± 2.594
10	3.646± 0.362	1.41± 0.109	50.119± 4.219	43.942± 8.129	12.578± 1.426	12.73± 3.867
20	9.089± 0.799	1.549± 0.058	50.751± 7.602	49.045± 7.415	20.839± 1.915	13.062± 3.296
30	11.802± 0.57	1.625± 0.059	51.394± 2.53	54.269± 5.853	30.184± 3.67	14.284± 2.033
45	15.837± 1.033	1.702± 0.164	51.518± 4.593	55.208± 1.32	38.771± 1.625	15.989± 1.015
60	19.948± 1.97	1.894± 0.059	52.366± 4.325	60.163± 6.500	51.259± 7.523	19.526± 2.708
90	25.257± 1.889	2.066± 0.18	54.796± 3.294	62.274± 2.021	60.04786± 12.464	23.389± 0.636
120	31.918± 4.04	2.297± 0.160	64.734± 9.064	64.725± 3.779	64.729± 5.358	26.561± 2.032
180	34.870± 4.499	2.660± 0.188	67.058± 14.387	65.702± 10.408	72.488± 8.58	29.216± 6.218
240	39.049± 4.594	3.590± 0.208	68.942± 9.887	68.884± 10.100	78.415± 7.53	30.107± 3.174
300	46.994± 2.248	4.606± 0.23	71.779± 19.138	68.927± 1.761	88.694± 1.505	33.356± 1.739
360	48.183± 8.352	4.794± 0.311	72.708± 22.313	73.260± 0.99	88.694± 2.551	37.142± 5.592
420	48.949± 8.04	4.855± 0.493	75.564± 8.664	75.008± 6.310	88.694± 1.897	39.979± 9.590
480	49.295± 4.18	5.354± 0.342	79.417± 12.362	77.811± 10.280	88.694± 7.749	42.231± 13.05
1440	62.999± 3.157	9.417± 1.976	79.570± 4.605	81.324± 4.477	88.694± 5.401	60.987± 1.11



Şekil 24 : Ticari formülasyon, Valsartan, F9A, F9A HPMC, F9A Aerosil, F9A Avicel formülasyonlarının pH 1.2'deki dissolüsyon grafiği.

Tablo 71 : Ticari formülasyon, Valsartan, F9A, F9A HPMC, F9A Aerosil, F9A Avicel formülasyonlarının pH 4.6'daki dissolüsyon sonuçları (%) (ortalama±SS).

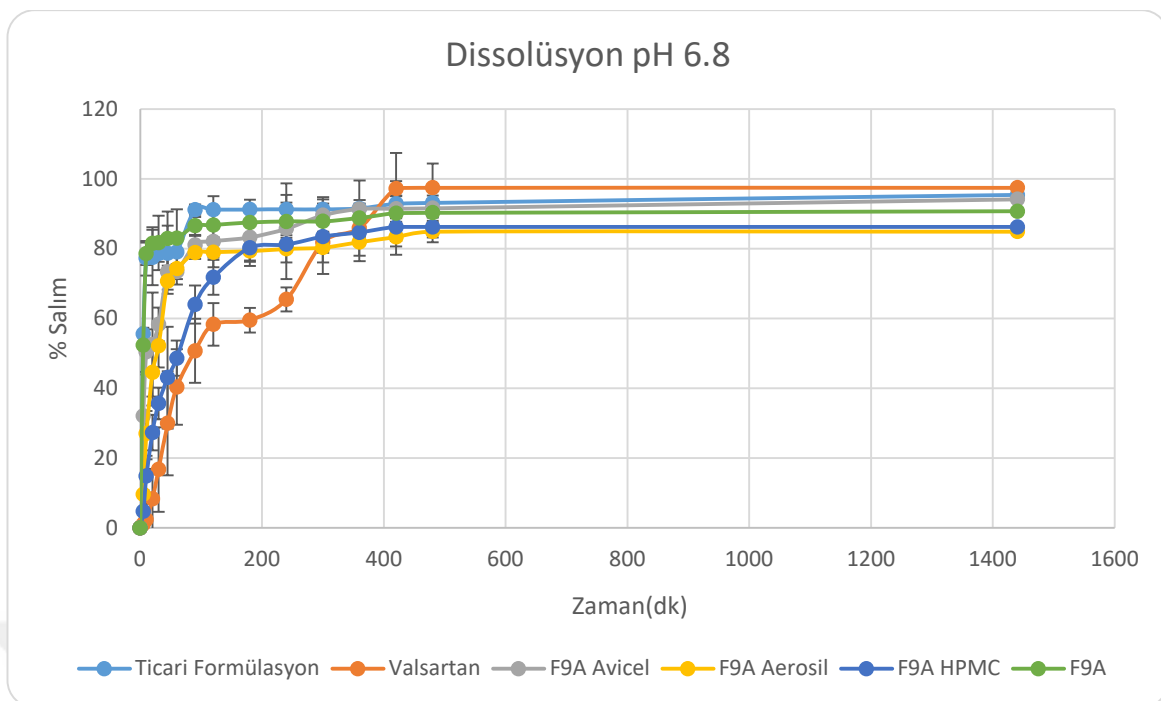
Zaman (dk)	Ticari formülasyon (%)	Valsartan (%)	F9A (%)	F9A Avicel (%)	F9A HPMC (%)	F9A Aerosil (%)
0	0	0	0	0	0	0
5	28.588± 25.959	0.654± 0.122	61.146± 5.707	57.394± 1.417	10.406± 4.396	2.579± 1.933
10	45.423± 3.173	1.556± 0.828	68.283± 9.763	74.630± 1.181	36.865± 8.110	7.362± 4.463
20	49.169± 5.467	1.825± 0.948	69.785± 13.705	81.254± 4.579	57.598± 6.599	13.357± 7.608
30	58.033± 7.254	2.255± 1.874	71.198± 3.932	83.650± 5.287	62.779± 8.427	19.722± 12.52
45	66.951± 2.316	7.389± 2.676	72.394± 16.067	83.931± 6.521	67.432± 10.287	25.449± 14.064
60	70.439± 1.84	12.885± 4.138	76.101± 4.112	85.191± 10.129	77.415± 3.59	31.111± 17.355
90	77.045± 2.433	21.659± 0.989	79.19± 3.732	85.676± 7.350	79.626± 4.293	37.356± 18.643
120	78.866± 1.515	30.204 ±5.0268	84.298± 9.215	89.049± 8.523	83.123± 2.297	39.937± 20.402
180	80.713± 1.08	36.809± 5.13	92.152± 1.145	89.386± 9.946	84.945± 1.653	49.836± 16.584
240	81.961± 12.469	44.719± 7.411	92.152± 11.112	89.386± 9.054	85.445± 2.761	50.779± 18.274
300	83.557± 28.944	55.544± 6.654	92.152± 5.355	89.386± 1.943	87.453± 0.049	54.933± 18.108
360	86.075± 6.417	57.949± 6.38	92.152± 5.830	89.386± 9.806	90.6432± 4.188	58.060± 15.435
420	89.136± 4.537	66.442± 5.458	92.152± 9.165	90.131± 2.113	93.068± 1.125	58.403± 18.043
480	90.759± 11.670	68.876± 1.533	92.152± 8.850	90.131± 5.652	93.068± 3.437	63.278± 13.876
1440	92.060± 3.028	80.958± 14.39	92.152± 0.979	91.186± 6.036	93.068± 1.578	73.677± 13.444



Şekil 25 : Ticari formülasyon, Valsartan, F9A, F9A HPMC, F9A Aerosil, F9A Avicel formülasyonlarının pH 4.6'daki dissolüsyon grafiği.

Tablo 72 : Ticari formülasyon, Valsartan, F9A, F9A HPMC, F9A Aerosil, F9A Avicel formülasyonlarının pH 6.8'deki dissolüsyon sonuçları (%) (ortalama±SS).

Zaman (dk)	Ticari formülasyon (%)	Valsartan (%)	F9A (%)	F9A (%)	Avicel (%)	F9A (%)	HPMC (%)	F9A (%)	Aerosil (%)
0	0	0	0	0	0	0	0	0	0
5	55.552± 2.387	1.064± 0.543	52.387± 7.21	32.095± 19.314		4.738± 1.597	9.618± 8.978		
10	77.304± 1.83	2.383± 1.379	78.566± 2.791	50.427± 12.645		14.837± 6.124	27.083± 3.821		
20	77.501± 4.941	8.280± 4.528	81.591± 3.203	52.566± 6.497		27.328± 4.809	44.586± 6.381		
30	78.651± 9.871	16.730± 8.599	81.711± 4.618	58.312± 14.937		35.646± 5.082	52.169± 9.539		
45	78.979± 2.357	30.004± 12.129	82.911± 7.790	73.404± 4.823		43.060± 4.542	70.719± 6.19		
60	79.046± 3.437	40.357± 14.903	83.031± 7.745	73.451± 5.156		48.618± 14.559	74.270± 3.647		
90	89.136± 4.211	50.747± 10.826	86.564± 8.239	81.124± 2.129		64.039± 5.053	78.839± 4.511		
120	91.151± 1.464	58.321± 9.19	86.807± 2.588	82.113± 2.602		71.793± 5.449	79.018± 1.721		
180	91.656± 4.416	59.532± 2.698	87.553± 3.67	83.257± 4.631		80.262± 5.020	79.329± 4.293		
240	92.075± 2.794	72.348± 3.537	87.830± 3.469	85.744± 8.168		81.232± 3.981	79.951± 2.700		
300	93.658± 7.44	80.177± 2.7178	87.859± 5.376	89.616± 9.66	83.474± 1.89	80.332± 8.626			
360	93.659± 1.62	85.439± 1.978	88.824± 6.923	91.368± 0.631		84.692± 10.664	81.873± 4.271		
420	93.695± 2.437	97.190± 0.599	90.209± 3.466	91.4875± 8.159		86.225± 8.25	83.361± 3.873		
480	93.963± 4.776	97.473± 2.358	90.313± 1.434	91.594± 3.792		86.225± 5.540	84.934± 1.122		
1440	95.419± 2.066	97.473± 6.953	90.746± 2.732	94.166± 2.623		86.224± 3.021	84.934± 3.069		



Şekil 26 : Ticari formülasyon, Valsartan, F9A, F9A HPMC, F9A Aerosil, F9A Avicel formülasyonlarının pH 6.8'deki dissolüsyon grafiği.

4.7.1. *In Vitro* Salım Çalışmalarının Kinetik Değerlendirilmesi

Yöntem 3.2.7.1'de anlatıldığı gibi Valsartan etkin maddesinin ve ticari formülasyonunun salım çalışması sonrası hesaplanan % salım değerleri kinetik eşitlikler kullanılarak modellemeler yapılmıştır (Ege et al., 2001). Tablo 73-78'de tüm kinetik çalışmalar gösterilmiştir.

Tablo 73 : Ticari formülasyon, Valsartan, F8B, F8B Avicel, F8B HPMC ve F8B Aerosil formülasyonlarının pH 1.2'de salım kinetiği değerlendirme bulguları

	Ticari formülasyon	Valsartan	F8B	F8B Avicel	F8B HPMC	F8B Aerosil
Sifirinci	y=2.477x+19.533	y=0.354x+1.774	y=1.208x-69.590	y=1.25x+64.072	y=2.967x-34.661	y=2.282x+16.51
Derece	r ² =0.618	r ² =0.931	r ² =0.352	r ² =0.352	r ² =0.397	0
	res/n-2=590.494	res/n-2=3.999	res/n-2=4850.74	res/n-2=4850.74	res/n-2=1917.27	r ² =0.701
						res/n-2=402.488
Birinci	y=-0.041x+4.384	y=-0.004x+4.587	y=-0.061x+3.415	y=-0.043x+3.532	y=-0.064x+4.092	y=-0.036x+4.427
Derece	r ² =0.734	r ² =0.938	r ² =0.792	r ² =2.458	r ² =0.473	r ² =0.799
	res/n-2=112.584	res/n-2=0.335	res/n-2=24.262	res/n-2=104.401	res/n-2=471.317	res/n-2=61.812
Higuchi	y=14.779x+5.088	y=1.807x+0.223	y=7.172x-62.605	y=8.407x+55.182	y=19.746x+13.913	y=13.144x+3.99
	r ² =0.885	r ² =0.975	r ² =0.711	r ² =0.641	r ² =0.7067	5
	res/n-2=45.302	res/n-2=1.132	res/n-2=12.142	res/n-2=63.105	res/n-2=258.259	r ² =0.936
						res/n-2=18.929
Langen -bucher	y=0.051x-0.118	y=0.004x-0.008	y=0.050x+0.144	y=0.0548x+0.084	y=0.089x-0.197	y=0.043x-0.096
	r ² =0.947	r ² =0.738	r ² =0.926	r ² =0.966	r ² =0.924	r ² =0.915
	res/n-2=26.629	res/n-2=1.396	res/n-2=8.051	res/n-2=4.092	res/n-2=74.352	res/n-2=28.839
Hixon	y=0.053x+0.329	y=0.006x+0.027	y=0.054x+1.523	y=0.044x+1.378	y=0.075x+0.689	y=0.047x+0.269
Crowel	r ² =0.694	r ² = 0.935	r ² =0.733	r ² = 0.423	r ² =0.447	r ² =0.766
	res/n-2=465.746	res/n-2=3.849	res/n-2=4520.152	res/n-2= 4115.008	res/n-2=1478.334	res/n-2=317.995
	y= 0.703x-1.718	y=0.373x-3.782	y=0.174x+ 0.242	y=0.223x+0.056	y=0.822x-1.201	y= 0.586x-1.747
RRSBW	r ² = 0.954	r ² = 0.909	r ² =0.949	r ² = 0.937	r ² =0.904	r ² =0.989
	res/n-2= 36.247	res/n-2=0.567	res/n-2=4.933	res/n-2= 8.911	res/n-2=92.25	res/n-2= 7.649
M.	y= 0.112x+0.112	y=0.038x+0.130	y=0.024x+0.796	y=0.0356x+0.717	y=0.132x-0.119	y=0.096x+0.164
Langen- bucher	r ² =0.979	r ² =0.867	r ² =0.964	r ² =0.907	r ² =0.921	r ² =0.994
	res/n-2=25.319	res/n-2= 0.770	res/n-2= 3.149	res/n-2=17.834	res/n-2=230.94	res/n-2=4.31
Hopfen- berg	y=-0.0003x+0.896	y=0.991	y=-0.0002x+ 0.551	y=-0.0002x+ 0.592	y=-0.0004x+ 0.792	y=-0.0002x- 0.914
	r ² =0.675	r ² =0.934	r ² =0.704	r ² = 0.405	r ² = 0.434	r ² =0.750
	res/n-2=127.449	res/n-2=0.352	res/n-2=28.824	res/n-2= 106.016	res/n-2= 468.763	res/n-2=72.793
BTa	y=0.675x-5.628	y=0.371x-6.406	y=0.136x-1.623	y=0.186x-1.985	y=0.767x-5.54	y= 0.563x-5.192
	r ² =0.947	r ² =0.910	r ² =0.957	r ² = 0.924	r ² = 0.890	r ² = 0.986
	res/n-2=54.589	res/n-2= 0.564	res/n-2=4.071	res/n-2=11.430	res/n-2=114.077	res/n-2=12.612
Peppas	y=0.621x+0.087	y=0.367x-0.301	y=0.079x+1.711	y=0.126x+1.581	y=0.672x+0.164	y= 0.518x+ 0.266
	r ² =0.929	r ² = 0.911	r ² =0.964	r ² = 0.888	r ² = 0.859	r ² = 0.978
	res/n-2=200.779	res/n-2=0.557	res/n-2=3.001	res/n-2= 22.966	res/n-2= 1161.396	res/n-2=38.873

Tablo 74 : Ticari formülasyon, Valsartan, F8B, F8B Avicel, F8B HPMC ve F8B Aerosil formülasyonlarının pH 4.6'da salım kinetiği değerlendirme bulguları.

Ticari Formülasyon	Valsartan	F8B	F8B Avicel	F8B HPMC	F8B Aerosil
Sifirinci	y=1.858x+64.075	y=3.721x+16.936	y=0.559x+87.663	y=0.932x+83.588	y=3.463x+36.699
Derece	r ² =0.359	r ² =0.641	r ² =0.342	r ² =0.266	r ² =0.398
	res/n-2=4982.08	res/n-2=638.072	res/n-2=8891.00	res/n-2=8457.29	res/n-2=2274.26
Birinci	y=-0.083x+3.482	y=-0.076x+4.425	y=-0.076x+2.491	y=-0.101x-2.654	y=-0.089x+4.004
Derece	r ² =0.574	r ² =0.807	r ² =0.755	r ² =0.6122	r ² =0.494
	res/n-2=219.031	res/n-2=169.743	res/n-2=21.186	res/n-2=10.410	res/n-2=653.752
Higuchi	y=12.421x+50.988	y=21.858x-4.186	y=3.506x+84.119	y=6.421x+76.705	y=23.034x+12.506
	r ² =0.648	r ² =0.889	r ² =0.5403	r ² =0.506	r ² =0.708
	res/n-2=135.617	res/n-2=94.381	res/n-2=16.676	res/n-2=64.112	res/n-2=349.767
Langen- bucher	y=0.088x+0.031	y=0.080x-0.229	y=0.047x+0.33	y=0.078x+0.169	y=0.114x-0.272
	r ² =0.978	r ² =0.855	r ² =0.887	r ² =0.958	r ² =0.908
	res/n-2=5.575	res/n-2=189.632	res/n-2=6.403	res/n-2=7.131	res/n-2=151.385
Hixon	y=0.075x+ 1.417	y=0.091x+0.279	y=0.047x+2.349	y=0.066x+2.190	y=0.098x+0.774
Crowel	r ² = 0.497	r ² = 0.749	r ² =0.609	r ² =0.470	r ² = 0.460
	res/n-2= 3755.32	res/n-2= 374.49	res/n-2=7280.89	res/n-2=6283.856	res/n-2= 1588.527
	y=0.353x+0.076	y=1.128x-2.245	y=0.137x+0.794	y=0.240x+0.677	y=0.997x-1.251
RRSBW	r ² =0.946	r ² = 0.955	r ² =0.868	r ² =0.932	r ² =0.907
	res/n-2=14.41	res/n-2= 45.469	res/n-2=6.808	res/n-2=9.781	res/n-2= 92.747
M.	y=0.053x+0.641	y= 0.162x-0.148	y=0.012x+0.910	y=0.025x+0.841	y=0.151x+0.036
Langen- bucher	r ² =0.891	r ² = 0.951	r ² =0.740	r ² =0.798	r ² =0.919
	res/n-2=48.228	res/n-2= 88.280	res/n-2=8.816	res/n-2=26.205	res/n-2= 371.846
Hopfen- berg	y=-0.0003x+0.584	y=-0.0004x-0.911	y=-0.0002x+0.347	y=-0.0002x+0.388	y=-0.0004x+0.77
	r ² =0.46	r ² = 0.721	r ² =0.536	r ² =0.408	r ² =0.444
	res/n-2=218.868	res/n-2= 219.836	res/n-2=22.185	res/n-2=89.485	res/n-2= 617.303
BTa	y=0.289x-2.406	y=1.08x -7.822	y=0.092x-1.034	y=0.169x-1.444	y=0.924x-6.249
	r ² =0.924	r ² = 0.948	r ² =0.839	r ² =0.894	r ² =0.889
	res/n-2=20.632	res/n-2= 57.464	res/n-2=7.354	res/n-2=13.109	res/n-2= 201.824
Peppas	y=0.192x+1.454	y= 0.995x- 0.814	y=0.037x+1.878	y=0.079x+1.778	y=0.801x-0.108
	r ² =0.860	r ² = 0.932	r ² =0.727	r ² =0.779	r ² =0.85
	res/n-2=72.089	res/n-2= 1385.316	res/n-2=9.034	res/n-2=29.197	res/n-2= 2633.229
					res/n-2= 267.321

Tablo 75 : Ticari formülasyon, Valsartan, F8B, F8B Avicel, F8B HPMC ve F8B Aerosil formülasyonlarının pH 6.8'de salım kinetiği değerlendirme bulguları.

	Ticari formülasyon	Valsartan	F8B	F8B Avicel	F8B HPMC	F8B Aerosil
Sifirinc	y=0.965x+81.357	y=4.034x+36.134	y=0.308x+92.222	y=0.330x+93.696	y=3.622x+40.452	y=1.568x+80.255
1 Derece	r ² =0.289	r ² =0.482	r ² =0,381	r ² =0.238	r ² =0.409	r ² =0.166
	res/n-2=7727.69	res/n-2=2200.23	res/n-2=9819.50	res/n-2=10143.45	res/n-2=2639.99	res/n-2=7897.00
Birinci	y=-0.077x+2.779	y=-0.178x+4.063	y=-0.069x+2.046	y=-0.079x+1.692	y=-0.012x+3.901	y=-0.368x+0.388
Derece	r ² =0.476	r ² =0.651	r ² =0.615	r ² =0.503	r ² =0.535	r ² =0.326
	res/n-2=87.185	res/n-2=509.923	res/n-2=5.637	res/n-2=13.475	res/n-2=693.962	res/n-2=721.547
Higuchi	y=6.602x+74.304	y=25.637x+9.966	y=1.793x+90.503	y=2.2697x+91.266	y=23.944x+15.394	y=11.620x+62.17
	r ² =0.546	r ² =0.783	r ² =0.518	r ² =0.452	r ² =0.719	r ² =0.386
	res/n-2=57.816	res/n-2=290.976	res/n-2=4.778	res/n-2=9.952	res/n-2=347.644	res/n-2=342.350
Langen	y=0.072x+0.169	y=0.148x-0.389	y=0.033x+0.456	y=0.050x+0.420	y=0.132x-0.314	y=0.189x-9.174
-bucher	r ² =0.916	r ² =0.848	r ² =0.653	r ² =0.904	r ² =0.901	r ² =0.878
	res/n-2=13.163	res/n-2=345.552	res/n-2=3.089	res/n-2=3.229	res/n-2=215.048	res/n-2=28.463
Hixon	y=0.058x+ 2.075	y= 0.152x+0.731	y=0.038x+2.666	y=0.041x+ 2.857	y= 0.118x+0.882	y=0.129x+2.707
Crowel	r ² = 0.411	r ² = 0.614	r ² =0.557	r ² = 0.413	r ² = 0.489	r ² =0.281
	res/n-2= 6158.719	res/n-2= 1016.130	res/n-2=8341.453	res/n-2= 8486.278	res/n-2= 1655.01	res/n-2=4956.146
RRSBW	y= 0.223x+0.593	y=1.099x-1.201	y=0.091x+0.984	y=0.140x+ 1.082	y= 0.857x-0.865	y=0.687x+0.968
	r ² = 0.893	r ² = 0.939	r ² =0.653	r ² = 0.898	r ² =0.947	r ² =0.879
	res/n-2= 14.699	res/n-2= 53.788	res/n-2=3.131	res/n-2= 3.237	res/n-2= 36.92	res/n-2=17.832
M.	y= 0.025x+ 0.834	y=0.157x+ 0.016	y=0.005x+0.952	y= 0.008x+0.947	y= 0.135x+ 0.147	y=0.056x+0.686
Langen-	r ² = 0.799	r ² = 0.933	r ² =0.654	r ² = 0.716	r ² = 0.935	r ² =0.684
bucher	res/n-2= 24.541	res/n-2= 311.433	res/n-2=3.402	res/n-2= 5.002	res/n-2= 277.925	res/n-2=212.943
Hopfen-	y=-0.0002x+0.416	y=-0.0006x+ 0.779	y=-0.0001x+0.278	y=-0.0001x+0.241	y=-0.0005x+ 0.741	y=-
berg	r ² = 0.379	r ² = 0.585	r ² =0.518	r ² = 0.366	r ² = 0.468	0.0004x+0.329
	res/n-2= 84.303	res/n-2= 500.375	res/n-2=5.805	res/n-2=13.162	res/n-2= 624.331	r ² =0.247
						res/n-2=511.769
BTa	y= 0.161x-1.469	y= 0.988x-6.489	y=0.055x-0.756	y=0.082x-0.814	y= 0.767x-5.245	y=0.410x-2.421
	r ² = 0.867	r ² = 0.915	r ² =0.667	r ² = 0.857	r ² = 0.933	r ² =0.819
	res/n-2= 16.279	res/n-2= 936.122	res/n-2=3.212	res/n-2= 3.633	res/n-2= 67.058	res/n-2=186.997
Peppas	y= 0.08x+1.767	y=0.826x-0.154	y=0.017x+1.937	y=0.024x+ 1.929	y= 0.623x+ 0.349	y=0.198x+1.518
	r ² = 0.781	r ² = 0.856	r ² =0.651	r ² = 0.708	r ² = 0.896	r ² =0.645
	res/n-2= 26.725	res/n-2= 2868.631	res/n-2=3.416	res/n-2= 5.088	res/n-2= 1146.572	res/n-2=293.119

Tablo 76 : Ticari formülasyon, Valsartan, F9A, F9A Avicel, F9A HPMC ve F9A Aerosil formülasyonlarının pH 1.2'de salım kinetiği değerlendirme bulguları.

	Ticari formülasyon	Valsartan	F9A	F9A Avicel	F9A HPMC	F9A Aerosil
Sifirinci	y=2.477x+19.533	y=0.354x+1.774	y=1.431x+56.567	y=1.473x+56.551	y=3.051x+45.801	y=2.116x+18.257
Derece	r ² =0.618	r ² =0.931	r ² =0.556	r ² =0.539	r ² =0.382	r ² =0.831
	res/n-2=590.494	res/n-2=3.999	res/n-2=3757.02	res/n-2=3763.41	res/n-2=3017.67	res/n-2=420.615
Birinci	y=-0.041x+4.384	y=-0.004x+4.587	y=-0.044+3.756	y=-0.046x+3.759	y=-0.095x+3.827	y=-0.035x+4.414
Derece	r ² =0.734	r ² =0.938	r ² =0.622	r ² =0.674	r ² =0.478	r ² =0.927
	res/n-2=112.584	res/n-2=0.335	res/n-2=50.142	res/n-2=58.377	res/n-2=554.859	res/n-2=20.846
Higuchi	y=14.779x+5.088	y=1.807x+0.223	y=8.684x+47.977	y=9.053x+47.513	y=20.505x+24.13	y=11.487x+7.833
	r ² =0.885	r ² =0.975	r ² =0.823	r ² =0.82	r ² =0.694	r ² =0.985
	res/n-2=45.302	res/n-2=1.132	res/n-2=25.872	res/n-2=28.696	res/n-2=295.838	res/n-2=3.114
Langen- bucher	y=0.051x-0.118	y=0.004x-0.008	y=0.046x+0.075	y=0.049x+0.06	y=0.115x-0.232	y=0.036x-0.064
	r ² =0.947	r ² =0.738	r ² =0.857	r ² =0.971	r ² =0.921	r ² =0.838
	res/n-2=26.629	res/n-2=1.396	res/n-2=26.527	res/n-2=4.507	res/n-2=79.054	res/n-2=33.859
Hixon	y=0.053x+0.329	y=0.006x+0.027	y= 0.046x+ 1.138	y= 0.048x+1.137	y=0.097x+0.984	y= 0.045x+0.293
Crowel	r ² =0.694	r ² = 0.935	r ² = 0.600	r ² = 0.629	r ² =0.451	r ² = 0.894
	res/n-2=465.746	res/n-2=3.849	res/n-2= 3132.43	res/n-2= 3117.487	res/n-2=2101.931	res/n-2= 328.938
RRSBW	y= 0.703x-1.718	y=0.373x-3.782	y= 0.192x-0.116	y= 0.216x-0.126	y=0.672x-0.588	y= 0.394x -1.474
	r ² = 0.954	r ² = 0.909	r ² = 0.875	r ² = 0.985	r ² =0.939	r ² = 0.974
	res/n-2= 36.247	res/n-2=0.567	res/n-2= 17.429	res/n-2= 2.227	res/n-2=32.293	res/n-2= 4.951
M. Langen- bucher	y= 0.112x+0.112	y=0.038x+0.130	y=0.032x+0.707	y=0.036x+0.686	y=0.11x+0.295	y= 0.069x+ 0.311
	r ² =0.979	r ² =0.867	r ² = 0.880	r ² = 0.982	r ² =0.922	r ² = 0.966
	res/n-2=25.319	res/n-2= 0.770	res/n-2= 15.974	res/n-2= 3.398	res/n-2=184.218	res/n-2= 7.085
Hopfen- berg	y=-0.0003x+0.896	y=0.991	y=-0.0002x+ 0.656	y=-0.0002x+0.657	y=-0.0004x+0.709	y= -0.0002x+0.906
	r ² =0.675	r ² =0.934	r ² = 0.656	r ² = 0.606	r ² =0.435	r ² = 0.879
	res/n-2=127.449	res/n-2=0.352	r ² = 0.589	res/n-2= 63.777	res/n-2=514.928	res/n-2= 27.563
BTa	y=0.675x-5.628	y=0.371x-6.406	y= 0.164x- 2.026	y=0.183x-2.125	y=0.594x-4.267	y= 0.374x -4.147
	r ² =0.947	r ² =0.910	r ² = 0.878	r ² = 0.985	r ² =0.925	r ² = 0.978
	res/n-2=54.589	res/n-2= 0.564	res/n-2= 16.405	res/n-2= 2.462	res/n-2=46.424	res/n-2= 4.028
Peppas	y=0.621x+0.087	y=0.367x-0.301	y= 0.111x+ 1.567	y=0.129x+1.531	y=0.469x+0.737	y= 0.336x+ 0.705
	r ² =0.929	r ² =0.911	r ² = 0.883	r ² = 0.978	r ² =0.886	r ² = 0.982
	res/n-2=200.779	res/n-2=0.557	res/n-2= 15.286	res/n-2= 4.711	res/n-2=529.476	res/n-2= 2.384

Tablo 77 : Ticari formülasyon, Valsartan, F9A, F9A Avicel, F9A HPMC ve F9A Aerosil formülasyonlarının pH 4.6'da salım kinetiği değerlendirme bulguları.

Ticari formülasyon	Valsartan	F9A	F9A Avicel	F9A HPMC	F9A Aerosil	
Sifirinci	y=1.858x+64.075	y=3.721x+16.936	y=1.092x+77.221	y=0.638x+81.958	y=1.981x+65.164	y=2.689x+27.700
Derece	r ² =0.359	r ² =0.641	r ² =0.351	r ² =0.196	r ² =0.260	r ² =0.531
	res/n-2=4982.08	res/n-2=638.072	res/n-2=6967.89	res/n-2=7816.66	res/n-2=5342.77	res/n-2=1109.71
Birinci	y=-0.083x+3.482	y=-0.076x+4.425	y=-0.067x+2.988	y=-0.04x+2.799	y=-0.091x+3.346	y=-0.053x+4.27
Derece	r ² =0.574	r ² =0.807	r ² =0.384	r ² =0.325	r ² =0.470	r ² =0.721
	res/n-2=219.031	res/n-2=169.743	res/n-2=83.079	res/n-2=65.720	res/n-2=439.985	res/n-2=168.952
Higuchi	y=12.421x+50.98	y=21.858x-4.186	y=7.442x+69.291	y=4.563x+76.962	y=13.936x+50.04	y=16.440x+11.352
	8	r ² =0.889	r ² =0.656	r ² =0.404	r ² =0.517	r ² =0.843
	r ² =0.648	res/n-2=94.381	res/n-2=46.289	res/n-2=49.056	res/n-2=288.974	res/n-2=80.210
	res/n-2=135.617					
Langen -bucher	y=0.088x+0.031	y=0.080x-0.229	y=0.070x+0.132	y=0.048x+0.258	y=0.104x-0.079	y=0.065x-0.135
	r ² =0.978	r ² =0.855	r ² =0.876	r ² =0.843	r ² =0.956	r ² =0.973
	res/n-2=5.575	res/n-2=189.632	res/n-2=13.435	res/n-2=16.394	res/n-2=21.707	res/n-2=19.660
Hixon	y=0.075x+ 1.417	y=0.091x+0.279	y= 0.056x+ 1.887	y=0.033x+ 2.076	y= 0.081x+ 1.522	y=0.065x+0.488
Crowel	r ² = 0.497	r ² = 0.749	r ² = 0.376	r ² = 0.278	r ² = 0.39	r ² = 0.666
	res/n-2= 3755.318	res/n-2= 374.49	res/n-2= 5615.99	res/n-2= 6850.423	res/n-2= 4012.09	res/n-2=846.089
RRSBW	y=0.353x+0.076	y=1.128x-2.245	y=0.223x+ 0.463	y=0.153x+ 0.571	y= 0.482x+0.031	y=0.661x-1.294
	r ² =0.946	r ² = 0.954	r ² = 0.891	r ² = 0.791	r ² = 0.807	r ² =0.929
	res/n-2=14.408	res/n-2= 45.469	res/n-2= 10.355	res/n-2= 17.604	res/n-2= 71.339	res/n-2=38.071
M. Langen- bucher	y=0.053x+0.641	y= 0.162x-0.148	y= 0.026x+ 0.812	y= 0.019x+ 0.858	y= 0.073x+ 0.549	y=0.1091x+0.191
	r ² =0.891	r ² = 0.951	r ² = 0.907	r ² = 0.689	r ² = 0.726	r ² =0.957
	res/n-2=48.228	res/n-2= 88.280	res/n-2= 14.631	res/n-2= 24.979	res/n-2= 191.166	res/n-2=47.689
Hopfen- berg	y=-0.0003x+0.584	y=-0.0004x-0.911	y=-0.0002x+0.463	y=-0.0001x+0.414	y=-0.0003x+ 0.56	y=-0.0003x+0.847
	r ² =0.46	r ² = 0.721	r ² = 0.371	r ² = 0.256	r ² = 0.361	r ² =0.639
	res/n-2=218.868	res/n-2= 219.836	res/n-2= 78.816	res/n-2= 64.739	res/n-2= 416.586	res/n-2=189.062
BTa	y=0.289x-2.406	y=1.08x -7.822	y= 0.165x -1.579	y=0.115x -1.289	y=0.405x -2.946	y=0.623x-5.015
	r ² =0.924	r ² = 0.948	r ² = 0.898	r ² = 0.757	r ² = 0.756	r ² =0.915
	res/n-2=20.632	res/n-2= 57.464	res/n-2= 10.088	res/n-2= 19.21	res/n-2= 93.586	res/n-2=56.729
Peppas	y=0.192x+1.454	y= 0.995x- 0.814	y= 0.086x+ 1.737	y=0.061x+ 1.802	y= 0.290x+1.241	y=0.555x+0.362
	r ² =0.860	r ² = 0.932	r ² = 0.909	r ² = 0.671	r ² = 0.645	r ² =0.884
	res/n-2=72.089	res/n-2= 1385.316	res/n-2=15.862	res/n-2= 26.595	res/n-2= 362.595	res/n-2=281.557

Tablo 78 : Ticari formülasyon, Valsartan, F9A, F9A Avicel, F9A HPMC ve F9A Aerosil formülasyonlarının pH 6.8'de salım kinetiği değerlendirme bulguları.

	Ticari formülasyon	Valsartan	F9A	F9A Avicel	F9A HPMC	F9A Aerosil
Sifirinci	y=0.965x+81.357	y=4.034x+36.134	y=0.669x+80.967	y=1.784x+67.849	y=32.736x+48.342	y=1.809x+59.762
Derece	r ² =0.289	r ² =0.482	r ² =0,186	r ² =0.335	r ² =0.338	r ² =0.223
	res/n-2=7727.69	res/n-2=2200.23	res/n-2=7642.14	res/n-2=5562.16	res/n-2=3277.27	res/n-2=4574.70
Birinci	y=-0.077x+2.779	y=-0.178x+4.063	y=-0.040x+2.857	y=-0.093x+3.333	y=-0.079x+3.782	y=-0.055x+3.536
Derece	r ² =0.476	r ² =0.651	r ² =0.349	r ² =0.559	r ² =0.437	r ² =0.331
	res/n-2=87.185	res/n-2=509.923	res/n-2=77.367	res/n-2=231.188	res/n-2=556.626	res/n-2=458.132
Higuchi	y=6.602x+74.304	y=25.637x+9.966	y=4.709x+75.858	y=12.095x+54.999	y=18.841x+28.172	y=13.064x+45.386
	r ² =0.546	r ² =0.783	r ² =0.369	r ² =0.619	r ² =0.644	r ² =0.466
	res/n-2=57.816	res/n-2=290.976	res/n-2=60.416	res/n-2=143.321	res/n-2=312.525	res/n-2=311.334
Langen- bucher	y=0.072x+0.169	y=0.148x-0.389	y=0.046x+0.259	y=0.094x-0.028	y=0.106x-0.189	y=0.083x-0.042
	r ² =0.916	r ² =0.848	r ² =0.799	r ² =0.972	r ² =0.939	r ² =0.879
	res/n-2=13.163	res/n-2=345.552	res/n-2=27.451	res/n-2=9.698	res/n-2=37.406	res/n-2=56.229
Hixon	y=0.058x+ 2.075	y= 0.152x+0.731	y= 0.034x+ 2.027	y= 0.079x+ 1.559	y= 0.084x+1.044	y= 0.055x+1.336
Crowel	r ² = 0.411	r ² = 0.614	r ² = 0.289	r ² = 0.476	r ² =0.404	r ² =0.291
	res/n-2= 6158.719	res/n-2= 1016.130	res/n-2= 6685.349	res/n-2= 4127.761	res/n-2=2453.711	res/n-2=3798.068
RRSBW	y= 0.223x+0.593	y= 1.0992x-1.201	y= 0.154x+ 0.539	y= 0.355x+ 0.195	y= 0.657x-0.561	y= 0.456x-0.176
	r ² = 0.893	r ² = 0.939	r ² = 0.723	r ² = 0.944	r ² =0.888	r ² =0.759
	res/n-2= 14.699	res/n-2= 53.788	res/n-2= 28.573	res/n-2= 15.455	res/n-2=57.878	res/n-2=114.434
M. Langen- bucher	y= 0.025x+ 0.834	y= 0.157x+ 0.016	y= 0.019x+ 0.851	y= 0.0507x+ 0.669	y=0.107x+0.315	y=0.075x+0.51
	r ² = 0.799	r ² = 0.933	r ² = 0.605	r ² = 0.878	r ² =0.881	r ² =0.730
	res/n-2= 24.541	res/n-2= 311.433	res/n-2= 36.212	res/n-2= 53.101	res/n-2=222.419	res/n-2=223.354
Hopfen- berg	y=-0.0002x+0.416	y=-0.0006x+ 0.779	y=-0.0001x+ 0.426	y=-0.0003x+0.547	y=-0.0004x+0.692	y=-0.0003x+0.609
	r ² = 0.379	r ² = 0.585	r ² = 0.260	r ² = 0.437	r ² =0.387	r ² =0.272
	res/n-2= 84.303	res/n-2= 500.375	res/n-2= 76.504	res/n-2= 225.359	res/n-2=523.695	res/n-2=439.853
BTa	y= 0.161x-1.469	y= 0.988x-6.489	y= 0.117x-1.323	y= 0.283x-2.289	y=0.587x-4.212	y=0.4005x-3.093
	r ² = 0.867	r ² = 0.915	r ² = 0.681	r ² = 0.920	r ² =0.864	r ² =0.731
	res/n-2= 16.279	res/n-2= 936.122	res/n-2= 30.257	res/n-2= 21.287	res/n-2=78.828	res/n-2=141.487
Peppas	y= 0.08x+1.767	y=0.826x-0.154	y= 0.065x+ 1.789	y= 0.178x+1.504	y=0.472x+0.739	y=0.310x+1.157
	r ² = 0.781	r ² = 0.856	r ² = 0.583	r ² = 0.851	r ² =0.808	r ² =0.671
	res/n-2= 26.725	res/n-2= 2868.631	res/n-2= 38.292	res/n-2= 74.417	res/n-2=670.978	res/n-2=408.286

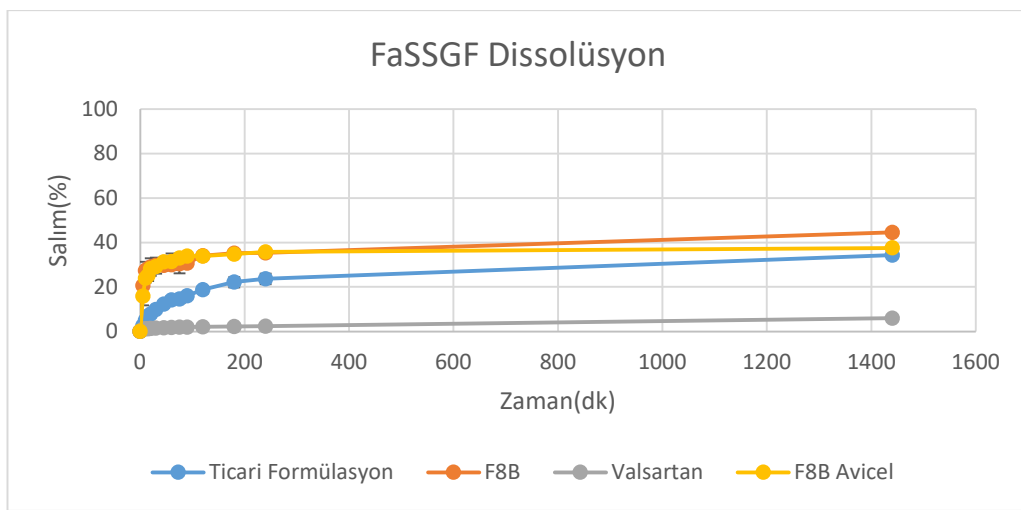
4.8.Açlık Tokluk Ortamlarında *In Vitro* Salım Çalışmaları

Yöntem 3.2.8'de anlatıldığı gibi in vitro salım çalışmaları sonucu seçilen SEDD (F8B), S-SEDD (F8B Avicel), Ticari formülasyon ve Valsartan ile açlık tokluk ortamlarında 2 saat boyunca döner palet yöntemiyle in vitro salım çalışmaları yapılmıştır. Ortam olarak FaSSIF pH 6.5, FeSSIF pH 5, FaSSGF pH 1.6 ortamları kullanılmıştır. Çalışmalar 3 paralel yapılmıştır. Çözünme ortamından numuneler

belirli zaman aralıklarında (0., 5., 10., 20., 30., 45., 60., 90., 120., 180., 240., 300., 360., 420., 480., 1440. dakikalarda) 0.45μ por boyutundaki membran filtreden süzülerek alındı. Alınan örneklerin HPLC'de miktar tayini yapılarak sonuçlar daha önce açlık tokluk ortamlarında çizilmiş olan kalibrasyon eğrileriyle değerlendirildi. Sonuçlar Tablo 79-81 ve Şekil 27-29'da gösterilmiştir.

Tablo 79 : Ticari formülasyon, Valsartan, F8B, F8B Avicel formülasyonlarının FaSSGF ortamındaki dissolüsyon sonuçları (%) (ortalama \pm SS).

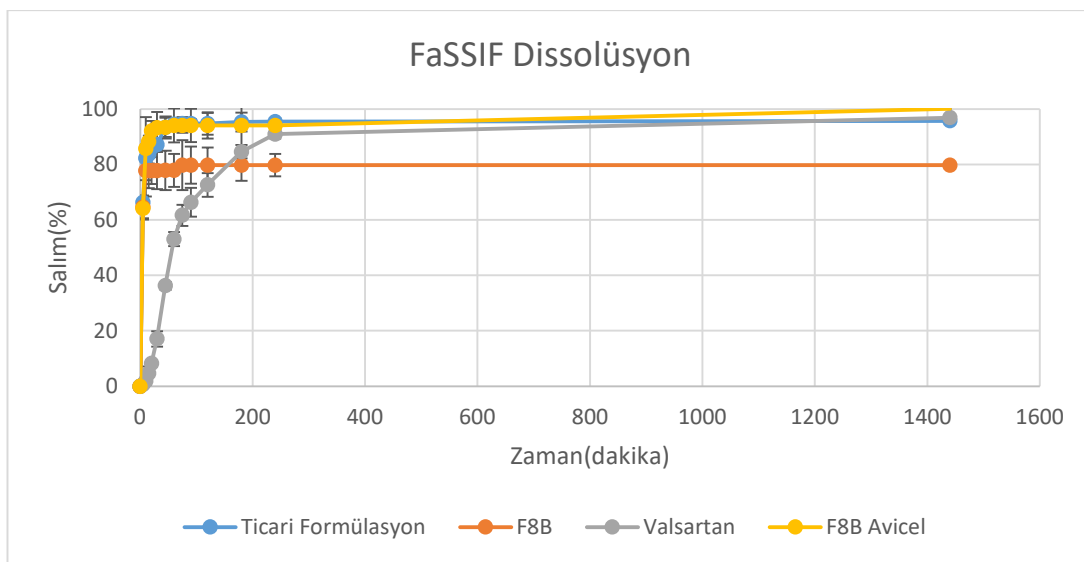
Zaman(dk)	Ticari formülasyon	F8B	Valsartan	F8B Avicel
0	0	0	0	0
5	2.698 ± 0.699	20.609 ± 0.777	1.027 ± 0.154	15.921 ± 1.221
10	5.024 ± 0.649	27.379 ± 0.782	1.173 ± 0.150	24.007 ± 4.10
15	6.947 ± 0.590	28.252 ± 4.011	1.259 ± 0.37	25.269 ± 2.002
20	7.875 ± 0.925	29.035 ± 1.717	1.387 ± 0.09	28.207 ± 2.552
30	9.911 ± 1.225	29.655 ± 3.949	1.436 ± 0.007	29.179 ± 1.017
45	12.354 ± 1.026	29.773 ± 3.587	1.690 ± 0.047	31.279 ± 1.282
60	14.106 ± 1.369	30.003 ± 2.255	1.735 ± 0.131	31.415 ± 1.48
75	14.527 ± 1.668	30.388 ± 2.068	1.894 ± 0.241	33.004 ± 3.706
90	16.052 ± 1.690	30.745 ± 4.167	1.939 ± 0.139	33.863 ± 1.065
120	18.726 ± 1.148	33.986 ± 0.589	2.072 ± 0.139	33.894 ± 0.970
180	22.170 ± 1.669	35.257 ± 1.062	2.141 ± 0.251	34.759 ± 0.962
240	23.686 ± 2.315	35.284 ± 0.608	2.358 ± 0.263	35.755 ± 0.815
1440	34.348 ± 2.376	44.570 ± 0.902	6.010 ± 0.394	37.574 ± 0.815



Şekil 27 : Ticari formülasyon, Valsartan, F8B, F8B Avicel formülasyonlarının FaSSGF ortamındaki dissolusyon grafiği

Tablo 80 : Ticari formülasyon, Valsartan, F8B, F8B Avicel formülasyonlarının FaSSIF ortamındaki dissolusyon sonuçları (%) (ortalama±SS).

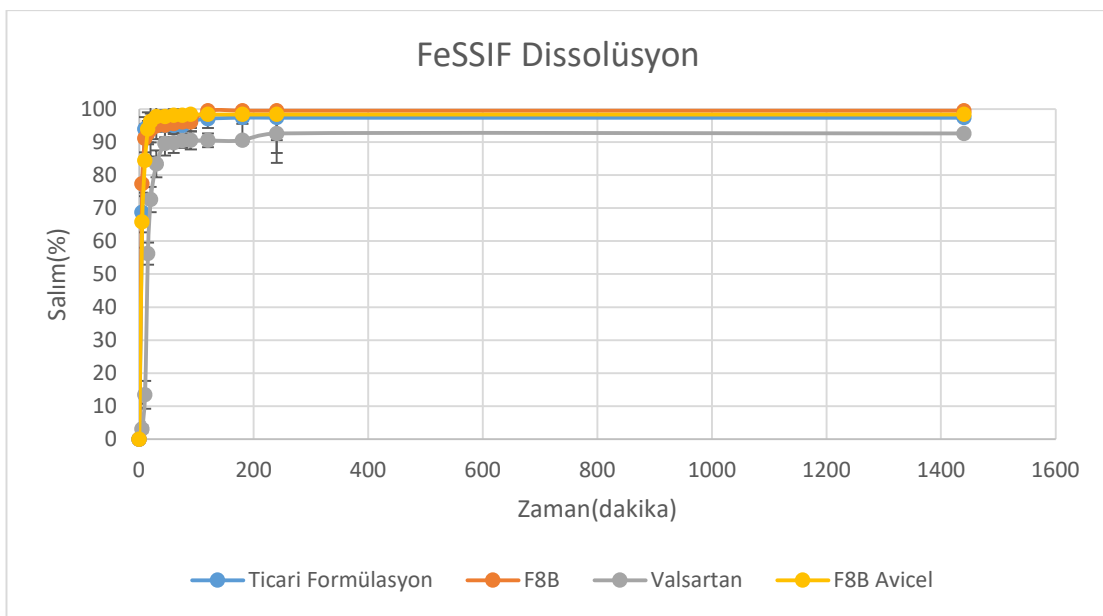
Zaman (dk)	Ticari formülasyon	F8B	Valsartan	F8B Avicel
0	0	0	0	0
5	66.386± 7.187	64.655± 4.595	0.692± 1.611	64.135± 5.259
10	82.326± 2.444	77.821± 4.027	1.864± 0.091	85.765± 3.974
15	83.741± 3.325	77.868± 9.364	4.655± 0.869	88.313± 11.347
20	86.181± 3.336	77.868± 6.389	8.268± 1.335	92.117± 2.118
30	87.174± 1.689	77.868± 4.827	17.120± 0.583	93.237± 3.634
45	93.419± 1.646	77.944± 6.692	36.291± 0.993	93.442± 5.759
60	94.583± 3.980	77.944± 7.09	53.098± 2.790	94.155± 3.458
75	94.739± 0.369	79.826± 5.983	61.723± 1.383	94.155± 6.087
90	94.739± 2.455	79.826± 9.049	66.386± 2.542	94.155± 2.610
120	94.739± 1.614	79.826± 6.743	72.676± 3.828	94.155± 6.042
180	95.403± 3.973	79.826± 6.399	84.659± 5.202	94.155± 4.716
240	95.457± 3.427	79.826± 5.599	91.024± 4.317	94.155± 9.143
1440	95.819± 1.325	79.826± 4.051	96.973± 2.405	100.169± 1.252



Şekil 28 : Ticari formülasyon, Valsartan, F8B, F8B Avicel formülasyonlarının FaSSIF ortamındaki dissolusyon grafiği.

Tablo 81: Ticari formülasyon, Valsartan, F8B, F8B Avicel formülasyonlarının FeSSIF ortamındaki dissolusyon sonuçları (%) (ortalama±SS).

Zaman(dk)	Ticari formülasyon	F8B	Valsartan	F8B Avicel
0	0	0	0	0
5	68.733±5.319	77.397±10.85	3.125±10.847	65.832±9.567
10	93.967±6.020	91.173±1.0593	13.480±1.059	84.499±7.795
15	94.522±3.674	92.760±4.255	56.242±4.253	94.023±0.779
20	95.034±4.565	93.841±3.355	72.644±3.355	96.307±2.425
30	95.034±9.368	94.988±3.849	83.441±3.849	97.738±2.344
45	95.034±1.786	95.173±4.054	89.617±4.054	97.738±4.371
60	95.034±4.565	95.584±3.653	89.794±3.653	98.159±1.905
75	95.034±0.198	96.073±3.078	90.459±3.078	98.166±2.305
90	96.437±0.675	96.073±2.146	90.546±2.146	98.398±3.582
120	97.125±2.084	99.553±2.698	90.546±2.698	98.398±2.69
180	97.462±1.012	99.553±2.096	90.546±2.096	98.398±4.106
240	97.462±7.919	99.553±0.382	92.667±0.382	98.398±2.801
1440	97.462±10.758	99.553±8.944	92.667±8.944	98.398±1.881



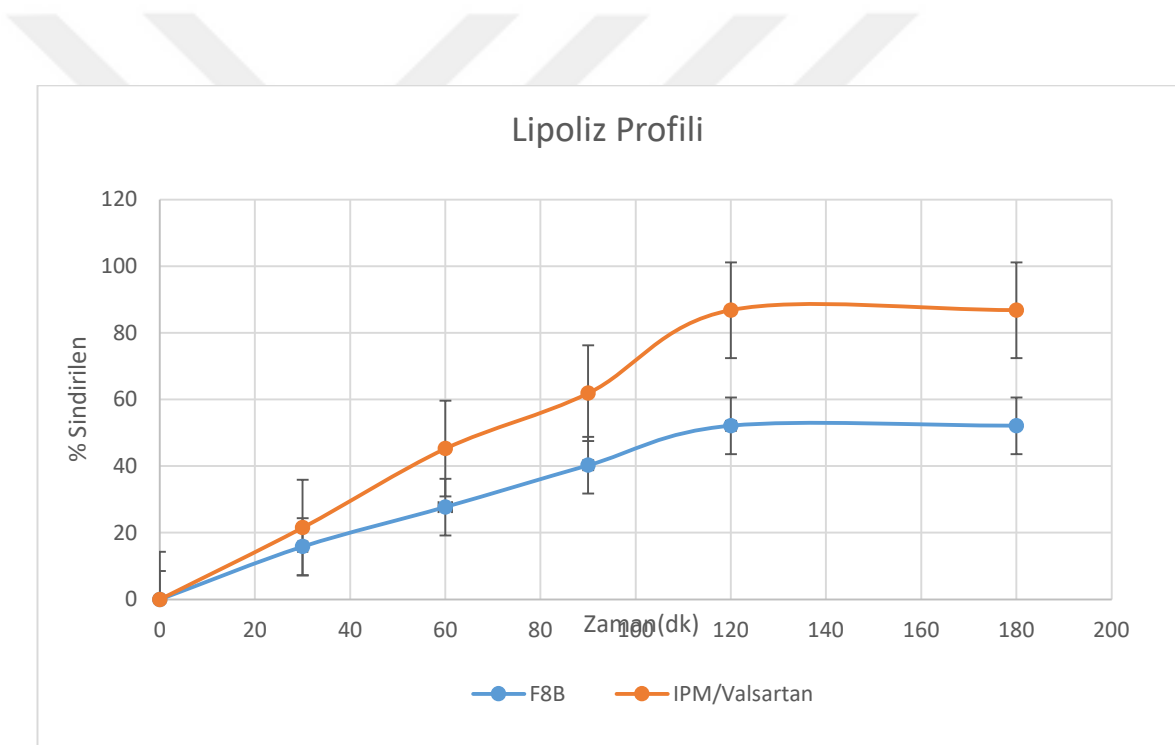
Şekil 29 : Ticari formülasyon, Valsartan, F8B, F8B Avicel formülasyonlarının FeSSIF ortamındaki dissolusyon grafiği.

4.9. *In vitro* Lipoliz Deneyi

Yöntem 3.2.9'da anlatıldığı gibi vitro lipoliz deneyi, pH kontrollü otomatik titratörde yapıldı. SEDD, S-SEDD formülasyonları ve sadece yağ ve etkin madde içeren formklärının lipolizi ayrı deneylerde belirlendi. Elde edilen bulgular Tablo 82, 83 ve Şekil 30, 31'de verilmiştir.

Tablo 82 : Zamana göre F8B ve IPM/Valsartanın zamana göre lipoliz olma yüzdeleri (ortalama±SS).

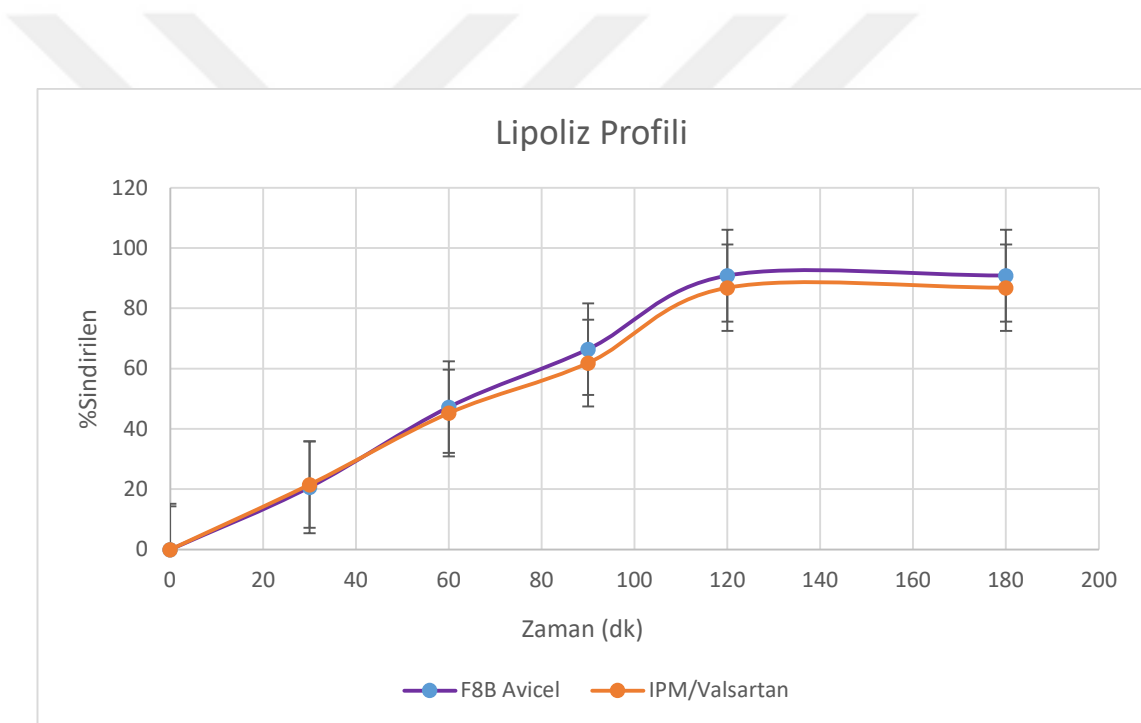
Zaman(dk)	F8B (%)	IPM/Valsartan (%)
0	0	0
30	15.86±0.09	21.57±1.17
60	27.74±0.94	45.29±2.46
90	40.29±1.40	61.88±3.44
120	52.12±1.06	86.84±3.39
180	52.12±1.06	86.84±3.39



Şekil 30: F8B ve IPM/Valsartanın zamana göre lipoliz profil grafiği.

Tablo 83 : Zamana göre F8B Avicel ve IPM/Valsartanın zamana göre lipoliz olma yüzdeleri (ortalama±SS).

Zaman (dk)	F8B Avicel (%)	IPM/Valsartan (%)
0	0	0
30	20.67±3.80	21.57±1.17
60	47.25±6.130	45.29±2.46
90	66.48±4.89	61.88±3.44
120	90.86±7.44	86.84±3.39
180	90.86±7.44	86.84±3.39



Şekil 31 : F8B Avicel ve IPM/Valsartanın zamana göre lipoliz profil grafiği.

Her bir zaman noktasında miktar tayini analizi için 1mL örnek alındı. Gerekli seyreltmeler yapılarak HPLC'de tayin edildi. Sonuçlar Tablo 84'de verilmiştir.

Tablo 84 : Lipoliz deneyinin HPLC miktar tayini sonuçları (ortalama±SS).

Zaman (dk)	F8B (g/mL)	F8B Avicel (g/mL)	IPM/Valsartan (g/mL)
0	3.4± 0.02	4.14±0.3	3.1±0.05
30	2.45± 0.01	2.92±0.05	2.14±0.06
60	2.37±0.01	2.87±0.02	2.12±0.03
90	2.35±0.01	2.86±0.052	2.1±0.05
120	2.3±0.045	2.85± 0.02	2.07±0.06
180	2.3± 0.04	2.85±0.02	2.07±0.07

4.10. *In Vitro* Permeabilite Çalışmaları

Yöntem 3.2.10'de anlatıldığı gibi *in vitro* permeabilite çalışmaları için hazırlanan eşit miktarda etkin madde içeren (40 µg/mL) lipid bazlı sistemleri (F8B, F8B Avicel), valsartan ve ticari dozaj formunun çalışmaları yapılip, permeabilite verileri hesaplanmıştır. Böylece hazırlanan yeni formülasyonların valsartanın permeabilitesi üzerine etkisi ticari formülasyonla karşılaştırılmış olarak değerlendirilmiştir.

4.10.1. Caco-2 Hücrelerinin Pasajlanması

Yöntem 3.2.10.1'de anlatıldığı gibi *in vitro* permeabilite çalışmalarında, -80°C'de 1 mL'lik tüpte dondurularak saklanmış ve Amerikan Tip Kültür Koleksiyonundan (ATCC) gelen Caco-2 (Kolonik Adenokarsinoma Hücreleri) hücre grubu kullanılarak pasajlandı.

Caco-2 hücrelerinin polikarbonat membran filtre üzerine ekimi, laminar hava akımlı kabin altında hücre kültür süspansiyonu besiyeri ortamıyla yapıldı. 48 saatte bir besiyeri ortamı yenilendi.

4.10.2. Caco-2 Hücrelerinin Polikarbonat Filtre Üzerine Ekimi

Yöntem 3.2.10.2'de belirtildiği gibi +4°C'de saklanan fosfat tampon çözeltisi (PBS), tripsin-EDTA çözeltisi ve hücre kültürü besiyeri 37°C'ye ulaşana kadar su banyosunda bekletildi. Elde edilen hücre süspansiyonundan, küçük cam pipetler ile hücreler alınıp, ışık mikroskopu altında hemasitometre ile hücre sayımı yapıldı. Hücre sayısı hesabı yapılarak yaklaşık 9 milyon hücre belirledi çalışma için yeterli bulundu. Hücre

süspansiyonu, hücre kültürü çalışmalarında kullanılmak üzere apikal kısımdaki polikarbonat filtreler üzerine ekildi. Bazolateral kısma da besiyeri ortamı ilave edildi. Ekimden sonra, en az 21 gün boyunca Caco-2 hücrelerinin polikarbonat membran滤re üzerine tutunması için beklandı (Şekil 32). Bu süre boyunca haftada 3 defa apikal ve bazolateral kısımlardaki besiyeri ortamı değiştirildi.

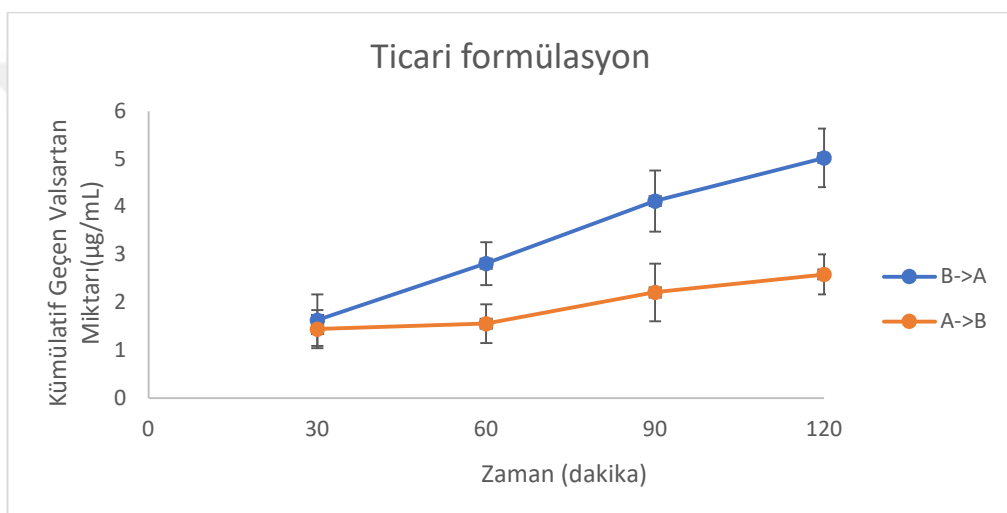


Şekil 32: 21 gün boyunca滤re üzerinde tutunan hücreler.

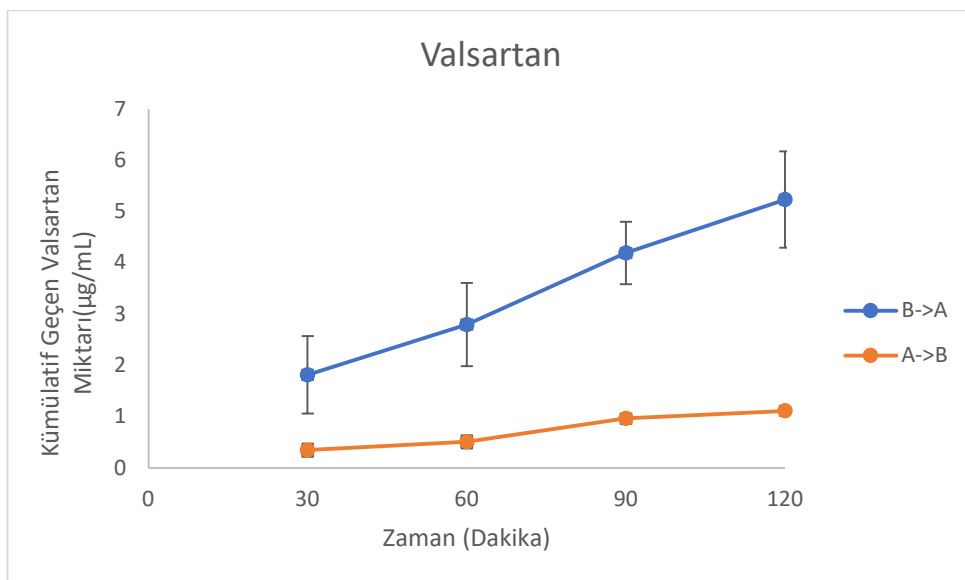
4.10.3. Valsartanın Caco-2 Hücrelerinden Permeabilite Çalışmaları

Yöntem 3.2.10.3'de anlatıldığı gibi Caco-2 hücrelerinin ekilip, polikarbonat membran滤re üzerine tutunması sağlandıktan sonra permeabilite çalışmalarına başlandı. Caco-2 hücrelerinden geçiş çalışmaları; hazırlanan F8B, F8B Avicel ve ticari formülasyon ile yapıldı. Apikal yönden bazolateral yön doğru yapılan geçiş çalışmaları için valsartan içeren 1.5 mL formülasyonun HBSS içindeki çözeltisi apikal kısma konuldu. Bazolateral kısma 2.6 mL HBSS ilave edildi. Bazolateral yönden apikal yön doğru

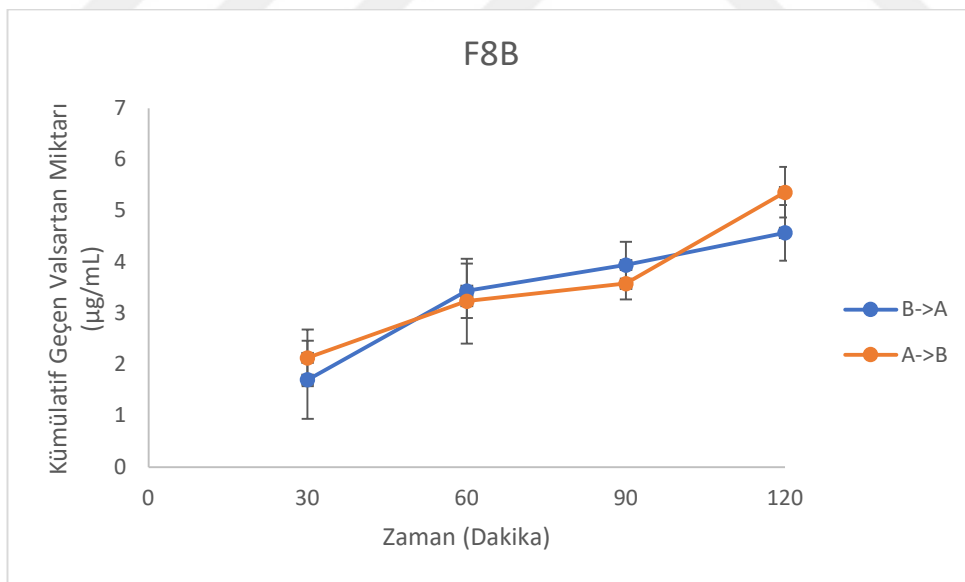
olan çalışmalar için valsartan içeren 2.6 mL formülasyonun HBSS içindeki çözeltisi bazolateral kısma; 1.5 mL HBSS çözeltisi apikal kısma ilave edildi. Tüm geçiş çalışmaları boyunca 0., 30., 60., 90. ve 120. dakika zamanlarında 200 μ L örnek alınıp, HPLC ile valsartan miktarı tayin edildi. Permeabilite çalışmaları sonunda zamana karşı kümülatif valsartan miktarları grafiğe geçirilip (Şekil 33-36) etkili permeabilite değeri hesaplandı. Hesaplanan permeabilite değerleri Tablo 85'de verilmiştir. Hesaplanan effluks değerleri Tablo 86'da verilmiştir.



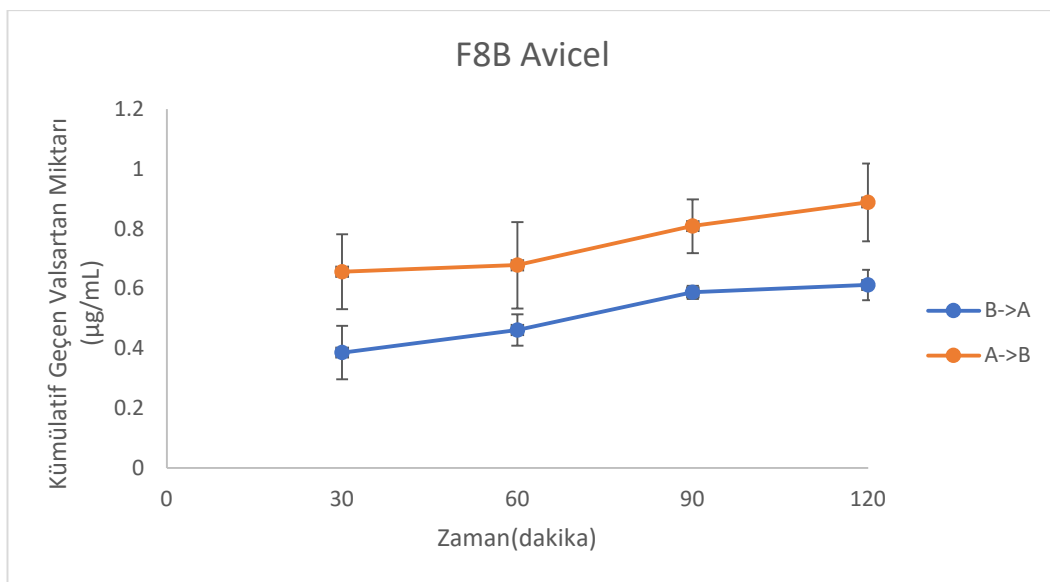
Şekil 33: Valsartanın ticari formülasyondan apikal kısımdan bazolateral kısma ve bazolateral kısımdan apikal kısma doğru yapılan geçiş çalışmalarına ait grafik (\pm SS) (0. dakikada miktar 6 μ g/mL).



Şekil 34: Toz valsartanın apikal kısımdan bazolateral kısımı ve bazolateral kısımdan apikal kısımı doğru yapılan geçiş çalışmalarına ait grafik ($\pm \text{SS}$) (0. dakikada miktar $6\mu\text{g/mL}$).



Şekil 35: Valsartanın F8B formülasyonundan apikal kısımdan bazolateral kısımı ve bazolateral kısımdan apikal kısımı doğru yapılan geçiş çalışmalarına ait grafik ($\pm \text{SS}$) (0. dakikada miktar $6\mu\text{g/mL}$).



Şekil 36: Valsartanın F8B Avicel formülasyonundan apikal kısımdan bazolateral kısma doğru yapılan geçiş çalışmalarına ait grafik (\pm SS) (0. dakikada miktar 6 μ g/mL)

Tablo 85 : Formülasyonlara ait permeabilite değerleri sonuçları (\pm SS)

	Valsartan (cm/sn)	Ticari formülasyon	F8B (cm/sn)	F8B Avicel (cm/sn)
P_{ab}	37.29×10^{-5} ± 0.01	39.68×10^{-5} ± 0.006	86.46×10^{-5} ± 0.007	$51.48 \times 10^{-5} \pm 0.002$
P_{ba}	$72.93 \times 10^{-5} \pm 0.006$	$63.41 \times 10^{-5} \pm 0.008$	$75.57 \times 10^{-5} \pm 0.016$	$52.14 \times 10^{-5} \pm 0.009$

Tablo 86 : Effluks değerlerine ait veriler (\pm SS)

	Valsartan	Ticari	F8B	F8B Avicel
		formülasyon		
Effluks	1.95 \pm 0.698	1.59 \pm 0.69	0.87 \pm 0.047	1.01 \pm 1.66

Ticari formülasyon, etkin madde, F8B ve F8B Avicel formülasyonlarına ait apikal kısımdan bazolateral kısma ait geçiş verileri (A_0 : 0. dakikadaki konsantrasyon, A_{120} : 120. dakikadaki konsantrasyon, A_M : Membran yüzeyinde kalan konsantrasyon, A_{OH} : Membran içinde kalan konsantrasyon.) Tablo 87'da verilmiştir. Bazolateralden apikal kısma ait geçiş verileri Tablo 88'de verilmiştir.

Tablo 87 : Apikal kısımdan bazolateral kısma doğru yapılan geçiş çalışmalarına ait veriler ($\pm SS$)

	A_0	A_M	A_{OH}	A_{120}
Valsartan	0.34±0.23	1.34±0.244	0.499±0.078	1.11±0.05
Ticari	1.44±0.89	0.926±0.8	0.69±0.21	2.58±0.42
formülasyon				
F8B	2.133±1.55	0.47±0.302	0.379±0.14	5.36±0.49
F8B Avicel	0.65±0.1	0±0	0±0	0.88±0.22

Tablo 88 : Bazolateral kısımdan apikal kısma doğru yapılan geçiş çalışmalarına ait veriler ($\pm SS$)

	A_0	A_M	A_{OH}	A_{120}
Valsartan	1.819±0.755	0.487±0.13	0.457±0.439	5.237±1.438
Ticari	1.63±0.539	0.38±0.257	0.528±0.317	5.023±0.613
formülasyon				
F8B	1.75±1.06	0.586±0.435	0.824±0.423	4.57±0.94
F8B Avicel	0.38±0.18	0±0	0±0	0.61±0.251

4.10.4. Transepitelial Elektrik Rezistans (TEER) Değerinin Ölçülmesi

Yöntem 3.2.10.4'de anlatıldığı gibi voltametre ile TEER değerleri ölçülmüştür. Önce TEER değeri boş kuyucuklarda 3 farklı yönde voltmetre ile ölçüldü. Deneyde

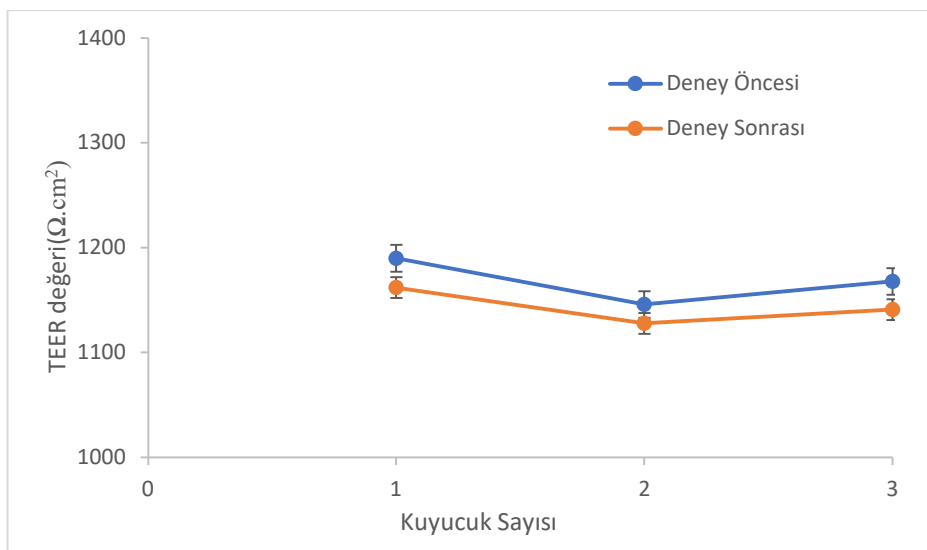
kullanılacak kültür erlenlerinin TEER değerleri yine bu üç yönde ölçüldü ve en son deney bitiminde TEER değerleri ölçülüp (Şekil 37-44) iki ölçüm arasındaki fark değerlendirildi. Böylece hücrelerin bütünlüğü kontrol edildi. Sonuçlar Tablo 89 ve 90'da verilmiştir.

Tablo 89 : Apikal yönden bazolateral yön doğru yapılan geçiş çalışmaları boyunca hücre membranlarının TEER değerlerindeki yüzde değişim.

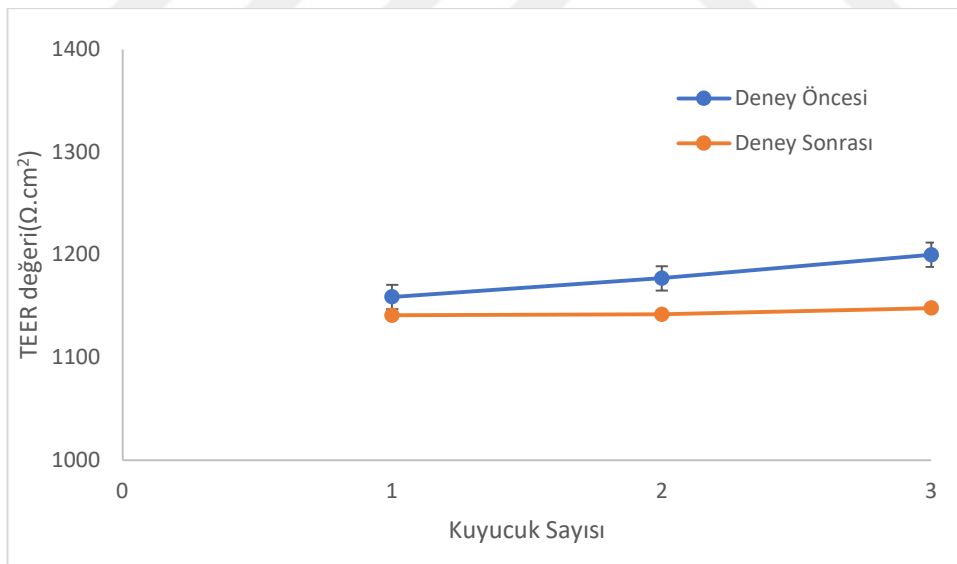
TEER değerindeki % değişim				
Kuyucuk Sayısı	Valsartan	Ticari formülasyon	F8B	F8B Avicel
1	%2.4	%1.7	%0.3	%1.04
2	%1.6	%1.02	%0.7	%0.9
3	%2.36	%4.2	%0.9	%0.78

Tablo 90 : Bazolateral yönden apikal yön doğru yapılan geçiş çalışmaları boyunca hücre membranlarının TEER değerlerindeki yüzde değişim.

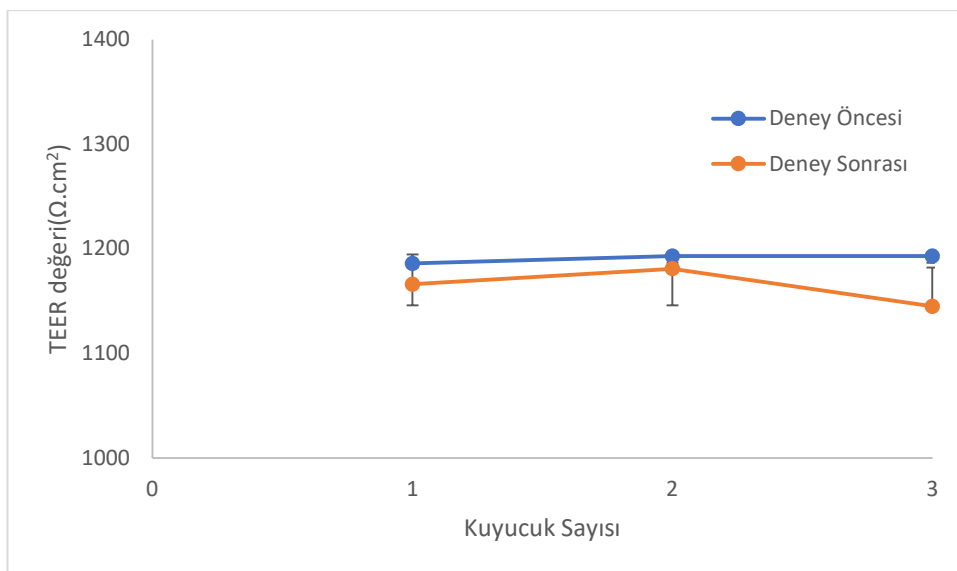
TEER değerindeki % değişim				
Kuyucuk Sayısı	Valsartan	Ticari formülasyon	F8B	F8B Avicel
1	%1.7	%3.7	%1.7	%1.7
2	%1.02	%1.72	%1.02	%1.02
3	%4.2	%4.64	%4.2	%4.5



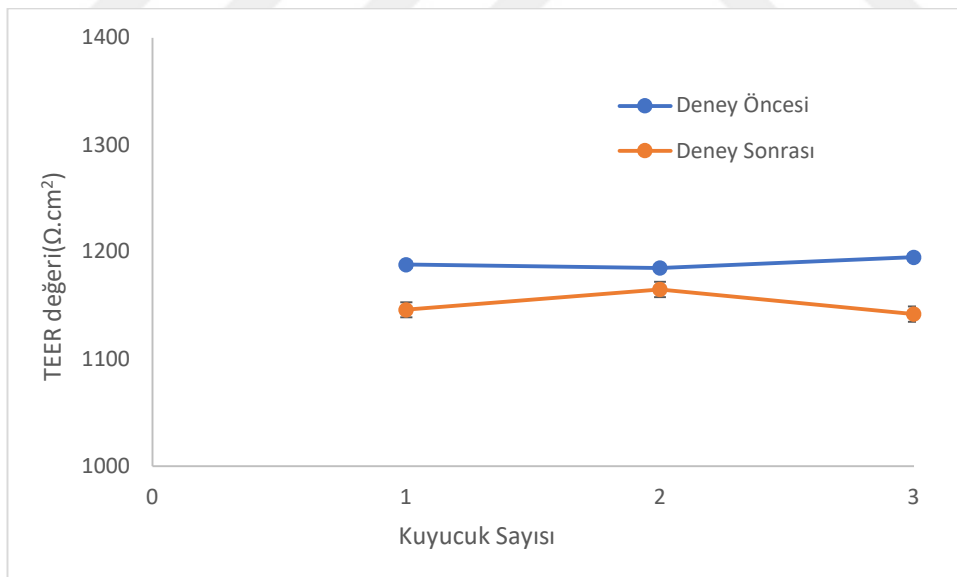
Şekil 37: Toz valsartanın apikal kısımdan bazolateral kısma yapılan geçiş çalışmalarında deneyden önce ve deneyden sonra ölçülen TEER değerlerinin grafiği ($\pm \text{SS}$).



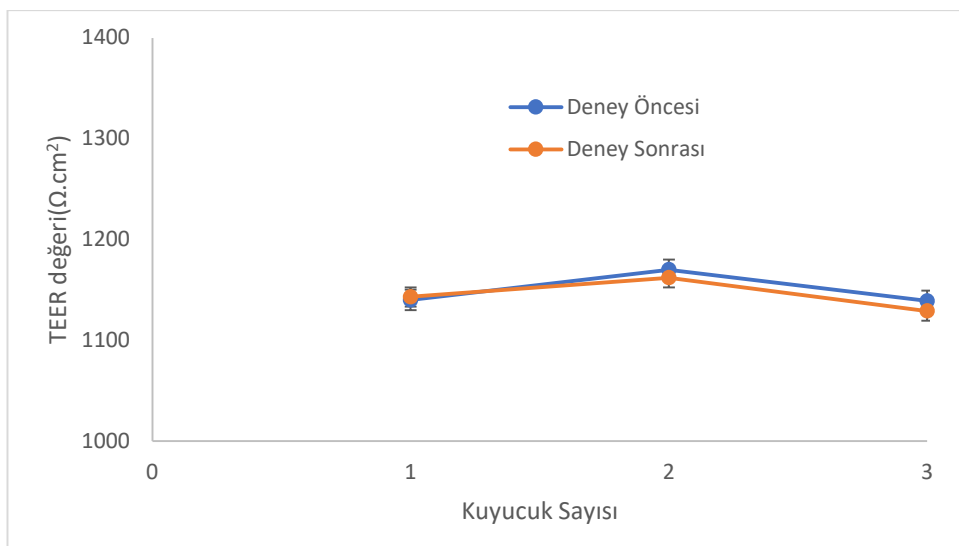
Şekil 38: Toz valsartanın bazolateral kısımdan apikal kısma yapılan geçiş çalışmalarında deneyden önce ve deneyden sonra ölçülen TEER değerlerinin grafiği ($\pm \text{SS}$).



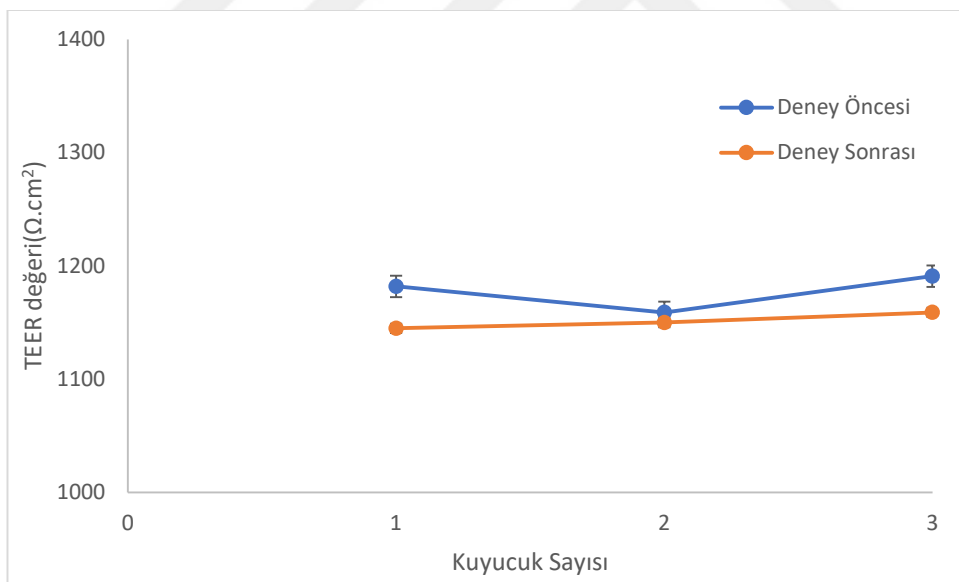
Şekil 39: Ticari formülasyonun apikal kısımdan bazolateral kısma yapılan geçiş çalışmalarında deneyden önce ve deneyden sonra ölçülen TEER değerlerinin grafiği ($\pm SS$).



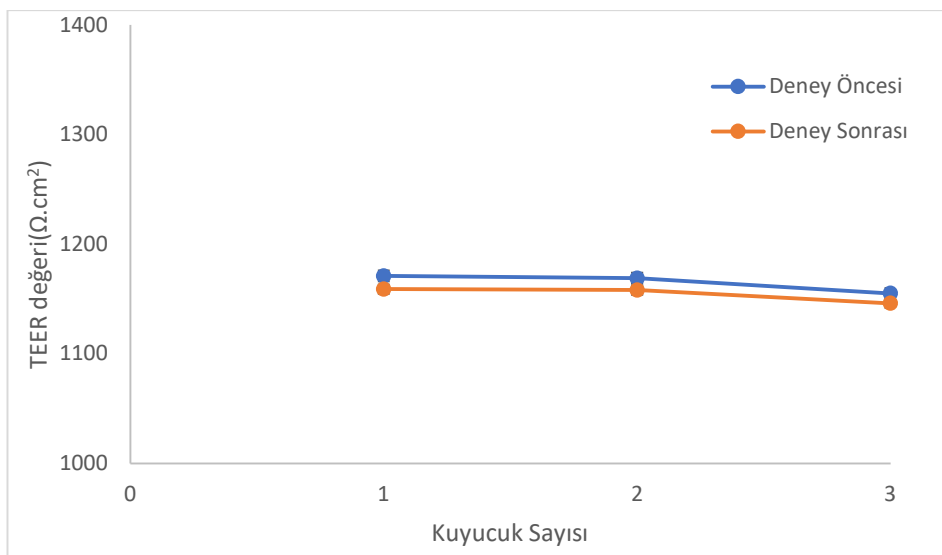
Şekil 40: Ticari formülasyonun bazolateral kısımdan apikal kısma yapılan geçiş çalışmalarında deneyden önce ve deneyden sonra ölçülen TEER değerlerinin grafiği ($\pm SS$).



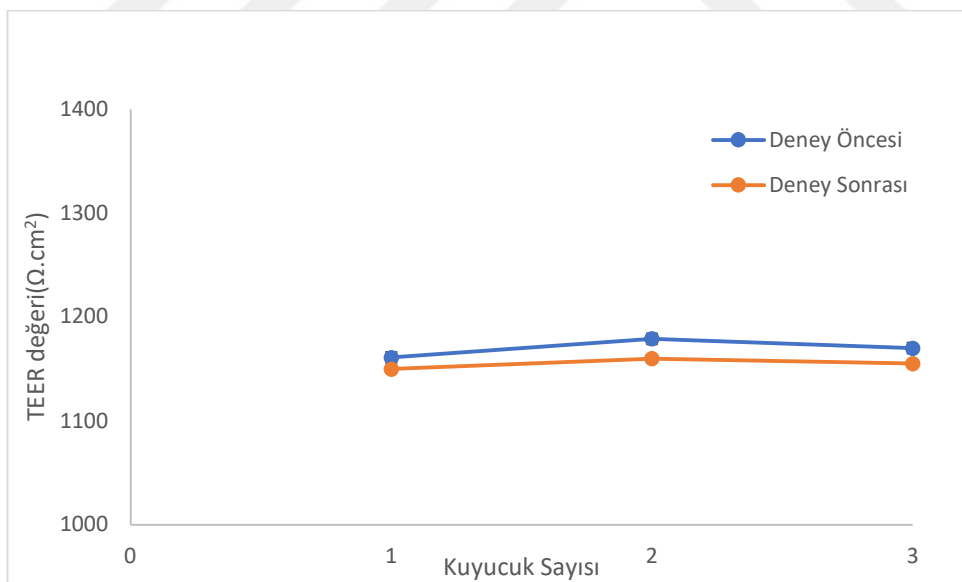
Şekil 41: F8B'nin apikal kısımdan bazolateral kısma yapılan geçiş çalışmalarında deneyden önce ve deneyden sonra ölçülen TEER değerlerinin grafiği ($\pm \text{SS}$).



Şekil 42 : F8B'nin bazolateral kısımdan apikal kısma yapılan geçiş çalışmalarında deneyden önce ve deneyden sonra ölçülen TEER değerlerinin grafiği ($\pm \text{SS}$).



Şekil 43: F8B Avicel'in apikal kısımdan bazolateral kısma yapılan geçiş çalışmalarında deneyden önce ve deneyden sonra ölçülen TEER değerlerinin grafiği ($\pm \text{SS}$).



Şekil 44: F8B Avicel'in bazolateral kısımdan apikal kısma yapılan geçiş çalışmalarında deneyden önce ve deneyden sonra ölçülen TEER değerlerinin grafiği ($\pm \text{SS}$).

4.10.5. Hücre Canlılığı ve Sitotoksisite Testi

Yöntem 3.2.10.5'de anlatıldığı gibi Caco-2 hücrelerinin canlılığı üzerine lipid bazlı ilaç taşıyıcı sistemlerin etkisi ve sitotoksisitesini incelemek amacıyla yapılmıştır. Hücre canlılığını test etmek için absorbans değerleri 570 nm'de ELISA mikroplaka okuyuculu UV spektrofotometre (Thermo Vario Scan-FHA multiplate reader) ile okutulup değerlendirilmiştir. Hücre canlılığı yüzdesi, %95'in üzerinde çıkarsa; uygulanan örneğin hücreler üzerinde sitotoksik olmadığı ifade edilir. Hücre canlılığı yüzdeleri, ticari formülasyon, Valsartan, F8B, F8B Avicel için sırasıyla %98, %98.5, %96 ve %96.5'un üzerinde bulunmuştur.

4.11. *In Vivo* Çalışmalar

4.11.1. Farmakokinetik ve Farmakodinamik Çalışmalar

Geliştirilen valsartan içeren SEDD, S-SEDD ve miseller sistemlerinde yapılan karakterizasyon, stabilite, in vitro salım ve permeabilite çalışmaları sonucu ideal olarak tespit edilen lipid formülasyon olan F8B ile in vivo çalışmalara geçilmiştir. (Bu çalışma için E.Ü. Deney Hayvanları Etik Kuruluna ait 22.02.2017 tarih ve 2017-003 sayılı izin belgesi alınmıştır.)

4.11.1.1. Farmakokinetik Çalışmalar

Geliştirilen lipid bazlı SEDD ve ticari formülasyonun farmakokinetik özelliklerinin belirlenmesi amacıyla “Hayvanlarda Farmakokinetik Çalışmaların Yönetimi” başlıklı kılavuz takip edilmiştir (EMA, Hayvanlarda Farmakokinetik Çalışmaların Uygulanması Yönetimi Kılavuzu, 1992). Önce yöntem geliştirme ve validasyon çalışmaları yapılmıştır.

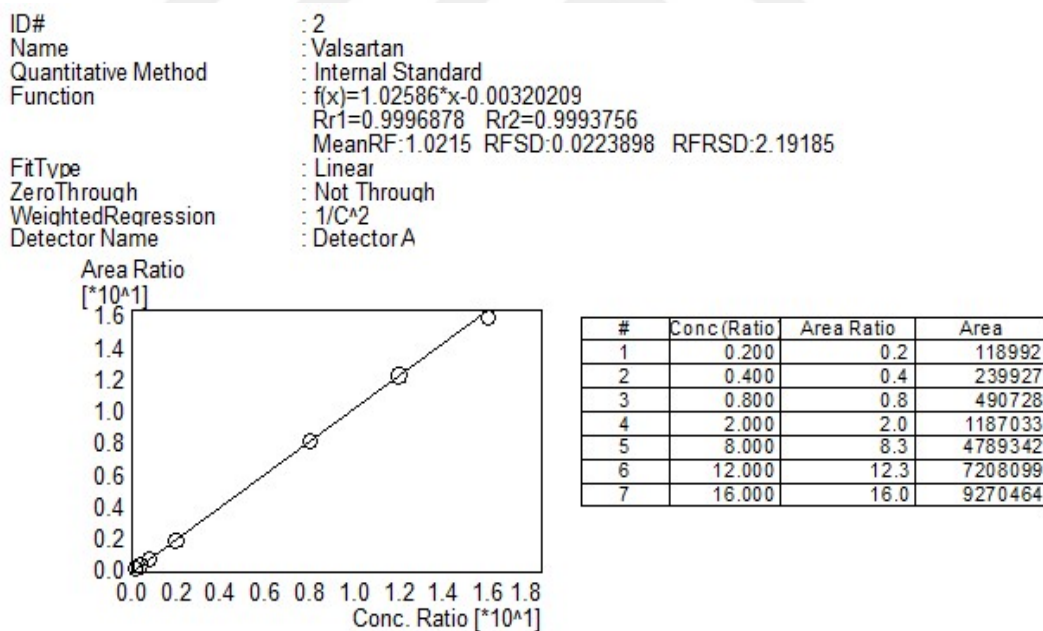
4.11.1.1.1. Farmakokinetik Çalışmalar için Yöntem Validasyonu

Valsartan ve Olmesartan maddelerinin farklı molekül yapısı, aynı ortamda farklı tutunma zamanlarında görebilmemizi sağlamıştır. LC-MS cihazında çalışılmıştır. Moleküller için uyarma dalga boyu 253 nm, yayılma dalga boyu ise 374 nm kullanılmıştır. Moleküllerin analizlerinde ACE C-8 2.1x150 mm 5 μ partikül çapına sahip kolon kullanılmıştır. Mobil faz A olarak %0.2'lik Asetik Asit Çözeltisi ve Mobil faz B olarak ise Asetonitril kullanılmıştır. Akış hızı 0.75 mL/dk olan Tablo 91'de gösterilmiş olan gradient programı kullanılmıştır. Enjeksiyon hacmi 10 μ L'dır.

Tablo 91 : Miktar Tayini Yönteminde Kullanılan Gradient Programı.

Zaman	Mobil Faz A %	Mobil Faz B %	Akış (mL/dk)
0.01	80.5	19.5	0.75
7.50	80.5	19.5	0.75
8.50	59	41	0.75
13.50	59	41	0.75
14.00	80.5	19.5	0.75
21.00		Stop	

Çizilen kalibrasyon eğrisi grafiği, noktaları ve denklemi Şekil 45'de verilmiştir.



Şekil 45: Kalibrasyon eğrisi ve denklem bilgileri.

Değerlendirilen validasyon parametreleri ve elde edilen bulgular aşağıda verilmiştir.

4.11.1.1.1. Gün İçi ve Günler Arası Doğruluk, Kesinlik ve Geri Kazanım

Gün için doğruluk, kesinlik ve geri kazanım için 4 farklı derişimde 5'er paralel örnek çalışıldı. Günler arasında ise en az 3 gün 4 farklı derişim çalışıldı ve 3'er enjeksiyon verildi. Sonuçlar verilen kalibrasyon eğrisinden hesaplandı. Bulunan derişim değerlerinin standart sapma ve bağıl standart sapma değerleri LLOQ derişimleri için $\pm 20\%$, diğer derişimler için $\pm 15\%$ 'tir. Tablo 92-94'te belirtildiği gibi sonuçlar uygun sınırlar aralığında saptanmıştır (EMA, 2012).

Tablo 92 : Gün İçi Doğruluk ve Kesinlik Sonuçları (Anl.Std.: Valsartan)

LLOQ DERİŞİM (10 ng/mL Anl.Std.1)		DÜŞÜK DERİŞİM (30 ng/mL Anl.Std.1)		ORTA DERİŞİM (400 ng/mL Anl.Std.1)		YÜKSEK DERİŞİM (600 ng/mL Anl.Std.1)		
	Hesaplanan Derişim	% Geri Kazanım	Hesaplanan Derişim	% Geri Kazanım	Hesaplanan Derişim	% Geri Kazanım	Hesaplanan Derişim	% Geri Kazanım
N 1. paralel	10.4	104.03	33.13	110.45	414.81	103.7	627.76	104.7
N 2. paralel	11.02	110.19	31.21	104.04	409.89	102.5	630.97	105.2
N 3. paralel	10.2	101.7	31.39	104.63	411.3	102.8	636.9	106.2
N 4. paralel	10.72	107.19	30.35	101.1	415.22	103.8	649.87	108.3
N 5. paralel	10.66	106.56	30.45	101.49	419.77	104.94	647.46	107.9
Ortalama	10.59	105.93	31.31	104.35	414.2	103.55	638.6	106.4
SD	0.32	3.23	1.12	3.73	3.85	0.96	9.8	1.6
%SAPMA	3.05	3.05	3.58	3.58	0.93	0.93	1.5	1.5
% RSD	5.93	5.93	4.35	4.35	3.55	3.55	6.4	6.4

Tablo 93 : Günler Arası Doğruluk ve Kesinlik Sonuçları.

1.GÜN	LLOQ DERİŞİM (10 ng/mL Anl.Std.1)		DÜŞÜK DERİŞİM (30 ng/mL Anl.Std.1)		ORTA DERİŞİM (400 ng/mL Anl.Std.1)		YÜKSEK DERİŞİM (600 ng/mL Anl.Std.1)	
	Hesaplanan Derişim	% Geri Kazanım	Hesaplanan Derişim	% Geri Kazanım	Hesaplanan Derişim	% Geri Kazanım	Hesaplanan Derişim	% Geri Kazanım
	N _{1.} enjeksiyon	9.33	93.3	30.1	100.2	381.6	95.4	569.71
N _{2.} enjeksiyon	11.35	113.5	30.5	101.5	382.0	95.5	568.63	94.77
N _{3.} enjeksiyon	9.46	94.59	30.4	101.5	381.0	95.25	567.88	94.65
Ortalama	10.05	100.5	30.3	101.1	381.5	95.38	568.74	94.79
SD	1.13	11.3	0.2	0.7	0.49	0.12	0.92	0.15
% RSD	11.25	11.25	0.7	0.7	0.13	0.13	0.2	0.2
%SAPMA	0.47	0.47	1.1	1.1	-4.62	-4.62	-5.2	-5.2
2.GÜN	LLOQ DERİŞİM (10 ng/mL Anl.Std.1)		DÜŞÜK DERİŞİM (30 ng/mL Anl.Std.1)		ORTA DERİŞİM (400 ng/mL Anl.Std.1)		YÜKSEK DERİŞİM (600 ng/mL Anl.Std.1)	
	Hesaplanan Derişim	% Geri Kazanım	Hesaplanan Derişim	% Geri Kazanım	Hesaplanan Derişim	% Geri Kazanım	Hesaplanan Derişim	% Geri Kazanım
	N _{1.} enjeksiyon	10.42	104.2	29.36	97.86	445.84	111.46	659.9
N _{2.} enjeksiyon	10.25	102.47	30.52	101.72	448.33	112.08	668.08	111.35
N _{3.} enjeksiyon	9.929	99.29	33.25	110.85	449.09	112.27	688.06	114.7
Ortalama	10.2	101.99	31.04	103.48	447.75	111.94	672.01	112.0
SD	0.25	2.49	2.0	6.67	1.7	0.43	14.49	2.4
% RSD	2.44	2.44	6.44	6.44	0.38	0.38	2.16	2.16
%SAPMA	1.99	1.99	3.48	3.48	11.94	11.94	12.0	12.0
3.GÜN	LLOQ DERİŞİM (10 ng/mL Anl.Std.1)		DÜŞÜK DERİŞİM (30 ng/mL Anl.Std.1)		ORTA DERİŞİM (400 ng/mL Anl.Std.1)		YÜKSEK DERİŞİM (600 ng/mL Anl.Std.1)	
	Hesaplanan Derişim	% Geri Kazanım	Hesaplanan Derişim	% Geri Kazanım	Hesaplanan Derişim	% Geri Kazanım	Hesaplanan Derişim	% Geri Kazanım
	N _{1.} enjeksiyon	10.3	102.99	31.89	106.29	390.97	97.74	567.5
N _{2.} enjeksiyon	10.6	106.03	32.43	108.09	389.0	97.25	569.36	94.89
N _{3.} enjeksiyon	10.5	105.05	32.23	107.45	389.5	97.38	567.97	94.66
Ortalama	10.5	104.69	32.18	107.28	389.8	97.46	568.28	94.71
SD	0.15	1.55	0.27	0.91	1.02	0.25	0.97	0.16
% RSD	1.48	1.48	0.85	0.85	0.26	0.26	0.17	0.17
%SAPMA	4.7	4.7	7.28	7.28	-2.54	-2.54	-5.29	-5.29

Tablo 94 : Günler Arası Doğruluk ve Kesinlik Toplu Sonuçları (Anl. Std.: Valsartan)

	LLOQ DERİŞİM (10 ng/mL Anl.Std.1)		DÜŞÜK DERİŞİM (30 ng/mL Anl.Std.1)		ORTA DERİŞİM (400 ng/mL Anl.Std.1)		YÜKSEK DERİŞİM (600 ng/mL Anl.Std.1)	
	Hesaplanan Derişim	% Geri Kazanım	Hesaplanan Derişim	% Geri Kazanım	Hesaplanan Derişim	% Geri Kazanım	Hesaplanan Derişim	% Geri Kazanım
1. Gün	10.05	100.47	30.32	101.07	381.53	95.38	568.74	94.8
Ortalama								
2. Gün	10.2	101.99	31.04	103.48	447.75	111.94	672.01	112.0
Ortalama								
3. Gün	10.5	104.69	32.18	107.28	389.83	97.46	568.28	94.7
Ortalama								
Ortalama	10.24	102.38	31.18	103.94	406.37	101.59	603.01	100.5
SD	0.21	2.14	0.94	3.13	36.08	9.02	59.76	9.96
% RSD								
Günlerarası	2.09	2.09	3.02	3.02	8.88	8.88	9.91	9.91
Tekrarlama-								
bilirlilik								
%SAPMA								
Günlerarası	2.38	2.38	3.94	3.94	1.59	1.59	0.5	0.5
Tekrarlama-								
bilirlilik								

4.11.1.1.2. Stok Çözelti Kararlılığı

Stok çözeltilerin, derişimleri oda sıcaklığında kromatografi koşullarına bağlı olarak uygun aralıklarla kararlılığı kontrol edilmiştir. Tablo 95-98'de görüldüğü gibi sapmalar düşük ve yüksek derişimler için ±%15 sınırları içindedir ve uygundur.

Tablo 95 : Düşük Derişimde Stok çözelti kararlılığı 1(Anl. Std.: Valsartan)

Pa-		Düşük Derişim (30 ng/mL Analitik Standart)				
ra-	lel	Hesaplanan Derişim	Ortalama	SD	% RSD	Gerçek Değerden % Sapma
1.Gün	1	30.316	30.335	0.144	0.476	1.117
0.Saat	2	30.201				
	3	30.488				
1.Gün	1	32.665	32.138	0.544	1.694	7.128
20.Saat	2	32.172				
	3	31.578				

Tablo 96 : Yüksek Derişimde Stok çözelti kararlılığı 1(Anl. Std.: Valsartan)

Pa-		Yüksek Derişim (600 ng/mL Analitik Standart)				
ra-	lel	Hesaplanan Derişim	Ortalama	SD	% RSD	Gerçek Değerden % Sapma
1. Gün	1	564.697	569.699	5.800	1.018	-5.050
0. Saat	2	568.344				
	3	576.057				
1. Gün	1	589.044	588.666	5.085	0.864	-1.889
20. Saat	2	593.551				
	3	583.402				

Tablo 97 : Düşük Derişimde Stok çözelti kararlılığı 2 (Anl. Std.: Valsartan)

Paralel	Düşük Derişim (30 ng/ml Analitik Standart)						
	Hesaplanan	Ortalama	SD	%	Gerçek	% Sapma	
	Derişim		RSD	Değerden	% Sapma		
1.Gün 0.Saat	1	30.316	30.335	0.144	0.476	1.117	4.618
	2	30.201					
	3	30.488					
5.Gün	1	31.900	31.736	0.162	0.510	5.786	
	2	31.732					
	3	31.576					

Tablo 98 : Yüksek Derişimde Stok çözelti kararlılığı 2(Anl. Std.: Valsartan)

Paralel	Yüksek Derişim (600 ng/mL Analitik Standart)						
	Hesaplanan	Ortalama	SD	%	Gerçek	%	
	Derişim		RSD	Değerden	Sapma		
1. Gün	1	564.697	569.699	5.800	1.018	-5.050	1.866
0. Saat	2	568.344					
	3	576.057					
5. Gün	1	578.740	580.330	1.460	0.252	-3.278	
	2	580.638					
	3	581.611					

4.11.1.1.3. Donma Erime Kararlılığı

Yüksek ve düşük derişimlerdeki örnekleri üçer paralel olarak hazırlanır ve dondurulup (-80°C) tekrar oda sıcaklığına (21±4°C) getirilir (Her bir döngüde örnek çözündürülmeden önce 12 saat dondurulmuş olmalıdır). Bu İşlem en az üç döngü

boyunca tekrarlanır. Değerlendirme taze hazırlanmış kalibrasyon eğrisinden okutulur. Elde edilen değerler beklenen değerle karşılaştırılır. Her bir derişim için hesaplanan derişim $\pm 15\%$ sınırları arasında olmalıdır. Tablo 99 ve 100'de belirtildiği gibi sonuçlar uygun sınırlar aralığında saptanmıştır.

Tablo 99 : Düşük Derişimde Donma Erime Kararlılığı Sonuçları (Anl.Std.: Valsartan).

DÖNGÜ 3. Dönüşü 14/01/2019	Karşılaştı- rılacak Değerler (K.D)	Düşük Derişim (30 ng/mL Anl.Std.)					
		Pa- ra- lel	Hesaplanan Derişim	Ortalama	SD	%RSD	Gerçek Değerden % Sapma
3. Dönüşü 14/01/2019	Karşılaştı- rılacak Değerler (K.D)	1	30.28	30.62	1.09	3.55	2.06
		2	31.83				
		3	29.74				
	Karşılaştı- rılacak Değerler (K.D)	1	31.71	31.85	0.12	0.38	6.16
		2	31.92				
		3	31.91				

Tablo 100 : Yüksek Derişimde Donma Erime Kararlılığı Sonuçları (Anl.Std.: Valsartan).

DÖNGÜ 3. Dönüşü 14/01/2019	Karşılaştı- rılacak Değerler (K.D)	Yüksek Derişim (600 ng/mL Anl.Std.)					
		Pa- ra- lel	Hesaplanan Derişim	Ortalama	SD	%RSD	Gerçek Değerden % Sapma
3. Dönüşü 14/01/2019	Karşılaştı- rılacak Değerler (K.D)	1	569.16	566.62	2.23	0.39	-5.56
		2	564.98				
		3	565.73				
	Karşılaştı- rılacak Değerler (K.D)	1	561.87	563.88	2.14	0.38	-6.02
		2	566.13				
		3	563.62				

4.11.1.1.4. Kısa Süreli Oda Sıcaklığı Kararlılığı

Kararlılığı incelenen örnek, yöntemde bildirilen yüksek ve düşük kalite kontrol örneklerindeki derişimlerde üçer paralel olarak hazırlanır. Örnek, oda sıcaklığında hazırlandığında, derişimi derhal saptanır, oda sıcaklığında 24. saatin sonunda derişimi kontrol edilir ve bir kayıp olup olmadığı belirlenir. Tablo 101 ve 102'de görüldüğü gibi sapma $\pm 15\%$ 'in altındadır ve oda sıcaklığında 24 saat kararlıdır.

Tablo 101 : Düşük Derişimde Kısa Süreli Oda Sıcaklığı Kararlılığı

DÖNGÜ	Pa- ra- lel	Düşük Derişim (30 ng/mL Analitik Standart)					
		Hesaplanan	Ortalama	SD	%RSD	Gerçek	%Sapma
		Derişim				Değerden	% Sapma
0.SAAT	1	30.299	30.858	1.468	4.758	2.861	-
	2	32.524					
	3	29.752					
24.SAAT	1	31.857	31.088	0.670	2.156	3.627	0.744
	2	30.630					
	3	30.776					

Tablo 102 : Yüksek Derişimde Kısa Süreli Oda Sıcaklığı Kararlılığı

Döngü	Pa- ra- lel	Yüksek Derişim (600 ng/mL Analitik Standart)					
		Hesaplanan	Ortalama	SD	%RSD	Gerçek	%Sapma
		Derişim				Değerden	% Sapma
0.SAAT	1	575.298	575.758	0.4	0.069	-4.040	-
	2	575.962					
	3	576.015					
24.SAAT	1	641.250	641.279	1.8	0.278	6.880	11.380
	2	639.509					
	3	643.077					

4.11.1.1.5. Dilüsyon Doğruluğu

Kalibrasyon eğrisinin en üst değerinin dışındaki bir analit derişimi kör matriks ile seyreltildeğinde doğruluk ve kesinlik için belirtilen $\pm 15\%$ değeri içerisinde olmalıdır. Tablo 103'de görüldüğü gibi sonuçlar uygundur.

Tablo 103 : Kısa Süreli Oda Sıcaklığı Kararlılığı (Anl.Std.: Valsartan, Gerçek Değer: 100 ng/mL Anl. Std.)

Analitik Standart Hesaplanan Derişim (ng/mL)	
Dilüsyon-1	113.75
Dilüsyon-2	108.73
Dilüsyon-3	113.82
Dilüsyon-4	102.99
Dilüsyon-5	112.8
Ortalama	110.42
SD	4.65
% RSD	4.21
% SAPMA	10.42

4.11.1.1.6. Matriks Etkisi

En az altı farklı hayvanın iç standart düzeltilmesi yapılan matriks etkisinimin Relatif Standart Sapma değeri (RSD) %15 den daha yüksek olmamalıdır. Tablo 104'de görüldüğü gibi sonuçlar uygundur.

Tablo 104 : Matriks Etkisi Sonuçları (Anl.Std.: Valsartan, İç Std.: Olmesartan, MF: Matriks Faktör)

	DÜŞÜK DERİŞİM (30 ng/mL)			YÜKSEK DERİŞİM (600 ng/mL)		
	Alan			Alan		
	Anl. Std.1	İç Std.	Pik	Anl. Std.1	İç Std.	Pik
KE	462232	557737	-	7927302	569509.00	-
MF 1	432479	520024	100.35	7706602	522004.00	106.06
MF 2	450428	498363	109.06	7709319	520422.00	106.42
MF 3	447499	508654	106.15	7664581	529083.00	104.07
MF 4	446940	540605	99.76	7729128	532262.00	104.32
MF 5	443452	516887	103.52	7671643	496163.00	111.08
MF 6	451579	501485	108.65	7664183	515459.00	106.82
Ortalama		104.58		Ortalama		106.46
SD		4.04		SD		2.53
%RSD		3.86		%RSD		2.37

4.11.1.1.7. LLOQ Düşük Saptama (Tayin) Alt Sınırı

Analizlenecek maddenin, doğruluğu ve kesinliği ispatlanmış bir düzeyde güvenebilir olarak ölçülebilen en düşük konsantrasyonudur. Sinyal / gürültü oranını 5 katı olarak hesaplanır. LLOQ değeri çalışmada hedeflenen konsantrasyona göre uyarlanmalıdır. Tablo 105'de görüldüğü gibi doğruluğu ve kesinliği ispatlanmış LLOQ değeri valsartan için ortalama 0.082 ng/mL ve olmesartan için 0.018 ng/mL dır. Bu sebepten dolayı bu çalışmada LLOQ değeri 10 ng/mL olarak alınmasının hiçbir sakıncası yoktur.

Tablo 105 : LLOQ Sonuçları (Anl.Std.: Valsartan, İç.Std.: Olmesartan)

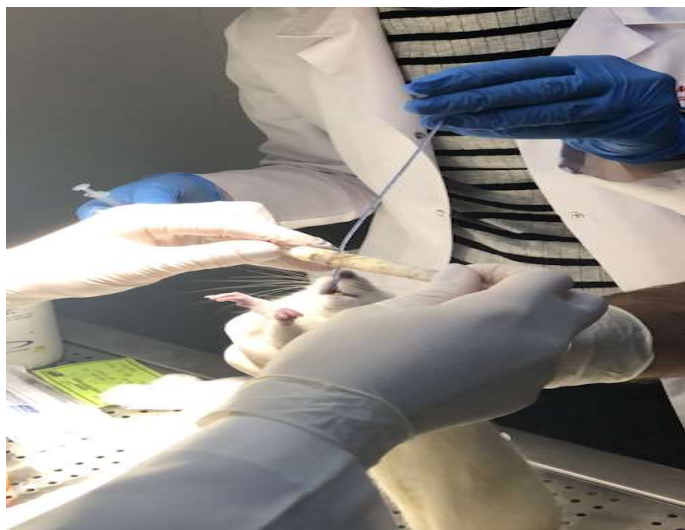
	Anl.Std. (ng/mL)	İç Std. (ng/mL)
LLOQ-1	0.082	0.018
LLOQ-2	0.100	0.019
LLOQ-3	0.078	0.018
LLOQ-4	0.085	0.020
LLOQ-5	0.064	0.015
LLOQ Ortalama	0.082	0.018

4.11.1.1.2. Farmakokinetik Bulgular

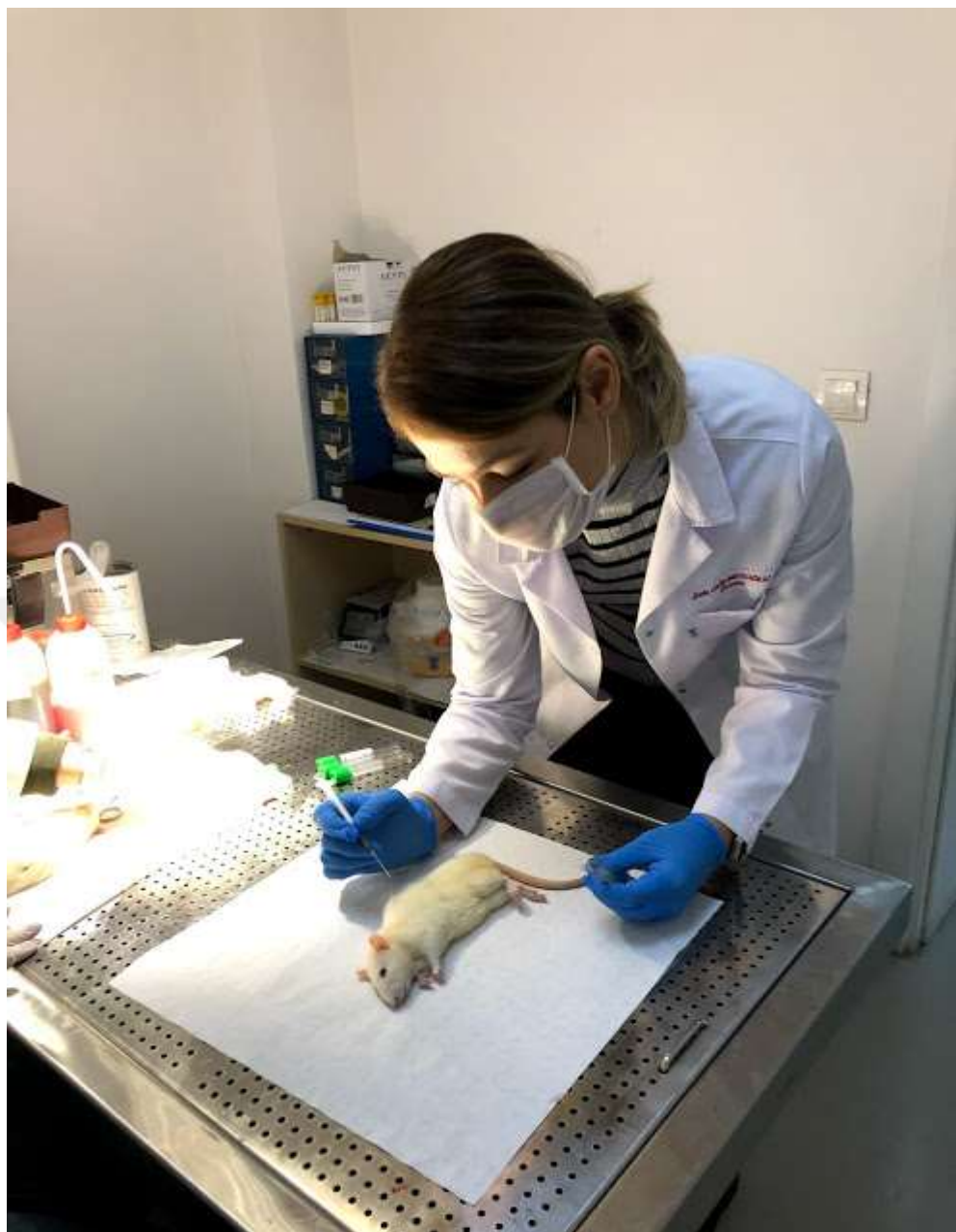
Formülasyonun farmakokinetik parametreleri, tek doz olacak şekilde per oral (64 mg/kg) uygulamalarını takiben, 2 grup olarak incelenmiştir.

1.Grup: Ticari formülasyon (64 mg/kg olacak şekilde serum fizyolojikte süspande edildi.)

2.Grup: Geliştirilen lipid bazlı formülasyon (64 mg/kg olacak şekilde verildi.)



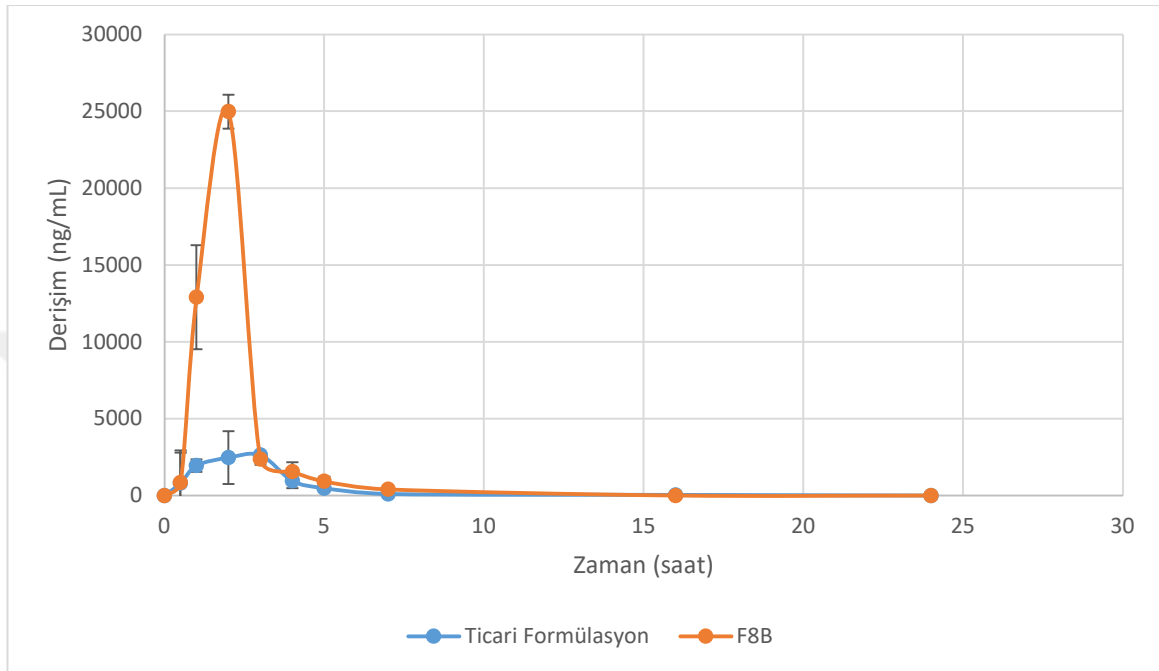
Şekil 46 : Orogastrik sonda yardımıyla sıçanlara ilaç uygulaması.



Şekil 47 : Uygulamada sıçan görüntüsü.

Formülasyonun vücuttaki dağılımını belirlemek için toplamda 10 noktada kan örneklemesi yapılmıştır (0., 0.5., 1., 2., 3., 4., 5., 7., 18. ve 24. saatlerde). Sıçanlardan 4mL kalp kanı alınmıştır (Şekil 47). Çalışmadan bir gece önce hayvanlar aç bırakılıp sadece su takviyesi yapıldı. Çalışma sırasında sıçanlara anestezi uygulanmadı. Sıçanlara formülasyon oral olarak gavaj yoluyla orogastrik sonda (Şekil 46)

yardımıyla uygulanmıştır. Üzerine 200 μL su verilmiştir. Sonuçlar Şekil 48'de gösterilmiştir.



Şekil 48 : Zamana göre Ticari formülasyon ve F8B'nin plazma konsantrasyon grafiği
(R: Ticari formülasyon, T: F8B).

Belirlenen zaman aralıklarında kan örnekleri alınarak farmakokinetik hesaplamalar Winnonlin programı ile yapılmıştır. Sonuçlar Tablo 106'da verilmiştir.

Tablo 106: Yapılan uygulamalardan sonra elde edilen farmakokinetik parametreler.

Farmakokinetik parametreler	Ticari formülasyon (%CV)	F8B (%CV)
EAA _{son} (saat * ng/mL)	9741.5 (7.180)	39209.9 (13.999)
EAA _{sonsuz} (saat * ng/mL)	9871.5 (10.649)	48100.3 (11.386)
C _{maks} (ng/mL)	2474 (1.344)	21003 (28.383)
T _{maks} (saat)	2 (0)	2 (0)

4.11.1.2. Farmakodinamik Çalışmalar

Yöntem 3.2.11.1.2'de anlatıldığı gibi antihipertansif etkinlik çalışmaları her iki cinsten 18 Wistar albino sıçanlarda (250-300 gram) gerçekleştirildi. Sıçanlar 3 gruba bölündü ve her grupta 6 sıçan olacak şekilde grupperlendirildi (A, B ve C) (n=6). Sıçanlar polipropilen kafeslerde, $25\pm2^{\circ}\text{C}$ sıcaklık ve $\%55\pm5$ rölatif neme sahip standart laboratuvar koşullarında tutuldu. Hayvanların standart laboratuvar diyetine ve suya erişimi serbesttir. Bulgular Tablo 107'de verilmiştir.



Şekil 49: Sıçanlarda tansiyon ölçümü.

Tablo 107 : Hayvanlarda tansiyon ölçüm değerleri.

	T=0. SAAT (mm/Hg)			T=3. SAAT (mm/Hg)			T=4. SAAT (mm/Hg)		
	Sistolik	Diastolik	Nabız	Sistolik	Diastolik	Nabız	Sistolik	Diastolik	Nabız
Sağlıklı Hayvan	123± 36.61	73± 47	277± 38	136± 28.3	58± 43	346± 22	130± 33.2	62± 39	312± 35
Tansiyon Oluşturulmuş Tedavi Uygulanmayan	226± 73.55	183± 68.67	285± 60.48	227± 23.9	223± 21.5	332± 52.1	191± 26.52	182± 35.16	405± 90.10
Tansiyon Oluşturulmuş Ticari formülasyon ile Tedavi Edilen	213± 60.53	200± 51.73	284± 53.61	172± 39.13	117± 57	315± 2.02	184± 46.56	141± 71.75	379± 54.21
Tansiyon Oluşturulmuş F8B ile Tadavi Edilen	244± 58.98	167± 32.8	265± 42.89	156± 57.8	108± 72	134± 34	122± 46	69± 59	359± 115

Hipertansiyonlu sıçanlarda biyokimyasal parametreler ticari farmasötik şekil ile geliştirilen lipid bazlı formülasyonda karşılaştırılmış olarak VetScan VS2 (Abaxis) cihazında ölçülmesi ile araştırıldı. Sonuçlar Tablo 108'de verilmiştir.

Tablo 108 : İlaç uygulanan ve uygulanmayan hayvanlardaki biyokimyasal parametrelere ait bulgular.

Ölçülen Biyokimyasal Parametreler

	ALB	ALP	ALT	AMY	TBIL	BUN	CA	PHOS	CRE	GLU	NA ⁺	K ⁺	TP	GLOB	T4	CHOL
Sağlıklı	4.1±	51±	60	510	0.3±	13±	4	5.5±	0.6±	12	155	8.5±	4.1	3.1±	3	44
Hayvan	0.4	16	±	±	0	1	±	0.7	0.07	±	±	0.84	±	2.1	±	±
			31.8	16.2			0.28			8	3.53		0.7		1.3	3.5
T- Tedavi yok	6.5±	47±	171	773	0.4±	13 ±	3.9 ±	5.4±	0.5±	155	149	13.1	8.4	2	6	234
(1)	0.2	0	±	±	0.07	1	0	0.21	0.14	±	±	±	±	±	±	±
			202	92.6						9.89	0.7	0	0.28	4.5	0.07	20
T- Tedavi yok	5.5±	23±	86	860	0.4±	15±	3.9±	5.7±	0.8±	139	158	12.1	7.9	2.7±	4.8±	137
(2)	0.2	2.2	±	±	0.07	1	0	0.56	0.28	±	±	±	±	0.6	0.49	±
			2.12	11.3						9.89	1.41	2.54	0.35			17
T- Tedavi yok	5.4±	30±	62	939	0.4±	18±	3.9±	5.6±	0.3±	158	150	12.1	8.2	2.5±	6.1±	230
(3)	0.7	14	±	±	0	2	0	0.28	0	±	±	±	±	1.7	2.62	±
			140	198						55	4.24	2.47	0.21			18
T- Tedavi yok	5.4±	72±	514	781	0.3±	14±	3.9±	6	0.3±	195	151	8.6±	8.1	1.7±	5.4±	227
(1)	0.3	9.1	±	±	0	2	0	±	0.7	±	±	0	±	0.4	2.26	±
			73	159				0.98		35.3	2.82		1.31			15
T- Tedavi Ticari formülasyon	5.2±	166	83	681	0.3±	15	3.9±	5.7±	0.2±	259	145	8.6±	6.5±	2	3.8	112
(2)	0.6	±	±	±	0	±	0	0.49	0.28	±	±	0	0.7	±	±	±
			69	7.07	11.3		0.7			4.24	1.4			0.42	1.13	1.4
T- Tedavi F8B	5.1±	82	532	851	0.3±	12	3.9±	5.9±	0.2±	236	148	8.6±	7.1±	2	4	22±
(3)	0.98	±	±	±	0	±	0	0.35	0.28	±	±	2.47	2.45	±	±	1.8
			29.6	19	66.4		0			142	2.82			1.41	0.49	

(Sağlıklı hayvan: Metil prednisolon asetat ile tansiyon oluşturulmuş hayvan (Negatif Kontrol), T- Tedavi yok(1): Metil prednisolon asetat ile tansiyon oluşturulmuş tedavi almamış hayvan(Pozitif Kontrol), T-Tedavi yok(2): Metil prednisolon asetat ile tansiyon oluşturulmuş tedavi almamış hayvan(Pozitif Kontrol),T-Tedavi yok(3):Metil prednisolon asetat ile tansiyon oluşturulmuş tedavi almamış hayvan(Pozitif Kontrol), T- Tedavi yok(1): Metil prednisolon asetat ile tansiyon oluşturulmuş tedavi almamış hayvan(Pozitif Kontrol),T-Tedavi ticari formülasyon (2): Metil prednisolon asetat ile tansiyon oluşturulmuş ticari formülasyon ile tedavi almış hayvan, T-Tedavi F8B(3):Metil prednisolon asetat ile tansiyon oluşturulmuş F8B ile tedavi almış hayvan.)

Tartışma

5.1. Genel Değerlendirme

Hipertansiyon, gelişmekte olan ve gelişmiş ülkelerin en başta gelen sağlık sorunlarından biridir. Dünya Sağlık Örgütü, prevalansı yüksek olan hipertansiyonun dünyada önlenebilir ölüm nedenleri içerisinde birinci sırada yer aldığı belirtmektedir (Dönmez, Memioglu, & Erdem, 2015). Tezimizde antihipertansif bir etkin madde olan Valsartan kullanılmıştır. Valsartan, BCS sınıf II bir etkin madde olup düşük çözünürlük ve yüksek permeabilite göstermektedir. Bu etkin maddenin biyoyararlanımı %25 civarındadır. Valsartan bünyesinde barındırdığı iki zayıf asidik bölümden dolayı (pKa 3.9 ve 4.7) pH'ya bağlı çözünürlük gösterir. pH'nın 4'ten 6'ya yükselmesi valsartanın çözünürlüğünü 1000 kat arttırmak fakat iyonik olmayan form artar ve lipofiliklik azalır. Bu nedenle gastrointestinal kanal boyunca valsartanın absorbsiyon oranı da pH'ya bağlı etkilenir. Valsartan asidik bir bölüm olan gastrointestinal kanalın üst kısmından absorb olur fakat burada çözünürlüğü düşüktür (Saydam & Takka, 2007; Siddiqui et al., 2011).

Son yıllarda özellikle düşük çözünürlük gösteren etkin madelerin formülasyon geliştirme çalışmalarında lipid bazlı formülasyonlar sıkılıkla kullanılan ilaç taşıyıcı sistemler olmuştur. Çünkü birçok yeni ilaç molekülü ve varolan ilaç molekülleri zayıf biyoyararlanıma, bireylerası/bireyleriçi farklılığa neden olan düşük çözünürlük gösterirler (Kallakunta, Bandari, Jukanti, & Veerareddy, 2012). Bu yüzden bu ilaçların oral uygulamasında çözünürlük hız sınırlayıcı basamaktır (Palmer, 2003). Valsartan gibi düşük çözünürlük ve biyoyararlanıma sahip ilaçlar lenfatik hedefleme için potansiyel adaylardır. Böyle ilaçlar bağırsak lenfleri aracılığı ile etkin bir şekilde taşınarak sistemik dolaşma katılırlar. Valsartanın direkt olarak sistemik dolaşma taşınması portal sistemin geçilmesine ve karaciğer ilk geçiş etkisi sorunun ortada kaldırılmasına yol açacaktır. Böylelikle çok daha düşük dozlarda etkin plazma konsantrasyonlarına ulaşabilecektir. Direkt lenfatik kılcallarda bulunan endotelyal hücreler arasındaki bağlar, kolloidal parçacıkların doğrudan lenflere gitmesini sağlar. Lenfatik sistemin bu özelliği kullanılarak şilomikron oluşumu ile uzun zincirli yağ asitlerinin absorpsiyonu artırılarak portal sirkülasyon atlanabilir. Lenfatik hedefleme yaklaşımı mikroemülsiyon, kendiliğinden emülsiyon oluşturan ilaç taşıyıcı sistemler, miseller sistemler gibi lipid bazlı sistemler için uygundur (Hetal, Bindesh, & Sneha, 2010). Lipid bazlı sistemler dissolusyon sürecini hızlandırarak, partikül boyutunu

moleküller düzeylere indirmeyele çözünmüştür fazın formasyonunu kolaylaştırarak, taşıyıcı ile katı hal solüsyonunu sağlayarak, ilaç alımını değiştirerek, enterosit bazlı transportu değiştirerek, intestinal lenfatik sistem aracılığıyla ilacın sistemik dolaşımı transportunu arttıracak gastrointestinal kanaldan ilaç吸收yonunu artırırlar (Kalepu et al., 2013). Bu nedenle tez çalışmamızda Valsartan gibi düşük çözünürlük ve düşük biyoyararlanım gösteren etkin maddenin gastrointestinal sistemde çözünürlüğünü artırmak ve oral biyoyararlanımını artırmak amacıyla miseller çözelti, kendiliğinden emülsifiye olabilen sistemler ve katı kendiliğinden emülsifiye olabilen sistemler geliştirilmiştir.

5.2. Valsartanın Fizikokimyasal Özelliklerinin Değerlendirilmesi

Bu amaçla ilk olarak Valsartanın fizikokimyasal özellikleri belirlenmeye çalışıldı ve literatürle uyumu araştırıldı. İlk olarak Valsartanın lipid su partisyon katsayısı 22.2 olarak belirlendi. Bu değer literatürdeki Valsartanın lipid su partisyon katsayısı değeri ile uyumlu bulundu (Mbah, 2005). Daha sonra Valsartanın FT-IR spektrumu çekildi (Şekil 2) ve erime derecesi tayini (Şekil 3) yapıldı. FT-IR spektrumdaki pik değerleri (2964cm^{-1} de C=N gerilmesi, 1729cm^{-1} de karboksilat gerilmesi, 1602cm^{-1} de C=O bağlı, 1105cm^{-1} de C-N bağlı) literatürlere uygun bulunmuştur (Ardiana, Suciati, & Indrayanto, 2015). DSC'de yapılan erime derecesi analizinde 104°C 'de pik verdiği gözlemlenmiştir. Bu pik literatür bilgisi ile uyumludur(Ramos & Diego, 2017).

5.3. Valsartanın HPLC Metodu ve Validasyon Çalışmalarının Değerlendirilmesi

Valsartanın yapılacak olan in vitro salım, permeabilite, stabilité ve in vivo çalışmalarında kullanılmak üzere HPLC yöntemi geliştirilip valide edilmiştir. Validasyonlar FDA tarafından önerilen kriterlere göre doğrusallık, seçicilik, çalışma aralığı, doğruluk ve geri elde edilebilirlik, kesinlik, çözelti stabilitesi, duyarlık ve sapma sınırı parametreleri açısından değerlendirilmiştir. Doğrusallık parametresinde bulunan r^2 değerleri pH 1.2, pH 4.6, pH 6.8, HBSS, FaSSIF, FeSSIF, FaSSGF için sırasıyla 0.999, 0.9991, 0.9999, 0.9992, 0.9999, 0.9994, 0.9991 olarak bulunmuştur. Bu değerler eğrilerin %99.9, %99.91, %99.99, %99.92, %99.99, %99.94, %99.91 doğrusallık gösterdiğini belirtmektedir. Seçicilik parametresinde pH 1.2, pH 4.6, pH 6.8, HBSS, FaSSIF, FeSSIF, FaSSGF ortamlarının hiçbirinde etkin madde pikinin altında herhangi bir pik yoktur. Bu bulgu yöntemin seçicilik yönünden sorun teşkil etmediğini göstermektedir. Çalışma aralığı örneğin yüksek konsantrasyondan düşük

konsantrasyonuna kadar olan bir aralıktaki analitik yöntemin kabul edilebilir doğruluk, hassasiyet ve doğrusallık seviyesi ile çalıştığı kanıtlanması ile ilgilidir. Bu parametre için %10 ve %125'lik kontrasyonlarda numune analizlendi ve 7 ortamın hepsinde RSD %2'den küçük bulundu. Doğruluk ve geri elde edilebilirlik parametresinde düşük (%1.25), orta (%10) ve yüksek (%100) derişimlerde 6 paralel enjeksiyon verilerek hesaplanan yüzde doğruluk değerleri pH 1.2, pH 4.6, pH 6.8 ve HBSS ortamlarında Tablo 6, Tablo 7, Tablo 8, Tablo 9'da verildiği gibi %95'in üzerinde, FaSSIF, FeSSIF, FaSSGF ortamlarında ise %98'den büyük bulunmuştur. FDA tarafından, yapılan validasyon çalışmalarında beklenen doğruluk değeri %80'den büyük olmalıdır. Doğruluk parametresi bu kriteri karşılamamıştır. Kesinlik çalışmasında %100 derişimdeki çözeltiden 6 enjeksiyon yapılmıştır. Tüm 7 ortam için RSD değerleri %2'den küçük bulunmuştur. FDA tarafından verilen sınırlara uygun olduğu belirlenmiştir. (FDA, 2000). İstatistiksel analizde yapılan altı enjeksiyon arasında fark gözlemlenmemiştir ($p>0.05$). FaSSIF, FeSSIF, FaSSGF ortamları enzim içerdiklerinden dolayı çözelti stabilitelerine bakılmamıştır. pH 1.2, pH 4.6, pH 6.8 ve HBSS ortamlarında çözelti stabilitesi parametresi için 90 dakika, 10 saat, 14 saat 18 saatte enjeksiyonlar tekrarlandı. %RSD değerleri her bir derişim için istenen sınırlarda bulundu ($RSD <%15$). Duyarlık ve sapma sınırı için pH 1.2, pH 4.6, pH 6.8 ve HBSS ortamlarında LOD değerleri sırasıyla 0.07, 0.027, 0.031, 0.025 ve LOQ değerleri sırasıyla 0.21, 0.081, 0.103, 0.074 değerleri elde edilmiştir. HPLC çalışmalarında pH 4.6, pH 6.8 ve HBSS ortamı için en düşük derişim seçilen 0.1 μ g/mL ve pH 1.2 için seçilen 0.5 μ g/mL derişimlerinde çalışılmasında sakınca yoktur. Elde edilen tüm parametrelerin sonucunda HPLC yöntemi FDA'da belirlenen kriterlere göre uygundur.

5.4. Valsartanın Çözünürlük Çalışmalarının Değerlendirilmesi

Valsartan, potent yüksek seçiciliğe sahip oral yoldan kullanılan aktif anjiotensin II tip 1 reseptör antagonist grubuna dahil antihipertansif bir ilaçtır. Valsartanın anjiotensin II tip 1 reseptörüne afinitesi anjiotensin II tip 2 reseptörüne olan afinitesinden yaklaşık 20000 kat fazladır. Bu sayede kan damarlarında gevşemeye ve kan basıncında düşmeye yol açar. Valsartan nötral pH'da suda çözünür özellikle özelliğidir. Fakat bünyesinde barındırdığı iki zayıf asidik bölümden dolayı pH'ya bağlı çözünürlük gösterir (Aydın & Öztürk, 2014; Saydam & Takka, 2007). Yapılan Valsartana ait çözünürlük çalışmasında literatüre uygun olarak pH'ya bağlı bir çözünürlüğe sahip olduğu için, pH 1.2'de 0.038 mg/mL, pH 6.8'de 3.87 mg/mL çözünürlük gösterdiği bulunmuştur.

Valsartanla yapılan bir katı kendiliğinden nanoemülsifiye olan sistem çalışmasında, Campul CMC, Labrasol ve Tween 20 kullanılmıştır. Aerosil 200, Silia, Neusilin US2'e emdirilmiştir ve ayrıca tablet olarak basılmış ve birbirleriye karşılaştırılmıştır. Optimize edilen S-SNEDDS formülasyonu çözünürlük oranında 3-3.5 kat artış göstermiştir ve buna bağlı biyoyararlanımda da artış gözlemlenmiştir (Beg et al., 2012) Tez kapsamında lipid bazlı sistemler geliştirilmesi için bu sistemlerin hazırlanmasında kullanılan çeşitli yağ, yüzey etkin madde, yardımcı yüzey etkin maddelerde çözünürlük çalışması yapılmış ve bununla ilgili sonuçlar Tablo 24'de verilmiştir. Buradan yola çıkarak Valsartanın en çok çözündüğü izopropil miristat, oleik asit, Capryol 90, Tween 20, PEG 600, Transcutol HP, izopropil alkol, etanol, Labrafil M 2125 CS, Tween 80 ile denemelere başlanmıştır.

5.5. Formülasyon Geliştirme Çalışmalarının Değerlendirilmesi

Projemiz kapsamında geliştirdiğimiz lipid bazlı formülasyonların ilki kendiliğinden emülsifiye olabilen ilaç taşıyıcı sistemlerdir. Bu amaçla Tablo 24'de en yüksek çözünürlüğü gösteren yağ, YEM, YYEM ile Tablo 25-34'de belirtilen toplam 30 formülasyon geliştirilmiştir. Lipid bazlı formülasyonlarda yağ fazı olarak Valsartan için yüksek çözünürlük gösteren oleik asit (3.2 mg/mL) ve izopropilmiristatin (3.5 mg/mL) formülasyonlarda kullanılması uygun görülmüştür. Yine Valsartan için yüksek çözünürlük gösteren Hint yağı laksatif etkisi nedeniyle seçilmemiştir (EMA, 2016). Valsartanın yüksek çözünürlük gösterdiği YEM'lerden Cremophor EL ise kan beyin bariyerini geçebildiğinden uygun görülmemiştir (Kemper, Zandbergen, Cleypool, Mos, & Boogerd, 2003). Bu formülasyonların geliştirilmesinde titrasyon yöntemi kullanılmıştır. Her bir YEM/YYEM oranı için en yüksek mikroemülsiyon alanını veren faz diyagramları Şekil 16 ve 17'te verilmiştir. Buna göre F2A, F2C, F5B, F7B, F8B, F9A ve F10B seçilmiştir. F2A ile F2C'yi kendi arasında kıyasladığımızda benzer formülasyonlar olsa da Tablo 26'da belirtildiği gibi F2A 1:1 YEM/YYEM, F2C 1:2 YEM/YYEM içermektedir. Her ne kadar F2A'nın mikroemülsiyon alanı daha yüksek olmasına rağmen Valsartanın YYEM içerisinde çözünürlüğünün daha yüksek olması nedeniyle F2C formülasyonu seçilmiştir. Ayrıca F2C titrasyonla daha fazla su tutabilmektedir. Bilindiği gibi kendiliğinden emülsifiye olabilen sistemler fizyolojik ortamda biyolojik sıvılar ile seyrediklerinde kendiliğinden emülsiyon oluştururlar

(SEDD/SNEDD/SMEDD) (Borkar, Holm, Yang, Müllertz, & Mu, 2016; Leonaviciute et al., 2017; Liu et al., 2016; Tandel, Shah, Vanza, & Misra, 2017).

Lipid bazlı formülasyon sınıflandırma sistemine göre formülasyonlar dört grupta incelenir. Tip 1 formülasyonlar, sadece yağılardan oluşur ve kaba dağılım gösterirler. Tip 2 formülasyonlar %40-80 trigliserit veya gliserit karışımıları, %20-60 yüzey etkin maddeden ($HLB<12$) oluşur. Partikül büyülüğu 100-250nm'dir (SEDDS). Tip 3 formülasyonlar, tip 3A ve tip 3B olarak ikiye ayrılır. Tip 3A %40-80 trigliserit veya gliserit karışımıları, %20-40 yüzey etkin madde ($HLB<12$), %0-40 yardımcı yüzey etkin maddelerden (YYEM) oluşur. Buna göre tezimizde geliştirilen formülasyonların HLB değeri 9-11 arasında ayarlandı (Tablo 35) (N. Gursoy & Çevik, 2011; Kalepu et al., 2013). Tip 3A sistemlerin partikül büyülüğu 100-250 nm'dir (sulu komponentlerle SEDDS/SNEDDS oluştururlar). Tip 3B ise % <20 trigliserit veya gliserit karışımıları, %20-50 yüzey etkin madde ($HLB>12$), %20-50 yardımcı yüzey etkin madde (YYEM) içerir. Partikül büyülüğu 50-100nm'dir (sulu ve az yağlı içeriklerle beraber SMEDDS oluştururlar). Tip 4 formülasyonlar trigliserit veya gliserit karışımı içermez. Sadece %0-20 yüzey etkin madde ($HLB<12$), %20-80 yüzey etkin madde ($HLB>12$) ve yardımcı yüzey etkin madde %0-80 içerir (Miseller solüsyonlar oluştururlar) (N. Gursoy & Çevik, 2011; Kalepu et al., 2013).

Tez kapsamında geliştirdiğimiz ikinci lipid bazlı formülasyon ise S-SEDD sistemlerdir. Sıvı formülasyonlar olarak hazırlanan SEDDS/SMEDDS/SNEDDS'lerin, fiziksel dayanıklılığa sahip sistemler olmalarının yanında taşıma kolaylığı sağlanması ve mikrobiyolojik dayanıklılıklarının artırılması amacıyla katı dozaj formu şekline getirilmeleri için çeşitli yöntemler geliştirilmiştir. Bu durumda yüksek dayanıklılık, tekrarlanabilirlik ve hasta uyuncunun artması gibi üstünlükler sağlanabilmektedir. Kapsüle dolum teknolojisi, sıvı veya yarı katı sistemlerin enkapsüle edilerek oral yolla uygulanmasında kullanılan en yaygın ve kolay teknolojidir. Fakat yüksek maliyet ve kapsül deformasyonu gibi sakıncaları vardır. Bunun yanında SEDDS/SMEDDS/SNEDDS'ler çeşitli yöntemlerle pellet ya da toz haline getirilebilmektedir (S-SEDDS). Bu yöntemlerde bazıları püskürterek kurutma, katı taşıyıcılara adsorbsiyon, yaşı granülasyon ve yaşı ekstrüzyondur (Sultan, Elgizawy, Osman, & Maghraby, 2017). Geliştirilen formülasyonların Tablo 36'da belirtildiği gibi en iyi damlacık boyutu (F8B ve F9A sırasıyla 95.2nm ve 135.4nm) ve polidispersite indeksine ($PDI<0.5$) sahip olan F8B ve F9A ile karakterizasyon

çalışmalarına ve bu formülasyonlar kullanılarak geliştirilen S-SEDD formülasyonu çalışmalarına geçilmiştir. Katılıştırma çalışmalarında inert katı taşıyıcı olarak HPMC E5, Avicel pH 102 ve Aerosil 200 kullanılmıştır. Granüle haline getirme yöntemi olarak yaş granülasyon yöntemi uygulanmıştır.

Tezimizde geliştirdiğimiz üçüncü lipid bazlı ilaç taşıyıcı sistemler ise miseller sistemlerdir. Miseller sistemler lesitinle safra tuzlarını birlikteligiye dayanır. Düşük toksite ve yüksek çözündürme gücüne sahip bir alternatif olarak umut vaad eder. Bu miseller sistemler az çözünen ilaçların rahat çözünebilmesi için nanotaşıyıcılar olarak araştırılmıştır (Sultan et al., 2017). Miseller sistemlerin dışındaki hidrofilik kabuktan dolayı dolaşımındaki ömrleri daha uzundur. Ayrıca artmış permeabilite ve tutulma etkisi (EPR effect) miseller sistemleri çekici bir ilaç taşıyıcı sistem yapmaktadır (Beg et al., 2012). Kritik misel konsantrasyonunun altında surfaktanlar miselleri oluştururlar. Bu miseller agregatların hidrofobik çekirdek ve hidrofilik yüzeyleri vardır. Hidrofobik iç yüzey hidrofobik, Valsartan gibi çözünürlük problemi olan moleküller için uygun bir çözümne ortamı yaratır (Do et al., 2009). Projemizde beş farklı misel formülasyonu geliştirilmiştir. Lutrol F127 ve Soluplus® bu amaçla kullanılmıştır.

5.6. Karakterizasyon ve Stabilite Çalışmalarının Değerlendirilmesi

Geliştirilen tüm formülasyonlar mL'de 80 mg Valsartan içermektedir. Projede kullanılan tüm miktar tayini yöntemleri valide edilmiş metodlarla analizlenmiştir. Hazırlanan Valsartan içeren lipid bazlı formülasyonların karakterizasyon çalışmalarında fiziksel görünüş, pH, elektriksel iletkenlik, refraktif indis, viskozite, damlacık boyutu, emülsifikasyon zamanı, termodinamik stabilité (santrifüj, ısıtma soğutma), dağılım dayanıklılığı ve kritik misel konsantrasyonu değerlendirilmiştir.

SEDD sistemlerin karakterizasyon çalışmalarında bakılan ilk parametre pH'dır. Bir çözeltinin asitlik ya da bazlık derecesini tarif eden ölçü birimi olan pH ölçümüleri stabilité çalışmaları süresince yapılmıştır. F8B'nin 3.741-3.755 arasında ve F9A'nın 3.746-3.754 arasında değişim göstermiştir ve her bir ay arasında ölçülen pH değerleri arasında istatistiksel olarak fark gözlemlenmemiştir ($p>0.05$) (Tablo 55-58). İkinci olarak incelenen parametre ise elektriksel iletkenliktir. Elektriksel iletkenlik ölçümleri mikroemülsiyon sistemlerin fazları belirlenebilmektedir. Elektriksel iletkenlik ölçümleri mikroemülsiyon formülasyonunun dayanıklılığının bir göstergesidir. F8B ve

F9A formülasyonlarının elektriksel iletkenlikleri üçgen faz diyagramında belirtilen su miktarına karşılık gelen miktarda su kullanılarak ölçülmüştür (optimum formülasyon). F8B ve F9A için elektriksel iletkenlik sırasıyla $86 \mu\text{s}/\text{cm}$ ve $73 \mu\text{s}/\text{cm}$ olarak bulunmuştur. Stabilite çalışmalarında 12 ay boyunca iki farklı sıcaklıkta yapılmış ve Tablo 55-58'de belirtildiği gibi elektriksel iletkenlik değerleri F8B için $86-87 \mu\text{s}/\text{cm}$ arasında, F9A için $73-74 \mu\text{s}/\text{cm}$ arasında ölçülmüştür. Bu bulgu mikroemülsiyonun stabilite çalışmaları boyunca faz dönüşümü geçirmediğini ifade etmektedir. İstatiksel olarak ölçümler arasında fark gözlemlenmemiştir ($p>0.05$). Üçüncü olarak incelenen parametre Refrakrif indis ölçümüdür. Bir ışık demetinin yoğunlukları farklı iki ortam arasında yön değiştirmesine refraksiyon (kırılma) denir. Bir maddenin refraktif indis, onun karakteristiğinin bir işaretidir (Bakhle, 2016; Cilek, Celebi, & Tırnaksız, 2006). Hazırlanan F8B ve F9A formülasyonlarının refraktif indisleri sırasıyla 1.4566 ve 1.4660 olarak ölçülmüştür. 12 ay boyunca yapılan uzun süreli ve hızlandırılmış stabilite çalışmalarında elde edilen refraktif indis değeri Tablo 55-58'de belirtildiği gibi başlagıçtaki ile benzerdir. Formülasyonların damlacık büyülükleri karakterizasyonda önemli parametrelerden biridir (Akula, Gurram, & Devireddy, 2014). Tablo 38'de belirtildiği gibi etkin madde içermeyen F8B ve F9A'nın partikül büyülükleri sırasıyla $8.78 \pm 0.003 \text{ nm}$, $45.11 \pm 0.04 \text{ nm}$ bulunmuştur. Bu büyümeyi etkin maddenin formülasyonun içine girmesiyle açıklayabiliriz. Etkin madde içeren F8B ve F9A'nın partikül büyülükleri ise $72.63 \pm 0.45 \text{ nm}$ ve $146.6 \pm 0.78 \text{ nm}$ olarak bulunmuştur. Tip 3A sistemlerin partikül büyülüğu 100-250 nm'dir (sulu komponentlerle SEDDS/SNEDDS oluştururlar). Tip 3B'nin ise partikül büyülüğu 50-100 nm'dir (sulu ve az yağlı içeriklerle beraber SMEDDS oluştururlar) (Kalepu et al., 2013). Buna göre F8B tip 3B, F9A ise tip 3A sistemlere uygun bulunmuştur. Zeta potansiyel, partiküllerin yüzey yükünün bir ölçüsüdür ve partikül-partikül itme güçlerinin etkisiyle sisteme kolloidal stabilite kazandırır. Dolayısıyla, zeta potansiyelinin bilinmesi, aynı zamanda kolloidal dispersyonun stabilitesinin öngörülmesine de izin verir (Patil, Patil, Shete, & Doijad, 2013). Genelde $\pm 30 \text{ mV}$ 'luk zeta potansiyel değerine sahip sistemler stabil kabul edilmektedir (Balakumar, Vijaya, Tamil, Hari, & Abdu, 2013). F8B ve F9A'nın zeta potansiyeli üç paralel ölçülmüş ve sonuçlar birbiri ile uyumlu bulunmuştur (Şekil 18-19). Dağılım dayanıklılığı, farklı seyreltme ortamlarında ve oranlarında homojen SEDD formülasyonlarının *in vivo* ortamda etkin maddenin çökmeyip absorbsyonu etkilemeyeceğinin bir göstergesi olduğu için önemli bir parametredir (Balakumar et al., 2013). F8B ve F9A

formülasyonlarının dağılım dayanıklılığı pH 1.2, pH 6.8 ve distile su ortamlarında 1:10, 1:100, 1:500 ve 1:1000 seyreltme oranlarında yapılmıştır. Formülasyonlar seyredikçe damlacık büyülüklüklerinin küçüldüğü gözlemlenmiştir. F8B formülasyonunda 1:1000 seyreltmeye 0.dakikada damlacık boyutu 47.30 ± 0.56 nm olarak bulunurken, 24. Saat sonunda damlacık boyutu 75.16 ± 2.15 nm, pH 1.2 ortamında 0. dakikada 437.9 ± 5.34 nm iken 24. saatin sonunda 271.0 ± 8.86 nm, pH 6.8 ortamında 0. dakikada 77.16 ± 2.826 nm iken 24. saatin sonunda 121.2 ± 3.80 nm olarak bulunmuştur. F9A formülasyonunda 1:1000 seyreltmeye 0.dakikada damlacık boyutu 97.42 ± 1.03 nm olarak bulunurken, 24. Saat sonunda damlacık boyutu 156.9 ± 2.5 nm, pH 1.2 ortamında 0. dakikada 466.9 ± 1.62 nm iken 24. saatin sonunda 223.9 ± 3.62 nm, pH 6.8 ortamında 0. dakikada 165.5 ± 7.61 nm iken 24. saatin sonunda 139.2 ± 2.81 nm olarak bulunmuştur. Bu zaman aralıklarında ölçülen damlacık boyutlarında polidispersite indeksi 0.85'ten küçük bulunmuştur. Kendiliğinden emülsifikasyonda emülsifiye olabilme zamanı, sistemin etkinliği hakkında bilgi vermektedir (Amrutkar, Salunkhe, & Chaudhari, 2014). SEDD formülasyonları seyreltme ortamlarında hafif bir çalkalama ile disperse olmalıdır (Amrutkar et al., 2014; Balakumar et al., 2013). Balakumar ve arkadaşlarının yaptığı benzer bir çalışmada emülsifikasyon zamanı bir dakikadan küçük olan formülasyonların stabil olacağını belirtmişlerdir (Balakumar et al., 2013). F9A ve F8B literatürlerle uyumlu olarak sırasıyla 15 sn ve 10 sn'de tamamen dağılmıştır. SEDD formülasyonlarla termodinamik stabilité (santrifüj, ısıtma-soğutma ve dondurma-çözme) çalışmaları yapılmıştır (Selvam et al., 2015). F8B ve F9A formülasyonlarında da herhangi bir faz ayrışması, çökme gibi stabilizasyon problemi gözlemlenmemiştir. Buradan hareketle iki formülasyonun da termodinamik olarak stabil olduğunu söyleyebiliriz. F9A ve F8B ile 12 ay boyunca yapılan uzun süreli ($\%25 \pm 5$ C°, $\%60 \pm 5$ bağıl nem) ve hızlandırılmış stabilité ($\%40 \pm 5$ C°, $\%75 \pm 5$ bağıl nem) çalışmalarında içerik miktar tayinleri yapılmıştır. Etkin madde içerik miktarlarında istatistiksel olarak anlamlı bir değişme olmamıştır. Aynı şekilde 12 ay boyunca yapılan fizikokimyasal analizlerde başlangıç değerlerine benzer bulunmuştur (Tablo 55-58).

S-SEDD (F9A Avicel, F9A HPMC, F8B Avicel, F8B HPMC) formülasyonlarında yapılan karakterizasyon çalışmalarında ilk olarak küme ve sıkıştırılmış dansitelere bakıldı ve buradan hareketle Hausner oranı ve Carr indeksi hesaplandı. Carr indeksleri %24.98 ile % 32.98 arasında bulundu. Bu bulgulara göre granülelerimizin akışlarının

zayıf olduğu gözlemlendi. Bu formülasyonlarla yapılan titreşimli elek testinde her birinin en yoğun olduğu partikül boyutu dağılımının $1400 \mu\text{m}$ 'den büyük olduğu gözlemlenmiştir (Tablo 46-49). Granülelerle yapılan emülsifikasyon zamanı analizinde F8B ve F9A'nın HPMC formülasyonu şşerek 5 dakikada emülsifiye olmuşlardır. F9A ve F9B'nin Avicel- Aerosil formülasyonlarında emülsifikasyon zamanlarının 30 saniyeden kıs olduğu gözlemlenmiştir.F9A Avicel-HPMC-Aerosil ve F8B Avicel-HPMC-Aerosil formülasyonlarının partikül boyutu ölçümleri yapılmıştır (Tablo 50). Bu bulgulardan hareketle F9A ve F8B aerosil formülasyonlarının partikül boyutlarının istenenden fazla olduğu gözlemlenmiştir. F9A ve F8B'nin her Avicel ve HPMC formülasyonları ile 12 ay boyunca yapılan uzun süreli ($\%25\pm5^\circ\text{C}$, $\%60\pm5$ bağıl nem) ve hızlandırılmış stabilité ($\%40\pm5^\circ\text{C}$, $\%75\pm5$ bağıl nem) çalışmalarında içerik miktar tayinleri yapılmıştır. F9A Avicel ve HPMC formülasyonlarında 0. ay ile 1. ay arasında dramatik bir farklılık vardır. Bu nedenle F9A Avicel ve HPMC *in vitro* permeabilite ve *in vivo* çalışmalara dahil edilmemiştir. Granülelerde yapılan fizikokimyasal analizler 0. ay sonuçlarına çok yakın bulunmuştur (Tablo 59-66).

Misel formülasyonlarıyla yapılan karakterizasyon çalışmalarında ilk olarak formülasyonların pH değerleri ölçüldü. Misel formülasyonlarının ortalama pH değeri 3.75 olarak bulundu. Misel formüasyonlarda yapılan damlacık büyülü ölçümleri sonucu elde edilen bulgularda damlacık büyülüklükleri Misel A ve F dışında çok büyük bulundu. Tüm formülasyonlarda polidispersite indeksleri 0.85'ten büyük bulundu. Müsel formülasyonlarda yapılan termodinamik stabilité testlerinde tüm formülasyonlarda faz ayrışması gözlemlendi. Buna dayanarak termodinamik olarak stabil olmadıklarına karar verildi. Kritik misel konstrasyonu ölçümünde ise, Formülasyon A ve F dışındaki diğer formülasyonlarda yüzey gerilimlerinde dramatik bir değişiklik olmamasından ötürü kritik misel konsantrasyonları ölçülemedi. Buradan hareketle bu Misel B, C, D ve E formülasyonlarında misel sistemleri oluşturmadığımız bulgusu belirlendi.

Yapılan karakterizasyon çalışmaları sonrası, misel sistemlerin damlacık boyutu ve PDI değerleri uygun olmadığından ve termodinamik stabilitelerinde problem görülmesinden dolayı bundan sonraki stabilité, salım çalışmaları ve *in vitro* *in vivo* çalışmalara dahil edilmemiştir. Karakterizasyon çalışmaları sonrası tespit edilen F8B, F9A, F8B Avicel, F8B HPMC, F8B Aerosil, F9A Avicel, F9A HPMC, F9A Aerosil ile *in vitro* salım çalışmalarına devam edilmiştir.

5.7. *İn Vitro* Salım Çalışmalarının Değerlendirilmesi

Literatürde Valsartan doğası olarak asidik olmasından dolayı biyoyararlanımı %25 civarındadır (Aydın & Öztürk, 2014; Saydam & Takka, 2007). Ancak Valsartan asidik bir bölüm olan gastrointestinal kanalın üst kısmından absorbe olur fakat burada çözünürlüğü düşüktür (Saydam & Takka, 2007). Geliştirilen formülasyonların, Toz valsartanın ve ticari formülasyonun pH 1.2, pH 4.6 ve pH 6.8 de salım çalışması yapılmıştır (Şekil 21-26, Tablo 67-72). Valsartan pH yükseldikçe çözünürlüğü artan bir madde olduğu için önemli olan pH 1.2'de çözünürlüğünü artırmaktır. pH 1.2'de 24. saatin sonunda ticari formülasyon %62.99, toz valsartan %9.41, F8B %90.73, F8B Avicel %82.48, F8B HPMC %77.25, F8B Aerosil %58.18, F9A %79.57, F9A Avicel %81.32, F9A HPMC %88.69, F9A Aerosil %60.98 'lik salım değerlerine ulaşmışlardır. F8B pH'ya bağlı olmayan bir çözünme profili sergilemektedir. Bu nedenle permeabilite çalışmalarında sadece F8B formülasyonu ve bu formülasyonun katılaştırılmış hali olan F8B Avicel formülasyonu kullanılmıştır. HPMC formülasyonunun kullanılmamasının nedeni yaptığı yavaş salımdır.

F₂ benzerlik faktörüne göre sonuçlar değerlendirildiğinde, pH 1.2'de F8B ve F8B Avicel incelenmiştir. Buna göre F₂ benzerlik faktörü 56.5 bulunmuştur ve profiller benzerdir. pH 4.6'da F8B ve F8B Avicel incelenmiştir. Buna göre F₂ benzerlik faktörü 60.2 bulunmuştur ve profiller benzerdir. pH 6.8'de Ticari formülasyon-F8B ve F8B-F8B Avicel incelenmiştir. Buna göre F₂ benzerlik faktörleri sırasıyla 46.87 ve 79.42 olarak bulunmuştur. F8B ve F8B Avicel daha benzer profile sahiptir. pH 1.2'de F9A ve F9A Avicel incelendiğinde F₂ benzerlik faktörü 68.74 olarak bulunmuştur ve profiller benzerdir. pH 4.6'da Ticari formülasyon-F9A, F9A-F9A HPMC, F9A-F9A Avicel incelenmiştir. Buna göre F₂ benzerlik faktörleri sırasıyla 43.81, 39.48, 55.56 olarak bulunmuştur. En benzer F9A-F9A Avicel'in profilleridir. pH 6.8'de Ticari formülasyon-F9A Avicel, Ticari formülasyon-F9A Aerosil, Ticari formülasyon-F9A incelenmiştir. Buna göre F₂ benzerlik faktörleri sırasıyla 43.75, 32.22, 69.5 olarak bulunmuştur. Tüm bu sonuçlar değerlendirildiğinde F8B ve F8B Avicel en benzer profile sahip olan iki formülasyondur.

İn vitro salım çalışmaları yapıldıktan sonra kinetik modelleme yapılarak değerlendirilmiştir. Hazırlanan formülasyonlar, ticari formülasyon ve toz valsartanın salım profilleri kinetik modellerden sıfırıncı derece, birinci derece, Higuchi, Langenbucher, Hixon-Crowell, RRSBW, M. Langenbucher, Hopfenberg, BTa,

Peppas'a uyum yönünden incelenmiştir. pH 1.2'de elde edilen sonuçların modele uyumun göstergesi olan regresyon doğrusunun tamamlayıcılık katsayısı (r^2) ve modele uygunluğunu belirleyen artık kareler toplamı incelendiğinde F8B formülasyonunun 0.9638 değeri ile M. Langenbucher (Ağabeyoğlu, 1978) modeline uyum sağladığı gözlemlenmiştir (Tablo 73). Aynı şekilde ticari formülasyon da bu modele uyum sağlamaktadır. F8B Avicel ise Langenbucher modeline uyum sağlamaktadır (Langenbucher, 1972).

5.8. Açılk Tokluk Ortamlarında *In Vitro* Salım Çalışmalarının Değerlendirilmesi

Etkin maddelerin in vitro başarısının incelenmesinde ve in vivo davranışlarının ön görülmesinde kullanılan en önemli ölçüt dissolusyon testleridir. Dissolusyon testlerinde in vivo ortamı en iyi şekilde taklit eden şartların elde edilmesi gereklidir. Bunlardan en önemlisi ise kullanılan dissolusyon ortamıdır. Farmakopeler ve kılavuzlarda belirtilen dissolusyon ortamları çoğunlukla fizyolojik ortamların pH'larını baz alır. Bu ortamlar, çözünürlük ve çözünme problemi olmayan ilaçlar için uygun olsa da düşük çözünürlük gösteren etkin maddeler için in vivo koşulları yeterince yansıtamaz. Oysa dissolusyon ortamı seçilirken ilacın lipofilitesi, çözünürlüğü, iyonizasyon özellikleri ve yiyecekler ile etkileşimleri gibi etkenler de göz önünde tutulmalıdır. Bundan dolayı, gastrointestinal koşulları taklit eden biyoyumlu ortamlar geliştirilmiştir. Bu ortamların içerikleri, osmolalitesi, pH'sı ve tampon kapasitesi açlık ve tokluğa göre değişiklik göstermektedir (Yaşın & Teksin, 2018). Açılk ve tokluk ortamlarında yapılan dissolusyon çalışmaları Ticari formülasyon, Valsartan, F8B ve F8B formülasyonları ile yapılmıştır (Tablo 79-81 ve Şekil 27-29). Geliştirdiğimiz F8B formülasyonu tokluk halinde daha iyi salım yapmaktadır (FaSSGF %44.57, FaSSIF %79.82, FeSSIF %99.55). Bunu tokluk durumunda bağırsak içeriğinde yer alan safra tuzları, fosfolipitler, monoglisititler ve yağ asitleri gibi diğer amfifilik maddelerin bazı ilaçların çözünürlük, çözünme hızı ve emilimi üzerinde büyük etkisi bulunmasıyla ilişkilendirilebiliriz. Bu bileşikler öncelikle gastrointestinal sıvıların yüzey gerilimini düşürerek ilaçların ıslanabilirliğini artırırlar (Kleberg & Jacobsen, 2010). F8B Avicel ise açlık tokluk durumlarından etkilenmemektedir (FaSSGF %37.57, FaSSIF %100.16, FeSSIF %98.39).

5.9. *In vitro* Lipoliz Çalışmasının Değerlendirilmesi

In vitro lipoliz çalışması F8B, F8B Avicel ve sadece yağ ve etkin madde içeren formlarla yapılmıştır. Sonuçlar Tablo 82-84 ve Şekil 30-31'de gösterilmiştir. Sonuçlar denklem 9 ile hesaplanmıştır (Zhang et al., 2014). Sindirilen IPM ve SEDD yüzdeleri, 3. saat sonunda sırasıyla % 86.84 ve % 52.12'dır. SEDD formülasyonundaki IPM'nin sindirim oranı, IPM'den daha düşüktür. Bu durum daha yüksek yüzey aktif madde / yağ oranından dolayı gerçekleşmiş olabilmektedir. Uzun zincirli lipitlerin düşük sindirim oranı, gastrointestinal kanalda formülasyonu daha stabil hale getirmiştir ve biyoyararlanım orta ve kısa zincirli lipid formülasyonlarına göre daha yüksektir (Zhang et al., 2014). Sindirilen IPM ve S-SEDD yüzdeleri, 3. saat sonunda sırasıyla %90.86 ve %86.84 'tür. Katilaştırma için kullanılan Avicel'in sindirimi hızlandırdığı gözlemlenmiştir.

5.10. *In vitro* Permeabilite Çalışmasının Değerlendirilmesi

Caco-2 hücre hatlarından geçiş çalışmaları 2 yönlü olarak tasarlanmıştır. Bunlar apikal yönden bazolateral yöne doğru olan barsakta absorbsiyon olayının mukozadan serözal tabakaya doğru taşınan ilaç moleküllerinin kılcal damarlar vasıtasıyla sistemik dolaşma geçmesini taklit etmesidir. Bazolateral yönden apikal yöne doğru olan ise eksorbsiyon olarak ifade edilen ilaçların kandan barsak lumenine doğru geçisi olarak tanımlanan ve bağırsak membranından apikal membrana doğru olan geçisi taklit etmesidir (Gündoğdu, 2009). Caco-2 hücrelerinde apikalden bazolaterale doğru yapılan geçiş çalışmalarında Valsartanın bazolateral kısmındaki derişim miktarı Toz Valsartanda, ticari formülasyonda, F8B ve F8B Avicel formülasyonunda sırasıyla 1.11 ± 0.05 , 2.58 ± 0.42 , 5.36 ± 0.49 , 0.88 ± 0.22 'dir (Tablo 87). Caco-2 hücrelerinden yapılan geçiş çalışmalarında Toz Valsartan, ticari formülasyon, F8B Avicel'de valsartan etkin maddesinin A->B yöne doğru hesaplanan permeabilite değerleri (Toz Valsartan 37.29×10^{-5} , Ticari formülasyon 39.68×10^{-5} , F8B Avicel 51.48×10^{-5}) B->A yöne doğru hesaplanan permeabilite değerlerinden (Toz Valsartan 72.93×10^{-5} , Ticari formülasyon 63.41×10^{-5} , F8B Avicel 52.14×10^{-5}) daha düşük bulunmuştur. F8B'ise tam dersi bir durum söz konusudur (A->B'ye 86.46×10^{-5} , B->A'ya 75.57×10^{-5}). Buna göre F8B formülasyonu en yüksek geçiş değerine sahiptir (Tablo 85). Geliştirilen formülasyonlar ticari formülasyon ile karşılaştırıldığında permeabilite değerleri daha yüksek bulunmuştur. F8B ve F8B Avicel formülasyonları için Pab değerinin literatürlerde belirtilen $1 \times 10^{-6} \text{ cm/sn}$ değerinden büyük olduğu gözlenmiştir. Eflfluks

(net fluks) değeri, bazolateralden apikale permeabilitenin, apikalden bazolaterale permeabiliteye bölümü olarak tanımlanır (Custodio, Wu, & Benet, 2009). Bu değerler 4 formülasyonda da 2'den küçük olarak bulunmuştur (Artursson, Palm, & Luthman, 2001).

Tüm formülasyonlar için yapılan geçiş çalışmalarında kullandığımız yöntemin geçerliliğini test etmek için Tablo 87 ve 88'de göstermiş olduğumuz kontrol parametrelerinden membrandaki ilaç miktarını temsil eden A_M ve hücre içindeki ilaç miktarını temsil eden A_{OH} değerleri tayin limitlerinin altındadır. Bu durumda tüm valsartan derişimlerinde Valsartana ait kayıp olup olmadığı da kontrol edilmiştir. Burada yaşanabilecek kayıplar, Valsartanın membran üzerinde kalabileceği ya da hücrelerin içine difüze olabileceğidir. Yapılan hesaplar sonucunda membran ve hücre içindeki miktar önemsenmeyecek kadar az olduğu için Valsartana ait herhangi bir kaybın olmadığı da gözlemlenmiştir.

Hücre çalışmaları özelinde çalışmanın bitiminde tüm deney boyunca çalışmanın doğru yapıldığını gösteren bir kalite kontrol parametresi TEER (Transepitelial elektrik rezistansı) değerinin ölçümüdür. TEER değerinin ölçümü ile hem hücre kültürü ile üretilen dokuların gelişimi kontrol edilmekte hem de olası permeabilite etkileşimleri hakkında bilgi edinilebilmektedir. Doğru çalışan bir sistemde çalışma başlamadan önce ve çalışma bitiminde TEER değerinin $1500-1800 \text{ ohm} \cdot \text{cm}^2$ aralığında olması istenir (Green, Clay, Richardson, & Hassan, 1997; Hilgers, Conradi, & Burton, 1990). TEER değerlerindeki % değişimler Tablo 89 ve 90'da verilmiştir.

Hücre canlılığı yüzdesi, %95'in üzerinde çıkarsa, uygulanan örneğin hücreler üzerinde sitotoksik olmadığı ifade edilir. Hücre canlılığı yüzdeleri ticari formülasyon, valsartan, F8B, F8B Avicel sırasıyla %98, %98.5, %96 ve %96.5 üzerinde bulunmuştur. Geliştirilen formülasyonların hücre canlılığı üzerinde herhangi bir toksik etkisi gözlenmemiştir.

5.11. Farmakokinetik ve Farmakodinamik Çalışmaların Değerlendirilmesi

Hidrofobik ilaçların kaba yağ/su emülsiyonlarının hayvanlara uygulanıp oral biyoyararlanımının değerlendirilmesine ait pek çok çalışma mevcuttur ((Hoogeveest, Liu, & Fahr, 2011; Kawakami, Yoshikawa, & Hayashi, 2002). Bu kaba emülsiyonlar sahip oldukları zayıf fiziksel stabilité ve yüksek hacimde uygulanmaları nedeniyle kullanımı sınırlıdır. Ancak SEDDS/SMEDDS/SNEDDS, S-SEDDs ve miseller

sistemlerinin sahip oldukları fiziksel stabilité ve düşük hacimde yumuşak jelatin kapsül içerisinde uygulanabilme avantajları nedeniyle oral uygulama için alternatif olabilirler. Valsartan gibi hidrofobik ilaçların lipid bazlı ilaç taşıyıcı sistemler içinde uygulanması sonrası yüksek biyoyararlanım elde edilmesi birçok çalışmada vurgulanmıştır. Bunlara göre *in vivo* performanslarda 1.4'ten 7.5 kata kadar artışlar gözlemlenmiştir (Rao, Tan, Thomas, & Prestidge, 2014).

Bir antihipertansif olan olmersartan medoksomille yapılan bir çalışmada olmesartan medoksomilin katı kendiliğinden nano emülsifiye olan sistemleri hazırlanmıştır. Bunu poröz taşıyıcılardan Neusilin US2'ye adsorbe edilerek yapmışlardır. Farelerde yapılan farmakokinetik çalışmalarda Cmax ve EAA'da 2.32 ve 3.27 kat artış gözlenmiştir (Beg et al., 2016). Tez çalışmamızda ise sıçanlarda yapılan farmakokinetik çalışmada formülasyonun vücuttaki dağılımını belirlemek için toplamda 10 noktada kan örneklemesi yapılmıştır (0., 0.5., 1., 2., 3., 4., 5., 7., 18. ve 24. saatlerde). Sıçanlardan kalp kanı alınmıştır. Ticari formülasyonla geliştirilen F8B SEDD formülasyonu karşılaştırıldığında eğri altı alan Cmax değeri 8.5 kat, eğri altı alan ise 4.02 kat artmıştır (Tablo 106).

Geliştirilen F8B formülasyonu ile tansiyon oluşturulmuş hayvan modellerinde 4 saat sonra basal sistolik ve diastolik kan basıncına ulaşılırken, ticari formülasyon ile 4 saat sonra sistolik kan basıncı %50, diastolik kan basıncını %44 düşürmüştür. Sonuçlar arasında istatistiksel olarak fark gözlemlenmemiştir ($p>0.05$)

Sonuç ve Öneriler

Bu tezde literatürde varolan Valsartan içeren formülasyonlardan farklı olarak, valsartanın değişik lipid bazlı ilaç taşıyıcı sistemleri geliştirilerek, bu formülasyonlar birbiri içinde kıyaslanmıştır. Sonuç olarak düşük çözünürlük ve biyoyararlanım gösteren valsartan için ideal bir ilaç taşıyıcı sistem olarak kendiliğinden emülsifiye olabilen F8B formülasyonu önerilmiştir. Bilindiği gibi, hipertansiyon tedavisinde tedavide valsartan tek başına artan dozlarda kullanıldığı gibi, tedavinin yetersiz olduğu durumlarda kombinasyon ürünleri de kullanılmaktadır. Ancak günümüzde uygulanan sağlık tedbirleri gereği, antihipertansif kombin formlar son çare olarak reçetelenmektedir. Bu nedenle de yüksek seçiciliğe sahip ve pazar payı yüksek olan valsartanın, biyoyararlanım problemini aşacak şekilde yenilikçi bir formülasyon ile yeniden formüle edilmesi ve bu formülasyonların kendiliğinden emülsifiye olabilen sistemler olması açısından bu tez çalışmasında elde edilen bulgular oldukça önemlidir.

Kaynaklar

- Abacı, A. (2005). Hipertansiyon tedavisinde beta-blokerler : Kral gerçekten çiplak mı? *Türk Kardiyoloji Derneği Arşivi*, 33(4), 241–247.
- Adam, M. (2005). Integrating research and development : The emergence of rational drug design in the pharmaceutical industry. *Studies in History and Philosophy of Biological and Biomedical Sciences*, 36(3), 513–537.
- Ağabeyoğlu, İ. (1978). *Sürekli Etkili Sülfametizol Präparatının Biyofarmasötik Açıdan Tasarımı ve Gerçekleştirilmesi*.
- Akula, S., Gurram, A. K., & Devireddy, S. R. (2014). Self-Microemulsifying Drug Delivery Systems : An Attractive Strategy for Enhanced Therapeutic Profile. *International Scholarly Research Notices*, 2014, 1–11.
- Amrutkar, C., Salunkhe, K., & Chaudhari, S. (2014). Study On Self Emulsifying Drug Delivery System Of Poorly Water Soluble Drug Rosuvastatin Calcium. *World Journal of Pharmaceutical Research*, 3(4), 2137–2151.
- Ardiana, F., Suciati, & Indrayanto, G. (2015). Valsartan. In *Profiles of Drug Substances, Excipients, and Related Methodology* (Vol. 40, pp. 431–493). <https://doi.org/10.1016/bs.podrm.2015.01.004>
- Artursson, P., Palm, K., & Luthman, K. (2001). Caco-2 monolayers in experimental and theoretical predictions of drug transport. *Advanced Drug Delivery Reviews*, 46, 27–43.
- Asil, S., & Atalar, E. (2017). All Diuretics Used in the Treatment of Hypertension is not the Same. *Turk Kardiyoloji Derneği Arsivi-Archives of the Turkish Society of Cardiology*, 45(1), 94–101. <https://doi.org/10.5543/tkda.2016.93137>
- Aydın, Z., & Öztürk, S. (2014). Hipertansiyon Tedavisinde Güncel Yaklaşımlar. *Haseki Tip Bulteni*, 52(4), 251–255. <https://doi.org/10.4274/haseki.1952>
- Bakhle, S. S. (2016). Development and Evaluation of Liquid and Solid Self-microemulsifying Drug Delivery System of Lovastatin. *Asian Journal of Pharmaceutics*, 10(1), 22–35.
- Balakumar, K., Vijaya, C., Tamil, N., Hari, R., & Abdu, S. (2013). Colloids and

- Surfaces B : Biointerfaces Self nanoemulsifying drug delivery system (SNEDDS) of Rosuvastatin calcium : Design , formulation , bioavailability and pharmacokinetic evaluation. *Colloids and Surfaces B: Biointerfaces*, 112(2013), 337–343. <https://doi.org/10.1016/j.colsurfb.2013.08.025>
- Beg, S., Katare, O. P., Saini, S., Garg, B., Kaur, R., & Singh, B. (2016). Solid self-nanoemulsifying systems of olmesartan medoxomil : Formulation development , micromeritic characterization , in vitro and in vivo evaluation. *Powder Technology*, 294, 93–104. <https://doi.org/10.1016/j.powtec.2016.02.023>
- Beg, S., Swain, S., Singh, H. P., Patra, C. N., & Rao, M. E. B. (2012). Development , Optimization , and Characterization of Solid Self-Nanoemulsifying Drug Delivery Systems of Valsartan Using Porous Carriers. *American Association of Pharmaceutical Scientists Pharmaceutical Science and Technology*, 13(4), 1416–1427. <https://doi.org/10.1208/s12249-012-9865-5>
- Bhagani, S., Kapil, V., & Lobo, M. D. (2018). Hypertension. *Medicine*, 46(9), 509–515. <https://doi.org/10.1016/j.mpmed.2018.06.009>
- Borkar, N., Holm, R., Yang, M., Müllertz, A., & Mu, H. (2016). In vivo evaluation of lipid-based formulations for oral delivery of apomorphine and its diester prodrugs. *International Journal of Pharmaceutics*, 513(1–2), 211–217. <https://doi.org/10.1016/j.ijpharm.2016.09.024>
- Burnier, M. (2001). Angiotensin II Type 1 Receptor Blockers. *Circulation*, 103, 904–912.
- Calvo, C., Hermida, R., Ayala, D., & Ruilope, L. (2004). Effects of telmisartan 80 mg and valsartan 160 mg on ambulatory blood pressure in patients with essential hypertension. *Journal of Hypertension*, 22(4), 837–846.
- Catena, C., Colussi, G., & Sechi, L. A. (2012). Potassium-Sparing Diuretics in Hypertension. *Antihypertensive Drugs*, (4), 67–84. <https://doi.org/10.5772/36236>
- Çelik, C., & Özdemir, B. (2010). Esansiyel hipertansiyonda psikolojik etmenler. *Psikiyatride Güncel Yaklaşımalar*, 2(1), 52–65. Retrieved from http://sfx.nelliportaali.fi/sfxlcl3?url_ver=Z39.88-2004&rft_val_fmt=info:ofi/fmt:kev:mtx:journal&genre=article&sid=ProQ:ProQ:psycinfo&atitle=Esansiyel+hipertansiyonda+psikolojik+etmenler.&title=Psik

- Cerpnjak, K., Znovar, A., Gasperlin, M., & Vreker, F. (2013). Lipid-based systems as a promising approach for enhancing the bioavailability of poorly water-soluble drugs. *Acta Pharmaceutica*, 63(2013), 427–445.
- Charlton, M., & Thompson, J. (2018). Drugs acting on the heart : antihypertensive drugs. *Anaesthesia and Intensive Care Medicine*, 19(7), 365–369. <https://doi.org/10.1016/j.mpaic.2018.04.005>
- Charmann, W. N., & Stella, V. J. (1991). Transport of lipophilic molecules by the intestinal lymphatic system. *Advanced Drug Delivery Reviews*, 7(1), 1–14.
- Cilek, A., Celebi, N., & Tırnaklız, F. (2006). Lecithin-Based Microemulsion of a Peptide for Oral Administration : Preparation , Characterization , and Physical Stability of the Formulation Lecithin-Based Microemulsion of a Peptide for Oral Administration : Preparation , Characterization , and Physica. *Drug Delivery*, 13(1071–7544). <https://doi.org/10.1080/10717540500313109>
- Custodio, J. M., Wu, C., & Benet, L. Z. (2009). Predicting Drug Disposition, Absorption / Elimination / Transporter Interplay And The Role Of Food On Drug Absorbtion. *Advanced Drug Delivery Reviews*, 60(6), 717–733. [https://doi.org/10.1016/j.addr.2007.08.043.PREDICTING](https://doi.org/10.1016/j.addr.2007.08.043)
- Do, T., Speybroeck, M. Van, Barillaro, V., Martens, J., Annaert, P., Augustijns, P., ... Mooter, G. Van Den. (2009). Formulate-ability of ten compounds with different physicochemical profiles in SMEDDS. *European Journal of Pharmaceutical Sciences*, 38(2009), 479–488. <https://doi.org/10.1016/j.ejps.2009.09.012>
- Dönmez, İ., Memioglu, T., & Erdem, F. (2015). *Yeni Kılavuzların Işığında Hipertansiyon Tanı ve Tedavisi*. 1(1), 49–53.
- Driscoll, C. M. O. (2002). Lipid-based formulations for intestinal lymphatic delivery. *European Journal Of Pharmaceutical Sciences*, 15, 405–415.
- Dursun, H., & Kozan, Ö. (2013). Anjiyotensin reseptör blokerlerinin kardiyovasküler süreçteki yerleri. *Türk Kardiyol Dern Arş*, 41(5), 10–17.
- Ege, M. A., Karasulu, H. Y., & Güneri, T. (2004). Triangle phase diagram analysis software. *The 4th International Postgraduate Research*.

Ege, M. A., Karasulu, H. Y., Karasulu, E., & Ertan, G. (2001). A computer program designed for in vitro dissolution kinetics in vitro in vivo kinetic correlations and routine applications. *4th Central European Symposium on Pharmaceutical Technology*, 127–128.

EMA. (2006). *Validation of Analytical Procedures: Text and Methodology*.

EMA. (2012). Guideline on bioanalytical method validation. In *EMA* (Vol. 44).

EMA. (2016). Castor oil.
https://doi.org/https://www.ema.europa.eu/en/documents/herbal-summary/castor-oil-summary-public_en.pdf

Eroğlu, A. G. (2004). Kalp yetersizliği tedavisinde yeni bir yaklaşım : beta-adrenerjik blokerler. *Türk Pediatri Arşivi*, 39, 141–145.

FDA. (2000). *Guidance for Industry Analytical Procedures and Methods Validation- Chemistry, Manufacturing, and Controls Documentation*.

González-Alvarez, I., Fernández-Teruel, C., Garrigues, T. M., Casabo, V. G., Bermejo, M., Garrigues, T. M., & Casabo, V. G. (2005). Kinetic modelling of passive transport and active efflux of a fluoroquinolone across Caco-2 cells using a compartmental approach in NONMEM. *Xenobiotica*, 35(12), 1067–1088.
<https://doi.org/10.1080/00498250500354469>

Green, J. R., Clay, V., Richardson, J., & Hassan, I. F. (1997). The effect of zoledronate and pamidronate on the intestinal permeability barrier in vitro and in vivo. *International Journal of Pharmaceutics*, 153, 59–66.

Griffin, B. T., & Driscoll, C. M. O. (2006). A comparison of intestinal lymphatic transport and systemic bioavailability of saquinavir from three lipid-based formulations in the anaesthetised rat model. *Journal of Pharmacy and Pharmacology*, 58, 917–925. <https://doi.org/10.1211/jpp.58.7.0006>

Gumaste, S. G., Freire, B. O. S., & Serajuddin, A. T. M. (2017). European Journal of Pharmaceutical Sciences Development of solid SEDDS , VI : Effect of precoating of Neusilin ® US2 with PVP on drug release from adsorbed self-emulsifying lipid-based formulations. *European Journal of Pharmaceutical Sciences*, 110, 124–133. <https://doi.org/10.1016/j.ejps.2017.02.022>

- Gündoğdu, E. (2009). *Feksofenadin Hidroklorür absorpsiyonunun in vitro, in situ ve in vivo olarak belirlenmesi*. Ege Üniversitesi.
- Gundogdu, E., & Karasulu, H. Y. (2012). The novel oral imatinib microemulsions : physical properties , cytotoxicity activities and improved Caco-2 cell permeability. *Journal of Microencapsulation*, 30(2), 132–142. <https://doi.org/10.3109/02652048.2012.704952>
- Gupta, S., Kesarla, R., & Omri, A. (2013). Formulation Strategies to Improve the Bioavailability of Poorly Absorbed Drugs with Special Emphasis on Self-Emulsifying Systems. *ISRN Pharmaceutics*, 2013.
- Gursoy, N., & Çevik, Ö. (2011). Kendiliğinden Emülsifiye Olabilen İlaç Taşıyıcı Sistemler ve Farmasötik Alanda Uygulamaları. *Hacettepe Üniversitesi Eczacılık Fakültesi Dergisi*, 2(31), 151–170.
- Gursoy, R., & Benita, S. (2004). Self-emulsifying drug delivery systems (SEDDS) for improved oral delivery of lipophilic drugs. *Biomedicine & Pharmacotherapy*, 58, 173–182. <https://doi.org/10.1016/j.biopha.2004.02.001>
- Hargovan, M., & Ferro, A. (2014). Aldosterone synthase inhibitors in hypertension: current status and future possibilities. *JRSM Cardiovascular Disease*, 0(0), 1–9. <https://doi.org/10.1177/2048004014522440>
- Hauss, D., Fogal, S. E., Ficorilli, J. V, Price, C. A., Roy, T., Ayaraj, A. N. A. J., & Eirns, J. A. J. K. (1998). Lipid-Based Delivery Systems for Improving the Bioavailability and Lymphatic Transport of a Poorly Water-Soluble LTB 4 Inhibitor. *Journal of Pharmaceutical Sciences*, 87(2), 164–169.
- Hauss, D. J. (2007). *Oral Lipid-Based Formulations: Enhancing the Bioavailability of Poorly Water-Soluble Drugs*.
- Hetal, T., Bindesh, P., & Sneha, T. (2010). A Review On Techniques For Oral Bioavailability Enhancement Of Drugs. *International Journal of Pharmaceutical Sciences Review and Research*, 4(3), 203–223.
- Hilgers, A., Conradi, R., & Burton, P. (1990). *Caco-2 Cell Monolayers as a Model for Drug Transport Across the Intestinal Mucosa*. 7(9), 902–910.
- Hoogeveest, V., Liu, X., & Fahr, A. (2011). Drug delivery strategies for poorly water-

- soluble drugs: the industrial perspective. *Expert Opinion on Drug Delivery*, 8(11), 1481–1500.
- Jannin, V., Musakhanian, J., & Marchaud, D. (2008). *Approaches for the development of solid and semi-solid lipid-based formulations*. 60, 734–746. <https://doi.org/10.1016/j.addr.2007.09.006>
- Kabakçı, G. (2013). Güncel kılavuzlar eşliğinde hipertansiyon tedavisi ve anjiyotensin reseptör blokerlerinin gelişen rolü. *Türk Kardiyoloji Derneği Araştırmaları*, 41(5), 1–9.
- Kalepu, S., Manthina, M., & Padavala, V. (2013). Oral lipid-based drug delivery systems – an overview. *Acta Pharmaceutica Sinica B*, 3(6), 361–372. <https://doi.org/10.1016/j.apsb.2013.10.001>
- Kallakunta, V. R., Bandari, S., Jukanti, R., & Veerareddy, P. R. (2012). Oral self emulsifying powder of lercanidipine hydrochloride : Formulation and evaluation. *Powder Technology*, 221, 375–382. <https://doi.org/10.1016/j.powtec.2012.01.032>
- Kawakami, K., Yoshikawa, T., & Hayashi, T. (2002). Microemulsion formulation for enhanced absorption of poorly soluble drugs II . In vivo study. *Journal of Controlled Release*, 81(2002), 75–82.
- Kemper, E. M., Zandbergen, A. E. Van, Cleypool, C., Mos, H. A., & Boogerd, W. (2003). Increased Penetration of Paclitaxel into the Brain by Inhibition. *Clinical Cancer Research*, 9(July), 2849–2855.
- Kılıç, T., & Üstü, Y. (2012). Hipertansiyon İçin Birinci Basamak Kullanımına Yönelik Kanıta Dayalı Bir Rehber Çalışması. *Ankara Medical Journal*, 12(4), 205–213.
- Kleberg, K., & Jacobsen, J. (2010). Characterising the behaviour of poorly water soluble drugs in the intestine : application of biorelevant media for solubility , dissolution and transport studies. *Journal of Pharmacy and Pharmacology*, 62, 1656–1668. <https://doi.org/10.1111/j.2042-7158.2010.01023.x>
- Klingbeil, A. U., Schneider, M., Martus, P., Messerli, F. H., & Schmieder, R. E. (2003). A meta-analysis of the effects of treatment on left ventricular mass in essential hypertension. *The American Journal of Medicine*, 115(1), 41–46.

- Komin, N., & Toral, R. (2009). Drug absorption through a cell monolayer: A theoretical work on a non-linear three-compartment model. *European Journal of Pharmaceutical Sciences*, 37(2009), 106–114. <https://doi.org/10.1016/j.ejps.2009.01.005>
- Langenbucher, F. (1972). Linearization of dissolution rate curves by the Weibull distribution. *Journal of Pharmacy and Pharmacology*, 24(12), 979–981.
- Laurent, S. (2017). Antihypertensive Drugs. *Pharmacological Research*, 124, 116–125. <https://doi.org/10.1016/bs.seda.2018.07.013>
- Laurent, S., & Boutouyrie, P. (2014). Clinical Trial Dose-Dependent Arterial Destiffening and Inward Remodeling After Olmesartan in Hypertensives With. *Hypertension*, 64, 709–716. <https://doi.org/10.1161/HYPERTENSIONAHA.114.03282>
- Leonaviciute, G., Adamovic, N. T., Lam, H. T., Rohrer, J., Partenhauser, A., & Bernkop-schnürch, A. (2017). European Journal of Pharmaceutics and Biopharmaceutics Self-emulsifying drug delivery systems (SEDDS): Proof-of-concept how to make them mucoadhesive. *European Journal of Pharmaceutics and Biopharmaceutics*, 112, 51–57. <https://doi.org/10.1016/j.ejpb.2016.11.019>
- Liu, L., Li, J., Zhao, M., Xu, H., Li, L., & Wang, S. (2016). Loading of tacrolimus containing lipid based drug delivery systems into mesoporous silica for. *Asian Journal of Pharmaceutical Sciences*, 11(6), 751–759. <https://doi.org/10.1016/j.ajps.2016.07.005>
- Mahapatra, A. K., Pn, M., Sciences, H., & Swain, R. P. (2014). Self-Emulsifying Drug Delivery Systems (SEDDS): An Update from Formulation Development to Therapeutic Strategies. *International Journal of Pharmaceutical Technology Research*, 6(2), 545–568.
- Mbah, C. J. (2005). Physicochemical properties of valsartan and the effect of ethyl alcohol , propylene glycol and pH on its solubility. *Pharmazie*, 60, 849–850.
- Mercke, J., Kaufmann, P., Kroon, K., & Höglund, P. (2003). Lipid drug delivery and rational formulation design for lipophilic drugs with low oral bioavailability , applied to cyclosporine. *European Journal Of Pharmaceutical Sciences*, 20, 375–382. <https://doi.org/10.1016/j.ejps.2003.08.005>

- Messerli, F. H., Bangalore, S., Bavishi, C., & Rimoldi, S. F. (2018). Angiotensin-Converting Enzyme Inhibitors in Hypertension: To Use or Not to Use? *Journal of the American College of Cardiology*, 71(13), 1474–1482. <https://doi.org/10.1016/j.jacc.2018.01.058>
- Nakamura, T., Fujii, S., Hoshino, J., & Saito, Y. (2005). Selective Angiotensin Receptor Antagonism with Valsartan Decreases Arterial Stiffness Independently of Blood Pressure Lowering in Hypertensive Patients. *Hypertens Res*, 28(12), 937–943.
- O’Shea, P. M., Griffin, T. P., & Fitzgibbon, M. (2017). Hypertension: The role of biochemistry in the diagnosis and management. *Clinica Chimica Acta*, 465, 131–143. <https://doi.org/10.1016/j.cca.2016.12.014>
- Oparil, S. (2000). Newly Emerging Pharmacologic Differences in Angiotensin II Receptor Blockers. *American Journal of Hypertension*, 13(1), 18–24.
- Oparil, S., Acelajado, M. C., Bakris, G. L., Berlowitz, D. R., Cífková, R., Dominiczak, A. F., ... Whelton, P. K. (2018). Hypertension. *Nature Reviews Disease Primers*, 4, 18014. <https://doi.org/10.1038/nrdp.2018.14>
- Palmer, A. M. (2003). New Horizons in Drug Metabolism , Pharmacokinetics and Drug Discovery. *Drug News Perspect*, 16(11), 57–62.
- Patil, S., Patil, V., Shete, A., & Doijad, R. (2013). Design , Development and In Vitro Characterization of Self Emulsifying Drug Delivery System for Irbesartan. *Iranian Journal of Pharmaceutical Sciences*, 9(2), 67–80.
- Perez, Mi., Farm, Q., & Ramírez, G. (2007). Validation of an analytical method for the determination of valsartan in human plasma by HPLC/UV with addition standard using losartan as an internal standard. *Colombia Médica*, 38(1), 13–20.
- Porter, C. J. H., Kaukonen, A. N. N. M., Taillardat-bertschinger, A., Boyd, B. E. N. J., Connor, J. M. O., Edwards, G. A., & Charman, W. N. (2004). *Use of In Vitro Lipid Digestion Data to Explain the In Vivo Performance of Triglyceride-Based Oral Lipid Formulations of Poorly Water-Soluble Drugs: Studies with Halofantrine*. 93(5), 5–9.
- Pouton, C. W. (2006). Formulation of poorly water-soluble drugs for oral

- administration: Physicochemical and physiological issues and the lipid formulation classification system. *European Journal Of Pharmaceutical Sciences*, 29(2006), 278–287. <https://doi.org/10.1016/j.ejps.2006.04.016>
- Pouton, C. W., & Porter, C. J. H. (2008). *Formulation of lipid-based delivery systems for oral administration : Materials , methods and strategies*. 60(2008), 625–637. <https://doi.org/10.1016/j.addr.2007.10.010>
- Ramos, J. J. M., & Diego, H. p. (2017). Thermal behavior and molecular mobility in the glassy state of three anti-hypertensive pharmaceutical ingredients. *The Royal Society of Chemistry*, 7, 10831–10840. <https://doi.org/10.1039/c7ra00298j>
- Rao, S., Tan, A., Thomas, N., & Prestidge, C. A. (2014). Perspective and potential of oral lipid-based delivery to optimize pharmacological therapies against cardiovascular diseases. *Journal of Controlled Release*, 193(2014), 174–187. <https://doi.org/10.1016/j.jconrel.2014.05.013>
- Ritchie Mackenzie, L. D., Campbell, N. C., & Murchie, P. (2011). New NICE guidelines for hypertension. *BMJ (Online)*, 343(7822), 491–492. <https://doi.org/10.1136/bmj.d5644>
- Saydam, M., & Takka, S. (2007). Bioavailability File: Valsartan. *FABAD J. Pharn. Sci.*, 32, 185–196.
- Selvam, P., Kulkarni, P. K., & Dixit, M. (2015). *Preparation and Evaluation of Self-nanoemulsifying Formulation of Efavirenz Preparation and Evaluation of Self-nanoemulsifying Formulation of Efavirenz*. (January 2013).
- Shaji, J., & Bhatia, V. (2012). *Novel Lipid Carriers For Oral Delivery Of Lipophilic Drugs*. 15(1), 47–53.
- Shrestha, H., Bala, R., & Arora, S. (2014). *Lipid-Based Drug Delivery Systems*. 2014.
- Shukla, J. B., & Patel, S. J. (2010). *Formulation and Evaluation Of Self Micro Emulsifying System of Candesartan Cilexetil*. 2(4), 2–5.
- Sica, D. A. (2006). Pharmacotherapy Review: Calcium Channel Blockers. *The Journal of Clinical Hypertension*, 8(1), 53–56. <https://doi.org/10.1111/j.1524-6175.2005.04140.x>

- Siddiqui, N., Husain, A., Chaudhry, L., Alam, M. S., Mitra, M., Bhasin, P. S., ... Alam, M. S. (2011). Pharmacological and Pharmaceutical Profile of Valsartan : A Review. *Journal of Applied Pharmaceutical Science*, 01(04), 12–19.
- Sultan, A. A., El-gizawy, S. A., Osman, M. A., & Maghraby, G. M. El. (2017). Colloids and Surfaces B : Biointerfaces Self dispersing mixed micelles forming systems for enhanced dissolution and intestinal permeability of hydrochlorothiazide. *Colloids and Surfaces B: Biointerfaces*, 149, 206–216. <https://doi.org/10.1016/j.colsurfb.2016.10.028>
- Tandel, H., Shah, D., Vanza, J., & Misra, A. (2017). Journal of Drug Delivery Science and Technology Lipid based formulation approach for BCS class-II drug : Modafinil in the treatment of ADHD. *Journal of Drug Delivery Science and Technology*, 37, 166–183. <https://doi.org/10.1016/j.jddst.2016.12.012>
- Trevaskis, N. L., Charman, W. N., & Porter, C. J. H. (2008). Lipid-based delivery systems and intestinal lymphatic drug transport : A mechanistic update. *Advanced Drug Delivery Reviews*, 60, 702–716. <https://doi.org/10.1016/j.addr.2007.09.007>
- Türkiye Endokrinoloji ve Metabolizma Derneği. (2018). *Hipertansiyon Tanı ve Tedavi Kılavuzu*.
- Unni, G. T. (2016). *Treatment of Hypertension in 2016: Role of Diuretics* (Vol. 26).
- Üstü, Y., & Uğurlu, M. (2018). Hipertansiyona Pratik Yaklaşım. *Ankara Med J.*, 18(3), 447–453. <https://doi.org/10.17098/amj.461664>
- Wang, J., Rosendorff, C., Pasinetti, G. M., Wang, J., Ho, L., Chen, L., ... Humala, N. (2007). *Valsartan lowers brain β -amyloid protein levels and improves spatial learning in a mouse model of Alzheimer disease.* 117(11), 3393–3402. <https://doi.org/10.1172/JCI31547>.for
- Wargo, K. A., & Banta, W. M. (2009). A comprehensive review of the loop diuretics: Should furosemide be first line? *Annals of Pharmacotherapy*, 43(11), 1836–1847. <https://doi.org/10.1345/aph.1M177>
- Wu, C., Hu, Y., Li, Q., He, L., Chen, J., Cheng, Z., & Li, Y. (2012). Synthesis , Pharmacokinetics , and Pharmacodynamics Studies of Valsartan Peptide Derivatives. *Archiv Der Pharmazie-Chemistry in Life Sciences*, 345, 393–400.

<https://doi.org/10.1002/ardp.201100377>

- Yan, Y., Ho, J., Kook, K., Wuk, D., Oh, J., Lee, B., ... Choi, H. (2012). Novel valsartan-loaded solid dispersion with enhanced bioavailability and no crystalline changes. *International Journal of Pharmaceutics*, 422(2012), 202–210. <https://doi.org/10.1016/j.ijpharm.2011.10.053>
- Yılmaz, R., & Erdem, Y. (2006). Anjiyotensin II Rezeptör Blokerleri ve Yeni Bir Ajan: Olmesartan Medoksomil. *İç Hastalıkları Dergisi*, 13(4), 176–182.
- Zarghi, A., & Shafaati, A. (2008). Rapid Quantification of Valsartan in Human Plasma by Liquid Chromatography using a Monolithic Column and a Fluorescence Detection : Application for Pharmacokinetic Studies. *Scientia Pharmaceutica*, 76, 439–450. <https://doi.org/10.3797/scipharm.0808-01>
- Zhang, J., Lv, Y., Zhao, S., Wang, B., Tan, M., Xie, H., ... Ma, X. (2014). Effect of Lipolysis on Drug Release from Self microemulsifying Drug Delivery Systems (SMEDDS) with Different Core / Shell Drug Location. *Journal of The American Association of Pharmaceutical Scientists*, 15(3), 731–740. <https://doi.org/10.1208/s12249-014-0096-9>
- Zhou, B., Bentham, J., Di Cesare, M., Bixby, H., Danaei, G., Cowan, M. J., ... Eggertsen, R. (2017). Worldwide trends in blood pressure from 1975 to 2015: a pooled analysis of 1479 population-based measurement studies with 19·1 million participants. *The Lancet*, 389(10064), 37–55. [https://doi.org/10.1016/S0140-6736\(16\)31919-5](https://doi.org/10.1016/S0140-6736(16)31919-5)

Ekler

**EGE ÜNİVERSİTESİ
HAYVAN DENEYLERİ YEREL ETİK KURULU**

SAYI: 2017-003
KONU: Onay

22.02.2017

Etik kurulumuza yapmış olduğunuz başvuru doğrultusunda “VALSARTANIN ORAL YOLLA KULLANIMI İÇİN LİPİD BAZLI İLAÇ TAŞIYICI SİSTEMLERİNİN HAZIRLANMASI VE İN VİTRO-İN VİVO DEĞERLENDİRİLMESİ ÜZERİNE ÇALIŞMALAR” isimli araştırma projeniz değerlendirilmiştir.

Yürütücü: Prof. Dr. Hatice Yeşim KARASULU E.Ü. Eczacılık Fakültesi
Arş. Gör. Dr. Gülbeyaz YILDIZ E.Ü. Eczacılık Fakültesi
Ecz. Eda GÜLMEZOĞLU E.Ü. Eczacılık Fakültesi
Prof. Dr. Selahattin Fehmi AKÇİÇEK E.Ü. Tıp Fakültesi

Proje başvuru formunuzda belirtildiği koşullarda deney hayvanı kullanarak araştırmayı gerçekleştirmeniz kurulumuz tarafından uygun bulunmuştur. Saygılarımla bilgilerinizi rica ederim.


Prof. Dr. Lokman ÖZTÜRK
(E.Ü. Hayvan Deneyleri Yerel Etik Kurulu Başkanı)


Prof. Dr. Gülcihan Mehtap KÖKSAL


Prof. Dr. Uğur KAYA


Prof. Dr. Hüseyin TEZEL


Prof. Dr. Altuğ YAVAŞOĞLU


Prof. Dr. Haşmet CAĞIRGAN


Prof. Dr. Figen KIRKPınar


Prof. Dr. N. Ülkü KARABAY YAVAŞOĞLU


Yrd. Doç. Dr. Sumru SÖZER KARADAĞLI


Özcan NALBANTOĞLU


Tingiz ÖZCAN

Teşekkür

Bu çalışmanın gerçekleştirilmesinde, değerli bilgilerini benimle paylaşan, kendisine ne zaman danişsam bana kıymetli zamanımı ayırip sabırla ve büyük bir ilgiyle bana faydalı olabilmek için elinden gelenden fazlasını sunan, her sorun yaşadığında yanına çekinmeden gidebildiğim, güler yüzünü ve samimiyetini benden esirgemeyen ve gelecekteki mesleki hayatımda da bana verdiği değerli bilgilerden faydalanağımı düşündüğüm danışman hocam Prof. Dr. H. Yeşim KARASULU'ya,

Doktora eğitimimde ders ve tez aşamasında her zaman destek olan Ege Üniversitesi Eczacılık Fakültesi Farmasötik Teknoloji Anabilim Dalı başkanı sayın Prof. Dr. Özgen Özer'e ve çalışmalarım süresince yardımcıları ile yanımada olan Farmasötik Teknoloji Anabilim Dalı öğretim üyelerine,

Tez çalışmalarım süresince laboratuvar çalışmalarım için fırsatlar yaratan değerli hocam Prof. Dr. Ercüment Karasulu'ya,

Tez çalışmamı yürütmem için proje desteği sağlayan TÜBİTAK'a (117S821), ve BAP birimine (17-İLAM-004 ve 17-ECZ-014), ayrıca TÜBİTAK projesi ekibinde olan değerli hocalarım Prof. Dr.Selahattin Fehmi AKÇİÇEK ve Arş. Gör.Dr. Gülbeyaz Yıldız TÜRKYILMAZ'a,

Tezmin istatiksel değerlendirme ve faz diyagramları çizimlerinde yardımcılarını esirgemeyen Hocam Dr. Mehmet Ali EGE'ye,

Tüm laboratuvar çalışmalarında her türlü sorumu cevaplayan, bana yardımcı ve moral olan ARGEFAR Ürün Geliştirme Birimindeki arkadaşlarına,

Tüm doktora süresince zorlukları benimle göğüsleyen ve hayatımın her evresinde bana destek olan değerli eşim S.Efe GÜLMEZOĞLU'na,

Beni bu günlere getiren ve benden hiçbir zaman destegini esirgemeyen bu hayatındaki en büyük şansım olan annem, babam ve kardeşim,

En büyük manevi destegim kızım Sedef Nil GÜLMEZOĞLU'na teşekkür ederim.

İzmir, 19.11.2019

Ecz. Eda GÜLMEZOĞLU

Tezden Yapılan Yayın ve Bildiriler

- 1.Evaluation Of Valsartan's Self Emulsifying Drug Delivery Systems With In Vitro Lipolysis And In Vivo Animal Models- 8th BBBB International Conference on Pharmaceutical Sciences.
- 2.Preparation Of Lipid-based Drug Delivery Systems For Oral Use Of Valsartan And In Vitro Evaluation- 8th BBBB International Conference on Pharmaceutical Sciences.



Özgeçmiş

06/04/1990 tarihinde İzmir'de doğdum. 2008 yılında Ege Üniversitesi Eczacılık Fakültesi'nde lisans eğitimime başladım ve 2013 yılının haziran ayında mezun oldum. Aynı zamanda 2009 yılında Anadolu Üniversitesi İşletme Fakültesi İşletme bölümüne başladım ve 2013 yılında mezun oldum. 1 çocuk annesiyim. 2013 yılı Eylül ayında Ege Üniversitesi Eczacılık Fakültesi Farmasötik Teknoloji Anabilim Dalı'nda doktora eğitimime başladım ve hala devam etmekteyim.

e-posta adresi : gulmezoglueda@gmail.com

